

INSTITUTUL POLITEHNIC "TRAIAN VUIA" TIMISOARA
FACULTATEA DE MECANICA

Ing. IOAN DAVID

T E Z A D E D O C T O R A T

=====

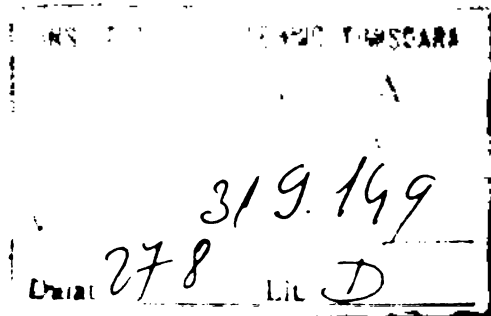
CONTRIBUTII LA STUDIUL PROCESULUI DE COMUTARE

A TREPTELOR DE VITEZE HIDRAULICE

LA LOCOMOTIVELE DIESEL

Conducător științific,
Prof.emerit ing.IOAN ZAGANESCU

BIBLIOTECA CENTRALĂ
UNIVERSITATEA "POLITEHNICA"
TIMIȘOARA



- 1976 -

INTRODUCERE

Funcționarea corectă a locomotivelor diesel cu transmisie hidraulică compusă din transformatoare hidrodinamice depinde în mare măsură de modul de comutare de pe un transformator pe celălalt, adică de modul de schimbare a treptelor de viteze.

Nerealizarea unui comutări optime conduce la apariția unor șocuri importante în elementele transmisiiei și în tren cauzate de căderea forței de tractiune, în unele cazuri pînă la 60% din valoarea corespunzătoare în momentul inițial al comutării; la utilizarea incompletă ~~a motorului~~ ^{motorului} diesel și înrăutățirea randamentului locomotivei.

Evitarea acestor fenomene este posibilă printr-o alegeră judicioasă a programului și caracteristicilor de comutare în funcție de caracteristicile motorului diesel, transmisiiei hidraulice, sistemului de umplere și golire a transformatoarelor hidraulice și de parametrii locomotivei și ai trenului remorcăt.

Neajunsurile semnalate au fost observate și la unele locomotive diesel-hidraulice construite la Intreprinderea "23 August" București, care a încheiat un contract cu un colectiv al Catedrei de material rulant din care am făcut parte, pentru cercetarea cauzelor și îmbunătățirea comutării.

Deoarece procesul comutării treptelor de viteze la locomotivele diesel-hidraulice este o problemă de mare complexitate, a cărei rezolvare pînă în prezent se face numai pe bază de încercări experimentale, din cauza multitudinii factorilor ce intervin și care se interacționează uneori în mod antagonist, tovarășul profesor emerit ing. Ioan Zăgănescu mi-a sugerat subiectul tezei de doctorat emintit mai sus pentru studierea comutării treptelor de viteze la locomotivele diesel-hidraulice în vederea optimizării acesteia atât la locomotivele ce se construiesc cît și la cele existente în exploatarea CFR.

Consider de datoria mea să aduc și pe această cale mulțumirile mele tuturor acelora care m-au ajutat la elaborarea acestei lucrări.

Mulțumirile mele se îndreaptă în primul rînd către distinsul meu dascăl- profesorul emerit ing. Ioan Zăgănescu pentru modul cum mi-a călăuzit pașii pe tot parcursul carierei mele

de cadrul didactic-inginer, pentru pro^țioanele îndrum^ări date la elaborarea tezei de doctorat.

Mul^țumesc de asemenea colectivului Catedrei de material rulant de la Institutul poli^thnic Bucure^ști, personal tov.prof. dr.ing.Popă Alexandru; colectivului de la Institutul de cercetări și proiectări tehnologice în transporturi Bucure^ști format din tov.ing.Lie Aurel, tov.ing.Popescu Adrian și tov.dr.ing.Taran Traian pentru ajutorul acordat la efectuarea experimentărilor.

De asemenea aduc mul^țumirile mele colegiale, întregului colectiv al Catedrei de material rulant din Timi^șoara pentru sprijinul dat.

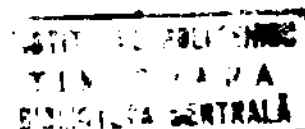
NOTATII UTILIZATE

Principalele notatii utilizate in lucrare sint:

- P_d - puterea disponibila a motorului diesel;
- P_{dmax} - puterea maxima disponibila a motorului diesel;
- P_1 - puterea la arborele de intrare in transmisie;
- P_o - puterea la obada rotii motoare;
- C_d - cuplul disponibil la arborele de ieșire al motorului diesel;
- C_{dn} - cuplul disponibil la turatia nominala a motorului diesel;
- C_{lg}, C_{2g} - cuplul la arborele de intrare, respectiv la arborele de ieșire la golirea transformatorului hidraulic;
- C_{lu}, C_{2u} - cuplul la arborele de intrare, respectiv la arborele de ieșire la umplerea transformatorului hidraulic;
- C_{li}^{lo}, C_{2i}^{lo} - cuplul la arborele de intrare, respectiv la arborele de ieșire, in momentul initial al procesului tranzitoriu ($t = 0$);
- F_o - forța de tractiune la obada rotii motoare;
- F_{oi} - forța de tractiune ideală;
- V_k - forța de tractiune la viteza de comutare;
- $(F_o)_d$ - forța de tractiune la comutarea directă;
- $(F_{of})_d, (F_{o7})_d$ - forța de tractiune la comutarea directă corespunzătoare punctului de intersecție a caracteristicilor forței de tractiune, respectiv a randamentului transmisiiei, de pe cele două trepte de viteze alăturate;
- $F_{of}/F_{oi}; F_{o7}/F_{oi}$ - forța de tractiune relativă corespunzătoare punctului de intersecție a caracteristicilor forței de tractiune, respectiv a caracteristicilor de randament, de pe cele două trepte de viteze alăturate;
- V - viteza de mers;
- V_k - viteza de comutare;
- V_d, V_i - viteza de mers a locomotivei la comutarea directă, respectiv inversă;
- V_x - viteza maximă constructivă a locomotivei;
- V_o - viteza de mers a locomotivei la care randamentul transmisiiei este maxim;
- $V_f/V_x, V_g/V_x$ - viteza relativă de mers a locomotivei corespunzătoare punctelor de intersecție a caracteristicilor forței de tractiune, respectiv a randamentului transmisiiei.

- $(V/V_x)_d, (V/V_x)_i$ - viteza relativă de mers a locomotivei la comutarea directă, respectiv inversă;
- ΔV_k - căderea de viteză în procesul de comutare;
- n_d - turăția motorului diesel;
- n_{do} - turăția motorului diesel la viteza V_o ;
- n_{dn} - turăția nominală a motorului diesel;
- n_{dm} - turăția motorului diesel la $\tau_{l_p} = \tau_{l_{pmax}}$
- n_1, n_2 - turăția arborelui de intrare în transmisie, respectiv a arborelui de ieșire din transmisie;
- $n_{df}/n_{dn}, n_{dg}/n_{dn}$ - turăția relativă a motorului diesel corespunzătoare vitezei V_f/V_x și respectiv V_g/V_x ;
- n_{di}/n_{dn} - turăția relativă a motorului diesel la comutarea inversă;
- τ_{lx} - turăția arborelui de ieșire din transmisia hidraulică la viteza V_x ;
- $(\tau_{l_p}/\tau_{l_{pn}}), (\tau_{l_p}/\tau_{l_{pn}})_g$ - coeficientul relativ al cuplului pompei la V_f/V_x și respectiv V_g/V_x ;
- γ_1 - randamentul angrenajului multiplicator de la intrarea în transmisie;
- γ_2 - randamentul angrenajelor demultiplicatoare din transmisia hidraulică, conectate după transformatoare;
- γ_{tr} - randamentul transformatorului hidraulic;
- γ_{th} - randamentul transmisiiei hidraulice;
- γ_{thf} - randamentul transmisiiei hidraulice la viteza de mers V_f/V_x .

Restul notațiilor utilizate sunt explicate în cuprinsul lucrării.



1. COMUTAREA TREPTELOR DE VITEZE LA LOCOMOTIVELE DIESEL HIDRAULICE.

1.1. Treptele de viteze la locomotivele diesel hidraulice.

Proprietățile de tractiune ale locomotivelor cu transmisie hidraulică sunt determinate, într-o măsură însemnată, în zona de schimbare a treptelor de viteze, de caracteristicile de tractiune și de indicii economiei ai ei atât la mișcarea în regim de tractiune staționar cît și în regim variabil.

Pentru anumite condiții de exploatare bine determinate, locomotiva poate funcționa în regim staționar, în zona de comutare o perioadă însemnată de timp.

La comutare, regimul de mișcare este determinat de procesele tranzitorii care apar în funcționarea agregatelor de forță (motor diesel și transmisia hidraulică), în sistemul de comandă a comutării treptelor de viteze și în tren.

Treptele de viteze, în cazul locomotivelor diesel cu transmisie hidraulică cu mai multe circuite, se realizează cu ajutorul agregatelor hidraulice (transformatoare și cuplaje hidraulice) din care este compusă transmisia, fiecare agregat hidraulic funcționând într-un interval de viteze bine determinat cu un randament mediu admisibil [4], [8], [18]. Mărimea și limitele acestui interval, precum și numărul agregatelor hidraulice rezultă din necesitatea de a asigura o variație continuă a forței de tractiune după o legăcăciune mai apropiată de hiperbola de putere constantă și un randament ridicat al locomotivei pe întregul interval de viteze [40], [42], [51], [52], [67], [68].

In cazul locomotivelor diesel cu transmisie hidraulică cu mai multe circuite, numărul agregatelor hidraulice determină numărul treptelor de viteze, iar domeniul de utilizare al fiecărui agregat determină mărimea intervalului de viteze al treptei respective. Pe o anumită treaptă de viteze funcționează, doar, un singur agregat hidraulic care este umplut cu ulei. Restul agregatelor hidraulice, în intervalul de viteze al treptei respective, nu conțin ulei și, la majoritatea transmisiilor hidraulice, se rotesc în gol [51] [67] [68].

1.2. Comutarea treptelor de viteze.

La locomotivele diesel cu transmisie hidraulică compusă din mai multe agregate hidraulice, comutarea treptelor de viteze se realizează prin golirea aggregatului care se află în funcțiune și umplerea aggregatului care urmează să intre în funcțiune, ambele procese având loc în același timp, fără întreruperea totală a circuitului de forță de la motorul diesel la osii.

In anumite condiții de exploatare a locomotivelor, procesul de comutare este însotit de o cădere a forței de tracțiune, a randamentului locomotivei și a vitezei de mers precum și de schimbarea regimului de funcționare a motorului diesel [16], [43], [64]. Timpul de comutare a unei trepte de viteze la transmisiiile cu mai multe circuite este de 3...8 secunde și uneori chiar mai mare.

La locomotivele diesel hidraulice construite în țara noastră se utilizează numai transmisii cu mai multe circuite, și de aceea în continuare se vor lua în considerare numai aceste transmisii.

Comutarea treptelor de viteze trebuie astfel realizată încât, în zonele de comutare, să asigure:

- 1) variația continuă a caracteristicilor de tracțiune și a caracteristicilor de randament ale locomotivei;
- 2) utilizarea completă a puterii motorului diesel;
- 3) coeficient ridicat de transmitere a puterii la obadă;
- 4) funcționarea stabilă a transmisiei.

Satisfacerea concomitentă a tuturor acestor cerințe este greu de realizat.

Proprietățile de funcționare ale locomotivei, în zona de comutare, sunt determinate, în primul rînd, de caracteristicile agregatelor circuitului de forță al locomotivei, sistemului de comandă a comutării și ale instalației de umplere și golire a aggregatelor hidraulice.

Caracteristicile agregatelor din circuitul de forță al locomotivei se stabilesc la proiectarea locomotivei, în general din alte considerente decât cele de comutare. De altfel, nici nu este posibil să se stabilească aceste caracteristici astfel încât să fie îndeplinite toate condițiile referitoare la proprietățile de tracțiune și economice, în toate condițiile de tracțiune, deoarece ele sunt interdependente și îmbunătățirea uneia (de exemplu a caracteristicilor de tracțiune) duce, în general, la înrăutățirea

celeilalte (de exemplu a randamentului) [29], [42].

1.3. Comanda comutării
treptelor de viteze.

1.3.1. Caracteristicile de comutare.

Conecțarea unui agregat hidraulic în circuitul de forță al locomotivei și deconectarea lui, sunt comandate automat după un program care este determinat de caracteristicile de comutare.

Prin caracteristica de comutare se înțelege curba determinată de punctele de pe caracteristicile de tractiune în care se face schimbarea treptelor de viteze la diferite regimuri de funcționare a motorului diesel.

Proprietățile de tractiune, în zona de comutare, sunt determinate în mare măsură de caracteristicile de comutare.

Actualmente comutarea treptelor de viteze se realizează în două variante [18], [43], [44], [67] :

a) comutarea treptelor de viteze numai în funcție de viteza de mers;

b) comutarea treptelor de viteze în funcție de viteza de mers și de turăția motorului diesel.

Comutarea treptelor de viteze numai în funcție de viteza de mers (fig.1-1) permite să se obțină caracteristici de tractiune continuu numai la o anumită putere (de obicei la puterea nominală) a motorului diesel, iar la celelalte regimuri ale motorului diesel, caracteristicile de tractiune au o variație în trepte. În anumite cazuri, la sarcini mici ale motorului (de exemplu la turății $n_{14} < n_{11}$) nu se poate face comutarea pe treapta următoare de viteze. De asemenea, și restul condițiilor impuse comutării nu sunt satisfăcute decât la o anumită sarcină a motorului diesel. Caracteristica de comutare ΔE este dată, în acest caz, de ecuația :

$$V = V_a \quad (1.1)$$

Comutarea după această caracteristică duce la pierderi mari ale forței de tractiune și la apariția unor sarcini dinamice mari, deoarece aşa cum rezultă din figura 1-1, comutarea la viteza V_a la sarcini parțiale ale motorului diesel, are loc cu saluri mari ale forței de tractiune. În afară de aceasta, se înrăutățesc considerabil caracteristicile de randament. De exemplu,

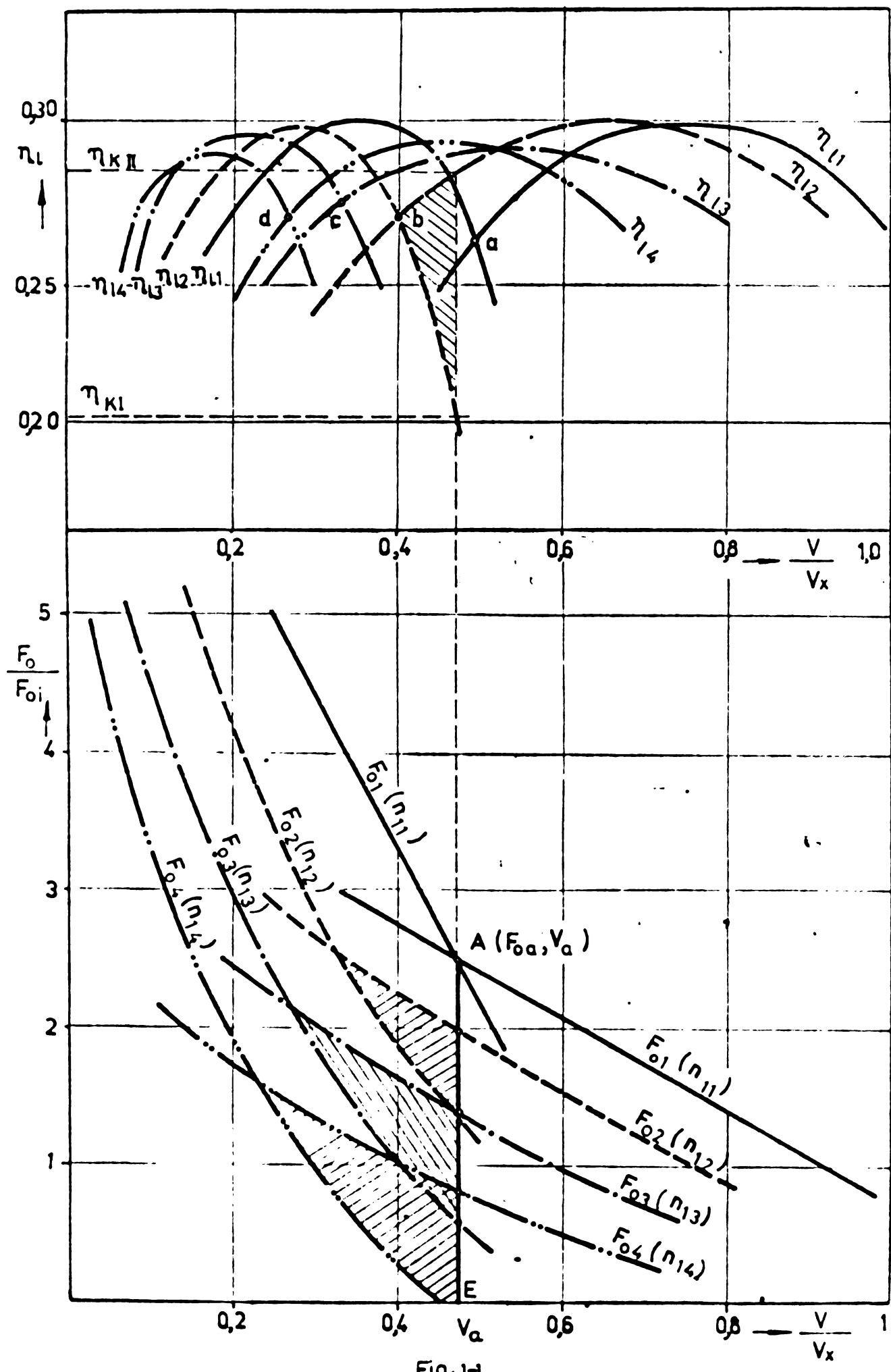


Fig. 1-1

la sarcina parțială n_{12} , randamentul corespunzător vitezei V_a pe treapta I este η_{kI} , iar pe treapta II este mult mai mare și anume η_{kII} .

Deoarece punctele de intersecție atât ale caracteristicilor de tractiune cât și ale caracteristicilor de randament ale celor două trepte de viteze alăturate se deplasează spre viteză mai mică odată cu micșorarea sarcinii motorului, este necesară corectarea momentului de comutare în funcție de turăția motorului diesel.

Din caracteristicile de tractiune, date în figura 1-2, se vede că pentru a obține caracteristici continui ale forței de tractiune la toate regimurile de funcționare ale motorului diesel, comutarea treptelor de viteze trebuie să se facă după caracteristica de comutare $A B_2 C_2 D_2$, iar pentru a obține caracteristici continui ale randamentului, după caracteristica $A B_1 C_1 D_1$. La locomotivele construite s-a ales caracteristica de comutare parabola ABCD care trece prin originea axelor și punctul A (F_{oa}, V_a) de intersecție a caracteristicilor forței de tractiune la sarcina maximă a motorului, adică :

$$F_k = \frac{F_{oa}}{V_a^2} V^2 \quad (1.2)$$

Această caracteristică de comutare asigură caracteristici continui ale forței de tractiune și ale randamentului numai la funcționarea motorului diesel la sarcina nominală, iar în anumite cazuri particulare ale transmisiei netransparente asigură și la sarcini parțiale ale motorului.

Analizând condițiile de mai sus, comutarea după o astfel de caracteristică, este mult superioară comutării după caracteristica $V = V_a$, dar menține totuși variația în salturi atât a forței de tractiune cât și a randamentului.

Stabilirea corectă a caracteristicilor de comutare trebuie să permită îmbunătățirea caracteristicilor de funcționare a locomotivei în zona de comutare. Caracteristicile de comutare sunt influențate de parametrii motorului diesel și ai transmisiei. Deoarece, aşa cum s-a arătat, parametrii agregatelor de forță se stabilesc din alte considerente decât cele rezultate din procesul de comutare, la studiul acestui proces se determină numai modul în care poate fi modificată, prin alegerea unor anumite

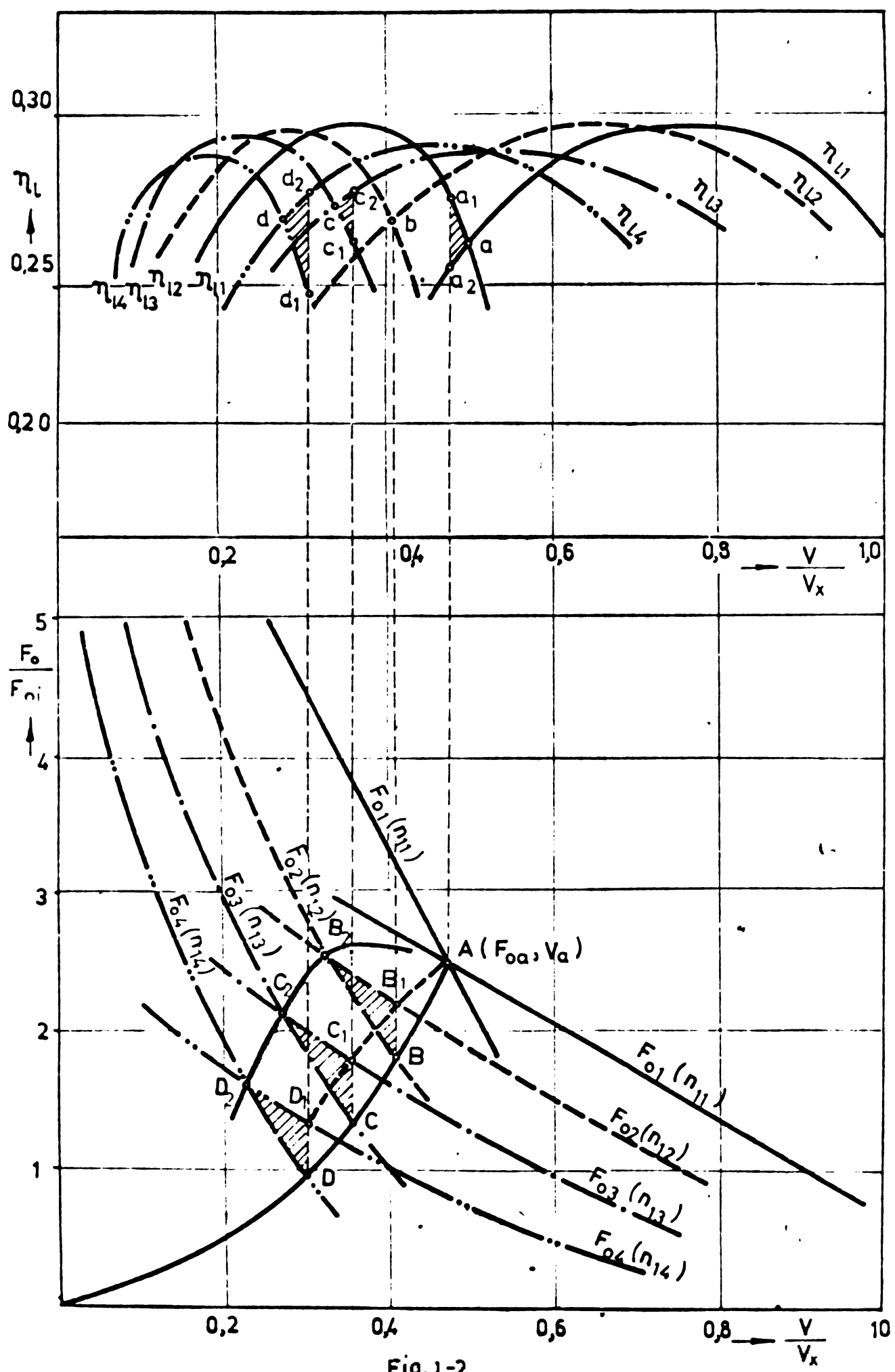


Fig. 1-2

caracteristici de comutare, influența acestor parametrii asupra caracteristicilor de funcționare a locomotivei în zona de comutare în sensul obținerii caracteristicilor de tracțiune și economice dorite.

1.3.2. Programul de comutare.

Realizarea caracteristicilor dorite la comutare se obține printr-un sistem automat mecanic, electromecanic, hidraulic, hidropneumatic, electrohidraulic sau electronic care să comande umplerea și golirea transformatoarelor la viteze determinate în scopul obținerii unor caracteristici de tracțiune optime la toate regimurile de funcționare ale motorului diesel.

Pentru aceasta, trebuie ca sistemul de comutare să realizeze schimbarea treptelor de viteze în funcție de turăția motorului diesel n_d și de turăția arborelui de ieșire din transmisie n_2 ($n_2 = \text{const.}V$).

Variatăia turăției n_d în funcție de turăția n_2 astfel încit schimbarea treptelor să se facă în punctele determinate de caracteristica de comutare impusă, se numește program de comutare.

Comutarea de pe o treaptă de viteză pe celalătă este condiționată însă de obținerea unui randament mediu al transformatorului de minimum 0,8, pentru ca transmisia hidrodinamică de cuplu să fie competitivă față de celelalte transmisiuni, în spate față de transmisia electrică.

De aici rezultă însă, că și viteză de comutare nu poate scădea mult sub viteză corespunzătoare intersecției curbelor de randament ale celor două transformatoare.

2. CRITERII PENTRU DETERMINAREA CARACTERISTICILOR DE COMUTARE.

2.1. Importanța stabilirii criteriilor de comutare.

Schimbarea treptelor de viteze după caracteristica de comutare (l.1) sau (l.2) asigură obținerea caracteristicilor de tracțiune continuu numai la sarcina totală a motorului diesel.

La o sarcină oarecare a motorului diesel, utilizarea maximă a forței de tracțiune, se obține, dacă comutarea treptelor de viteze se face în punctul A de intersecție a caracteristicilor

forței de tracțiune ale celor două trepte de viteze alăturate (fig.2-1). Caracteristici economice favorabile se obțin, dacă comutarea se face în punctul b de intersecție a caracteristicilor randamentului locomotivei ale celor două trepte de viteze alăturate. În cazul cînd caracteristica de comutare trece prin punctul A (curba C₁), deci comutarea treptelor de viteze pentru

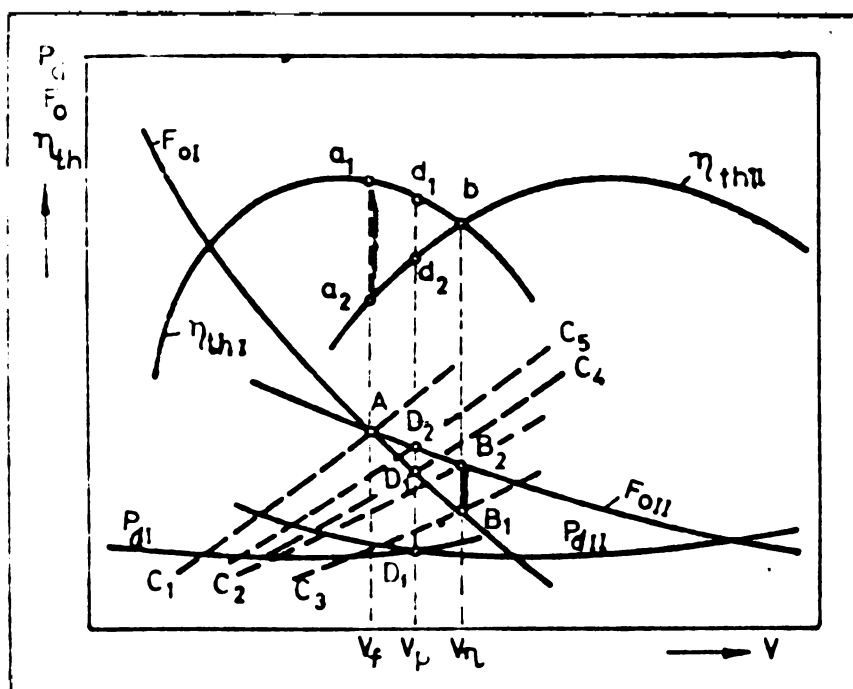


Fig. 2-1

sarcina respectivă a motorului se face la viteza V_f , caracteristicile forței de tracțiune au o variație continuă, însă comutarea "este neeconomică" deoarece este însoțită de o cădere a randamentului egală cu $a_1 a_2$. Cînd caracteristica de comutare trece prin punctele B_1 sau B_2 (curba C_2 sau C_3), iar comutarea pentru sarcina respectivă a motorului diesel se face la viteza V_p corespunzătoare punctului b, caracteristicile de randament au o variație continuă, dar sporește o cădere a forței de tracțiune egală cu $B_1 B_2$ (v.fig.2-1).

Pentru a utiliza la maximum puterea motorului diesel și pentru a evita salturile de putere la comutare, schimbarea treptelor de viteze este indicat să se facă, pentru sarcina respectivă, la viteza V_p corespunzătoare punctului D de intersecție a caracteristicilor

puterii disponibile a motorului diesel. Comutarea după caracteristicile C_4 sau C_5 , determinate de vitezele corespunzătoare punctelor de intersecție a caracteristicilor de putere, duce la variația în salturi a caracteristicilor forței de tractiune și a randamentului (v.fig.2-1).

In felul acesta, în zona de comutare, obținerea unor caracteristici de funcționare corespunzătoare ale locomotivei, este determinată de caracteristicile de comutare alese.

La anumite valori ale căderii forței de tractiune și în anumite condiții de exploatare, procesul de comutare poate fi împărțit în o neobișnuită viteză de mișcare. Dacă comutarea ar avea loc la aceeași viteză sau la viteză foarte apropiată, atât de la treapta inferioară la cea superioară cit și invers, atunci scăderea vitezei poate să ibă loc pînă la viteza de comutare inversă V_i la care se produce comutarea pe treapta inferioară, iar trecerea pe treapta superioară nu mai are loc. Forța de tractiune și viteză locomotivei iau valori corespunzătoare caracteristicilor de tractiune, în consecință viteză de mișcare crește

pînă la viteza de comutare directă V_d și reîncepe procesul de comutare (fig.2-2). Acest fenomen se repetă pînă cînd condițiile de mișcare se schimbă (rezistența de mișcare devine R') astfel ca viteză de echilibru V_e să devină mai mică decît viteza de comutare, adică viteza de echilibru V'_e să aparțină domeniului de viteze al treptei inferioare (fig.2-3).

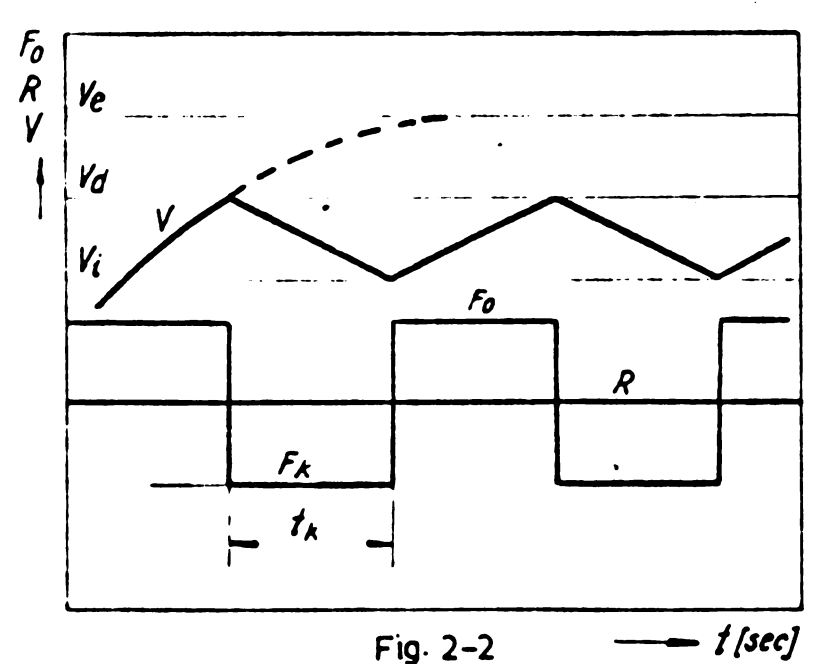


Fig. 2-2 — t/sec

ze al treptei inferioare (fig.2-3).

Procesul de comutare, în acest caz, reprezintă o barieră a creșterii vitezei și a utilizării posibilităților locomotivii date de puterea ei, neputindu-se depăsi viteza de comutare directă V_d .

Pentru realizarea unui proces stabil de comutare, care

să evite acest fenomen, trebuie ca viteza de comutare inversă V_i să fie mai mică decât viteza de comutare directă V_d cu o valoare cel puțin egală cu căderea de viteză care apare la comutare, la orice regim de funcționare al motorului diesel.

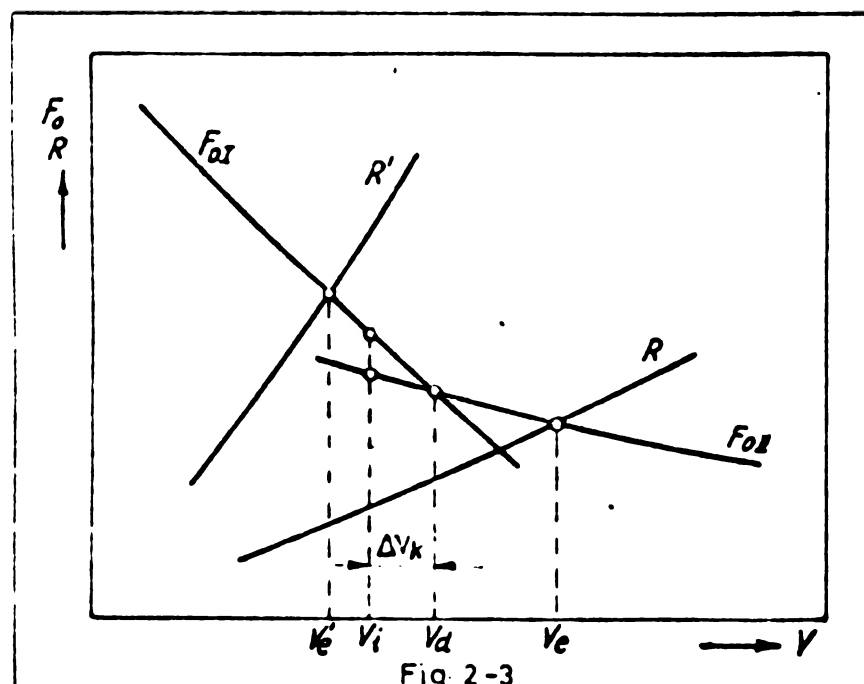


Fig. 2-3

Raportul:

$$S_k = \frac{V_i}{V_d} = \\ = 1 - \frac{\Delta V_k}{V_d} \quad (2.1)$$

în care: $\Delta V_k = V_d - V_i$, se numește coeficient de comutare. Valoarea acestui coeficient caracterizează stabilitatea procesului de comutare.

La micșorarea sarcinii motorului diesel, punctele de comutare se deplasează spre vîzeze de mișcare mai mici, astfel încit caracteristica de comutare care permite de exemplu utilizarea integrală a forței de tracțiune este reprezentată în figura 2-4 prin curba AB. Pentru indeplinirea condiției de stabilitate ($V_i < V_d$) și pentru obținerea unor caracteristici de tracțiune favorabile în zona de comutare trebuie deplasate: la comutarea directă spre vîzeze de mișcare mai mari (curba $A'_2 B'_2$), iar la comutarea inversă spre vîzeze mai mici (curba $A'_1 B'_1$). Rezultă deci, că la comutarea directă apare un salt al forței de tracțiune $(\Delta F_o)_d$ iar la comutarea inversă un salt $(\Delta F_o)_i$.

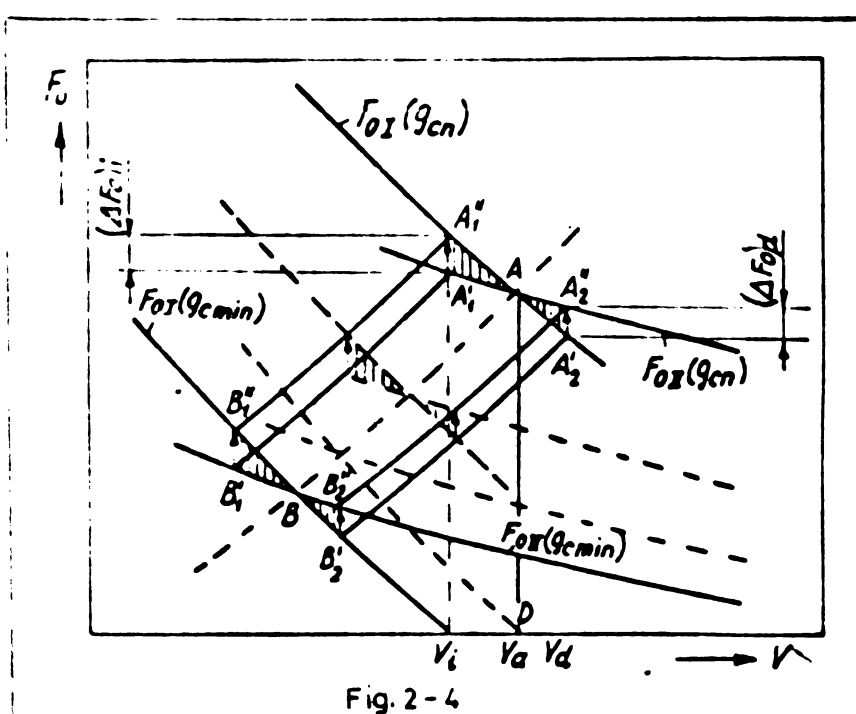


Fig. 2-4

La micșorarea sarcinii motorului diesel, punctele de comutare se deplasează spre vîzeze de mișcare mai mici, astfel încit caracteristica de comutare care permite de exemplu utilizarea integrală a forței de tracțiune este reprezentată în figura 2-4 prin curba AB. Pentru indeplinirea condiției de stabilitate ($V_i < V_d$) și pentru obținerea unor caracteristici de tracțiune favorabile în zona de comutare trebuie deplasate: la comutarea directă spre vîzeze de mișcare mai mari (curba $A'_2 B'_2$), iar la comutarea inversă spre vîzeze mai mici (curba $A'_1 B'_1$). Rezultă deci, că la comutarea directă apare un salt al forței de tracțiune $(\Delta F_o)_d$ iar la comutarea inversă un salt $(\Delta F_o)_i$.

și corespunzător un salt sau o cădere a randamentului locomotivei.

Saltul sau căderea forței de tractiune, a randamentului și a puterii disponibile, cauzate de caracteristicile de comutare determină o reducere corespunzătoare a proprietăților de tractiune și economice ale locomotivei. Valoarea reducerii proprietăților de tractiune depinde, evident, de legea de variație a caracteristicilor de comutare, de aceea aceste caracteristici trebuie determinate din condiția ca valoarea reducerii proprietăților de tractiune și economice să fie minim posibilă, asigurându-se totodată o funcționare stabilă.

Pentru determinarea caracteristicilor de comutare, astfel încât să fie îndeplinită condiția de mai sus, se introduc următoarele criterii :

- 1) coeficientul de utilizare a puterii motorului diesel;
- 2) coeficientul căderii randamentului transmisiei;
- 3) coefficientul de transmitere a puterii la obiect;
- 4) coefficientul căderii forței de tractiune,
- 5) coefficientul de comutare.

Valorile acestor criterii, în zona de comutare, depind de parametrii agregatelor din circuitul de forță, de parametrii sistemului automat de comutare și de condițiile de exploatare ale locomotivei.

Valorile optime ale acestor criterii, considerînd regimurile de funcționare ca regimuri staționare, determină caracteristicile de comutare.

2.2. Stabilirea criteriilor de comutare.

2.2.1. Coefficientul de utilizare a puterii motorului diesel.

În zona de comutare, acest coefficient se definește astfel:

$$\varphi_k = \frac{P_{dI}}{P_{dII}} \quad (2.2)$$

În această relație, cît și în relațiile care urmează, cu I se notează treapta de viteze I (în general treapta inferioară), iar cu II – treapta de viteze II (în general treapta

următoare, superioară, de viteze).

In funcție de coeficienții de utilizare a puterii φ_{dI} pe treapta I de viteze și φ_{dII} pe treapta II de viteze, coeficientul φ_k se poate scrie:

$$\varphi_k = \frac{P_{dI}}{P_{dmax}} \cdot \frac{P_{dmax}}{P_{dII}} = \frac{\varphi_{dI}}{\varphi_{dII}} \quad (2.3)$$

Pentru utilizarea integrală a puterii motorului diesel, coeficientul φ_d , pe o anumită treaptă de viteze, trebuie să ai- bă valoarea maximă $\varphi_{dmax} = 1$. Această valoare se poate obține la toate vitezele numai dacă se utilizează transformatoare ne-transparente a căror parabolă de putere să intersecteze caracte- ristica externă a motorului la turăția nominală, acest fapt avin- du-se în vedere la proiectarea locomotivei [4], [13].

In zona de comutare, pentru utilizarea cît mai completă a puterii motorului diesel și, deci, pentru evitarea căderilor de turăție ale motorului diesel, coeficientul φ_k trebuie să fie:

$$\varphi_k = 1 \quad (2.4)$$

Din această relație se poate determina caracteristica de comutare $P_k = f_1(V)$ și programul de comutare $n_1 = f_2(n_2)$ care să asigure o variație continuă a puterii motorului diesel la schimba- rea treptelor de viteze.

Dacă:

$\varphi_k < 1$ - puterea motorului diesel este utilizată neco- respunzător la funcționarea pe treapta supe- rioară de viteze;

$\varphi_k > 1$ - puterea motorului diesel este utilizată neco- respunzător la funcționarea pe treapta infe- rioară de viteze.

2.2.2. Coefficientul căderii randamentului transmisiiei.

O altă condiție care se impune în zona de comutare este obținerea unui randament maxim posibil al grupului motor diesel -- transmisie hidraulică.

Obținerea unui randament maxim este o condiție de mare

importanță deoarece locomotiva în anumite condiții de exploatare, poate circula o perioadă de timp la vitezele din zona de comutare.

Astfel pentru rezistența de mers R , locomotiva funcționând pe treapta I circulă la viteza constantă V_I cu un randament η_{thI} , iar pe treapta II cu viteza $V_I = V_{II}$ și randamentul $\eta_{thII} < \eta_{thI}$ (fig. 2-5).

Locomotiva funcționează cu un randament maxim posibil în zona de comutare dacă schimbarea treptelor de viteză se face la viteze-

le corespunzătoare punctelor a, b, c, d de intersecție a caracteristicilor randamentului (fig. 2-6). Curbei abcd, îi corespunde în cîmpul caracteristicilor forței de tractiune, caracteristica de comutare $A_1B_1C_1D_1$ la trecerea de pe o treaptă inferioară pe una superioară (comutarea directă), respectiv caracteristica de comutare $A_2B_2C_2D_2$ la trecerea de pe o treaptă superioară pe una inferioară (comutarea inversă).

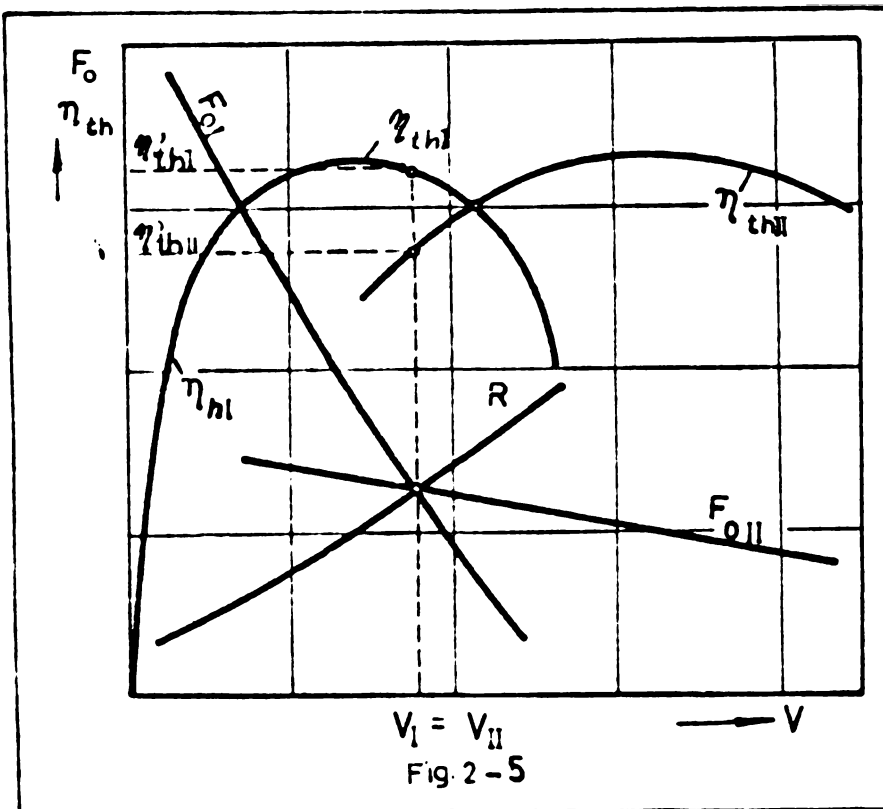
Acste caracteristici de comutare, care asigură o funcționare a locomotivei cu un randament maxim posibil se determină din condiția ca raportul între randamentul transmisiei pe treaptă inferioară η_{tI} și randamentul pe treaptă superioară η_{tII} să fie egal cu unitatea :

$$\frac{\eta_{tI}}{\eta_{tII}} = 1 \quad (2.5)$$

Raportul:

$$\delta\eta_t = \frac{\eta_{tI}}{\eta_{tII}}$$

se numește coeficientul căderii randamentului transmisiei în zona de comutare.



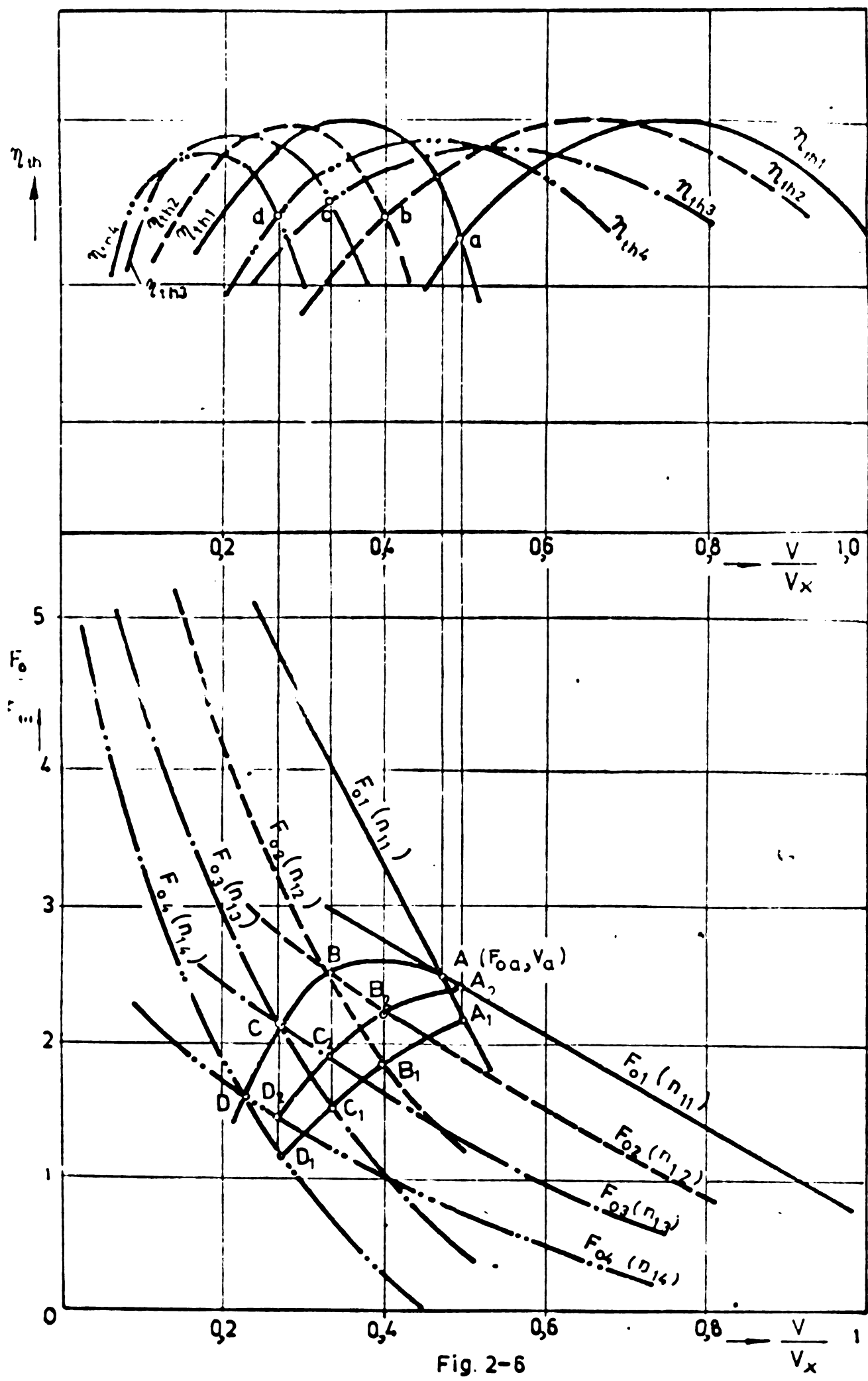


Fig. 2-6

Randamentul transmisiei este:

$$\eta_t = \eta_{th} \cdot \eta_m \quad (2.6)$$

în care: η_{th} este randamentul transmisiei hidraulice.

Randamentul transmisiei mecanice η_m de la ieșirea din transmisia hidraulică pînă la obadă, variază în limite foarte mici cu viteza, și de aceea, se poate considera constant și egal pe cele două trepte de viteze alăturate.

În acest caz coeficientul căderii randamentului $\delta\eta_t$ este:

$$\delta\eta_t = \frac{\eta_{thI}}{\eta_{thII}} \quad (2.7)$$

Coefficientul $\delta\eta_t$ depinde de parametrii motorului diesel și ai transmisiei. Deoarece η_{dh} este funcție de raportul de transformare a turatiei, $i_n = n_t/n_p$, și $\delta\eta_t$ este funcție de n_p și n_t .

Deci pentru ca locomotiva, în zona de comutare, să funcționeze cu un randament maxim posibil, care să aibă o variație continuă, schimbarea treptelor de viteze trebuie să se facă în punctele în care $\delta\eta_t = 1$.

Dacă comutarea nu se face după caracteristicile de comutare determinate din ecuația $\delta\eta_t - 1 = 0$, ci după o altă caracteristică de exemplu, după cea dată de intersecția forțelor de tracțiune, atunci caracteristicile randamentului locomotivei se obțin în trepte. Astfel:

$\delta\eta_t - 1 > 0$ corespunde unei căderi a randamentului ($\Delta\eta_t$) la trecerea pe treaptă superioară și respectiv unei creșteri ($\Delta\eta_t$) la trecerea pe treaptă inferioară (fig.2-7);

$\delta\eta_t - 1 < 0$ corespunde unei creșteri a randamentului ($\Delta\eta_t$) la trecerea pe treaptă superioară și respectiv unei căderi ($\Delta\eta_t$) la trecerea pe treaptă inferioară (fig.2-8).

2.2.3. Coefficientul de transmitere a puterii la obada roții motoare.

Gradul de utilizare a puterii la obadă, în zona de

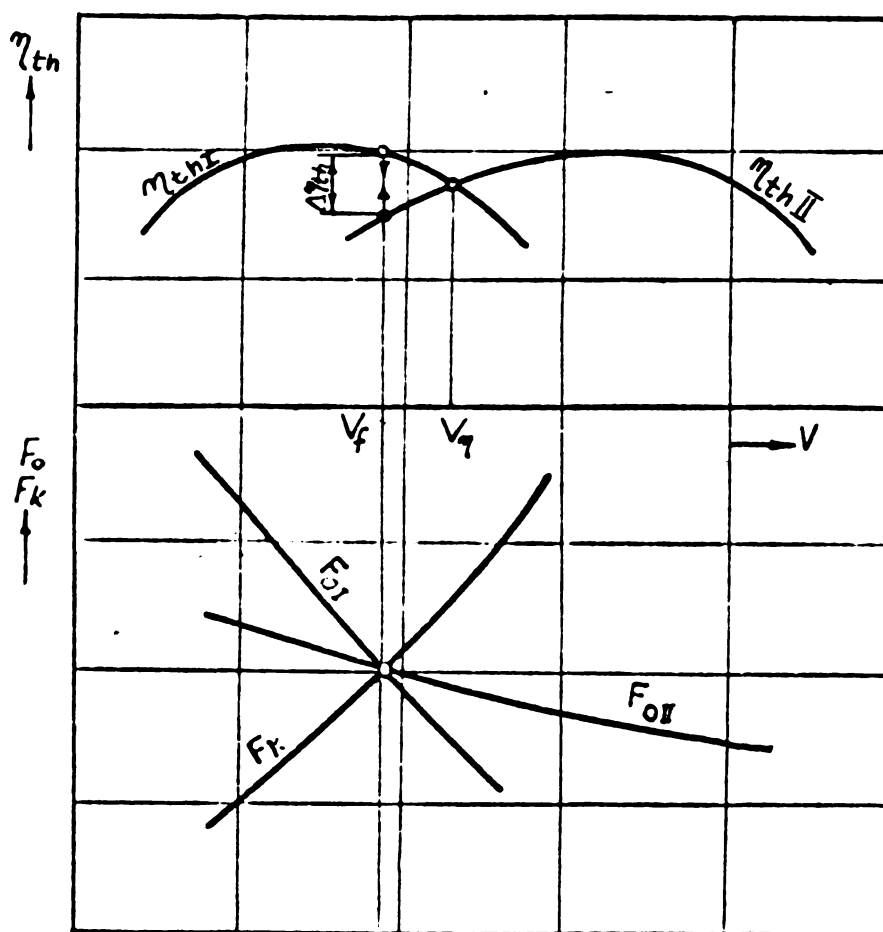


Fig. 2-7

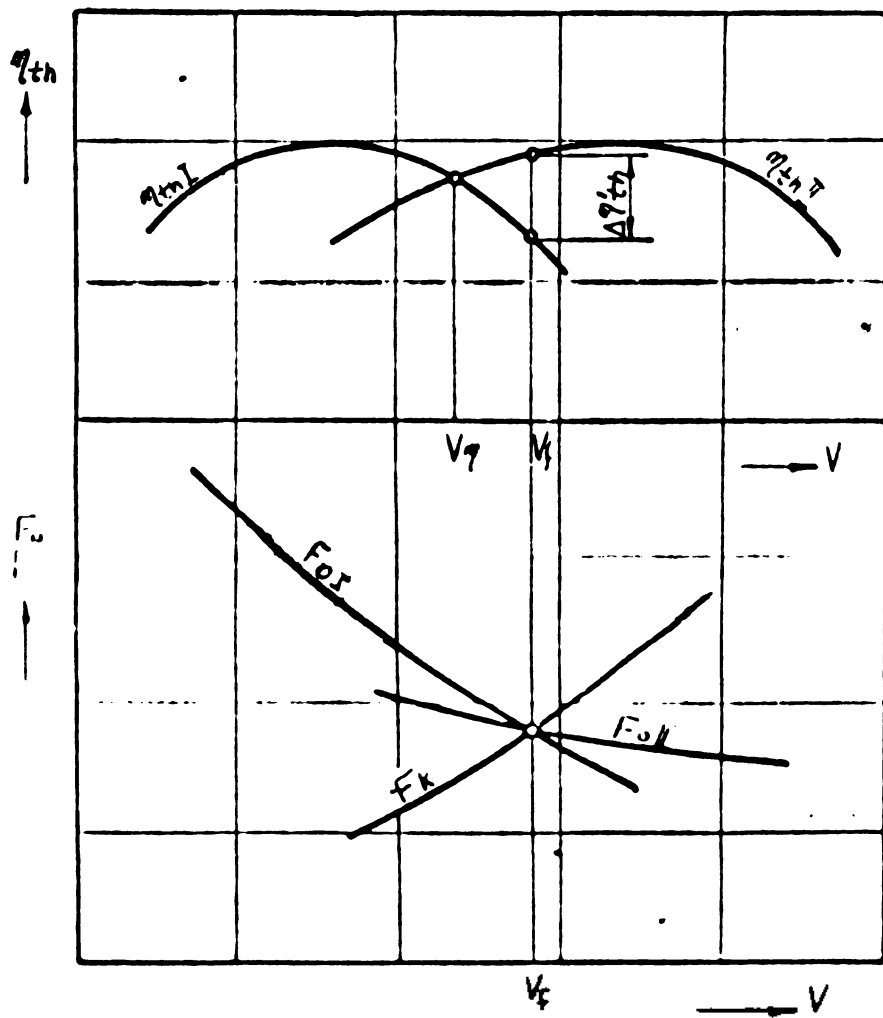


Fig. 2-8

comutare, este determinat de coeficientul :

$$\psi_k = \frac{\psi_{oI}}{\psi_{oII}} \quad (2.8)$$

în care:

$\psi_o = P_o/P_{dmax}$ este coeficientul de transmitere a puterii la obadă pe o anumită treaptă de viteze:

$$\psi_o = \frac{k F_o V}{P_{dmax}} \quad (2.9)$$

La o viteză constantă, din relațiile (2.8) și (2.9) rezultă:

$$\psi_k = \frac{F_{oI}}{F_{oII}} = \delta F_o \quad (2.10)$$

în care δF_o este căderea forței de tractiune în procesul de comutare.

Din această relație rezultă că utilizarea forței de tractiune, în procesul de comutare, este determinată, ca valoare, de coeficientul de transmitere a puterii la obadă.

Pe o anumită treaptă de viteze, coeficientul de transmitere a puterii la obadă se poate scrie :

$$\psi_o = \frac{P_o}{P_{dmax}} = \frac{\gamma_m \cdot P_d \cdot \gamma_{th}}{P_{dmax}}$$

Deoarece $P_d/P_{dmax} = \varphi_d$, iar randamentul γ_m se modifică neînsemnat la schimbarea regimului de lucru al motorului diesel, astfel că $\gamma_m = \text{const.}$ rezultă:

$$\psi_o = \gamma_m \cdot \gamma_{th} \cdot \varphi_d \quad (2.11)$$

Din relațiile (2.8) și (2.11) rezultă :

$$\psi_k = \frac{\gamma_{thI} \cdot \varphi_{dI}}{\gamma_{thII} \cdot \varphi_{dII}} = \psi_k \cdot \delta \gamma_t \quad (2.12)$$

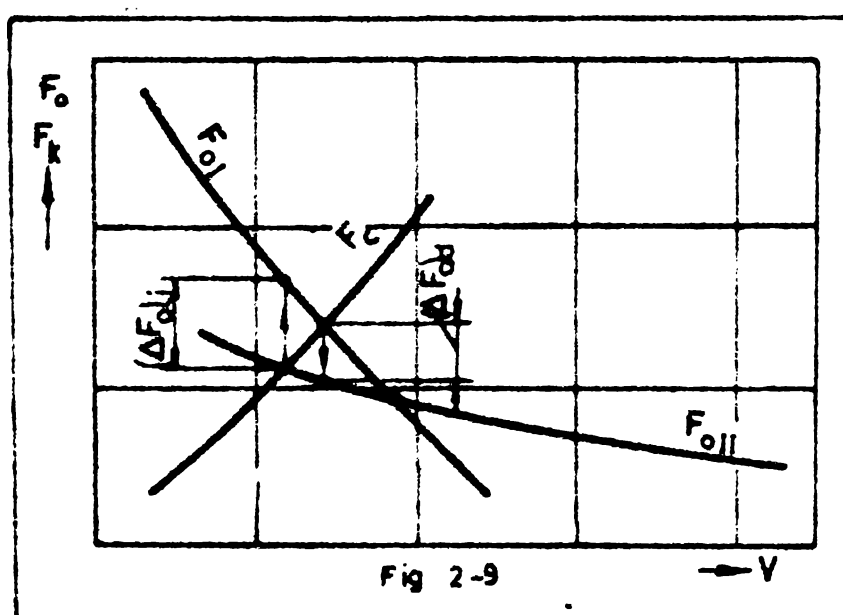
Pentru obținerea unei puteri maxime la obadă locomotivei și caracteristici ale forței de tractiune fără salturi, este necesar ca valoarea coeficientului de transmitere a puterii să aibă valoarea:

$$\psi_k = 1 \quad (2.13)$$

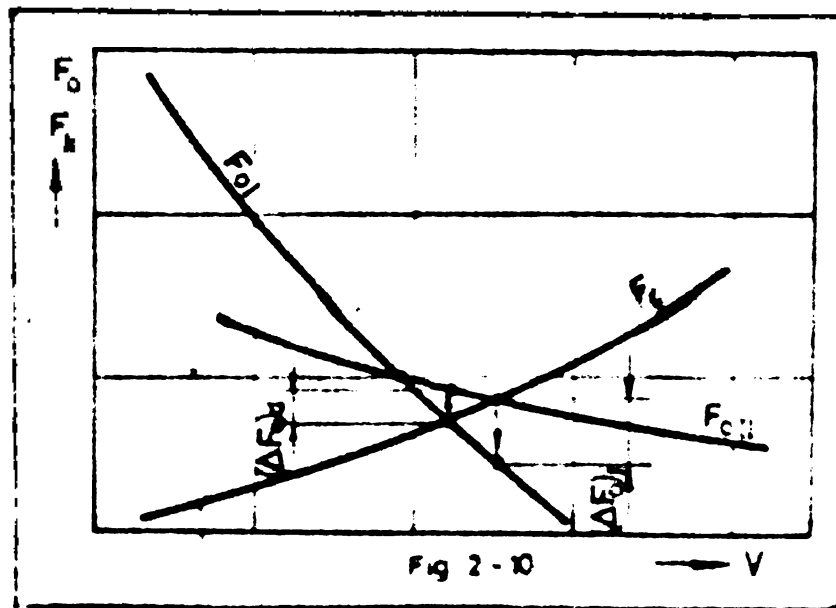
Ecuția (2.13) determină caracteristica de comutare A B C D (fig.2-6).

În cazul în care comutarea nu se face după caracteristica E C D pentru care $\gamma_k - 1 = 0$, ci după o altă caracteristică, astfel încât :

$\gamma_k - 1 > 0$ - rezultă o cădere a forței de tracțiune $(\Delta F_o)_d$ la trecerea pe treapta superioară, respectiv un salt al forței de tracțiune $(\Delta F_o)_i$ la trecerea pe treapta inferioară (fig.2-9);



$\gamma_k - 1 < 0$ - rezultă un salt al forței de tracțiune $(\Delta F_o)_d$ la trecerea pe treapta superioară, respectiv o cădere a forței de tracțiune $(\Delta F_o)_i$ la trecerea pe treapta inferioară. (fig. 2-10)



In cazul utilizării transformatoarelor netransparente $\psi_d = 1$, deci $\psi_k = 1$ și

$$\psi_k = \delta\eta_t$$

Dacă transformatoarele netransparente sunt și identice $\delta\eta_t = 1$, deci $\gamma_k = 1$.

2.2.4. Coeficientul de comutare.

Determinarea caracteristicilor de comutare numai în funcție de parametrii agregatelor din circuitul de forță și de condițiile concrete de utilizare ale locomotivei, nu este suficientă. La asigurarea unei funcționări normale a locomotivei, au o mare influență parametrii sistemului de comandă automată a comutării treptelor de viteze, dintre care cei mai importanți sint:

- valoarea coeficientului de comutare S_k ;
- timpul de comutare t_k .

Timpul total de comutare este determinat de constantele de timp ale elementelor sistemului de comandă automată, dintre care ponderea cea mai mare o are constanta de timp a transmisiilor hidraulice, adică timpul de umplere și de golire a transformatoarelor [43], [44].

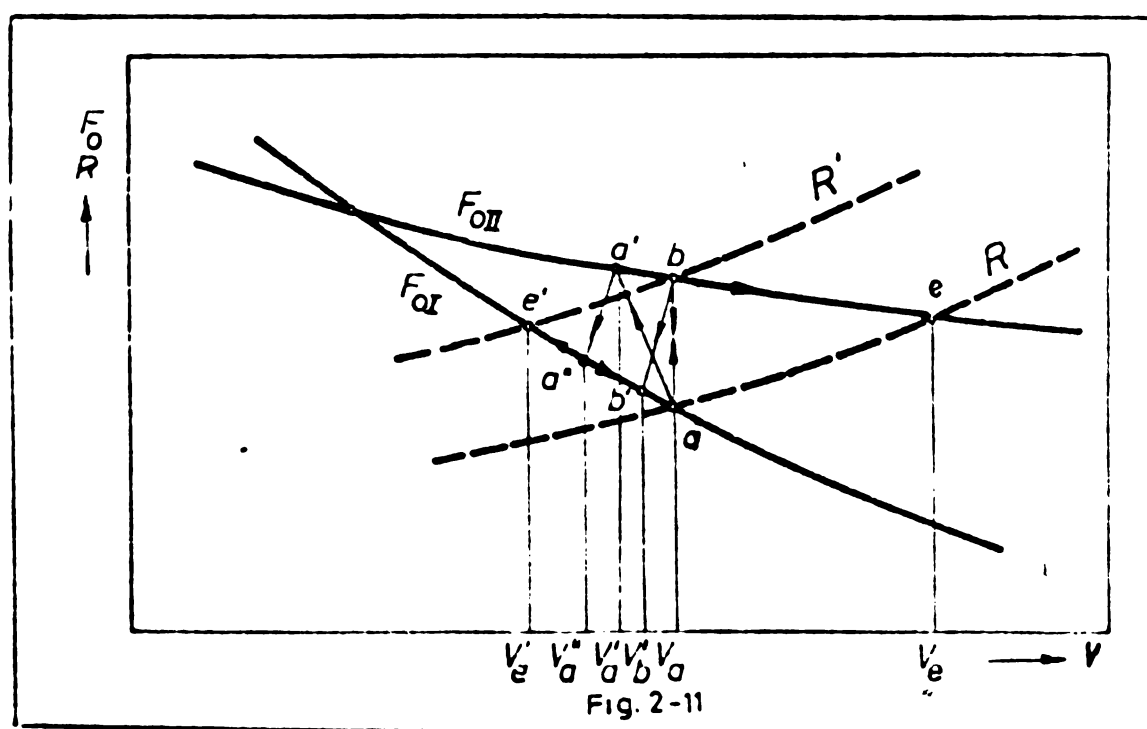
Presupunând că timpul de comutare este infinit de mic se poate afirma că procesul de comutare după curba $(F_{0f}/F_{0i}) = f_1(V/V_x)$ la care căderea forței de tracțiune este zero (curba ABCD din figura 2-6) are un caracter stabil, adică este exclusă posibilitatea apariției autooscilațiilor.

Dacă comutarea se realizează după caracteristica $(F_{0f}/F_{0i}) = f_2(V/V_x)$ la care căderea randamentului este zero (curba A₁B₁C₁D₁ din figura 2-6), la atingerea vitezei V_a (rezistență R) se produce comutarea pe treapta superioară (a - b), după care locomotiva se accelerează pînă la o viteză de echilibru $V_e > V_a$ determinată de punctul de intersecție a rezistenței la mers cu curba forței de tracțiune (2-11). La creșterea rezistenței la mers pînă la R', viteză se reduce, iar cînd a ajuns la valoarea V_a are loc comutarea pe treapta inferioară și reducerea în continuare a vitezei pînă la noua viteză de echilibru $V'_e < V_a$. În cazul ideal, adică atunci cînd timpul de comutare este zero, rezultă că funcționarea sistemului este stabilă.

In realitate, procesul de comutare se produce într-un

anumit interval de timp, și nu poate fi caracterizat numai printr-o singură caracteristică de comutare. Astfel, în figura 2-11 la comutarea de la treapta inferioară la cea superioară, viteză de mișcare scade pînă la V_a' , valoarea reducerii vitezei depinzînd de durata procesului de comutare și de rezistență la mers. Deoarece $V_a' < V_a$ este inevitabilă conectarea treptei inferioare cu scăderea vitezei pînă la V_a'' . După terminarea procesului de comutare a treptei inferioare, are loc o accelerare a locomotivei (întrucît $P_o > R$) pînă la atingerea vitezei V_a , conectarea treptei superioare deci repetarea procesului. Pentru asigurarea unei funcționări stabile trebuie ca viteza la comutarea inversă V_i să îndeplinească condiția:

$$V_i < V_a - \Delta V_k ; \quad \Delta V_k = V_a - V_a'$$



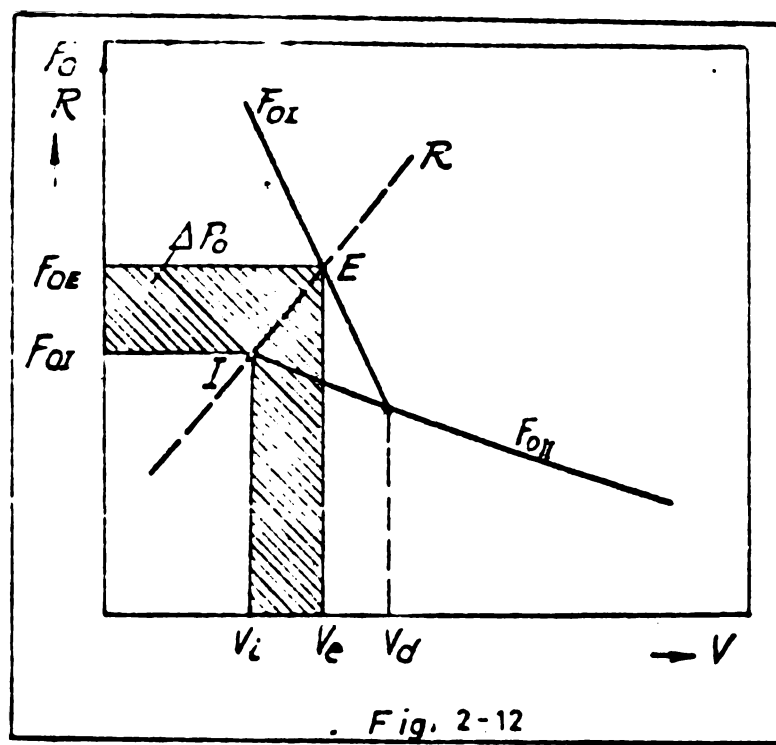
Comutarea de la treapta superioară la cea inferioară (rezistență fiind R') determină scăderea vitezei de la V_a la V_a' și apoi după caracteristica forței de tractiune pînă la V_e' .

Viteză de comutare directă și inversă este dată de parametrii elementelor sistemului automat și depinde de construcție și reglarea lui.

Valoarea coeficientului de comutare S_k , depinde în special de construcția și reglarea elementului sensibil al sistemului automat, iar cădereea de viteză ^{către} loc în timpul procesului de comutare, depinde de valoarea căderii forței de tractiune, de rezistență la mers și de timpul de comutare.

Timpul de comutare și valoarea forței de tractiune, depinde de construcția tuturor elementelor sistemului automat de comutare și într-o anumită măsură de regimul de funcționare al locomotivei.

La o valoare mică a coeficientului S_k dispare pericolul apariției fenomenului de autooscilare la comutarea directă. Dar micșorarea lui S_k determină creșterea intervalului $(V_d - V_i)$ în care locomotiva poate funcționa în două regimuri:



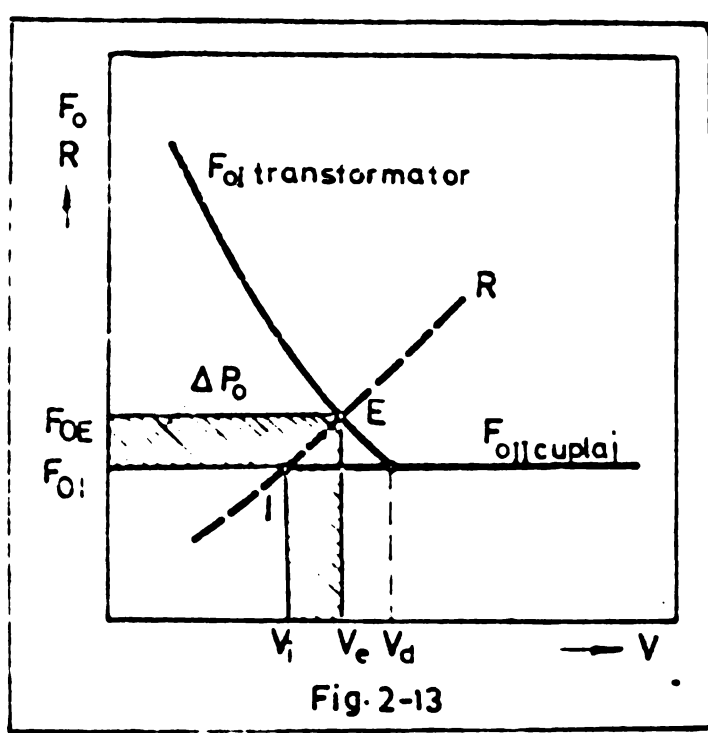
- mișcarea locomotivei cu creșterea vitezei (la un regim anterior comutării directe);

- mișcarea locomotivei cu micșorarea vitezei (la un regim anterior comutării inverse).

Dacă locomotiva înaintea comutării inverse are viteza apropiată de V_i (fig. 2-12, punctul I) atunci pe orice porțiune de cale și cu aceeași garnitură (rezistență trenului nemodificată) la primul regim (înaintea comutării directe) locomotiva are o viteză și o forță de tractiune corespunzătoare punctului E (fig. 2-12).

Suprafața hașurată din figura 2-12 reprezintă valoarea cu care se micșorează puterea la obadă la funcționarea locomotivei în regimul al 2-lea (cind treapta a 2-a este realizată cu un transformator hidraulic).

In figura 2-13 este



reprezentat cazul cind pe treapta a doua se utilizeaza un cuplaj hidraulic.

Cu cat coeficientul S_k are o valoare mai mica, pierderile datorita folosirii incomplete a puterii motorului diesel se muresc, dar creste domeniul de stabilitate a procesului de comutare.

2.3. Determinarea criteriilor de comutare.

2.3.1. Definirea transparentei transformatoarelor hidraulice.

Transformatoarele la care sarcina la arborele de intrare nu se modifică cu modificarea sarcinii la arborele de ieșire, se numesc transformatoare netransparente. La aceste transformatoare $\gamma\lambda_p = \text{const.}$

Transformatoarele transparente sunt transformatoarele, la care o dată cu modificarea sarcinii la arborele de ieșire se modifică și sarcina la arborele de intrare [6], [30], [31], [42], [52]. Deci la aceste transformatoare: $\partial(\gamma\lambda_p)/\partial i_n \neq 0$.

Gradul de transparentă al unui transformator se apreciază după valorile coeficientului de transparentă T și este apreciat de diversi autori în mod diferit.

Astfel în [6] se definește gradul de transparentă prin raportul între valorile coeficientului cuplului pompei $\gamma\lambda_p$ la extremitățile intervalului valorilor i_n care definesc zona de utilizare a transformatorului respectiv, adică :

$$T_u = \frac{\gamma\lambda_{pm}(i_n=i_{nmin})}{\gamma\lambda_{pM}(i_n=i_{nmax})}$$

Literatura [30], [45] recomandă pentru gradul de transparentă raportul între valorile lui $\gamma\lambda_p = \gamma\lambda_{ps}$ la regimul de pornire ($i_n = 0$) și la regimul de cuplaj adică $i_n = i_{nc}$ la care $K = G_p/G_p = 1$, adică $\gamma\lambda_p = \gamma\lambda_{pk}$!

$$T_k = \frac{\gamma\lambda_{ps}}{\gamma\lambda_{pk}}$$

In lucrarea [26] se definește gradul de transparentă astfel :

$$T_o = \frac{\gamma \lambda_{po}}{\gamma \lambda_p}$$

în care $\gamma \lambda_{po}$ reprezintă valoarea coeficientului $\gamma \lambda_p$ la regimul de calcul al transformatorului, adică la $i_n = i_{no}$; $\gamma_{tr} = \gamma_{trmax}$.

Criteriile de transparentă T_u , T_k , T_o pentru un tip dat de transformator sunt mărimi constante, nedepinzând nici de legea de variație a caracteristicilor transformatorului și nici de caracteristicile motorului. Trebuie avut în vedere că pentru unul și același transformator cele trei criterii au valori diferite.

In literatură [30] se dă valoarea transparentei, prin modificarea turăției motorului care antrenează transmisia, la sarcina maximă. Această mărime nu dă o imagine reală asupra caracteristicilor transformatorului, deoarece variația turăției arborelui motor este determinată nu numai de caracteristicile transformatorului, ci și de caracteristicile motorului.

Utilizarea criteriului T_k apare justificată numai în cazul transformatoarelor complexe și oarecum în cazul transmisiilor compuse din transformatoare și cuplaje hidraulice.

Mai justificată apare utilizarea criteriului T_u , deoarece cu excepția transformatorului de demaraj, nu interesează caracteristicile transformatorului în afara zonei de utilizare. Însă și aici "se pune sub semnul întrebării" cunoașterea precisă a mărimii zonei de utilizare a transformatorului, adică a valorilor i_{nmin} și i_{nmax} . Valoarea i_{nmax} a transformatorului de demaraj și valoarea i_{nmin} a transformatorului de mers (în cazul transmisiilor cu două trepte de viteze hidraulice) sunt determinate de caracteristicile de comutare și pot fi stabilite numai după cunoașterea caracteristicilor de comutare. În plus aceste mărimi au valori diferite la comutarea directă și la comutarea inversă, deoarece aceste comutări se fac la viteze diferite, adică la i_n diferenți.

Criteriul T_u se utilizează la calculul transmisiilor [52].

De aceea, e firesc, ca la determinarea caracteristicilor de comutare, să se utilizeze un criteriu de transparentă independent de poziția caracteristicilor de comutare și anume:

$$T_s = \frac{\gamma \lambda_{ps}}{\gamma \lambda_{pn}}$$

Valoarea coeficientului cuplului pompei $\gamma \lambda_{pn}$ la turăția nominală a motorului diesel, pentru un anumit tip de transformator, este constantă:

$$\gamma \lambda_{pn} = \frac{C_{pn}}{n_{pn}^2 D^5} = \text{const.}$$

în care C_{pn} este cuplul pompei la turăția nominală a motorului diesel.

Transparenta unui transformator este caracterizată nu numai prin gradul de transparentă ci și prin legea de variație a coeficientului cuplului pompei în funcție de i_n .

Transformatoarele utilizate pe locomotive au în general o transparentă mică $T_s \in (0,8; 1,2)$ [6], [18], [20]. Desigur că la funcționarea în comun a unui transformator transparent cu un motor diesel, apare o reducere a turăției motorului diesel cu atât mai mare cu cît abaterea transparentei de la valoarea $T_s = 1$ este mai mare. Pentru aceste valori ale transparentei, caracteristica coeficientului cuplului pompei poate fi exprimată prin următoarele funcții [51], [52], [70]:

- pentru transformatoarele cu transparentă liniară:

$$\frac{\gamma \lambda_p}{\gamma \lambda_{pn}} = (1 - T_s) \frac{i_n}{i_{nn}} + T_s$$

Deoarece:

$$\frac{i_n}{i_{nn}} = \frac{i_t}{i_{tn}} = \frac{n_2}{n_{2n}} \cdot \frac{n_{dn}}{n_d} = \frac{v}{v_n} \cdot \frac{n_{dn}}{n_d} = \frac{v}{v_x} \cdot \frac{v_x}{v_n} \cdot \frac{n_{dn}}{n_d},$$

$$\frac{\gamma \lambda_p}{\gamma \lambda_{pn}} = (1 - T_s) \frac{v_x}{v_n} \cdot \frac{v}{v_x} \cdot \frac{n_{dn}}{n_d} + T_s \quad (2.14)$$

în care:

v_n este viteza locomotivei corespunzătoare turățicii nominale n_{dn} a motorului diesel;

v_x - viteza maximă a locomotivei;

$i_t = \frac{n_t}{n_d}$ - raportul între turăția arborelui de ieșire și a colui de intrare din transmisia hidraulică;

$$i_{tn} = \frac{n_{2n}}{n_{dn}};$$

i_{2n} - turăția arborelui de ieșire din transmisia hidraulică corespunzătoare turăției nominale a motorului diesel.

- pentru transformatoare cu transparentă parabolică:

$$\frac{\tau \lambda_p}{\tau \lambda_{pn}} = b_1 \left(\frac{i_n}{i_{nn}} \right)^2 + b_2 \frac{i_n}{i_{nn}} + T_s$$

sau ținând seama de notațiile anterioare :

$$\frac{\tau \lambda_p}{\tau \lambda_{pn}} = b_1 \left(\frac{v_x}{v_n} \cdot \frac{v}{v_x} \cdot \frac{n_{dn}}{n_d} \right)^2 + b_2 \frac{v_x}{v_n} \cdot \frac{v}{v_x} \cdot \frac{n_{dn}}{n_d} + T_s \quad (2.15)$$

2.3.2: Calculul coeficientului de utilizare a puterii motorului diesel.

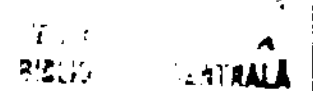
Coefficientul de utilizare a puterii motorului diesel în zona de comutare φ_k este definit de relația (2.3). Pentru determinarea acestui coefficient trebuie cunoscută dependența coeficientului φ_d pe o anumită treaptă de viteze în funcție de viteză de mers.

Coefficientul de utilizare a puterii motorului diesel φ_d pe o anumită treaptă depinde atât de parametrii motorului cât și de parametrii transmisiiei.

In funcție de parametrii motorului, coefficientul φ_d este:

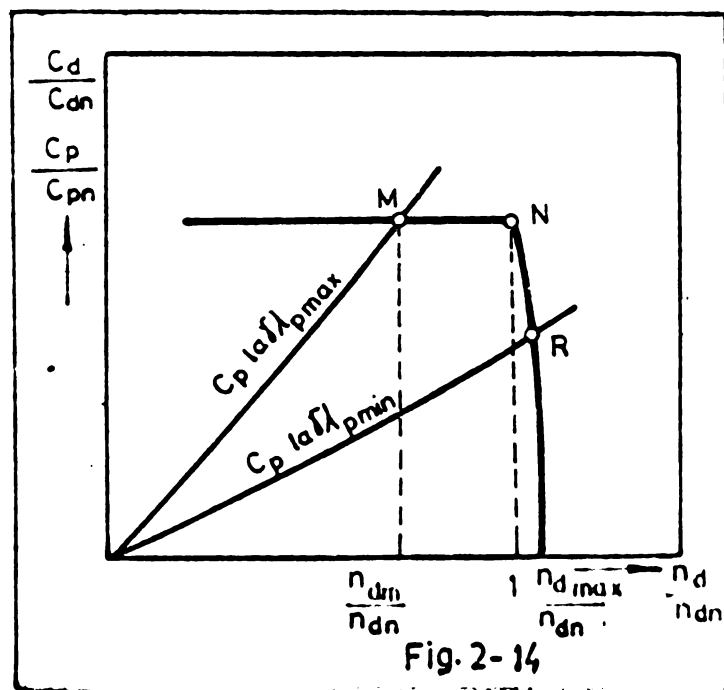
$$\varphi_d = \frac{P_d}{P_{dmax}} = \frac{C_d n_d}{C_{dmax} n_{dn}} \quad (2.16)$$

Pentru exprimarea analitică a dependenței $\varphi_d = \varphi_d(n_d, n_t)$ se aproximează caracteristicile motorului diesel prin polinoame. Pentru o anumită caracteristică, gradul polinomului se alege în funcție de modul de desfășurare al procesului descris și de gradul de precizie necesar.



In cazul locomotivelor diesel cu transmisie hidraulică compusă din transformatoare, gradul polinomului se alege luind în considerare variația maximă a puterii preluate de transmisie la modificarea vitezei de mers și la funcționarea motorului la o injecție constantă. La transformatoarele transparente valoarea reducerii puterii motorului, față de puterea nominală, este determinată de mărimea gradului de transparentă al transformatorului.

La transformatoarele utilizate pe locomotivele diesel la valori ale transparentei cuprinse în limitele arătate $T_s \in (0,8; 1,2)$, reducerea turăției motorului este relativ mică și anume $n_d/n_{dn} \geq 0,8$ la funcționarea motorului la sarcina nominală, pe caracteristica externă de turăție (unde valoarea reducerii turăției este maximă), iar la funcționarea pe caracteristica de regulator la sarcina nominală ($n_d > n_{dn}$) cuplul se micșorează, de asemenea în limite relativ mici (fig.2-14).



Rezultă, deci, că punctele de funcționare în comun a motorului diesel cu transformatorul hidraulic se găsesc pe porțiunile MN, respectiv NR ale caracteristicilor motorului, care se pot approxima cu suficientă precizie prin funcțiile liniare [6], [65]:

$$\frac{C_d}{C_{dn}} = \begin{cases} 1 & \text{pentru } \frac{n_d}{n_{dn}} \in \left[\frac{n_{dm}}{n_{dn}}, 1 \right] \\ a_{2r} - a_{1r} \frac{n_d}{n_{dn}} & \text{pentru } \frac{n_d}{n_{dn}} \in \left[1, \frac{n_{dmax}}{n_{dn}} \right] \end{cases} \quad (2.17)$$

în care:

$$a_{1r} = \frac{1}{\delta_{nr}-1}; \quad a_{2r} = \frac{\delta_{nr}}{\delta_{nr}-1} \quad \text{și} \quad \delta_{nr} = \frac{n_{dmax}}{n_{dn}}$$

Pentru stabilirea dependenței coeficientului φ_d de viteza locomotivei trebuie cunoscută variația turăției motorului diesel în funcție de viteză. Această dependență se determină din relația fundamentală a grupului motor diesel - transmisie hidraulică, în regim staționar de funcționare.

Considerind pierderile pentru instalațiile auxiliare constante ($\beta = \text{const.}$)

$$\frac{c_d}{c_{dmax}} = \frac{c_p}{c_{pn}} = \frac{\varphi_{lp} n_p^2 D^5}{\varphi_{lpn} n_{pn}^2 D^5} = \frac{\varphi_{lp}}{\varphi_{lpn}} \left(\frac{n_p}{n_{pn}} \right)^2 \quad (2.19)$$

Decoarece: $\frac{n_d}{n_{dn}} = \frac{n_p}{n_{pn}}$ și $\frac{c_d}{c_{dn}} = \frac{c_e}{c_{en}}$ (considerind $\beta = \frac{P_e}{P_d} = \text{const.}$)

din relațiile (2.17), (2.18) și (2.19) se obține turăția motorului diesel în funcție de coeficientul $\varphi_{lp} / \varphi_{lpn}$:

$$\frac{n_d}{n_{dn}} = \begin{cases} \sqrt{\frac{\varphi_{lpn}}{\varphi_{lp}}} & \text{pentru } \frac{\varphi_{lp}}{\varphi_{lpn}} \in \left[1, \frac{\varphi_{lpmax}}{\varphi_{lpn}} \right] \\ -\frac{a_{1r}}{2} \cdot \frac{\varphi_{lpn}}{\varphi_{lp}} + \sqrt{\left(-\frac{a_{1r}}{2} \cdot \frac{\varphi_{lpn}}{\varphi_{lp}} \right)^2 + a_{2r} \frac{\varphi_{lpn}}{\varphi_{lp}}} & \end{cases} \quad (2.20)$$

$$\frac{n_d}{n_{dn}} = \begin{cases} \frac{\varphi_{lp}}{\varphi_{lpn}} & \text{pentru } \frac{\varphi_{lp}}{\varphi_{lpn}} \in \left[\frac{\varphi_{lpmin}}{\varphi_{lpn}}, 1 \right] \end{cases} \quad (2.21)$$

Aceste relații sunt valabile la funcționarea motorului diesel pe caracteristica externă.

Cind motorul diesel funcționează la sarcini parțiale, legea de variație a turăției lui în funcție de viteza locomotivei depinde și de sistemul de reglaj al motorului.

La locomotivele diesel cu transmisie hidraulică compusă din transformator este avantajos să se utilizeze motoare diesel cu reglajul turăției, deoarece la fracțiuni din turăția maximă motorul se încarcă de asemenea cu fracțiuni din cuplul motor maxim și numai la turăția maximă a motorului, transformatorul întregul cuplu motor și deci admisia completă [28].

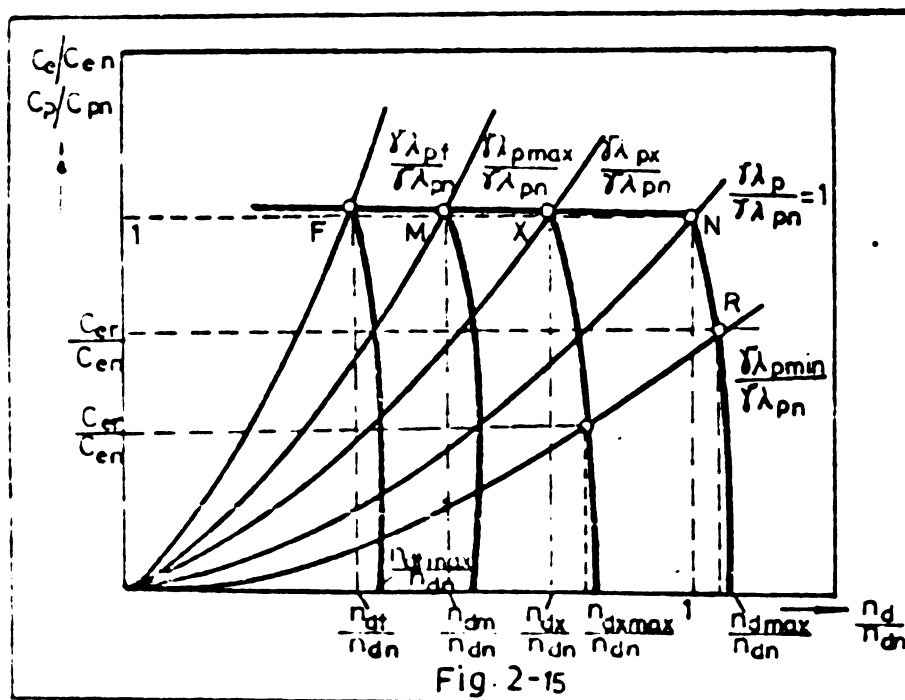
În următori, în prezent, în majoritatea locomotivelor cu transmisie hidraulică se utilizează motoare cu reglajul turăției și de asemenea în cele ce urmează se vor lua în considerare numai aceste motoare.

Caracteristicile de regulator, la sarcini parțiale ale motorului diesel (fig. 2-15), sunt date de relația:

$$\frac{C_d}{C_{dx}} = a_{1x} - a_{2x} \frac{n_d}{n_{dx}} \quad (2.22)$$

în care:

$$a_{1x} = \frac{1}{\delta_{nx} - 1}; \quad a_{2x} = \frac{\delta_{nx}}{\delta_{nx} - 1} \quad \text{și} \quad \delta_{nx} = \frac{n_{dxmax}}{n_{dx}}$$



La determinarea caracteristicilor de comutare, pentru funcționarea motorului la sarcini parțiale pot apărea două cazuri de trecere pe caracteristica de regulator.

Cazul I : Turăția motorului diesel corespunzătoare punctului X de intersecție a caracteristicii de regulator cu caracteristica exter-

nă este mai mare decât turăția minimă n_{dm} (fig. 2-15). Valoarea n_{dm} a turăției motorului, corespunzătoare valorii maxime a coeficientului cuplului pompei din relația (2.20) pentru $\frac{C_e}{C_en} = \frac{Y\lambda_p}{Y\lambda_{pmax}}$:

$$n_{dm} = n_{dn} \sqrt{\frac{Y\lambda_{pn}}{Y\lambda_{pmax}}}$$

Coeficientul parabolei cuplului pompei $Y\lambda_{px}$, care trece prin punctul X este :

$$\frac{Y\lambda_{px}}{Y\lambda_{pn}} = \left(\frac{n_{dn}}{n_{dx}} \right)^2$$

cind
Atunci $\frac{\gamma \lambda_p}{\gamma \lambda_{pn}} > \frac{\gamma \lambda_p}{\gamma \lambda_{pn}}$ turăția motorului se calculează cu relația (2.20), iar pentru $\frac{\gamma \lambda_p}{\gamma \lambda_{pn}} < \frac{\gamma \lambda_{px}}{\gamma \lambda_{pn}}$ cu relația :

$$\frac{n_d}{n_{dn}} = \frac{n_{dx}}{n_{dn}} \left[-\frac{a_{1x}}{2} \cdot \frac{\gamma \lambda_{px}}{\gamma \lambda_p} + \sqrt{\left(\frac{a_{1x}}{2} \cdot \frac{\gamma \lambda_{px}}{\gamma \lambda_p} \right)^2 + a_{2x} \frac{\gamma \lambda_{px}}{\gamma \lambda_p}} \right] \quad (2.23)$$

în care:

$$a_{1x} = \frac{1}{\delta_{nx}-1} ; \quad a_{2x} = \frac{\delta_{nx}}{\delta_{nx}-1} \quad \text{și} \quad \delta_{nx} = \frac{n_{dxmax}}{n_{dx}}$$

Cazul II : Turăția de funcționare a motorului diesel, corespunzătoare punctului de intersecție a caracteristicii externe cu caracteristica de regulator este mai mică decit turăția minimă de funcționare, adică $n_{df} < n_{dm}$ (punctul F din figura 2-15). În acest caz, punctul F de intersecție a celor două caracteristici ale motorului, se găsește în exteriorul zonei de încărcare a motorului de către transformator. Pentru a păstra, însă, forma generală a formulelor de calcul, se determină coeficientul $\gamma \lambda_p/\gamma \lambda_{pn}$ a parabolei fictive care trece prin punctul F :

$$\frac{\gamma \lambda_{pf}}{\gamma \lambda_{pn}} = \left(\frac{n_{dn}}{n_{df}} \right)^2$$

În acest caz, turăția motorului diesel se poate determina cu relația (2.23) în care se înlocuiește n_{dx} prin n_{df} , $\gamma \lambda_{px}/\gamma \lambda_{pn}$ prin $\gamma \lambda_p/\gamma \lambda_{pn}$ și coeficienții a_{1x} și a_{2x} prin valorile lor corespunzătoare caracteristicii de regulator respective:

$$\frac{n_d}{n_{dn}} = \frac{n_{df}}{n_{dn}} \left[-\frac{a_{1f}}{2} \cdot \frac{\gamma \lambda_{pf}}{\gamma \lambda_p} + \sqrt{\left(\frac{a_{1f}}{2} \cdot \frac{\gamma \lambda_{pf}}{\gamma \lambda_p} \right)^2 + a_{2f} \frac{\gamma \lambda_{pf}}{\gamma \lambda_p}} \right] \quad (2.24)$$

în care:

$$a_{1f} = \frac{1}{\delta_{nf}-1} ; \quad a_{2f} = \frac{\delta_{nf}}{\delta_{nf}-1} \quad \text{și} \quad \delta_{nf} = \frac{n_{dfmax}}{n_{df}}$$

Având în vedere cazurile orătate de funcționare a grupului motor diesel - transformator hidraulic se poate determina variația turăției motorului în funcție de viteza locomotivei dacă se cunoaște dependența $\gamma \lambda_p/\gamma \lambda_{pn} = f(V)$. Această dependență se

poate stabili fie teoretic în funcție de parametrii principali ai transformatorului, fie plecind de la caracteristicile experimentale ale transformatorului.

Deoarece tema dată se referă la îmbunătățirea caracteristicilor de comutare ale locomotivelor cu transmisie hidraulică, stabilirea dependenței $\frac{\gamma \lambda_p}{\gamma \lambda_{pn}} = f(V)$ trebuie considerată pentru transmisiile hidraulice existente cu diferite curbe caracteristice stabilite experimental.

La sarcina nominală a motorului diesel dependența turatiei motorului diesel de viteza locomotivei, pe o anumită treaptă de viteză, rezultă din relațiile (2.14), (2.15), (2.20) și (2.21):

- în cazul utilizării unui transformator cu transparență liniară :

$$\frac{n_d}{n_{dn}} = \left\{ \begin{array}{l} c_{ln} \frac{v}{v_x} + \sqrt{c_{in}^2 \left(\frac{v}{v_x} \right)^2 + c_{2n}} \\ \text{pentru } \frac{\gamma \lambda_p}{\gamma \lambda_{pn}} \in \left[1, \frac{\gamma \lambda_{pmax}}{\gamma \lambda_{pn}} \right] \end{array} \right. \quad (2.25)$$

$$\frac{n_d}{n_{dn}} = \left\{ \begin{array}{l} c_{ln} \frac{v}{v_x} - c_{lr} + \sqrt{\left(c_{ln} \frac{v}{v_x} - c_{lr} \right)^2 + c_{2r}^2} \\ \text{pentru } \frac{\gamma \lambda_p}{\gamma \lambda_{pn}} \in \left[\frac{\gamma \lambda_{pmin}}{\gamma \lambda_{pn}}, 1 \right] \end{array} \right. \quad (2.26)$$

- în cazul utilizării unui transformator cu transparență parabolică :

$$\frac{n_d}{n_{dn}} = \left\{ \begin{array}{l} -c_{ln}' \frac{v}{v_x} + \sqrt{\left[\left(c_{in}' \right)^2 - c_{2n}'^2 \right] \left(\frac{v}{v_x} \right)^2 + \frac{1}{T_s}} \\ \text{pentru } \frac{\gamma \lambda_p}{\gamma \lambda_{pn}} \in \left[1, \frac{\gamma \lambda_{pmax}}{\gamma \lambda_{pn}} \right] \end{array} \right. \quad (2.27)$$

$$\frac{n_d}{n_{dn}} = \left\{ \begin{array}{l} -\left(c_{ln}' \frac{v}{v_x} + c_{lr}' \right) + \sqrt{\left(c_{ln}' \frac{v}{v_x} + c_{lr}' \right)^2 + c_{2n}'^2 \left(\frac{v}{v_x} \right)^2 + c_{2r}'^2} \\ \text{pentru } \frac{\gamma \lambda_p}{\gamma \lambda_{pn}} \in \left[\frac{\gamma \lambda_{pmin}}{\gamma \lambda_{pn}}, 1 \right] \end{array} \right. \quad (2.28)$$

In aceste relații s-a notat:

$$c_{ln} = \frac{T_s - 1}{2T_s} \cdot \frac{V_x}{V_n} ; \quad c_{2n} = \frac{1}{T_s} ; \quad c'_{ln} = \frac{b_2}{2T_s} \cdot \frac{V_x}{V_n} ;$$

$$c'_{2n} = \frac{b_1}{T_s} \left(\frac{V_x}{V_n} \right)^2 ; \quad c_{1r} = \frac{a_{1r}}{2T_s} ; \quad c_{2r} = \frac{a_{2r}}{T_s} ;$$

$$c'_{1r} = \frac{a_{1r}}{2T_s} ; \quad c'_{2r} = \frac{a_{2r}}{T_s}$$

La sarcini parțiale ale motorului diesel turăția lui este :

- în cazul utilizării unui transformator cu transparență liniară :

$$c_{ln} \frac{V}{V_x} + \sqrt{c_{ln}^2 \left(\frac{V}{V_x} \right)^2 + c_{2n}} \quad (2.29)$$

$$\text{dacă } \frac{n_{dx}}{n_{dn}} \in \left[\frac{n_{dm}}{n_{dn}}, 1 \right] \text{ și } \frac{\gamma \lambda_p}{\gamma \lambda_{pn}} \in \left[\frac{\gamma \lambda_{px}}{\gamma \lambda_{pn}}, \frac{\gamma \lambda_{pmax}}{\gamma \lambda_{pn}} \right]$$

$$\frac{n_d}{n_{dn}} = \left\{ \begin{array}{l} c_{ln} \frac{V}{V_x} - c_{1x} + \sqrt{\left(c_{ln} \frac{V}{V_x} - c_{1x} \right)^2 + c_{2x}} \\ \text{dacă } \frac{n_{dx}}{n_{dn}} \in \left[\frac{n_{dm}}{n_{dn}}, 1 \right] \text{ și } \frac{\gamma \lambda_p}{\gamma \lambda_{pn}} \in \left[\frac{\gamma \lambda_{pmin}}{\gamma \lambda_{pn}}, \frac{\gamma \lambda_{px}}{\gamma \lambda_{pn}} \right] \end{array} \right. \quad (2.30)$$

$$\frac{n_d}{n_{dn}} = \left\{ \begin{array}{l} c_{ln} \frac{V}{V_x} - c_{1r} + \sqrt{\left(c_{ln} \frac{V}{V_x} - c_{1r} \right)^2 + c_{2r}} \\ \text{dacă } \frac{n_{dx}}{n_{dn}} \in \left(\frac{n_{dmin}}{n_{dn}}, \frac{n_{dm}}{n_{dn}} \right) \end{array} \right. \quad (2.31)$$

In aceste relații:

$$c_{1x} = \frac{a_{1x}}{2T_s} \cdot \frac{n_{dn}}{n_{dx}} ; \quad c_{2x} = \frac{a_{2x}}{T_s} ; \quad c_{1r} = \frac{a_{1r}}{2T_s} \cdot \frac{n_{dn}}{n_{dr}} ; \quad c_{2r} = \frac{a_{2r}}{T_s}$$

- în cazul utilizării unui transformator cu transparență parabolică :

$$\left\{ -c'_{in} \frac{v}{v_x} + \sqrt{(c'_{in})^2 - c'_{2n} \left(\frac{v}{v_x} \right)^2 + \frac{i}{T_s}} \quad (2.32) \right.$$

$$\text{dacă } \frac{n_{dx}}{n_{dn}} \in \left[\frac{n_{dm}}{n_{dn}}, 1 \right] \text{ și } \frac{\gamma \lambda_p}{\gamma \lambda_{pn}} \in \left[\frac{\gamma \lambda_{px}}{\gamma \lambda_{pn}}, \frac{\gamma \lambda_{pmax}}{\gamma \lambda_{pn}} \right]$$

$$\left\{ \frac{n_d}{n_{dn}} = -(c'_{in} \frac{v}{v_x} + c'_{1x}) + \sqrt{(c'_{in} \frac{v}{v_x} + c'_{1x})^2 - c'_{2n} \left(\frac{v}{v_x} \right)^2 + c'_{2x}} \quad (2.33) \right.$$

$$\text{dacă } \frac{n_{dx}}{n_{dn}} \in \left[\frac{n_{dm}}{n_{dn}}, 1 \right] \text{ și } \frac{\gamma \lambda_p}{\gamma \lambda_{pn}} \in \left[\frac{\gamma \lambda_{pmin}}{\gamma \lambda_{pn}}, \frac{\gamma \lambda_{px}}{\gamma \lambda_{pn}} \right]$$

$$\left\{ -(c'_{in} \frac{v}{v_x} + c'_{1f}) + \sqrt{(c'_{in} \frac{v}{v_x} + c'_{1f})^2 - c'_{2n} \left(\frac{v}{v_x} \right)^2 + c'_{2f}} \quad (2.34) \right.$$

$$\text{dacă } \frac{n_{dx}}{n_{dn}} \in \left(\frac{n_{dmin}}{n_{dn}}, \frac{n_{dm}}{n_{dn}} \right)$$

în care:

$$c'_{1x} = \frac{a_{1x}}{2T_s} \cdot \frac{n_{dn}}{n_{dx}} \cdot \frac{c_{dx}}{c_{dn}} ; \quad c'_{2x} = \frac{a_{2x}}{T_s} \cdot \frac{c_{dx}}{c_{dn}} ;$$

$$c'_{1f} = \frac{a_{1f}}{2T_s} \cdot \frac{n_{dn}}{n_{df}} ; \quad c'_{2f} = \frac{a_{2f}}{T_s}$$

Coefficientul de utilizare a puterii motorului diesel, pe o anumită treaptă de viteze, în funcție de regimul de funcționare a motorului diesel și de legea de variație a coeficientului de cuplu $\gamma \lambda_p / \gamma \lambda_{pn}$ a transformatorului hidraulic, rezultă :

- La sarcina nominală a motorului diesel:

$$\varphi_d = \frac{n_d}{n_{dn}} \text{ pentru } \frac{n_d}{n_{dn}} \in \left[\frac{n_{dm}}{n_{dn}}, 1 \right] \quad . \quad (2.25)$$

în care n_d/n_{dn} se determină cu relația (2.25) pentru transformatoare cu transparență liniară, sau cu relația (2.27) pentru transformatoare cu transparență parabolică;

$$\varphi_d = (a_{2r} - a_{1r} \frac{n_d}{n_{dn}}) \frac{n_d}{n_{dn}} \text{ pentru } \frac{n_d}{n_{dn}} \in \left[1, \frac{n_{dmax}}{n_{dn}} \right] \quad (2.36)$$

în care n_d/n_{dn} se determină din relația (2.26) pentru transformator cu transparentă liniară și respectiv din relația (2.28) pentru transparentă parabolică.

- La sarcini parțiale ale motorului diesel:

$$\varphi_d = (a_{2x} - a_{1x} \frac{n_{dn}}{n_{dx}} \cdot \frac{n_d}{n_{dn}}) \cdot \frac{n_{dn}}{n_{dx}} \cdot \frac{n_d}{n_{dn}} \quad (2.37)$$

în care n_d/n_{dn} se determină din relațiile (2.29)...(2.34) în funcție de valoarea sarcinii parțiale a motorului diesel, de valoarea turăției motorului diesel și de tipul transparentei transformatorului hidraulic.

Criteriul de comutare φ_k , la sarcina nominală a motorului diesel, aşa cum rezultă din relațiile (2.3), (2.35) și (2.36) este :

$$\varphi_k = \left(\frac{n_d}{n_{dn}} \right)_I \cdot \left(\frac{n_{dn}}{n_d} \right)_{II} \quad (2.38)$$

$$\text{dacă } \frac{\gamma \lambda_{pI}}{\gamma \lambda_{pn}} \in \left[1, \frac{\gamma \lambda_{pImax}}{\gamma \lambda_{pn}} \right] \text{ și } \frac{\gamma \lambda_{pII}}{\gamma \lambda_{pn}} \in \left[1, \frac{\gamma \lambda_{pIImax}}{\gamma \lambda_{pn}} \right]$$

$$\varphi_k = \frac{\left(\frac{n_d}{n_{dn}} \right)_I \cdot \left(\frac{n_{dn}}{n_d} \right)_{II}}{a_{2r} - a_{1r} \left(\frac{n_d}{n_{dn}} \right)_{II}} \quad (2.39)$$

$$\text{dacă } \frac{\gamma \lambda_{pI}}{\gamma \lambda_{pn}} \in \left[1, \frac{\gamma \lambda_{pImax}}{\gamma \lambda_{pn}} \right] \text{ și } \frac{\gamma \lambda_{pII}}{\gamma \lambda_{pn}} \in \left[\frac{\gamma \lambda_{pIImin}}{\gamma \lambda_{pn}}, 1 \right]$$

$$\varphi_k = \frac{a_{2r} - a_{1r} \left(\frac{n_d}{n_{dn}} \right)_I}{\left(\frac{n_d}{n_{dn}} \right)_{II} \cdot \left(\frac{n_{dn}}{n_d} \right)_I} \quad (2.40)$$

$$\text{dacă } \frac{\gamma \lambda_{pI}}{\gamma \lambda_{pn}} \in \left[\frac{\gamma \lambda_{pImin}}{\gamma \lambda_{pn}}, 1 \right] \text{ și } \frac{\gamma \lambda_{pII}}{\gamma \lambda_{pn}} \in \left[1, \frac{\gamma \lambda_{pIImax}}{\gamma \lambda_{pn}} \right]$$

$$\varphi_k = \frac{a_{2r} - a_{lr} \left(\frac{n_d}{n_{dn}} \right)_I}{a_{2r} - a_{lr} \left(\frac{n_d}{n_{dn}} \right)_{II}} \cdot \left(\frac{n_d}{n_{dn}} \right)_I \cdot \left(\frac{n_{dn}}{n_d} \right)_{II} \quad (2.41)$$

$$\text{dacă } \frac{\gamma \lambda_{pI}}{\gamma \lambda_{pn}} \in \left[\frac{\gamma \lambda_{pImin}}{\gamma \lambda_{pn}}, 1 \right] \text{ și } \frac{\gamma \lambda_{pII}}{\gamma \lambda_{pn}} \in \left[\frac{\gamma \lambda_{pIImin}}{\gamma \lambda_{pn}}, 1 \right]$$

In cazul cînd transmisia este formată din transformatoro-notransparonto, turăția motorului diesel nu depinde de vîtoza locomotivei. Motorul diesel poate, deci, funcționa practic la un rogim constant atît timp cît injectia rămîne nemodificată :

$$\varphi_k = \varphi_{aI} = \varphi_{dII} = 1$$

2.3.3. Calculul coeficientului căderii randamentului transmisiei la comutare.

Căderea randamentului transmisiei $\delta\eta_t$ este definită prin relația (2.7).

In ansamblul transmisiei hidraulice, în majoritatea cazurilor, sunt incluse și angrenajul reductor (de la ieșirea din transmisie) și angrenajul multiplicator (de la intrarea în transmisie). De aceea la ridicarea pe stand a caracteristicilor, prin randamentul transmisiei se înțelege produsul $\eta_1 \cdot \eta_{tr} \cdot \eta_2 = \eta_{th}$.

Randamentul transmisiei pe o treaptă depinde de turăția pompei și de turăția turbinei sau de $i_n = n_t/n_p$. Această funcție este apropiată de o parabolă și poate fi scrisă sub forma [5], [51], [52], [60], [65] :

$$\eta_{th} = A_t \frac{i_n}{i_{no}} + B_t \frac{i_n^2}{i_{no}^2} \quad (2.42)$$

Coefficienții A_t și B_t se pot determina prin metoda punctelor alese sau prin metoda lui Gauss [4], [74].

Dacă se alege de pe caracteristica randamentului punctul de randament maxim (i_{no} , η_{th0}) atunci :

$$\frac{d\eta_{th}}{d(\frac{i_n}{i_{no}})} = A_t + 2 B_t \frac{i_n}{i_{no}} = 0 \quad (2.43)$$

de unde:

$$\frac{i_n}{i_{no}} = - \frac{A_t}{2 B_t} = 1 \quad (2.44)$$

Din punct de vedere fizic este clar că la $i_n = i_{no}$ funcția η_{th} are un maxim. Matematic acest lucru este evident deoarece $B_t < 0$ iar $d^2(\eta_{th})/d(\frac{i_n}{i_{no}})^2 = 2 B_t < 0$.

Pentru punctul de randament maxim, din relațiile (2.42) și (2.44), rezultă :

$$A_t = 2 \eta_{th0} \quad (2.45)$$

$$B_t = - \eta_{th0} \quad (2.46)$$

Prin metoda lui Gauss [4], [74] coeficienții A_t și B_t sunt:

$$A_t = \frac{\sum i_{nx}^4 \sum \eta_{thx}^{(m)} i_{nx} - \sum i_{nx}^3 \sum \eta_{thx}^{(m)} i_{nx}^2}{\sum i_{nx}^2 \sum i_{nx}^4 - (\sum i_{nx}^3)^2} \quad (4.47)$$

$$B_t = \frac{\sum i_{nx}^2 \sum \eta_{thx}^{(m)} i_{nx}^2 - \sum i_{nx}^3 \sum \eta_{thx}^{(m)} i_{nx}}{\sum i_{nx}^2 \sum i_{nx}^4 - (\sum i_{nx}^3)^2} \quad (2.48)$$

în care $\eta_{th}^{(m)}$ reprezintă valurile măsurate ale randamentului.

Din relația (2.42), în care se substituie

$$\frac{i_n}{i_{no}} = \frac{V}{V_o} \cdot \frac{n_{do}}{n_d} = \frac{V}{V_x} \cdot \frac{V_x}{V_o} \cdot \frac{n_{do}}{n_{dn}} \cdot \frac{n_{dn}}{n_d} \quad \text{rezultă :}$$

$$\eta_{th} = k_1 \left(2 \frac{n_d}{n_{dn}} - k_2 \frac{V}{V_x} \right) \frac{\frac{V}{V_x}}{\left(\frac{n_d}{n_{dn}} \right)^2} \quad (2.49)$$

în care:

$$k_1 = \eta_{th0} \frac{V_x}{V_o} \cdot \frac{n_{do}}{n_{dn}}$$

$$k_2 = \frac{V_x}{V_o} \cdot \frac{n_{do}}{n_{dn}}$$

n_{do} și V_o - turăția motorului diesel respectiv viteza locomotivei corespunzătoare randamentului maxim al

transformatorului $\eta_{th} = \eta_{tho}$.

Turația motorului diesel depinde, așa cum s-a arătat, de transparenta transformatorului și de viteza locomotivei. Pentru cazurile admise de dependență a coeficientului cuplului pompei (\dot{f}_p / \dot{f}_{pn}) = f(T_s , V/v_x) și pentru diferite regimuri de funcționare a motorului diesel randamentul transmisiiei pe o treaptă de viteze, rezultă din relația (2.49) în care se înlocuiește turația motorului diesel n_d/n_{dn} cu expresiile date de relațiile (2.25)... ... (2.34).

La comutarea treptelor de viteze, căderea de randament rezultă din relația (2.49) scrisă pentru treptele de viteze învecinate și din relația (2.7) :

$$\delta\eta_t = \frac{\eta_{thII}}{\eta_{thIII}}$$

sau:

$$\delta\eta_t = k_2 \frac{\frac{2(\frac{n_d}{n_{dn}})_I - k_{2I} \frac{V}{V_x}}{\frac{n_d}{n_{dn}}_I} \cdot \frac{(\frac{n_d}{n_{dn}})_I^2}{(\frac{n_d}{n_{dn}})_II^2}}{\frac{2(\frac{n_d}{n_{dn}})_II - k_{2III} \frac{V}{V_x}}{\frac{n_d}{n_{dn}}_II} \cdot \frac{(\frac{n_d}{n_{dn}})_II^2}{(\frac{n_d}{n_{dn}})_I^2}} \quad (2.50)$$

în care:

$$k_2 = \frac{\eta_{thoI}}{\eta_{thoII}} \cdot \frac{n_{doI}}{n_{doII}} \cdot \frac{V_{oII}}{V_{oI}}$$

Pentru transmisiile hidraulice compuse din transformatoare diferențe, dar netransparente, turația motorului diesel nu depinde de viteza de mers deoarece motorul diesel funcționează practic la un regim constant dacă injecția rămâne nemodificată. În acest caz, căderea randamentului transmisiiei este :

$$\delta\eta_t = \frac{\eta_{thoI}}{\eta_{thoII}} \cdot \frac{\frac{(\frac{V_{oII}}{V_x})^2}{(\frac{V_{oI}}{V_x})^2} \cdot \frac{2(\frac{n_d}{n_{dn}})_I \cdot \frac{V_{oI}}{V_x} - \frac{V}{V_x} (\frac{n_{do}}{n_{dn}})_I}{2(\frac{n_d}{n_{dn}})_II \cdot \frac{V_{oII}}{V_x} - \frac{V}{V_x} (\frac{n_{do}}{n_{dn}})_II} \cdot \frac{(\frac{n_d}{n_{dn}})_I^2}{(\frac{n_d}{n_{dn}})_II^2}}{(\frac{n_d}{n_{dn}})_I^2} \quad (2.51)$$

în care $n_d/n_{dn} = \text{const.}$ pentru o sarcină constantă a motorului.

In cazul transmisiiei compuse din transformatoare netransparente [$\eta_{thoI} = \eta_{thoII}$, $n_{do} = n_{dn}$, $(n_d/n_{dn})_I = (n_d/n_{dn})_{II} = (n_d/n_{dn})$], criteriul de comutare $\delta\eta_t$ devine:

$$\delta \eta_t = \frac{\left(\frac{v_{oIII}}{v_x}\right)^2}{\left(\frac{v_{pI}}{v_x}\right)^2} \cdot \frac{2 \frac{n_d}{n_{dn}} \cdot \frac{v_{oI}}{v_x} - \frac{v}{v_x}}{2 \frac{n_d}{n_{dn}} \cdot \frac{v_{oII}}{v_x} - \frac{v}{v_x}} \quad (2.52)$$

2.3.4. Calculul coeficientului de transmitere a puterii la obadă.

Coeficientul de transmitere a puterii la obadă, în zona de comutare a treptelor de viteze este definit prin relația (2.12). Scriind randamentul transmisiei hidraulice, dat de relația (2.47), pentru cele două trepte de viteze alăturate, și luând în considerare relațiile (2.38)...(2.41) care definesc criteriul φ_k rezultă expresia coeficientului de transmitere a puterii la obadă în funcție de viteza de mers a locomotivei și de valoarea sarcinii motorului diesel. Astfel la sarcina nominală a motorului diesel, coeficientul φ_k este :

$$\varphi_k = \begin{cases} k_2 \frac{2\left(\frac{n_d}{n_{dn}}\right)_I - k_{2I} \frac{v}{v_x}}{2\left(\frac{n_d}{n_{dn}}\right)_{II} - k_{2II} \frac{v}{v_x}} \cdot \frac{\left(\frac{n_d}{n_{dn}}\right)_{II}}{\left(\frac{n_d}{n_{dn}}\right)_I} & \text{pentru } \frac{\gamma \lambda_{pI}}{\gamma \lambda_{pn}} \in \left[1, \frac{\gamma \lambda_{pImax}}{\gamma \lambda_{pn}}\right] \text{ și } \frac{\gamma \lambda_{pII}}{\gamma \lambda_{pn}} \in \left[1, \frac{\gamma \lambda_{pIImax}}{\gamma \lambda_{pn}}\right] \\ k_2 \frac{2\left(\frac{n_d}{n_{dn}}\right)_I - k_{2I} \frac{v}{v_x}}{2\left(\frac{n_d}{n_{dn}}\right)_{II} - k_{2II} \frac{v}{v_x}} \cdot \frac{\left(\frac{n_d}{n_{dn}}\right)_{II}}{\left(\frac{n_d}{n_{dn}}\right)_I \left[a_{2r} - a_{1r} \left(\frac{n_d}{n_{dn}}\right)_{II}\right]} & \text{pentru } \frac{\gamma \lambda_{pI}}{\gamma \lambda_{pn}} \in \left[1, \frac{\gamma \lambda_{pImax}}{\gamma \lambda_{pn}}\right] \text{ și } \frac{\gamma \lambda_{pII}}{\gamma \lambda_{pn}} \in \left[\frac{\gamma \lambda_{pIImin}}{\gamma \lambda_{pn}}, 1\right] \end{cases} \quad (2.53)$$

$$\varphi_k = \begin{cases} k_2 \frac{2\left(\frac{n_d}{n_{dn}}\right)_I - k_{2I} \frac{v}{v_x}}{2\left(\frac{n_d}{n_{dn}}\right)_{II} - k_{2II} \frac{v}{v_x}} \cdot \frac{\left(\frac{n_d}{n_{dn}}\right)_{II}}{\left(\frac{n_d}{n_{dn}}\right)_I \left[a_{2r} - a_{1r} \left(\frac{n_d}{n_{dn}}\right)_{II}\right]} & \text{pentru } \frac{\gamma \lambda_{pI}}{\gamma \lambda_{pn}} \in \left[1, \frac{\gamma \lambda_{pImax}}{\gamma \lambda_{pn}}\right] \text{ și } \frac{\gamma \lambda_{pII}}{\gamma \lambda_{pn}} \in \left[\frac{\gamma \lambda_{pIImin}}{\gamma \lambda_{pn}}, 1\right] \\ k_2 \frac{2\left(\frac{n_d}{n_{dn}}\right)_I - k_{2I} \frac{v}{v_x}}{2\left(\frac{n_d}{n_{dn}}\right)_{II} - k_{2II} \frac{v}{v_x}} \cdot \frac{\left(\frac{n_d}{n_{dn}}\right)_{II}}{\left(\frac{n_d}{n_{dn}}\right)_I \left[a_{2r} - a_{1r} \left(\frac{n_d}{n_{dn}}\right)_{II}\right]} & \text{pentru } \frac{\gamma \lambda_{pI}}{\gamma \lambda_{pn}} \in \left[\frac{\gamma \lambda_{pIImin}}{\gamma \lambda_{pn}}, 1\right] \text{ și } \frac{\gamma \lambda_{pII}}{\gamma \lambda_{pn}} \in \left[1, \frac{\gamma \lambda_{pIImax}}{\gamma \lambda_{pn}}\right] \end{cases} \quad (2.54)$$

$$k_2 \frac{2\left(\frac{n_d}{n_{dn}}\right)_I - k_{2I} \frac{v}{v_x}}{2\left(\frac{n_d}{n_{dn}}\right)_{II} - k_{2II} \frac{v}{v_x}} \cdot \frac{\left(\frac{n_d}{n_{dn}}\right)_{II}}{\left(\frac{n_d}{n_{dn}}\right)_I \left[a_{2r} - a_{1r} \left(\frac{n_d}{n_{dn}}\right)_{II}\right]} \quad (2.55)$$

$$\text{pentru } \frac{\gamma \lambda_{pI}}{\gamma \lambda_{pn}} \in \left[\frac{\gamma \lambda_{pIImin}}{\gamma \lambda_{pn}}, 1\right] \text{ și } \frac{\gamma \lambda_{pII}}{\gamma \lambda_{pn}} \in \left[1, \frac{\gamma \lambda_{pIImax}}{\gamma \lambda_{pn}}\right]$$

$$\gamma_k = k_2 \frac{\frac{2(\frac{n_d}{n_{dn}}) - k_{2I}}{V_x} \cdot \frac{a_{2r} - a_{1r}(\frac{n_d}{n_{dn}})}{V_x} \cdot \frac{(\frac{n_d}{n_{dn}})}{V_x}}{\frac{2(\frac{n_d}{n_{dn}}) - k_{2II}}{V_x} \cdot \frac{a_{2r} - a_{1r}(\frac{n_d}{n_{dn}})}{V_x} \cdot \frac{(\frac{n_d}{n_{dn}})}{V_x}} \quad (2.56)$$

$$\text{pentru } \frac{\gamma_{\lambda pI}}{\gamma_{\lambda pn}} \in \left[\frac{\gamma_{\lambda pImin}}{\gamma_{\lambda pn}}, 1 \right] \text{ și } \frac{\gamma_{\lambda pIII}}{\gamma_{\lambda pn}} \in \left[\frac{\gamma_{\lambda pIIImin}}{\gamma_{\lambda pn}}, 1 \right]$$

La sarcini parțiale ale motorului diesel coeficientul γ_k se determină cu ajutorul relației (2.37) scrisă pentru treapta I și II de viteze și a relației (2.50) :

$$\gamma_k = k_2 \frac{\frac{2(\frac{n_d}{n_{dn}}) - k_{2I}}{V_x} \cdot \frac{a_{2x} - a_{1x}(\frac{n_{dn}}{n_{dx}})}{V_x} \cdot \frac{(\frac{n_d}{n_{dn}})}{V_x}}{\frac{2(\frac{n_d}{n_{dn}}) - k_{2II}}{V_x} \cdot \frac{a_{2x} - a_{1x}(\frac{n_{dn}}{n_{dx}})}{V_x} \cdot \frac{(\frac{n_d}{n_{dn}})}{V_x}} \quad (2.57)$$

In aceste relații turăția n_d/n_{dn} este dată de relațiile (2.25)...(2.28) cînd motorul diesel funcționează la sarcina nominală, respectiv din relațiile (2.29)...(2.34) cînd motorul diesel funcționează la sarcini parțiale.

Pentru transmisiile hidraulice compuse din transformatoare diferite și netransparente, $\gamma_k = 1$ și coeficientul γ_k rezultă :

$$\gamma_k = \frac{\eta_{thoI}}{\eta_{thoII}} \cdot \frac{\left(\frac{V_{oII}}{V_x}\right)^2 \cdot \frac{2(\frac{n_d}{n_{dn}}) \cdot \frac{V_{oI}}{V_x} - \frac{V}{V_x} \left(\frac{n_{do}}{n_{dn}}\right)}{\left(\frac{n_d}{n_{dn}}\right)^2}}{\left(\frac{V_{oI}}{V_x}\right)^2 \cdot \frac{2(\frac{n_d}{n_{dn}}) \cdot \frac{V_{oII}}{V_x} - \frac{V}{V_x} \left(\frac{n_{do}}{n_{dn}}\right)}{\left(\frac{n_d}{n_{dn}}\right)^2}} \quad (2.58)$$

In cazul transmisiei compuse din transformatoare netransparente și identice, coeficientul γ_k devine :

$$\gamma_k = \frac{\left(\frac{V_{oII}}{V_x}\right)^2 \cdot \frac{2 \frac{n_d}{n_{dn}} \cdot \frac{V_{oI}}{V_x} - \frac{V}{V_x}}{\left(\frac{n_d}{n_{do}}\right)^2}}{\left(\frac{V_{oI}}{V_x}\right)^2 \cdot \frac{2 \frac{n_d}{n_{do}} \cdot \frac{V_{oII}}{V_x} - \frac{V}{V_x}}{\left(\frac{n_d}{n_{dn}}\right)^2}} \quad (2.58)$$

După cum rezultă din relațiile (2.51) și (2.58) respectiv (2.52) și (2.59), pentru transmisiile compuse din transformatoare netransparente, coeficientul de transmitere a puterii ia obâdă γ_k este egal cu căderea randamentului locomotivei $\delta\eta_t$.

3. DETERMINAREA CARACTERISTICILOR DE COMUTARE.

Stabilirea caracteristicilor de comutare, astfel încit să se obțină caracteristici de tracțiune ridicate în condiții de economicitate optimă, se face în funcție de parametrii grupului motor diesel - transmisie hidraulică pe baza criteriilor de comutare stabilite și la condițiile de exploatare pe care trebuie să le indeplinească tipul dat de locomotivă.

3.1. Funcționarea transmisiei la comutare în condiții de utilizare maximă a forței de tracțiune.

3.1.1. Transmisia hidraulică compusă din transformatoare transparente.

Utilizarea maximă a forței de tracțiune, așa cum rezultă din caracteristicile de tracțiune ale locomotivei (fig.2-6), se obține la comutarea treptelor de viteze în punctul A de intersecție a caracteristicilor forței de tracțiune ale celor două trepte de viteze alăturate la sarcina nominală a motorului diesel și respectiv în punctele B, C și D pentru sarcini parțiale ale motorului diesel. Caracteristica de comutare este reprezentată, în acest caz, prin curba ABCD. În orice punct de pe această curbă, căderea forței de tracțiune

$$\delta F_o = \frac{F_{oI}}{F_{oII}} = 1$$

sau, așa cum rezultă din relația (2.10) :

$$\gamma_k = \varphi_k \cdot \frac{\gamma_{thI}}{\gamma_{thII}} = 1.$$

Deci, forțe de tracțiune ridicate se obțin dacă schimbarea treptelor de viteze se face la vitezele de mers și turatiile motorului diesel, determinate de ecuația :

$$\gamma_k - 1 = 0. \quad (3.1)$$

In cazul funcționării motorului diesel la sarcina nominală și transmisie hidraulică formată din transformator cu transparentă liniară, viteza de mers V/V_x și turăția motorului diesel n_d/n_{dn} pentru care este îndeplinită condiția (3.1), rezultă din relațiile (2.53)...(2.56) și din relațiile (2.25), (2.26), adică din unul din sistemele de ecuații:

$$\frac{V}{V_x} - 2\left(\frac{n_d}{n_{dn}\text{ I}}\right) \cdot \left(\frac{n_d}{n_{dn}\text{ II}}\right) \cdot \frac{1 - k_2}{k_{2II}\left(\frac{n_d}{n_{dn}\text{ I}}\right) - k_{2I} k_2 \left(\frac{n_d}{n_{dn}\text{ II}}\right)} = 0 \quad (3.2)$$

$$\left(\frac{n_d}{n_{dn}\text{ I}}\right)^2 - 2 c_{lnI} \frac{V}{V_x} \left(\frac{n_d}{n_{dn}\text{ I}}\right) - c_{2nI} = 0$$

$$\left(\frac{n_d}{n_{dn}\text{ II}}\right)^2 - 2 c_{lnII} \frac{V}{V_x} \left(\frac{n_d}{n_{dn}\text{ II}}\right) - c_{2nII} = 0$$

dacă $\frac{\gamma \lambda_{pI}}{\gamma \lambda_{pn}} \in \left[1, \frac{\gamma \lambda_{pImax}}{\gamma \lambda_{pn}}\right]$ și $\frac{\gamma \lambda_{pII}}{\gamma \lambda_{pn}} \in \left[1, \frac{\gamma \lambda_{pIImax}}{\gamma \lambda_{pn}}\right]$

$$\frac{V}{V_x} - \frac{2\left(\frac{n_d}{n_{dn}\text{ I}}\right) \cdot \left(\frac{n_d}{n_{dn}\text{ II}}\right) \left[a_{2r} - a_{lr}\left(\frac{n_d}{n_{dn}\text{ II}}\right) - k_2 \right]}{k_{2II}\left(\frac{n_d}{n_{dn}\text{ I}}\right) \cdot \left[a_{2r} - a_{lr}\left(\frac{n_d}{n_{dn}\text{ II}}\right) \right] - k_{2I} k_2 \left(\frac{n_d}{n_{dn}\text{ II}}\right)} = 0 \quad (3.3)$$

$$\left(\frac{n_d}{n_{dn}\text{ I}}\right)^2 - 2 c_{lnI} \frac{V}{V_x} \left(\frac{n_d}{n_{dn}\text{ I}}\right) - c_{2nI} = 0$$

$$\left(\frac{n_d}{n_{dn}\text{ II}}\right)^2 - 2(c_{lnII} \frac{V}{V_x}) \left(\frac{n_d}{n_{dn}\text{ II}}\right) - c_{2nII} = 0$$

dacă $\frac{\gamma \lambda_{pI}}{\gamma \lambda_{pn}} \in \left[1, \frac{\gamma \lambda_{pImax}}{\gamma \lambda_{pn}}\right]$ și $\frac{\gamma \lambda_{pII}}{\gamma \lambda_{pn}} \in \left[\frac{\gamma \lambda_{pIImin}}{\gamma \lambda_{pn}}, 1\right]$

- 45 -

$$\left. \begin{aligned} \frac{v}{v_x} &= \frac{2\left(\frac{n_d}{n_{dn}}\right)_I \cdot \left(\frac{n_d}{n_{dn}}\right)_{II} \left\{ 1 - k_2 \left[a_{2r} - a_{1r} \left(\frac{n_d}{n_{dn}} \right)_I \right] \right\}}{k_{2III} \left(\frac{n_d}{n_{dn}} \right)_I - k_{2I} k_2 \left(\frac{n_d}{n_{dn}} \right)_{II} \left[a_{2r} - a_{1r} \left(\frac{n_d}{n_{dn}} \right)_I \right]} = 0 \\ \left(\frac{n_d}{n_{dn}} \right)_I^2 - 2(c_{lnI} \frac{v}{v_x} - c_{lnII}) \left(\frac{n_d}{n_{dn}} \right)_I - c_{2nI} &= 0 \\ \left(\frac{n_d}{n_{dn}} \right)_{II}^2 - 2c_{lnII} \frac{v}{v_x} \left(\frac{n_d}{n_{dn}} \right)_{II} - c_{2nII} &= 0 \\ \text{dacă } \frac{\gamma \lambda_{pI}}{\gamma \lambda_{pn}} \in \left[\frac{\gamma \lambda_{pImin}}{\gamma \lambda_{pn}}, 1 \right] \text{ și } \frac{\gamma \lambda_{pII}}{\gamma \lambda_{pn}} \in \left[1, \frac{\gamma \lambda_{pIImax}}{\gamma \lambda_{pn}} \right] & \end{aligned} \right\} \quad (3.4)$$

$$\left. \begin{aligned} \frac{v}{v_x} &= \frac{2\left(\frac{n_d}{n_{dn}}\right)_I \cdot \left(\frac{n_d}{n_{dn}}\right)_{II} \left\{ 1 - k_2 \left[a_{2r} - a_{1r} \left(\frac{n_d}{n_{dn}} \right)_I \right] \right\}}{k_{2III} \left(\frac{n_d}{n_{dn}} \right)_I - k_{2I} k_2 \left(\frac{n_d}{n_{dn}} \right)_{II} \left[a_{2r} - a_{1r} \left(\frac{n_d}{n_{dn}} \right)_I \right]} = 0 \\ \left(\frac{n_d}{n_{dn}} \right)_I^2 - 2(c_{lnI} \frac{v}{v_x} - c_{lrI}) \left(\frac{n_d}{n_{dn}} \right)_I - c_{2nI} &= 0 \\ \left(\frac{n_d}{n_{dn}} \right)_{II}^2 - 2(c_{lnII} \frac{v}{v_x} - c_{lrII}) \left(\frac{n_d}{n_{dn}} \right)_{II} - c_{2nII} &= 0 \\ \text{dacă } \frac{\gamma \lambda_{pI}}{\gamma \lambda_{pn}} \in \left[\frac{\gamma \lambda_{pImin}}{\gamma \lambda_{pn}}, 1 \right] \text{ și } \frac{\gamma \lambda_{pII}}{\gamma \lambda_{pn}} \in \left[\frac{\gamma \lambda_{pIImax}}{\gamma \lambda_{pn}}, 1 \right] & \end{aligned} \right\} \quad (3.5)$$

Pentru transmisiile hidraulice formate din transformatoare cu transparentă parabolică, ecuația a doua și ecuația a treia din fiecare sistem se înlocuiesc cu ecuațiile:

$$\left(\frac{n_d}{n_{dn}} \right)_I^2 + 2c_{ln} \frac{v}{v_x} \left(\frac{n_d}{n_{dn}} \right)_I + c_{2n}^2 \left(\frac{v}{v_x} \right)^2 - \frac{1}{T_s} = 0 \quad (3.6)$$

$$\text{dacă } \frac{\gamma \lambda_{pI}}{\gamma \lambda_{pn}} \in \left[1, \frac{\gamma \lambda_{pIImax}}{\gamma \lambda_{pn}} \right]$$

sau

$$\left(\frac{n_d}{n_{dn}}\right)_I^2 + 2(c'_{lnI} \frac{v}{V_x} + c'_{lrI})(\frac{n_d}{n_{dn}})_I + c'_{2n}(\frac{v}{V_x})^2 - c'_{2r} = 0 \quad (3.7)$$

dacă $\frac{\gamma \lambda_{pI}}{\gamma \lambda_{pn}} \in \left[\frac{\gamma \lambda_{pImin}}{\gamma \lambda_{pn}}, 1 \right]$;

și

$$\left(\frac{n_d}{n_{dn}}\right)_{II}^2 + 2c'_{lnII} \frac{v}{V_x} (\frac{n_d}{n_{dn}})_{II} + c'_{2n}(\frac{v}{V_x})^2 - \frac{1}{T_s} = 0 \quad (3.8)$$

dacă $\frac{\gamma \lambda_{pII}}{\gamma \lambda_{pn}} \in \left[1, \frac{\gamma \lambda_{pIImax}}{\gamma \lambda_{pn}} \right]$

sau

$$\left(\frac{n_d}{n_{dn}}\right)_{III}^2 + 2(c'_{lnIII} \frac{v}{V_x} + c'_{lrIII})(\frac{n_d}{n_{dn}})_{III} + c'_{2n}(\frac{v}{V_x})^2 - c'_{2r} = 0 \quad (3.9)$$

dacă $\frac{\gamma \lambda_{pIII}}{\gamma \lambda_{pn}} \in \left[\frac{\gamma \lambda_{pIIImin}}{\gamma \lambda_{pn}}, 1 \right]$

La funcționarea motorului diesel la sarcini parțiale, în cazul transmisiei formată din transformator cu transparentă liniară, viteza de mers și turăția motorului diesel pentru care, la comutare nu există cădere de forță de tractiune, se determină cu ajutorul relațiilor (3.1); (2.57); (2.37) și (2.29)...(2.31), adică din unul din sistemele format din ecuația:

$$\frac{v}{V_x} - \frac{2(\frac{n_d}{n_{dn}})_I \cdot (\frac{n_d}{n_{dn}})_{II} \left[\varphi_{dIII} - k_2 \varphi_{dI} \right]}{k_{2II} \varphi_{dIII} (\frac{n_d}{n_{dn}})_I - k_{2I} k_2 \varphi_{dI} (\frac{n_d}{n_{dn}})_{II}} = 0 \quad (3.10)$$

și ecuațiile:

$$\left. \begin{aligned} \left(\frac{n_d}{n_{dn}}\right)_I^2 - 2c'_{lnI} \frac{v}{V_x} (\frac{n_d}{n_{dn}})_I - c'_{2nI} &= 0 \\ \left(\frac{n_d}{n_{dn}}\right)_{II}^2 - 2c'_{lnII} \frac{v}{V_x} (\frac{n_d}{n_{dn}})_{II} - c'_{2nII} &= 0 \end{aligned} \right\} \quad (3.11)$$

- 45 -

$$\text{dacă } \frac{\gamma\lambda_{pI}}{\gamma\lambda_{pn}} \in \left[\frac{\gamma\lambda_{pIx}}{\gamma\lambda_{pn}}, \frac{\gamma\lambda_{pImax}}{\gamma\lambda_{pn}} \right]; \frac{\gamma\lambda_{pII}}{\gamma\lambda_{pn}} \in \left[\frac{\gamma\lambda_{pIIX}}{\gamma\lambda_{pn}}, \frac{\gamma\lambda_{pIImax}}{\gamma\lambda_{pn}} \right]$$

$$\text{si } \frac{n_{dx}}{n_{dn}} \in \left[\frac{n_{dm}}{n_{dn}}, 1 \right].$$

$$\left. \begin{aligned} \left(\frac{n_d}{n_{dn}} \right)_I^2 - 2c_{lnI} \frac{v}{v_x} \left(\frac{n_d}{n_{dn}} \right)_I - c_{2xI} = 0 \\ \left(\frac{n_d}{n_{dn}} \right)_{II}^2 - 2(c_{lnII} \frac{v}{v_x} - c_{lxII}) \left(\frac{n_d}{n_{dn}} \right)_{II} - c_{2xII} = 0 \end{aligned} \right\} \quad (3.12)$$

$$\text{dacă } \frac{\gamma\lambda_{pI}}{\gamma\lambda_{pn}} \in \left[\frac{\gamma\lambda_{pIx}}{\gamma\lambda_{pn}}, \frac{\gamma\lambda_{pImax}}{\gamma\lambda_{pn}} \right]; \frac{\gamma\lambda_{pII}}{\gamma\lambda_{pn}} \in \left[\frac{\gamma\lambda_{pIImin}}{\gamma\lambda_{pn}}, \frac{\gamma\lambda_{pIIX}}{\gamma\lambda_{pn}} \right]$$

$$\text{si } \frac{n_{dx}}{n_{dn}} \in \left[\frac{n_{dm}}{n_{dn}}, 1 \right] ;$$

$$\left. \begin{aligned} \left(\frac{n_d}{n_{dn}} \right)_I^2 - 2(c_{lnI} \frac{v}{v_x} - c_{lxI}) \left(\frac{n_d}{n_{dn}} \right)_I - c_{2xI} = 0 \\ \left(\frac{n_d}{n_{dn}} \right)_{II}^2 - 2c_{lnII} \frac{v}{v_x} \left(\frac{n_d}{n_{dn}} \right)_{II} - c_{2xII} = 0 \end{aligned} \right\} \quad (3.13)$$

$$\text{dacă } \frac{\gamma\lambda_{pI}}{\gamma\lambda_{pn}} \in \left[\frac{\gamma\lambda_{pImin}}{\gamma\lambda_{pn}}, \frac{\gamma\lambda_{pIx}}{\gamma\lambda_{pn}} \right]; \frac{\gamma\lambda_{pII}}{\gamma\lambda_{pn}} \in \left[\frac{\gamma\lambda_{pIIX}}{\gamma\lambda_{pn}}, \frac{\gamma\lambda_{pIImax}}{\gamma\lambda_{pn}} \right]$$

$$\text{si } \frac{n_{dx}}{n_{dn}} \in \left[\frac{n_{dm}}{n_{dn}}, 1 \right].$$

$$\left. \begin{aligned} \left(\frac{n_d}{n_{dn}} \right)_I^2 - 2(c_{lnI} \frac{v}{v_x} - c_{lxI}) \left(\frac{n_d}{n_{dn}} \right)_I - c_{2xI} = 0 \\ \left(\frac{n_d}{n_{dn}} \right)_{II}^2 - 2(c_{lnII} \frac{v}{v_x} - c_{lxII}) \left(\frac{n_d}{n_{dn}} \right)_{II} - c_{2xII} = 0 \end{aligned} \right\} \quad (3.14)$$

$$\text{dacă } \frac{\gamma\lambda_{pI}}{\gamma\lambda_{pn}} \in \left[\frac{\gamma\lambda_{pImin}}{\gamma\lambda_{pn}}, \frac{\gamma\lambda_{pIx}}{\gamma\lambda_{pn}} \right]; \frac{\gamma\lambda_{pII}}{\gamma\lambda_{pn}} \in \left[\frac{\gamma\lambda_{pIImin}}{\gamma\lambda_{pn}}, \frac{\gamma\lambda_{pIIX}}{\gamma\lambda_{pn}} \right]$$

$$\text{si } \frac{n_{dx}}{n_{dn}} \in \left[\frac{n_{dm}}{n_{dn}}, 1 \right]$$

$$\left. \begin{aligned} \left(\frac{n_d}{n_{dn}} \right)_I^2 - 2(c'_{1ni} \frac{v}{V_x} - c'_{1fi}) \left(\frac{n_d}{n_{dn}} \right)_I - c'_{2xi} = 0 \\ \left(\frac{n_d}{n_{dn}} \right)_{II}^2 - 2(c'_{1nII} \frac{v}{V_x} - c'_{1fII}) \left(\frac{n_d}{n_{dn}} \right)_{II} - c'_{2fII} = 0 \end{aligned} \right\} \quad (3.15)$$

$$\left. \begin{aligned} \left(\frac{n_d}{n_{dn}} \right)_{II}^2 - 2(c'_{1nII} \frac{v}{V_x} - c'_{1fII}) \left(\frac{n_d}{n_{dn}} \right)_{II} - c'_{2fII} = 0 \end{aligned} \right\}$$

dacă $\frac{n_{dx}}{n_{dn}} \in \left(\frac{n_{dm}}{n_{dn}}, \frac{n_{dm}}{n_{dn}} \right)$.

Dacă transmisia este formată din transformatoare cu transparentă parabolică atunci, la funcționarea motorului la sarcini parțiale, ecuațiile din sistemele (3.11)...(3.15) se înlocuiesc prin următoarele ecuații scrise pe o treaptă de viteze i :

$$\left(\frac{n_d}{n_{dn}} \right)_i^2 + 2c'_{1ni} \frac{v}{V_x} \left(\frac{n_d}{n_{dn}} \right)_i + c'_{2ni} \left(\frac{v}{V_x} \right)^2 - \frac{1}{T_{si}} = 0 \quad (3.16)$$

dacă $\frac{\gamma \lambda_{pi}}{\gamma \lambda_{pn}} \in \left[\frac{\gamma \lambda_{pix}}{\gamma \lambda_{pn}}, \frac{\gamma \lambda_{pimax}}{\gamma \lambda_{pn}} \right]$ și $\frac{n_{dx}}{n_{dn}} \in \left[\frac{n_{dm}}{n_{dn}}, 1 \right]$

$$\left(\frac{n_d}{n_{dn}} \right)_i^2 + 2(c'_{1ni} \frac{v}{V_x} + c'_{1xi}) \left(\frac{n_d}{n_{dn}} \right)_i + c'_{2ni} \left(\frac{v}{V_x} \right)^2 - c'_{2xi} = 0 \quad (3.17)$$

dacă $\frac{\gamma \lambda_{pi}}{\gamma \lambda_{pn}} \in \left[\frac{\gamma \lambda_{pimin}}{\gamma \lambda_{pn}}, \frac{\gamma \lambda_{pix}}{\gamma \lambda_{pn}} \right]$ și $\frac{n_{dx}}{n_{dn}} \in \left[\frac{n_{dm}}{n_{dn}}, 1 \right]$

$$\left(\frac{n_d}{n_{dn}} \right)_i^2 + 2(c'_{1ni} \frac{v}{V_x} + c'_{1fi}) \left(\frac{n_d}{n_{dn}} \right)_i + c'_{2ni} \left(\frac{v}{V_x} \right)^2 - c'_{2fi} = 0 \quad (3.18)$$

In funcție de tipul transformatorilor utilizate și de caracteristica lor de transparentă, din sistemul de ecuații care descrie funcționarea acestor transformatoare, se determină vitezele de comutare (V_f/V_x) și turăția motorului diesel la comutare n_{dr}/n_{dn} pentru care nu există cădere de forță de tractiune (în ipoteza că timpul de comutare este zero).

Prin rezolvarea sistemului de ecuații corespunzător transformatorului considerat se obțin două siruri diferite de

turații ale motorului diesel la comutare și anume $(n_{df}/n_{dn})_I$ atunci cind transmisia funcționează la trecerea de la transformatorul I la transformatorul II și $(n_{df}/n_{dn})_{II}$ atunci cind transmisia funcționează la trecerea de pe transformatorul II pe transformatorul I.

Corespunzător celor două moduri de funcționare se obțin două programe de comutare:

$$\left(\frac{n_{df}}{n_{dn}}\right)_I = f_1\left(\frac{n_{2f}}{n_{2x}}\right) \quad - \text{la comutarea directă} ;$$

și

$$\left(\frac{n_{df}}{n_{dn}}\right)_{II} = f_2\left(\frac{n_{2f}}{n_{2x}}\right) \quad - \text{la comutarea inversă}$$

(în ipoteza că timpul de comutare este zero) și o singură caracteristică de comutare $F_{oi}/F_{oi} = f(V/V_x)$ (curba ABCD din figura 2-6). Pentru determinarea caracteristicii de comutare F_{oi}/F_{oi} se stabileștemai întâi, expresia forței de tracțiune în funcție de viteza de mers și de turația motorului diesel.

Majoritatea uzinelor constructorice de transmisii hidraulice pentru vehicule feroviare, determină caracteristicile de tracțiune sub formă adimensională adică F_o/F_{oi} . Forța de tracțiune ideală F_{oi} este forța de tracțiune dezvoltată la viteza maximă și la puterea disponibilă maximă a motorului diesel, în cazul unei transmisii fără pierderi ($\gamma_{th} = 1$), adică :

$$F_{oi} = \frac{k P_{lmax}}{V_x}$$

Pentru eliminarea influenței pierдерilor aleatorii din atacurile de osii și reductorul-inversor asupra caracteristicilor de comutare se raportează forța de tracțiune, nu la obara ci la ieșirea din transmisia hidraulică, făcind astfel posibilă comparația caracteristicilor teoretice cu cele experimentale.

Forța de tracțiune relativă este :

$$\frac{F_o}{F_{oi}} = \frac{\frac{P_2}{P_{dmax}}}{\frac{V}{V_x}}$$

Decoarece:

$$P_2 = \gamma_{th} \cdot P_d$$

$$\gamma_1 P_d = P_p = \gamma \lambda_p D^5 n_p^3$$

$$\gamma_1 P_{dmax} = P_{pn} = \gamma \lambda_{pn} D^5 n_{pn}^3$$

și $\frac{n_p}{n_{pn}} = \frac{n_d}{n_{dn}}$

rezultă :

$$\frac{F_o}{F_{oi}} = \gamma_{th} \frac{\gamma \lambda_p}{\gamma \lambda_{pn}} \cdot \frac{\left(\frac{n_d}{n_{dn}}\right)^3}{\frac{V}{V_x}} \quad (3.19)$$

La viteza de comutare V_f/V_x și la turăția motorului diesel n_{df}/n_{dn} corespunzătoare acestei viteze, randamentul transmisiei dat de relația (2.49) se scrie :

$$\gamma_{thf} = k_1 \left(2 \frac{n_{df}}{n_{dn}} - k_2 \frac{V_f}{V_x} \right) \cdot \frac{\frac{V_f}{V_x}}{\left(\frac{n_{df}}{n_{dn}} \right)^2}$$

iar forța de tracțiune (relația 3.19) este:

$$\frac{F_{of}}{F_{oi}} = k_1 \frac{n_{df}}{n_{dn}} \left(\frac{\gamma \lambda_p}{\gamma \lambda_{pn}} \right) \left[2 \frac{n_{df}}{n_{dn}} - k_2 \frac{V_f}{V_x} \right] \quad (3.20)$$

Relație care definește caracteristicile de comutare. În această relație $(\gamma \lambda_p / \gamma \lambda_{pn})_f$ se determină din relația (2.14) sau (2.15) în funcție de transparenta transformatorului utilizat pe treapta de viteze pe care se calculează forța de tracțiune, luind pentru viteza V/V_x și turăția n_d/n_{dn} valorile date de programul de comutare.

3.1.2. Transmisia hidraulică compusă din transformatoare netransparente.

In cazul transmisiei hidraulice compusă din transformatoare diferite netransparente, a căror caracteristici experimentale sunt date în valori relative $F_o/F_{oi}(V/V_x)$; $P_l/P_{lmax}(V/V_x)$ și $\gamma_{th}(V/V_x)$ determinate la o turăție de intrare $n_d/n_{dn} = 1$, vitezele de comutare la care se obțin caracteristici ale forței de tracțiune fără discontinuități (în ipoteza că timpul de comutare este zero) se determină din ecuația (3.1) și relația (2.58).

Luând în considerare că, în acest caz, raportul turătiielor motorului diesel n_{dI}/n_{dII} este aproximativ egal cu unitatea (la sarcină constantă a motorului), viteza de comutare rezultă :

$$\left(\frac{v_f}{v_x}\right) = 2 \frac{n_d}{n_{dn}} \cdot \frac{v_{oI}}{v_x} \cdot \frac{v_{oII}}{v_x} \cdot \frac{\eta_{thoII} \frac{v_{oI}}{v_x}^2 - \eta_{thoI} \frac{v_{oII}}{v_x}^2}{\eta_{thoII} \left(\frac{v_{oI}}{v_x}\right)^2 - \eta_{thoI} \left(\frac{v_{oII}}{v_x}\right)^2} \quad (3.21)$$

Deoarece $\frac{v}{v_x} = \frac{n_2}{n_{2x}}$, relația (3.21) se poate scrie :

$$\left(\frac{n_{dI}}{n_{dn}}\right) = m \left(\frac{n_2}{n_{2x}}\right) \quad (3.22)$$

care determină programul de comutare.

Rezultă, deci, că în cazul transformatoarelor netransparențe, programul de comutare $n_d = f(n_2)$ reprezintă o dreaptă ce trece prin origine având coeficientul unghiular :

$$m = \frac{1}{2 \frac{v_{oI}}{v_x} \cdot \frac{v_{oII}}{v_x}} \cdot \frac{\eta_{thoII} \left(\frac{v_{oI}}{v_x}\right)^2 - \eta_{thoI} \left(\frac{v_{oII}}{v_x}\right)^2}{\eta_{thoII} \left(\frac{v_{oI}}{v_x}\right)^2 - \eta_{thoI} \left(\frac{v_{oII}}{v_x}\right)^2} \quad (3.23)$$

Pentru transmisiile compuse din transformatoare identice netransparențe ($\eta_{thoI} = \eta_{thoII}$) coeficientul unghiular al dreptei ce reprezintă programul de comutare rezultă din relația (2.23) și anume :

$$m = \frac{\frac{v_{oI}}{v_x} + \frac{v_{oII}}{v_x}}{2 \frac{v_{oI}}{v_x} \cdot \frac{v_{oII}}{v_x}}, \quad (3.24)$$

Relația (3.22) se poate scrie :

$$\frac{n_t}{n_p} = i_n = m i_1 i_2 \frac{n_{2x}}{n_{dn}} = i_{nk} = \text{const.} \quad (3.25)$$

adică, la comutare, raportul de transformare al turătiielor are o valoare constantă.

La transformatoarele netransparențe $\eta_{lp}/\eta_{pn} = 1$, iar la comutare, pe baza relației (3.25), randamentul rămâne

constant $\eta_{th} = \eta_{thk} = \text{const.}$, astfel că relația (3.19) devine :

$$\frac{F_{oi}}{F_{oi}} = \frac{\eta_{thk} \left(\frac{n_d}{n_{dn}} \right)^3}{\frac{v}{v_x}} \quad (3.26)$$

Din relația (3.22) rezultă :

$$\frac{n_d}{n_{dn}} = m \frac{v}{v_x}$$

Substituind expresia lui n_d/n_{dn} în relația (3.26) rezultă caracteristica de comutare :

$$\frac{F_{oi}}{F_{oi}} = m \eta_{thk} \left(\frac{v}{v_x} \right)^2 \quad (3.27)$$

Dacă caracteristicile transmisiei sunt date în funcție de turăția de ieșire din transmisie (sau de i_n) la o turăție de intrare constantă ($n_d = n_{dn} = \text{const}$) (fig. 3-1), programul de comutare și caracteristica de comutare care asigură caracteristici continui ale forței de tracțiune pe întregul domeniul de viteze ale locomotivei, se pot stabili în funcție de coordinatele punctului A. Acest punct este determinat

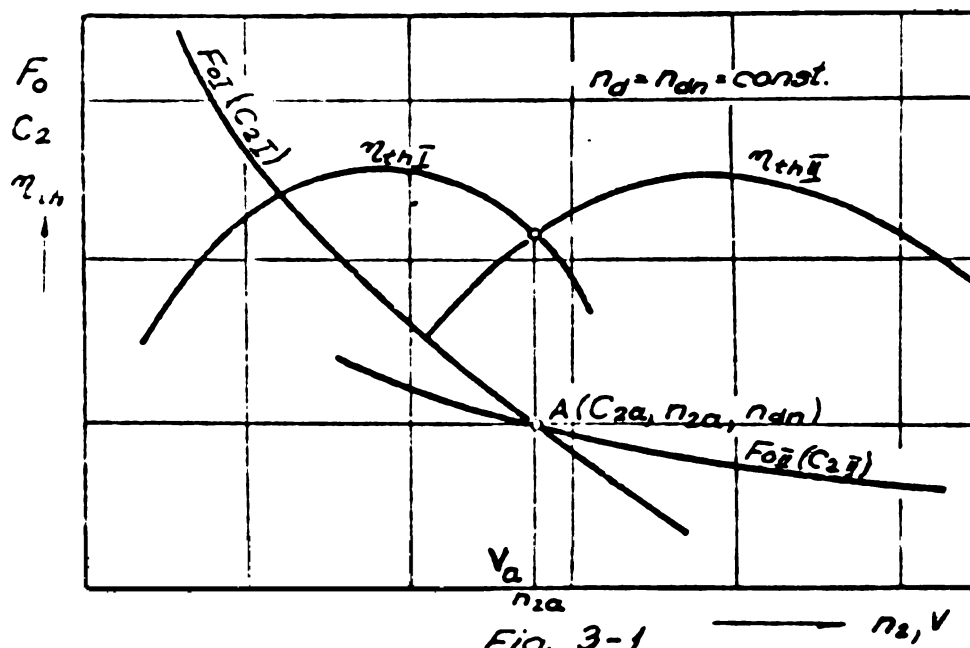


Fig. 3-1

de intersecția caracteristicilor cuplului C_2 la arborele ce ieșire din transmisie a celor două trepte de viteze.

La o turăție n_d a motorului diesel, corespunzătoare funcționării motorului diesel la sarcini parțiale, caracteristicile cuplului C_2 se intersectează într-un punct căruia îi corespunde o turăție a turbinei n_{tf} :

$$n_{tf} = \frac{n_{pf}}{n_{pa}} n_{ta} = i_{na} n_p \quad (3.28)$$

sau

$$\frac{n_{tf}}{n_{pf}} = i_{n_f} = i_{na} = \text{const.} \quad (3.29)$$

In funcție de turătările n_d și n_2 , relația (3.28) se poate scrie sub forma :

$$n_{df} = \frac{n_{2f}}{n_{2a}} n_{dn} \quad (3.30)$$

care determină programul de comutare (relație identică cu 3.22).

Forța de tracțiune la comutare, ținând seama de relațiile (3.29) și (3.30) este :

$$F_o = \frac{k i_2^3 \gamma_{th} \gamma_{lp} D^5}{i_{na}^3} n_2^2$$

Deoarece la comutare $i_n = i_{na} = \text{const.}$, $\gamma_{th} = \gamma_{tha} = \text{const.}$ și $\gamma_{lp} D^5 = \gamma_{lp} D^5 = \text{const.}$, rezultă la comutare :

$$F_k = \text{const. } n_2^2 \quad (3.31)$$

Exprimând forța de tracțiune la comutare în funcție de coordonatele punctului (F_{oa} , V_a) ale punctului A de comutare, din relația (3.31) rezultă :

$$F_k = \frac{F_{oa}}{n_{2a}^2} n_2^2$$

Deoarece $n_2/n_{2a} = V/V_a$, caracteristica de comutare care asigură o variație continuă a forței de tracțiune este:

$$F_k = \frac{F_{oa}}{V_a^2} V^2 \quad (3.32)$$

In concluzie, pentru transmisiile compuse din transformatoare netransparente, se obțin la comutare caracteristici continue ale forței de tracțiune, dacă programul de comutare este dat de dreapta (3.22) sau (3.30), iar caracteristica de comutare de parabolă (3.27) sau (3.32).

3.2. Funcționarea transmisiiei la comutare
în condiții de economicitate optimă.

3.2.1. Transmisia hidraulică compusă din
transformatoare transparente.

Funcționarea economică a locomotivelor în zona de comutare se asigură dacă comutarea treptelor de viteze se realizează la vitezele de mers și turăriile motorului diesel corespunzătoare punctelor de intersecție a caracteristicilor randamentului transmisiiei pe cele două trepte de viteze învecinate (v.fig.2-6).

Aceste mărimi se pot determina din ecuația :

$$\delta \eta_t - 1 = 0 \quad (3.33)$$

sau luând în considerare relația (2.50) rezultă :

$$\frac{V}{V_x} - 2\left(\frac{n_d}{n_{dn}}\right)_I \cdot \left(\frac{n_d}{n_{dn}}\right)_{II} \cdot \frac{\left(\frac{n_d}{n_{dn}}\right)_I - k_2 \left(\frac{n_d}{n_{dn}}\right)_{II}}{k_{2II}\left(\frac{n_d}{n_{dn}}\right)_I^2 - k_{2I} k_2 \left(\frac{n_d}{n_{dn}}\right)_{II}^2} = 0 \quad (3.34)$$

Turăria motorului diesel pe cele două trepte de viteze $(n_d/n_{dn})_I$ și $(n_d/n_{dn})_{II}$, la sarcina nominală a motorului, se determină din ultimele două ecuații ale sistemelor (3.2), (3.3), (3.4) sau (3.5) pentru transmisiile compuse din transformatoare hidraulice cu transparentă liniară, sau din ecuațiile (3.6)...(3.9) în cazul transparentei parabolice, în funcție de valorile coeficientului $\beta \lambda_{pI}/\beta \lambda_{pn}$ și $\beta \lambda_{pII}/\beta \lambda_{pn}$.

La funcționarea motorului diesel la sarcini partiale, în cazul transmisiiei formate din transformatoare cu transparentă liniară, cele două turării ale motorului se determină din sistemele de ecuații (3.11)...(3.15), iar în cazul transparentei parabolice din ecuațiile (3.16)...(3.18) în funcție de valorile coeficientului $\beta \lambda_{pI}/\beta \lambda_{pn}$ și $\beta \lambda_{pII}/\beta \lambda_{pn}$.

Prin rezolvarea sistemului format din aceste ecuații se pot obține două turării diferite ale motorului diesel la o viteză de comutare V/V_x și anume $(n_d/n_{dn})_I$ și $(n_d/n_{dn})_{II}$. Cele două moduri de funcționare a motorului determină două programe de comutare :

$$\left(\frac{n_d}{n_{dn}}\right)_I = f_1\left(\frac{n_{2x}}{n_{2x}}\right) \quad - \text{la comutarea directă și}$$

$$\left(\frac{n_{d2}}{n_{dn}}\right)_{II} = f_2\left(\frac{n_{22}}{n_x}\right) \quad - \text{la comutarea inversă.}$$

Corespunzător acestor două programe de comutare, rezultă două caracteristici de comutare :

$$\left(\frac{F_{02}}{F_{01}}\right)_I = g_1\left(\frac{V}{V_x}\right) \quad - \text{la comutarea directă (curba } A_1 B_1 C_1 D_1 \text{ din figura 2-6),}$$

$$\left(\frac{F_{02}}{F_{01}}\right)_{II} = g_2\left(\frac{V}{V_x}\right) \quad - \text{la comutarea inversă (curba } A_2 B_2 C_2 D_2 \text{ din figura 2-6).}$$

Forța de tracțiune corespunzătoare vitezelor de comutare este :

- la comutarea directă,

$$\left(\frac{F_{02}}{F_{01}}\right)_I = \left[2\left(\frac{n_{d2}}{n_{dn}}\right)_I - k_{2I} \frac{V_2}{V_x} \right] k_{1I} \left(\frac{n_{d2}}{n_{dn}}\right)_I \cdot \left(\frac{\gamma \lambda_{pI}}{\gamma \lambda_{pn}}\right)^2 \quad (3.35)$$

- la comutare inversă,

$$\left(\frac{F_{02}}{F_{01}}\right)_{II} = \left[2\left(\frac{n_{d2}}{n_{dn}}\right)_{II} - k_{2II} \frac{V_2}{V_x} \right] k_{1II} \left(\frac{n_{d2}}{n_{dn}}\right)_{II} \cdot \left(\frac{\gamma \lambda_{pII}}{\gamma \lambda_{pn}}\right)^2 \quad (3.36)$$

în care $(\gamma \lambda_{pI}/\gamma \lambda_{pn})^2$ și $(\gamma \lambda_{pII}/\gamma \lambda_{pn})^2$ se determină din relația (2.14) sau (2.15) în funcție de transparentă transformatorului respectiv, luând pentru viteză V/V_x și turată n_d/n_{dn} valorile date de programul de comutare.

Comparind expresia vitezei V/V_x determinată, pe de o parte din ecuația (3.34), și din prima ecuație a oricărui sistem (3.2)...(3.5) și din ecuația (3.10) pe de altă parte, rezultă că viteză de comutare pentru care nu avem cădere de forță de tracțiune este în general diferită de viteză la care se obține o funcționare în condiții economice a transmisiei. Rezultă, deci, și caracteristici și programe de comutare diferite în cele două cazuri. Așa dar, în zona de comutare, la utilizarea transformatoarelor transparente, nu se pot obține în același timp proprietăți de tracțiune corespunzătoare și economicitate ridicată. Din această cauză, stabilirea caracteristicilor de comutare se face și în funcție de condițiile concrete de exploatare ale tipului dat de locomotivă, fie prin luarea în considerare în primul rînd

a uneia din aceste proprietăți, fără mărgind pe o soluție medie.

Pentru locomotivele destinate liniilor principale, motorul funcționând un procent de timp relativ ridicat în sarcini apropiate de cea maximă sau la sarcina maximă [68], este importantă o caracteristică de comutare $F_{cr}/F_{oi}(V/V_x)$ care să nu producă căderi de forță de tracțiune și o utilizare cât mai completă a puterii motorului.

Locomotivele de viteze mari lucrează majoritatea timpului pe transformatorul de mers, la viteză mult superioară vitezei de comutare. Timpul de funcționare a acestor locomotive în zona de comutare este egal cu durata schimbării treptelor de viteze și de aceea trebuie luată în considerare în primul rînd căderea forței de tracțiune care produce sarcini în tren influențind negativ confortul. Deci, la aceste locomotive comutarea treptelor de viteze este bine să se facă la intersecția caracteristicilor forței de tracțiune atât la sarcina maximă cât și la sarcini parțiale ale motorului diesel.

Pentru locomotivele de marfă la sarcini parțiale ale motorului, cînd condițiile de utilizare impun utilizarea numai a unei anumite părți din puterea nominală a motorului, rolul hotărîtor îl are obținerea unui randament maxim și de aceea caracteristica de comutare aleasă trebuie să asigure realizarea acestei condiții, dar fără căderi mari ale forței de tracțiune. Deci pentru aceste locomotive este indicată caracteristica de comutare $F_{cr}/F_{oi}(V/V_x)$ atunci cînd motorul diesel funcționează la sarcina totală sau apropiată de aceasta, iar în regimurile de sarcini parțiale ale motorului este indicată caracteristica de comutare $F_{cp}/F_{oi}(V/V_x)$.

Obținerea unui randament mare și limitarea căderii forței de tracțiune în zona de comutare, la funcționarea motorului diesel la sarcini parțiale, sunt condiții de mare importanță din două puncte de vedere.

În primul rînd locomotiva, în anumite condiții de explorație, poate circula o perioadă de timp la viteză corespunzătoare zonei de comutare.

În al doilea rînd, în exploatarea feroviară nu se poate utiliza întotdeauna întreaga putere a motorului diesel datorită: profilului variat al căii; tonajului insuficient al trenului pentru tipul de locomotivă și sectorul de cale dat; limitărilor de

viteză impusă de curbe, lucrări, grafic de circulație etc.

Din experimentările efectuate într-o serie de lări s-a reșis că frecvența regimurilor de încărcare parțială a motorului în exploatarea feroviară, este destul de ridicată. Astfel, unele din rezultatele încercărilor desfășurate în R.R. a Germaniei arată că regimul de încărcare totală a motorului (regimul nominal) reprezintă, în diverse situații, 0...35 % din timpul total de funcționare, regimul de puteri parțiale 5...60%, iar restul timpului fiind consumat la mersul în gol [50]. Aproximativ aceleasi procente s-au obținut și în urma încercărilor efectuate în URSS [53], [63]. Din măsurările efectuate la noi în țară cu locomotiva 060 DA s-a reșis că regimurile de încărcare parțiale a motorului diesel reprezintă în medie 41% din timpul total de mers [50].

Rezultă, că regimurile de funcționare a motorului la sarcini parțiale, chiar în cazul unei exploatari normale, reprezintă în mod obiectiv un procent însemnat din durata de funcționare a motorului, fiind necesară asigurarea funcționării locomotivelor, în sarcini parțiale ale motorului cu randament cît mai mare, nu numai în domeniul de viteze al treptei respective ci și în zona de comutare.

La locomotivele utilizate în serviciul de manevră sau pe linii secundare, unde puterea mare este puțin utilizată [68], timpul de funcționare al motorului la sarcini parțiale este și mai mare și ca urmare se aleg acele caracteristici de comutare care permit realizarea unui randament ridicat, adică $F_o / F_{oi} (V/V_x)$. La aceste locomotive vitezele de exploatare sunt mici, iar forțele de tracțiune sunt mari, astfel că la sarcina totală a motorului diesel comutarea trebuie să se facă după caracteristica $F_{oi}/F_{oi} (V/V_x)$.

5.2.2. Transmisia hidraulică compusă din transformatoare netransparente.

Programul de comutare și caracteristica de comutare pentru transmisia a cărei caracteristici sunt date în valori relative la o turărie de intrare constantă, se determină din ecuația (3.33) și relația (2.51) sau (2.52).

Pentru transformatoarele diferite (netransparente) viteza de comutare la care nu apare căderea randamentului este:

$$\frac{v}{v_x} = 2 \frac{n_d}{n_{dn}} \cdot \frac{v_{oI}}{v_x} \cdot \frac{v_{oII}}{v_x} \cdot \frac{\gamma_{thoII} \frac{v_{oI}}{v_x} - \gamma_{thoI} \frac{v_{oII}}{v_x}}{\gamma_{thoII} \left(\frac{v_{oI}}{v_x} \right)^2 - \gamma_{thoI} \left(\frac{v_{oII}}{v_x} \right)^2} \quad (3.37)$$

Deoarece această relație este identică cu relația (3.21) programul de comutare și caracteristica de comutare, care asigură o variație a randamentului, sunt date de ecuația (3.22) și respectiv (3.27).

Coefficientul unghiular al dreptei care definește programul de comutare este dat de relația (3.27) pentru transformatoare diferite și de relația (3.24) pentru transformatoare identice.

Dacă caracteristicile transmisiei sunt date în funcție de turăția de ieșire din transmisie, programul de comutare este determinat de ecuația (3.30) iar caracteristica de comutare de ecuația (3.32).

In concluzie, pentru transmisiile compuse din transformatoare netransparente rezultă o caracteristică de comutare unică dată de parabola (3.27) sau (3.32), care asigură continuitatea atât a forței de tracțiune, cât și a randamentului (în ipoteza că timpul de comutare este practic egal cu zero). Deci, în cazul în care se poate asigura o funcționare stabilă la comutarea transmisiei după această caracteristică de comutare, saltul sau căderea forței de tracțiune, a randamentului și a puterii disponibile a motorului (cauzate de caracteristicile de comutare) sunt egale cu zero.

In cazul în care transmisia hidraulică este antrenată, pentru determinarea caracteristicilor ei, de un motor diesel, caracteristicile determinate la sarcina constantă a motorului reprezintă de fapt caracteristicile reale de exploatare ale transmisiei la funcționarea în comun cu acel motor. Pentru transmisiile compuse din transformatoare netransparente, deosebirile între caracteristicile ridicate la $n_1 = \text{const.}$ (cazul antrenării cu motor diesel) sunt neînnemnate, practic inexistente. Deci caracteristica de comutare și programul de comutare sunt date de relații (3.27) sau (3.32), respectiv (3.22) sau (3.30) indiferent de mărimea de intrare menținută constantă la determinarea caracteristicilor transmisiei.

3.3. Funcționarea în comun a motorului diesel
cu transmisie hidraulică în comutare
treptelor de viteze.

3.3.1. Caracteristicile motorului diesel
și ale transmisiei hidraulice.

Caracteristicile de comutare se determină pentru locomotiva diesel hidraulică de 350 CP, construită în întreprinderea "23 August" București, pe baza criteriilor de comutare stabilite anterior. Instalația de forță este compusă din motorul diesel M583 de 350 CP la turăția $n_{dn} = 1350$ rot/min și transmisia hidraulică TH1. Controlerul locomotivei are 8 poziții, din care pozițiile 1...7 sunt de mers.

Valorile coeficienților caracteristicilor motorului diesel C_d/C_{dn} (n_d/n_{dn}) determinate de relațiile (2.18) și (2.22) sunt date în tabela 3-1.

Tabela 3-1.

Pozitiiile controlerului	7	6	5	4	3	2
$\delta_{nx} = \frac{n_{dxmax}}{n_{dx}}$	1,074*	1,081	1,092	1,121	1,151	1,186
$a_{1x} = \frac{1}{\delta_{nx} - 1}$	13,513*	12,346	10,869	8,224	6,60	5,365
$a_{2x} = a_{1x} \delta_{nx}$	14,513*	13,346	11,869	9,224	7,60	6,365

*Pentru caracteristica nr.7: $\delta_{nx} = \delta_{nr}$; $a_{1x} = a_{1r}$ și

$$a_{2x} = a_{2r}.$$

Caracteristicile transmisiei hidraulice ridicate pe standul uzinal al întreprinderii "Hidrodinamica" Brașov sunt date în figura 3-2. Mărimea de referință care s-a menținut constantă la stabilirea acestor caracteristici, a fost turăția de intrare în transmisie ($n_p/n_{pn} = 1$), astfel că:

$$\frac{P_1}{P_{ln}} = \frac{\gamma \lambda_p n_p^3 D^5}{\gamma \lambda_{pn} n_{pn}^3 D^5} = \frac{\gamma \lambda_p}{\gamma \lambda_{pn}}$$

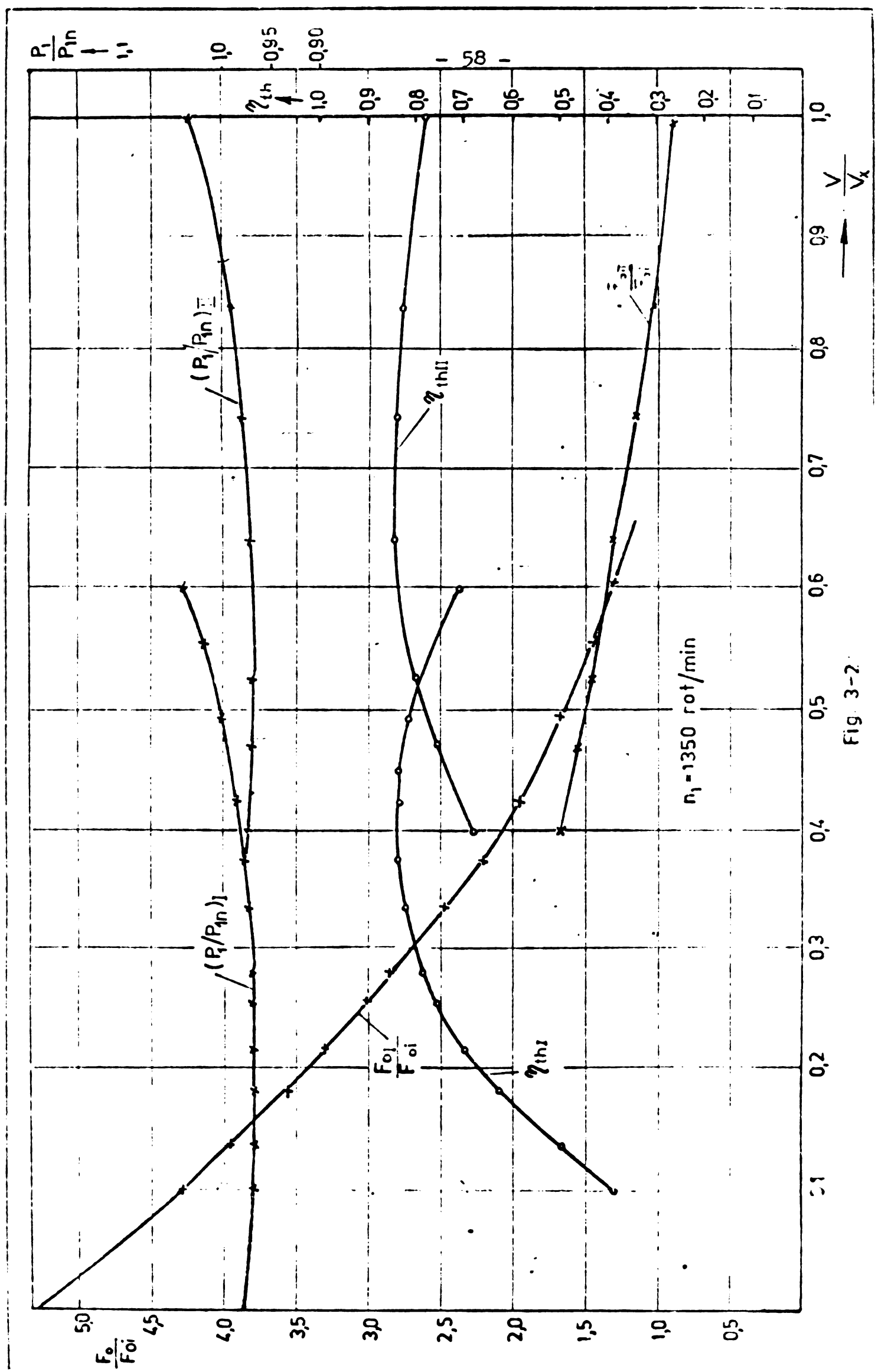


Fig. 3-2

Caracteristicile $\frac{\gamma\lambda_{pI}}{\gamma\lambda_{pn}}(V/V_x)$ pentru această transmisie sint de forma funcției (2.15). Valorile coeficienților care intră în această funcție, determinați prin metoda punctelor alese, sint date pentru cele două transformatoare hidraulice în tabelă 3-2.

Tabelă 3-2

Transformatorul	$\frac{V_o}{V_x}$	$\frac{V_n}{V_x}$	γ_{tho}	T_s	T_o	$\frac{b_1}{(V_x/V_n)^2}$	$\frac{b_2}{(V_n/V_x)^2}$	k_1	k_2	k_3
I (T.P.)	0,38	0,49	0,840	0,98	0,975	0,48	0,194	2,045	2,403	1,691
II (T.M.)	0,89	0,70	0,845	1,05	0,975	0,268	0,295	1,210	1,431	1,691

Cu valorile din tabela 3-2 se obține:

- pentru transformatorul I (de primire),

$$\frac{\gamma\lambda_{pI}}{\gamma\lambda_{pn}} = 0,48 \frac{\left(\frac{V}{V_x}\right)^2}{\left(\frac{n_d}{n_{dn}}\right)^2} - 0,194 \frac{\frac{V}{V_x}}{\frac{n_d}{n_{dn}}} + 0,98 \quad (3.38)$$

- pentru transformatorul II (de mers),

$$\frac{\gamma\lambda_{pII}}{\gamma\lambda_{pn}} = 0,268 \frac{\left(\frac{V}{V_x}\right)^2}{\left(\frac{n_d}{n_{dn}}\right)^2} - 0,295 \frac{\frac{V}{V_x}}{\frac{n_d}{n_{dn}}} + 1,05 \quad (3.39)$$

Coeficienții k_1 și k_2 din expresia rendamentului transmisiei hidraulice $\gamma_{th}(V/V_x)$ s-au determinat prin metoda lui Gauss. Cu valorile acestor coeficienți, date în tabelă 3-2, rezultă :

- pentru transformatorul I ,

$$\gamma_{thI} = 2,045 \left(2 \frac{n_d}{n_{dn}} - 2,403 \frac{V}{V_x} \right) \frac{\frac{V}{V_x}}{\left(\frac{n_d}{n_{dn}}\right)^2} \quad (3.40)$$

- pentru transformatorul II,

$$\gamma_{thII} = 1,21 \left(2 \frac{n_d}{n_{dn}} - 1,431 \frac{v}{v_x} \right) \frac{\frac{v}{v_x}}{\left(\frac{n_d}{n_{dn}} \right)^2} \quad (3.41)$$

Analiza calculelor efectuate (tabela 3-3 și figura 3-2) arată că pentru coeficientul $\gamma_{\lambda_p}/\gamma_{\lambda_{pn}}$ și pentru randamentul transformatorului γ_{th} se pot utiliza relațiile (3.38), (3.39) și respectiv (3.40), (3.41) deoarece abaterile valorilor calculate față de cele obținute experimental, sunt foarte mici în special pentru valorile vitezelor din vecinătatea vitezei de comutare ($v_k/v_x = 0,5 \dots 0,57$), iar în cazul de față se studiază funcționarea în comun a motorului diesel cu transmisia hidraulică la aceste viteze de mers.

Tabela 3-3

$\frac{v}{v_x}$	Transformatorul I			$\gamma_{\lambda_{pI}}/\gamma_{\lambda_{pn}}$		
	Cu formula (3.40)	După datele experiment.	Eroarea relativă %	Cu formula (3.38)	După datele experimentale	Eroarea relativă %
0,20	0,620	0,650	4,61	0,960	0,970	1,0
0,30	0,785	0,80	1,87	0,965	0,970	0,50
0,35	0,829	0,830	0,12	0,871	0,975	0,41
0,40	0,849	0,840	0,12	0,979	0,980	0,10
0,45	0,845	0,835	1,19	0,989	0,990	0,10
0,50	0,816	0,810	0,7	1,003	1,004	0,09
0,55	0,763	0,760	0,39	1,020	1,025	0,48
0,60	0,685	0,69	2,83	1,036	1,040	0,38

Transformatorul II

$\frac{v}{v_x}$	Transformatorul II			$\gamma_{\lambda_{pII}}/\gamma_{\lambda_{pn}}$		
	Cu formula (3.41)	După datele experiment.	Eroarea relativă %	Cu formula (3.39)	După datele experimentale	Eroarea relativă %
0,40	0,690	0,685	0,73	0,975	0,972	0,31
0,45	0,738	0,730	1,09	0,972	0,970	0,21
0,50	0,776	0,780	0,51	0,969	0,970	0,10
0,55	0,807	0,810	0,37	0,969	0,970	0,10
0,60	0,828	0,830	0,24	0,970	0,970	0
0,70	0,845	0,845	0	0,975	0,976	0,10
0,80	0,827	0,835	0,96	0,986	0,987	0,10

3.3.2. Funcționarea în comun a motorului diesel cu transmisia hidraulică.

Legea de variație a turăției motorului diesel la funcționarea în comun cu transmisia hidraulică depinde de gradul de transparență a transformatorului hidraulic și de caracteristica motorului diesel.

La funcționarea motorului diesel la sarcina maximă, turăția motorului diesel pe prima treaptă de viteze (funcționarea pe transformatorul de pornire) este dată de ecuația (3.7) pentru $(V/V_x) \in [0,1; 0,49]$ și de ecuația (3.6) pentru $(V/V_x) \in [0,49; 0,6]$, iar pe treapta a doua de viteze (funcționarea pe transformatorul de mers) de ecuația (3.9) pentru $(V/V_x) \in [0,4; 0,8]$.

La sarcini parțiale ale motorului diesel, pe ambele trepte de viteze, turăția motorului diesel este dată de ecuația (3.17) pentru orice valoare posibilă a vitezei de mers.

Valorile coeficienților constanți din aceste ecuații, calculate cu relațiile date în par. 2.3.2, sunt prezentate în tabela 3-4.

Tabela 3-4.

Posiția controlerului	Transformator	c_{in}^1	c_{2n}^1	c_{1r}^1	c_{2r}^1	c_{ix}^1	c_{2x}^1
7	I	-0,0992	0,4897	6,8928	14,8061	-	-
	II	-0,1404	0,2555	6,4333	13,8190	-	-
6	I	-0,0992	0,4897	-	-	6,8096	13,6169
	II	-0,1404	0,2555	-	-	6,3557	12,7184
5	I	-0,0992	0,4897	-	-	6,8048	12,1111
	II	-0,1404	0,2555	-	-	6,3511	11,3047
4	I	-0,0992	0,4897	-	-	5,6701	9,4122
	II	-0,1404	0,2555	-	-	5,2921	8,7477
3	I	-0,0992	0,4897	-	-	5,1020	7,7751
	II	-0,1404	0,2555	-	-	4,7619	7,0471
	I	-0,0992	0,4897	-	-	4,5466	6,3018
	II	-0,1404	0,2555	-	-	4,2435	5,5758

3.3.3. Determinarea caracteristicilor de comutare la utilizarea integrală a forței de tracțiune.

Vitezele de mers (V/V_x) la care trebuie să se facă schimbarea treptelor de viteze pentru a putea obține o variație continuă a forței de tracțiune, se determină în funcție de valoarea transparentei celor două transformatoare corespunzătoare vitezei $(V/V_x)_k$.

La funcționarea motorului diesel la sarcina maximă dacă viteza de comutare $(V/V_x)_k \in [0,209; 0,49]$, atunci ea se determină din sistemul de ecuații (3.5) în care ecuația a doua și a treia se înlocuiesc cu ecuațiile (3.7) și (3.9), deoarece în acest interval de viteze $\lambda_{pI}/\lambda_{pn} \in [0,96; 1]$ și

$\lambda_{pII}/\lambda_{pn} \in [0,969; 1]$, iar dacă viteza de comutare $(V/V_x)_k \in [0,49; 0,89]$ ea se determină din sistemul (3.3) în care ecuația a doua și a treia se înlocuiesc cu ecuațiile (3.6) și (3.9), deoarece în acest interval $\lambda_{pI}/\lambda_{pn} \in [1; 1,036]$ și $\lambda_{pII}/\lambda_{pn} \in [0,969; 1]$.

La funcționarea motorului diesel la sarcini parțiale, viteza de comutare se determină din sistemul format de ecuația (3.10) și ecuația (3.17) scrisă pentru cele două trepte de viteze.

Pentru locomotiva diesel hidraulică de 350 CP, sistemele de ecuații din care se determină vitezele de comutare, luând în considerare valorile coeficienților, date în tabelele 3-1 și 3-2 sint:

- la funcționarea motorului diesel la sarcina maximă:

$$\frac{v}{v_x} = \frac{\frac{2}{n_{dn}} \left(\frac{n_d}{n_{dn}} \right) \left(\frac{n_d}{n_{dn}} \right) \left[22,85 \left(\frac{n_d}{n_{dn}} \right)_I - 23,54 \right]}{54,92 \left(\frac{n_d}{n_{dn}} \right)_I \left(\frac{n_d}{n_{dn}} \right) + 1,43 \left(\frac{n_d}{n_{dn}} \right)_I - 58,98 \left(\frac{n_d}{n_{dn}} \right)_{II}} = 0$$

$$\left(\frac{n_d}{n_{dn}} \right)_I^2 + (13,78 - 0,19 \frac{v}{v_x}) \left(\frac{n_d}{n_{dn}} \right)_I + 0,49 \left(\frac{v}{v_x} \right)^2 - 14,81 = 0$$

$$\left(\frac{n_d}{n_{dn}} \right)_{II}^2 + (12,86 - 0,28 \frac{v}{v_x}) \left(\frac{n_d}{n_{dn}} \right)_{II} + 0,25 \left(\frac{v}{v_x} \right)^2 - 13,82 = 0$$

$$\text{dacă } \left(\frac{v}{v_x} \right)_k \in [0,209; 0,49]$$

} (3.42)

sau

$$\frac{v}{v_x} = \frac{2\left(\frac{n_d}{n_{dn} I}\right)\left(\frac{n_d}{n_{dn} II}\right) \left[12,82 + 15,51\left(\frac{n_d}{n_{dn} II}\right) \right]}{20,76\left(\frac{n_d}{n_{dn} I}\right) - 4,06\left(\frac{n_d}{n_{dn} II}\right) - 19,33\left(\frac{n_d}{n_{dn} I}\right)\left(\frac{n_d}{n_{dn} II}\right)}, = 0$$

$$\left(\frac{n_d}{n_{dn} I}\right)^2 - 0,198 \frac{v}{v_x} \left(\frac{n_d}{n_{dn} I}\right) + 0,49 \left(\frac{v}{v_x}\right)^2 - 1,02 = 0 \quad (3.43)$$

$$\left(\frac{n_d}{n_{dn} II}\right)^2 + (12,86 - 0,28 \frac{v}{v_x}) \left(\frac{n_d}{n_{dn} II}\right) + 0,25 \left(\frac{v}{v_x}\right)^2 - 13,82 = 0$$

dacă $\left(\frac{v}{v_x}\right)_k \in [0,49; 0,8]$,

- la funcționarea motorului diesel la sarcini parțiale,

$$\frac{v}{v_x} = 2\left(\frac{n_d}{n_{dn} I}\right)\left(\frac{n_d}{n_{dn} II}\right).$$

$$\frac{1,69 a_{1x} \frac{n_{dn}}{n_{dx}} \left(\frac{n_d}{n_{dn} I}\right) - a_{1x} \frac{n_{dn}}{n_{dx}} \left(\frac{n_d}{n_{dn} II}\right) - 0,69 a_{2x}}{1,43 a_{2x} \left(\frac{n_d}{n_{dn} I}\right) - 4,06 a_{2x} \left(\frac{n_d}{n_{dn} II}\right) + 2,63 a_{1x} \frac{n_{dn}}{n_{dx}} \left(\frac{n_d}{n_{dn} I}\right)\left(\frac{n_d}{n_{dn} II}\right)} = 0 \quad (3.44)$$

$$\left(\frac{n_d}{n_{dn} I}\right)^2 + 2(c'_{1xI} - 0,099 \frac{v}{v_x}) \left(\frac{n_d}{n_{dn} I}\right) + 0,49 \left(\frac{v}{v_x}\right)^2 - c'_{2xI} = 0$$

$$\left(\frac{n_d}{n_{dn} II}\right)^2 + 2(c'_{1xII} - 0,14 \frac{v}{v_x}) \left(\frac{n_d}{n_{dn} II}\right) + 0,25 \left(\frac{v}{v_x}\right)^2 - c'_{2xII} = 0$$

Forța de tracțiune corespunzătoare vitezelor de comutare $(V/v_x)_k$ determinate din sistemele de ecuații (3.42)...
...(3.44) se calculează cu relația (3.20). Pentru locomotiva lăsată în considerare rezultă:

$$\frac{F_{oi}}{F_{oi}} = 2,918 \left(\frac{v}{v_x}\right)_k^2 - 5,611 \left(\frac{v}{v_x}\right)_k \left(\frac{n_d}{n_{dn} I}\right) - 2,358 \frac{\left(\frac{v}{v_x}\right)_k^3}{\left(\frac{n_d}{n_{dn} I}\right)} +$$

$$+ 4 \left(\frac{n_d}{n_{dn} I}\right)^2 \quad (3.45)$$

unde $(n_d/n_{dn})_I$ se determină la sarcina nominală a motorului, din ecuația a doua din sistemul (3.42) dacă $(V/V_x)_k \in [0,20; 0,49]$ sau din ecuația a doua din sistemul (3.43) dacă $(V/V_x)_k \in [0,49; 0,8]$, iar la sarcini parțiale ale motorului din ecuația a doua a sistemului (3.44).

Prin rezolvarea sistemelor (3.42), (3.43) și a ecuațiilor (3.45) se obțin rezultatele din tabela 3-5.

Tabela 3-5.

$(V_f/V_x)_d$	0,530	0,515	0,454	0,420	0,384	0,353
$(n_{df}/n_{dn})_I$	0,993	0,933	0,836	0,775	0,708	0,652
$(n_{df}/n_{dn})_{II}$	1,002	0,936	0,839	0,777	0,711	0,653
η_{thI}/η_{thpn}	1,013	1,019	1,016	1,016	1,016	1,015
η_{thII}/η_{thpn}	0,969	0,969	0,969	0,969	0,969	0,969
F_{of}/F_{oi}	1,46	1,22	0,997	0,87	0,73	0,61
η_{thI}	0,783	0,760	0,772	0,773	0,773	0,773
η_{thII}	0,795	0,807	0,802	0,802	0,802	0,802
η_{th}	0,985	0,940	0,962	0,963	0,963	0,963

Pentru verificarea acestei metode de calcul a caracteristicii de comutare care poate asigura o variație continuă a forței de tractiune la schimbarea treptelor de viteze, s-a determinat experimental caracteristica de comutare. Măsurările s-au făcut pe standul de transmisii hidraulice al Catedrei de Material rulant de la Institutul politehnic București. Acest stand este echipat cu motorul diesel și transmisia hidraulică pentru care s-au efectuat calculele teoretice. S-au măsurat cuplul și turatiile la intrarea și ieșirea din transmisie la sarcina maximă și la diferite sarcini parțiale. Metodologia încercărilor și instalația de măsurare se prezintă în capitolul 5.

Deoarece calculele sunt făcute în mărimi relative, cuplurile și turatiile măsurate se raportează la valorile de referință: cuplul C_{2i} la arborele de ieșire corespunzător forței de tractiune ideale F_{oi} , turatia arborelui de ieșire n_{2x} corespunzătoare vitezei maxime V_x și turatia nominală a motorului n_{dn} .

Deoarece: $C_2/C_{2i} = F_o/F_{oi}$ și $n_2/n_{2x} = V/V_x$ în diagrame se trăsează $F_o/F_{oi}(V/V_x)$ și nu $C_2/C_{2i}(n_2/n_{2x})$.

Pentru locomotiva menționată:

$$C_{2i} = C_o \frac{n_{ox}}{n_{2x}} = F_{oi} \frac{n_{ox}}{n_{2x}} \cdot \frac{D}{2} = 130 \text{ daN.m}$$

în care:

$$F_{oi} = \frac{270 P_{dmax}}{V_x} = 2314 \text{ daN}$$

$$V_x = 35 \text{ km/h}$$

$$P_{dmax} = 300 \text{ CP}$$

$$D = 0,75 \text{ m} - \text{diametrul roții}$$

$$n_{2x} = 1650 \text{ rot/min.}$$

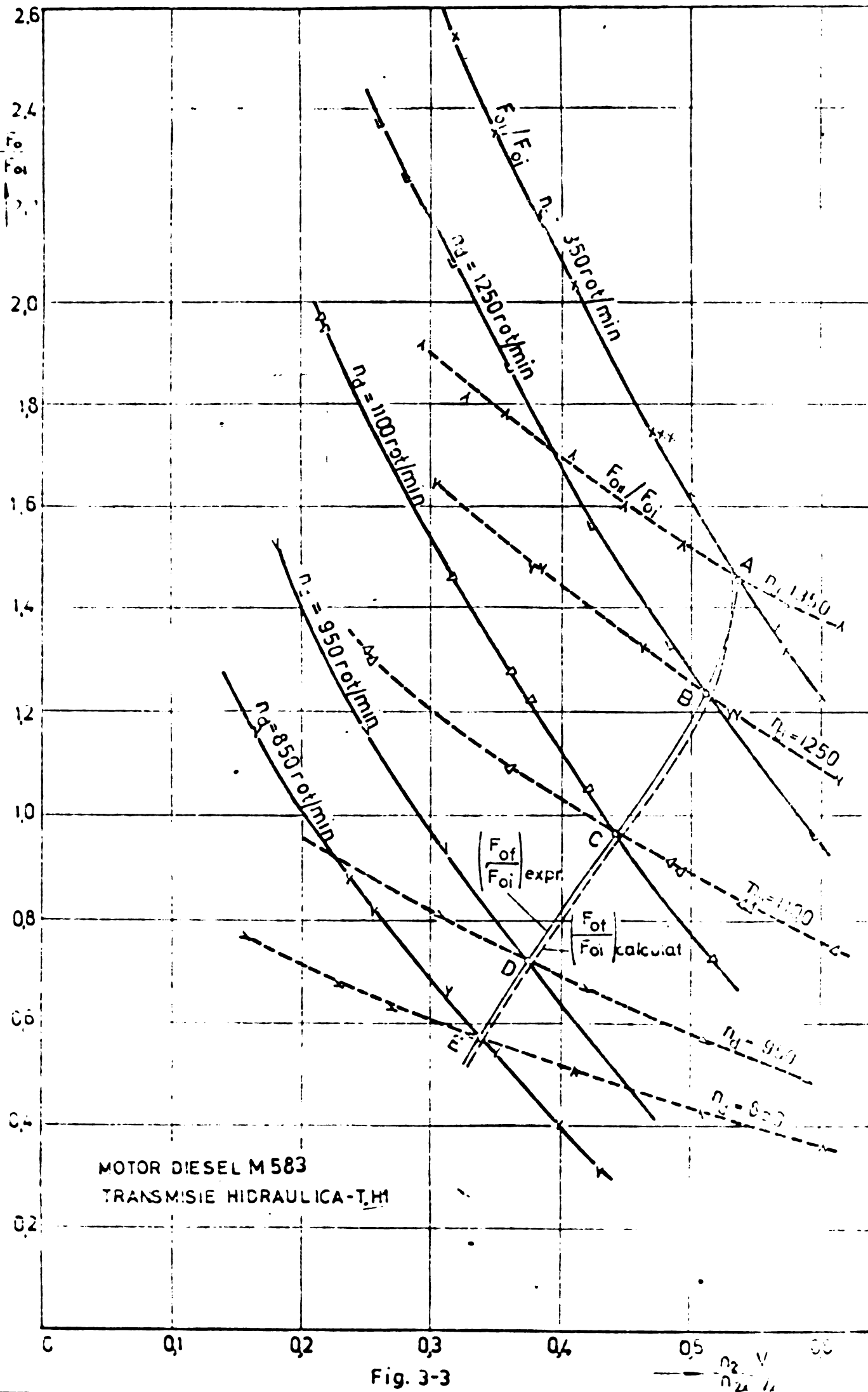
In diagrama din figura 3-3 sunt date caracteristicile forței de tracțiune determinate experimental pe cele două trepte de viteze pentru diferite sarcini ale motorului diesel. Punktele A, B, C, D, E de intersecție a caracteristicilor forței de tracțiune de pe cele două trepte de viteze, sunt puncte ale caracteristicii de comutare F_{of}/F_{oi} care poate asigura o variație continuă a caracteristicilor forței de tracțiune. Coordonatele acestor puncte de comutare precum și randamentele celor două transformatoare și căderea de randament la comutare, sunt date în tabela 3-6.

Tabela 3-6.
Caracteristica de comutare determinată experimental în
condiția $\Psi_k - 1 = 0$

n_d/n_{dn}	$(V/V_x)_k$	F_{of}/F_{oi}	γ_{thI}	γ_{thII}	ξ_{ct}
1	0,535	1,47	0,783	0,792	0,988
0,925	0,51	1,24	0,7	0,737	0,949
0,815	0,44	0,970	0,754	0,775	0,973
0,704	0,375	0,726	0,73	0,77	0,948
0,63	0,34	0,57	0,737	0,775	0,951

In figura 3-3 s-a trasat, cu datele din tabela 3-5, caracteristica de comutare teoretică (curba ABCDE – linie întreruptă).

Din comparația celor două caracteristici de comutare



(experimentală și teoretică), rezultă că metoda de calcul prezentată oferă o precizie suficientă pentru determinarea caracteristicii de comutare F_{of}/F_{oi} pe baza caracteristicilor transmisiei hidraulice ridicate pe stand, transmisia fiind antrenată de un motor electric asincron.

Pentru vitezele de comutare, se determină, din ultimele două ecuații ale sistemelor (3.42)...(3.44), valorile turăticii motorului diesel la comutare. Corespunzător caracteristicii de comutare F_{of}/F_{oi} se obțin două diagrame de comutare și anume:

$(n_{df}/n_{dn})_I$ la comutarea directă (curbe 2 din figura 3-4) și $(n_{df}/n_{dn})_{II}$ la comutarea inversă (curba 1 din figura 3-4). Diferența dintre cele două programe de comutare este destul de mică

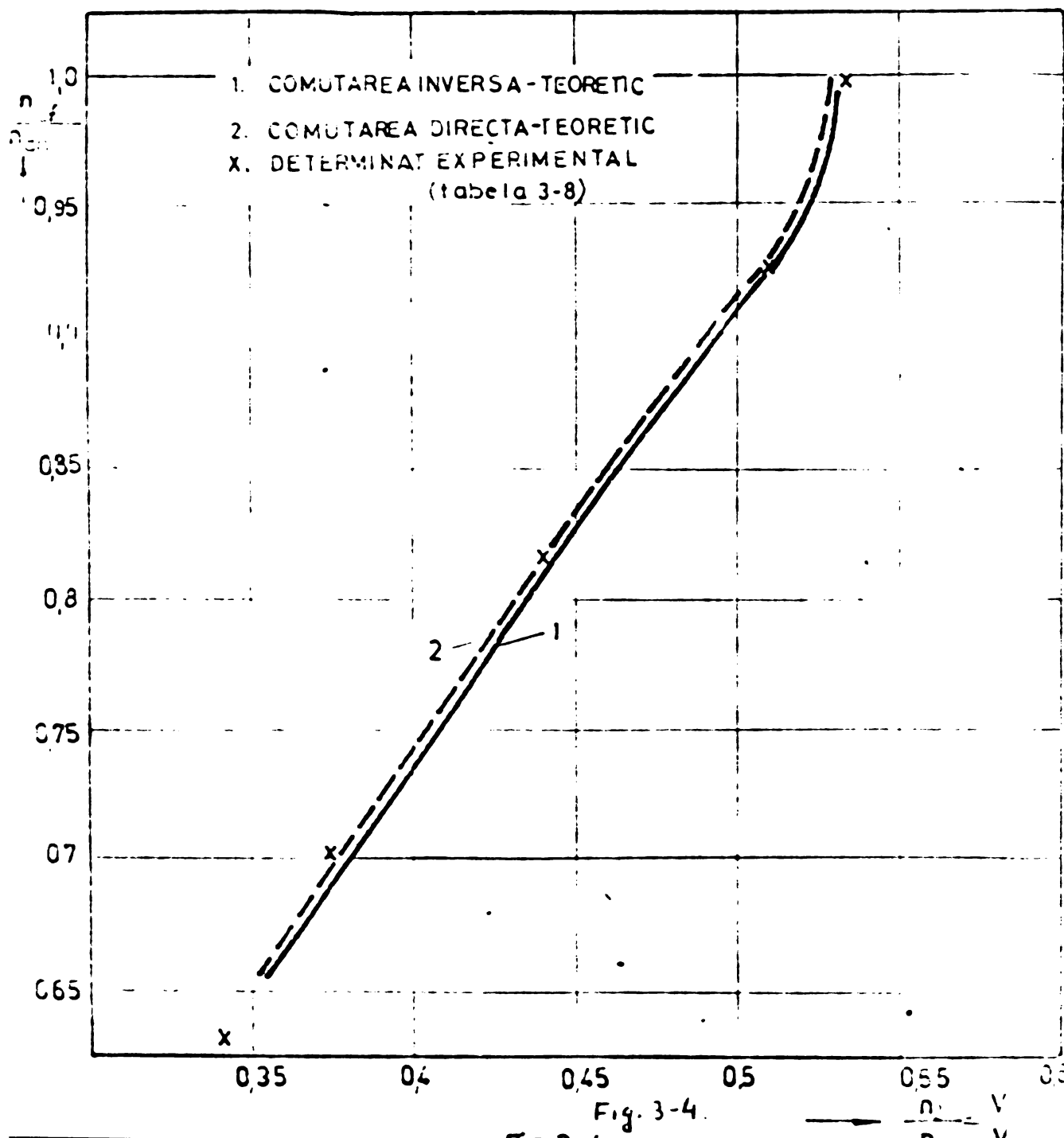


Fig. 3-4.

deoarece gradul de transparentă a celor două transformatoare este mic. Din această cauză, la efectuarea măsurătorilor nu a fost posibil să se determine separat cele două programe de comutare. Pe figura 3-4 s-au marcat și punctele programului de comutare determinat experimental pentru comutarea directă.

Comutarea după caracteristica F_{oi}/F_{o2} determină un salt de randament la comutarea directă sau o cădere a randamentului la comutarea inversă. Valorile căderii de randament $\delta\gamma_t$ sunt date în tabelă 3-6.

3.3.4. Determinarea caracteristicilor de comutare la randament optim.

Caracteristicile de comutare $F_{o2}/F_{oi} (V/V_x)$ care pot asigura o variație continuă a randamentului transmisiei, se determină din relația (3.34).

Pentru grupul motor diesel - transmisie hidraulică, care echipază locomotiva LDH 350 CP, rezultă :

$$\frac{V}{V_x} - 2\left(\frac{n_d}{n_{dn} I}\right) \cdot \left(\frac{n_d}{n_{dn} II}\right) \cdot \frac{\left(\frac{n_d}{n_{dn} I}\right)^2 - 1,69\left(\frac{n_d}{n_{dn} II}\right)^2}{1,43\left(\frac{n_d}{n_{dn} I}\right)^2 - 4,06\left(\frac{n_d}{n_{dn} II}\right)^2} = 0 \quad (3.46)$$

Turăția n_d/n_{dn} la funcționarea transmisiei pe transformatorul I și pe transformatorul II, se determină din unul din sistemele de ecuații:

- pentru funcționarea motorului diesel la sarcina maximă,

$$\left(\frac{n_d}{n_{dn} I}\right)^2 + (13,78 - 0,19 \frac{V}{V_x}) \left(\frac{n_d}{n_{dn} I}\right) + 0,49 \left(\frac{V}{V_x}\right)^2 - 14,81 = 0 \quad (3.47)$$

$$\left(\frac{n_d}{n_{dn} II}\right)^2 + (12,86 - 0,28 \frac{V}{V_x}) \left(\frac{n_d}{n_{dn} II}\right) + 0,25 \left(\frac{V}{V_x}\right)^2 - 13,82 = 0 \quad (3.47)$$

$$\text{dacă } \left(\frac{V}{V_x}\right)_k \in [0,209; 0,49]$$

$$\left(\frac{n_d}{n_{dn} I}\right)^2 - 0,198 \frac{v}{v_x} \left(\frac{n_d}{n_{dn} I}\right) + 0,49 \left(\frac{v}{v_x}\right)^2 - 1,02 = 0$$

$$\left(\frac{n_d}{n_{dn} II}\right)^2 + (12,86 + 0,28 \frac{v}{v_x}) \left(\frac{n_d}{n_{dn} II}\right) + 0,25 \left(\frac{v}{v_x}\right)^2 - 13,82 = 0$$

$$\text{dacă } \left(\frac{v}{v_x}\right)_k \in [0,49; 0,8]$$

- pentru funcționarea motorului diesel la sarcini parțiale:

$$\left(\frac{n_d}{n_{dn} I}\right)^2 + 2(c'_{1xI} - 0,099 \frac{v}{v_x}) \left(\frac{n_d}{n_{dn} I}\right) + 0,49 \left(\frac{v}{v_x}\right)^2 - c'_{2xI} = 0$$

$$\left(\frac{n_d}{n_{dn} II}\right)^2 + 2(c'_{ixII} - 0,14 \frac{v}{v_x}) \left(\frac{n_d}{n_{dn} II}\right) + 0,25 \left(\frac{v}{v_x}\right)^2 - c'_{2xII} = 0$$

Pentru fiecare valoare a vitezei de comutare $(v/v_x)_k$, determinată din ecuația (3.46) și relațiile (3.47)...(3.49), rezultă două valori ale forței de tracțiune, una pentru comutarea directă și alta pentru comutarea inversă.

La comutarea directă, forța de tracțiune dată de relația (3.35), pentru grupul considerat motor diesel - transmisie hidraulică, este :

$$\begin{aligned} \left(\frac{F_o}{F_{oi} I}\right) &= 2,918 \left(\frac{v}{v_x}\right)_k^2 - 5,611 \left(\frac{v}{v_x}\right)_k \left(\frac{n_d}{n_{dn} I}\right) - \\ &- 2,358 \frac{\left(\frac{v}{v_x}\right)^3}{\left(\frac{n_d}{n_{dn} I}\right)} + 4 \left(\frac{n_d}{n_{dn} I}\right)^2 \end{aligned} \quad (3.50)$$

iar pentru comutare inversă (relația 3.36) :

$$\begin{aligned} \left(\frac{F_o}{F_{oi} II}\right) &= 1,159 \left(\frac{v}{v_x}\right)_k^2 - 2,531 \left(\frac{v}{v_x}\right)_k \cdot \left(\frac{n_d}{n_{dn} II}\right) - \\ &- 0,464 \frac{\left(\frac{v}{v_x}\right)^3}{\left(\frac{n_d}{n_{dn} II}\right)} + 2,541 \left(\frac{n_d}{n_{dn} II}\right)^2 \end{aligned} \quad (3.51)$$

Prin rezolvarea sistemelor formate din ecuațiile (3.16), (3.17) și (3.18) se obțin rezultatele din tabela 3-7.

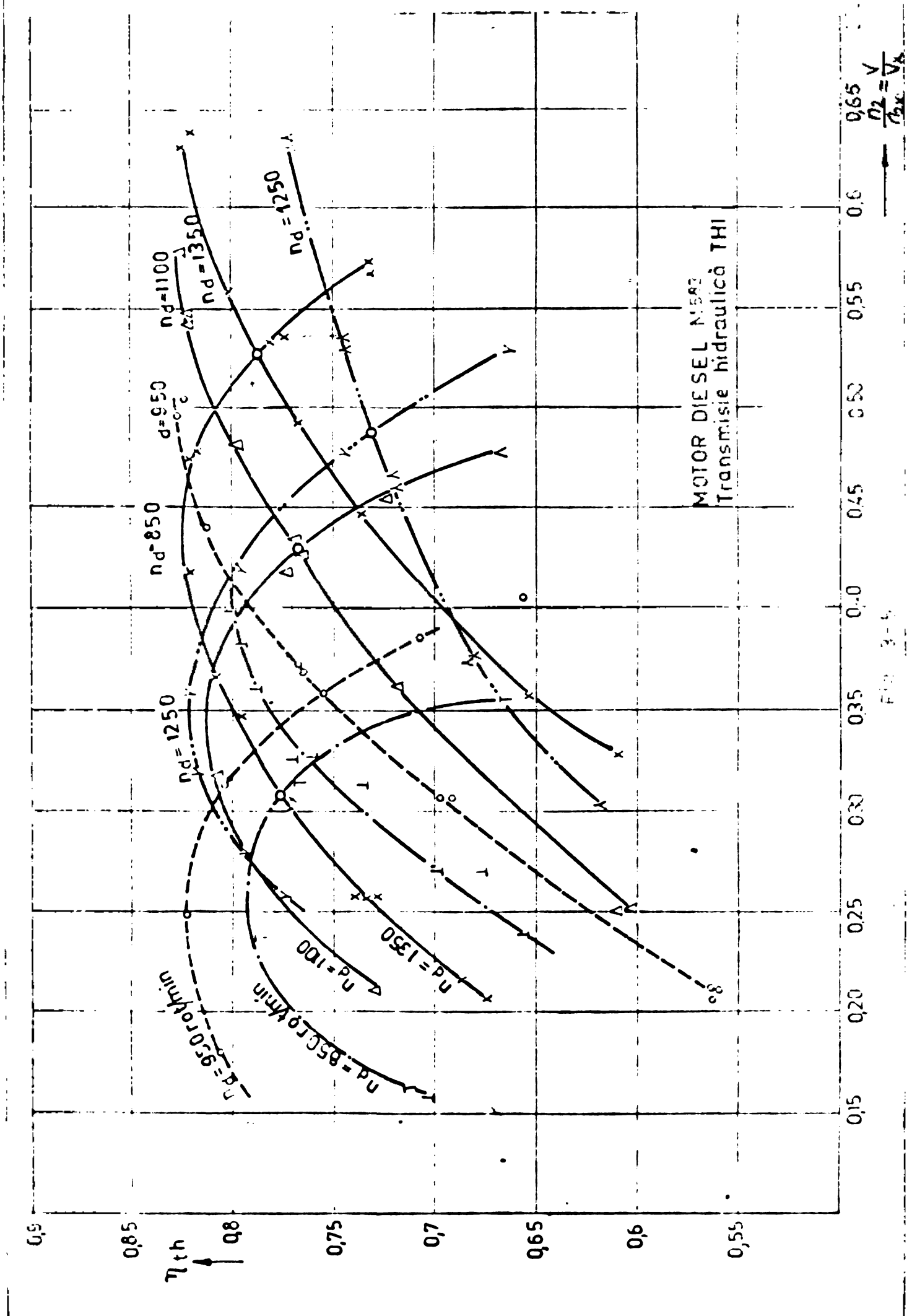
Tabelă 3-7.

$(V/V_x)_k$	0,522	0,49	0,439	0,407	0,372	0,342
$(n_{d\gamma}/n_{dn})_I$	0,994	0,934	0,837	0,775	0,709	0,652
$(n_{d\gamma}/n_{dn})_{II}$	1,002	0,936	0,838	0,777	0,711	0,653
$(F_{o\gamma}/F_{oi})_I$	1,51	1,33	1,08	0,92	0,79	0,65
$(F_{o\gamma}/F_{oi})_{II}$	1,43	1,28	1,03	0,88	0,74	0,62
$\delta F_o = \gamma_k$	1,020	1,039	1,087	1,045	1,067	1,048

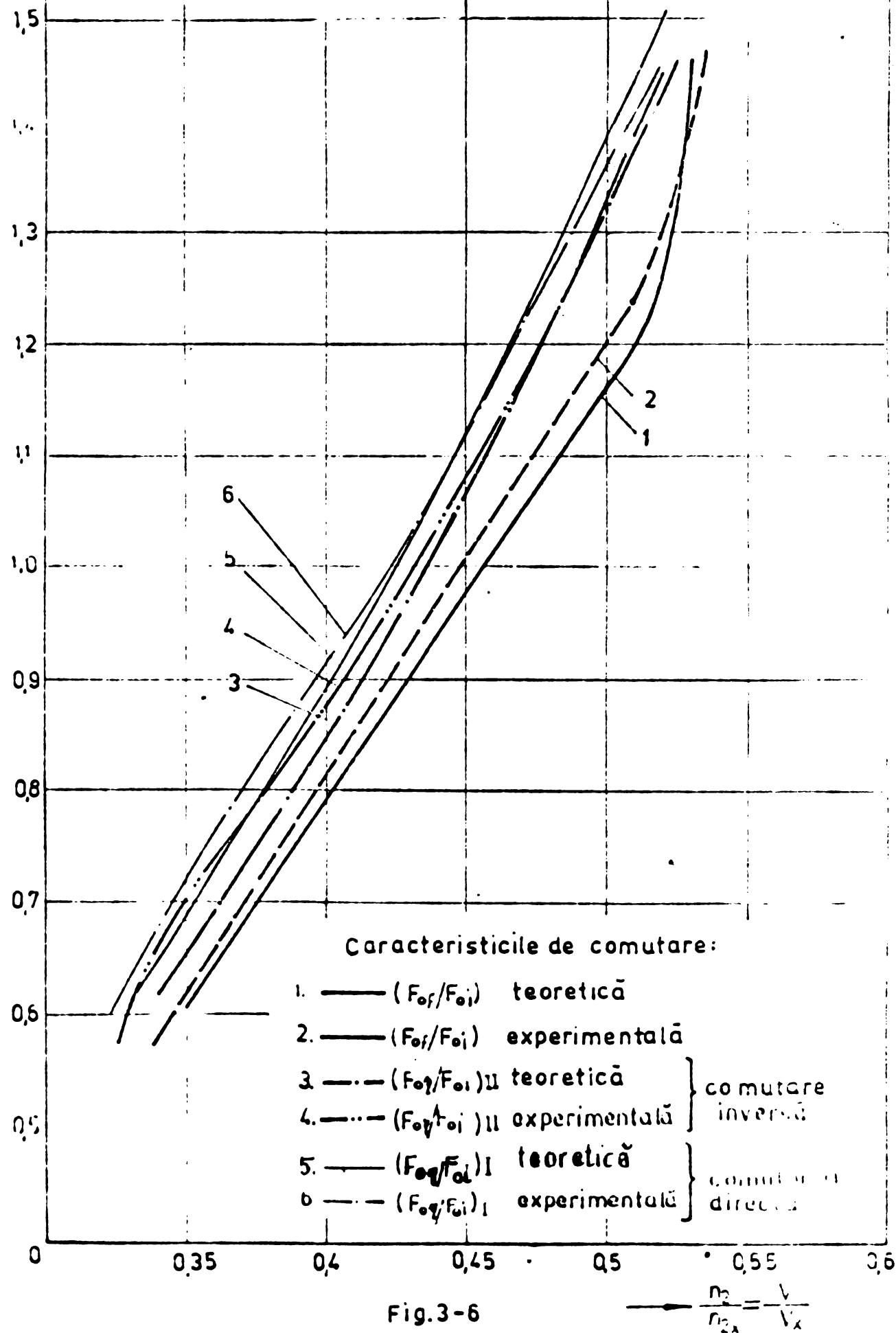
Caracteristicile de randament ale transmisiei TH1, determinate experimental pentru diferite sarcini ale motorului diesel, sunt prezentate în diagramele din figura 3-5. Punctele de intersecție ale caracteristicilor de randament cu cele două trepte de viteze determină vitezele de mers care pot asigura o comutare fără căderi sau salturi de randament. Pentru aceste viteze de comutare, se determină din diagrama din figura 3-3 forțele de tractiune la începutul comutării cînd se găsește în funcțiune primul transformator $(F_o/F_{oi})_I$ și respectiv cel de al 2-lea transformator $(F_o/F_{oi})_{II}$ (tabela 3-8) și deci caracteristicile de comutare în cazul cînd nu există căderi de randament. Aceste caracteisticile de comutare (determinate pe baza datelor obținute experimental) sunt date în figura 3-6 – curbele 4 și 6. Tot aici sunt trasate și caracteristicile de comutare teoretice – curbele 5 și 7.

Tabelă 3-8.

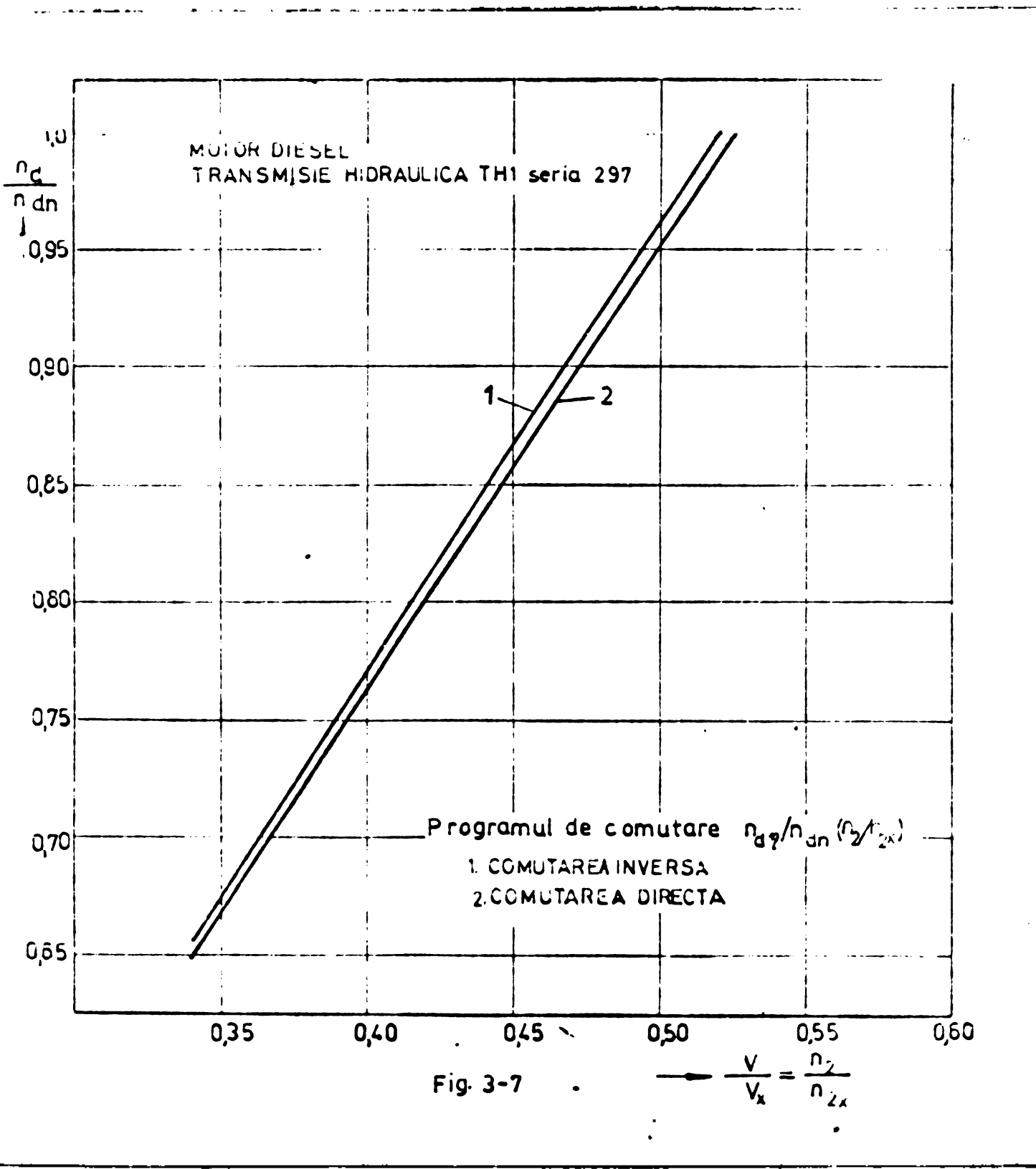
n_d/n_{dn}	$(V/V_x)_k$	$(F_{o\gamma}/F_{oi})_I$	$(F_{o\gamma}/F_{oi})_{II}$	$\gamma_{thI} = \gamma_{thII}$	$\delta F_o = \gamma_k$
1	0,528	1,50	1,47	0,725	1,02
0,925	0,490	1,31	1,28	0,730	1,02
0,815	0,428	1,01	0,98	0,720	1,03
0,704	0,360	0,76	0,74	0,755	1,02
0,63	0,325	0,66	0,58	0,76	1,13



MOTOR DIESEL M 583
TRANSMISIE HIDRAULICA TH1



Programele de comutare (n_d / n_{dn})_I la comutarea ce pe transformatorul I pe II și (n_d / n_{dn})_{II} - la comutarea de pe transformatorul II pe I, corespunzător celor două caracteristici de comutare sint date în figura 3-7. Si în acest caz, diferența între cele două programe de comutare este mică deoarece gradul de transparență a celor două transformatoare, la viteza de comutare, are valori mici.

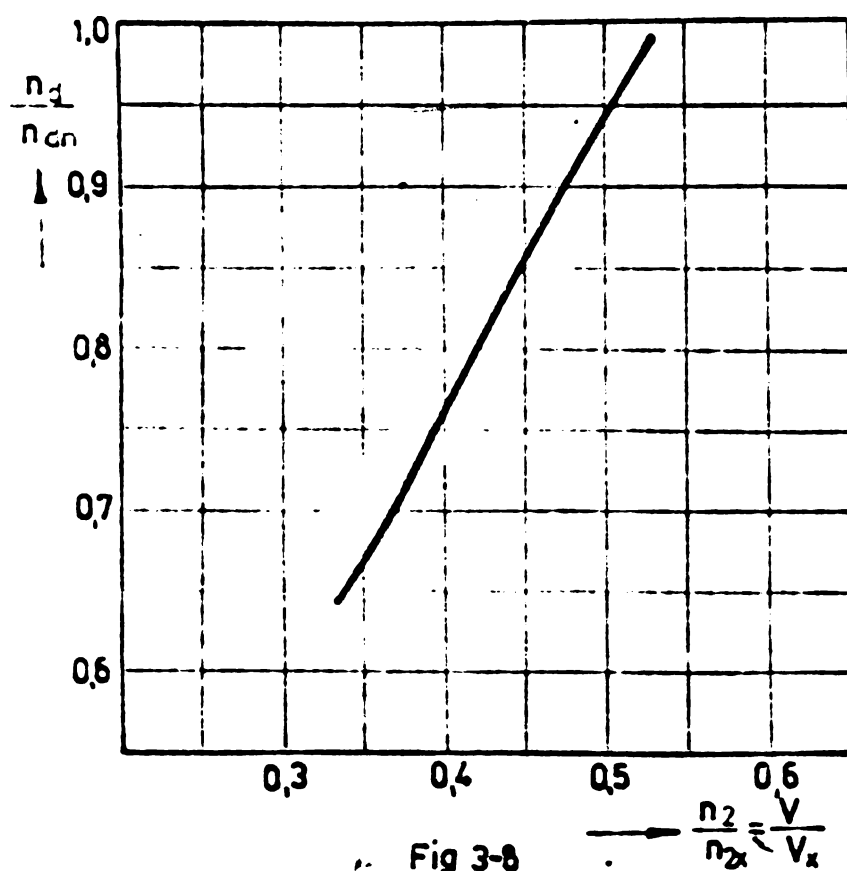


3.3.5. Alegerea caracteristicii de comutare la creșterea vitezei locomotivei.

In paragraful 3.3.3. s-a stabilit caracteristica de comutare $F_{of}/F_{oi} = f_1(V/V_x)$ care poate asigura caracteristici ale forței de tracțiune favorabile, iar în paragraful 3.3.4. caracteristica $(F_{o7}/F_{oi})_d = f_2(V/V_x)$ care poate asigura caracteristici de randament optim la comutarea directă.

Evident, că numai una din aceste caracteristici, sau o combinație a celor două caracteristici, poate fi aleasă pentru o anumită locomotivă.

După cum s-a arătat în paragraful 3.2, pentru locomotive destinate serviciului de manevră, se alege caracteristica $(F_{o7}/F_{oi})_d$ la funcționarea motorului diesel la sarcini partiile adică pentru vitezele de comutare $(V/V_x)_k \in [(V/V_x)_{min}, (V/V_x)_{max}]$ și F_{of}/F_{oi} la funcționarea motorului diesel la sarcina nominală și la sarcini apropiate de aceasta, adică pentru viteză de comutare $(V/V_x)_k = (V/V_x)_{max} = 0,535$ și în vecinătatea inferioară a acesteia.



Programul de comutare corespunzător acestei caracteristici de comutare rezultă din programele de comutare $(n_{dr}/n_{dn})_d$ (curba 2 din figura 3-4) și $(n_{dr}/n_{dn})_d$ (curba 2 din figura 3-7) și este dat în figura 3-8.

Programul de comutare poate fi considerat cu suficientă precizie ca fiind dat de dreapta a cărei ecuație este:

$$80 \frac{n_d}{n_{dn}} - 150 \left(\frac{V}{V_x} \right)_d - 1 = 0 \quad (3.52)$$

Dacă comutarea directă se realizează după acest program, criteriile de comutare au valorile din tabela 3-9. Valorile suficiente să apropie valoarea unitate a acestor criterii justifică metodologia de calcul utilizată și ipotezele făcute la alegerea caracteristicii de comutare.

Tabela 3-9.

$(V/V_x)_k$	0,535	0,49	0,439	0,407	0,372	0,342
$\delta F_o = Y_k$	1,0	1,039	1,087	1,045	1,067	1,048
$\delta \gamma_t$	0,987	1,0	1,0	1,0	1,0	1,0

La determinarea caracteristicilor de comutare inversă trebuie să se ia în considerare, pe lângă criteriile calculate, condițiile de funcționare stabilă a transmisiei la comutare, și de aceea aceste caracteristici se determină în capitolul 4.

4. COMUTAREA INVERSA.

4.1. Variatia forței de tractiune în procesul de comutare.

4.1.1. Analiza procesului de comutare.

Funcționarea concomitentă în timpul comutării a agregatelor hidraulice din care este compusă transmisia reprezintă un proces complicat, deoarece fiecare agregat, funcționând individual influențează regimul de lucru a celorlalte aggregate hidraulice. Această influență reciprocă a agregatelor hidraulice depinde de turatărea motorului diesel, de viteza locomotivei, de gradul de umplere al agregatelor hidraulice la un moment dat al procesului de comutare și de parametrii sistemului de comutare.

Din cauza complexității fenomenului din cavitarea de lucru a agregatelor hidraulice la umplerea și golirea lor de ulei, determinarea analitică a caracteristicilor grupului motor diesel - transmisie hidraulică și deci a caracteristicilor de tractiune ale locomotivei în timpul procesului de comutare este dificilă, iar rezultatele obținute pot fi nesigure. De aceea, forța de tractiune în procesul de comutare se va determina din caracteristicile transmisiei hidraulice ridicate experimental la golirea și umplerea ei.

In timpul procesului de comutare are loc atât o redistribuire a puterii transmisă de motorul diesel pe cele două agregate hidraulice, cât și o variație însemnată a ei. Variația puterii produce modificarea forței de tractiune și ca urmare, poate să apară, în anumite condiții de exploatare, un regim instabil de funcționare care se manifestă prin imposibilitatea trecerii pe treapta următoare de viteză (v. paragraful 2.2.4). De aceea, parametrii instalației de umplere și golire trebuie astfel aleși încât să se asigure menținerea constantă a puterii care se transmite de la motorul diesel la arborele de ieșire din transmisie.

In timpul comutării treptelor de viteză, la arborele de intrare și la cel de ieșire, ca urmare a suprapunerii procesului de umplere și de golire, se insumează cuplurile date de ambele agregate. Astfel la arborele de intrare în transmisie se obțin:

$$C_1 = C_{1I} + C_{1II} \quad (4.1)$$

iar la arborele de ieșire din transmisie :

$$C_2 = C_{2I} + C_{2II} \quad (4.2)$$

în care:

C_{1I} și C_{2I} reprezintă cuplul la arborele de intrare în transmisie și respectiv la arborele de ieșire din transmisie, date de agregatul hidraulic de pe prima treaptă de viteze;

C_{1III} și C_{2III} - cuplul la arborele de intrare în transmisie și respectiv la arborele de ieșire din transmisie, date de agregatul hidraulic de pe treapta a doua de viteze.

In ceea ce privește redistribuirea cuplului de ieșire din transmisie, pe cele două agregate hidraulice, sunt posibile trei variante:

1). Golirea primului agregat hidraulic se face mai repede decât umplerea celui de al doilea agregat hidraulic, aşa cum se vede din figura 4-1, în care să de oscilograma procesului de comutare ridicată la regimul ușor de funcționare a locomotivei CFR 040 DHC, viteza de mișcare în timpul comutării menținindu-se constantă.

Cuplul total C_1 la arborele de intrare în transmisia hidraulică se măsoarează:

$$C_{1I} + C_{1III} < C_1^{(o)}$$

Motorul diesel se descarcă iar turatia lui (n_d) crește.

Cuplul total C_2 la arborele de ieșire din transmisia hidraulică (forța de tracțiune) se măsoarează:

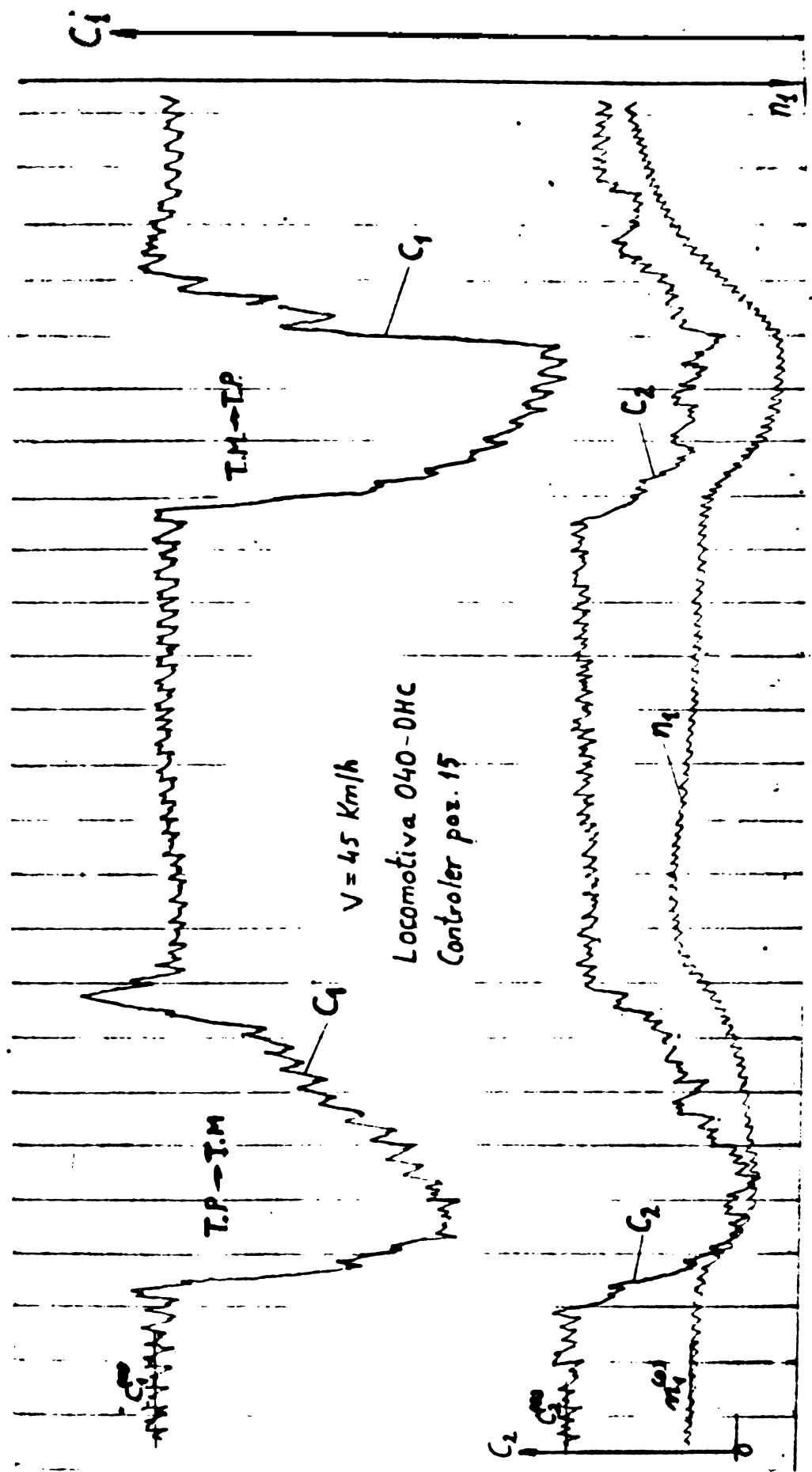
$$C_{2I} + C_{2III} < C_2^{(o)}$$

$C_1^{(o)}$ și $C_2^{(o)}$ reprezintă cuplurile la arborele de intrare și respectiv la arborele de ieșire din transmisia hidraulică la începutul comutării ($t = 0$).

Această variantă de comutare este utilizată în general la locomotivele diesel-hidraulice construite la noi în țară și la majoritatea locomotivelor diesel cu trepte de viteze hidraulice construite în Europa în ultimii ani.

2). Golirea primului agregat hidraulic se face mai încet decât umplerea celui de al doilea agregat hidraulic.

In această variantă cuplul total C_1 la arborele de



intrare crește, iar motorul diesel se supraîncarcă. Turăția motorului diesel, și ca urmare, situația rotorului pompei se micșorează, ceea ce determină micșorarea cuplului rotorului turbinei. Cuplul total C_2 la arborele de ieșire din transmisia hidraulică (forța de tracțiune) se micșorează.

In cazul acestei variante sistemul de reglare trebuie astfel realizat încât inițial se conectează cel de al doilea agregat hidraulic și numai după un anumit interval de timp Δt se deconectează, adică începe golirea primului agregat hidraulic. Pe intervalul de timp Δt cele două aggregate hidraulice funcționează paralel.

Această variantă poate să apară și spre sfîrșitul procesului de comutare dacă viteza de umplere al celui de al doilea agregat este mare în raport cu viteza de golire a primului, chiar dacă umplerea unui agregat și golirea celuilalt au început concomitent.

Un astfel de caz se întâlnește la unele locomotive CFR din seria 040 DHB (fig.4-2). În timpul experimentărilor locomotiva a funcționat la regimul ușor. Oscilograma s-a ridicat pe o porțiune de linie unde viteza de mișcare s-a menținut constantă în timpul comutării.

Neajunsul principal al acestei variante de comutare îl reprezintă pericolul unei supraîncărcări mari a motorului cu urmările ei – o micșorare însemnată a puterii motorului și a forței de tracțiune a locomotivei, în special la funcționarea motorului la sarcina nominală. Supraîncărcarea motorului diesel ca urmare a funcționării în paralel a celor două aggregate hidraulice duce la micșorarea turăției motorului.

Având în vedere că apare, pe de o parte, o supraîncărcare a motorului diesel (care dacă se prelungeste poate fi periculoasă), iar pe de altă parte o micșorare a forței de tracțiune, această variantă de comutare se apreciază ca dezavantajoasă în comparație cu prima variantă.

3). Golirea primului agregat hidraulic și umplerea celui de al doilea agregat hidraulic este astfel reglată încât cuplul total C_1 la arborele de intrare în transmisie se menține constant în timpul comutării :

$$\left. \begin{aligned} C_1 &= C_1^{(0)} = C_{II} + C_{III} \\ n_d &= \text{const.} \end{aligned} \right\} \quad (4.3)$$

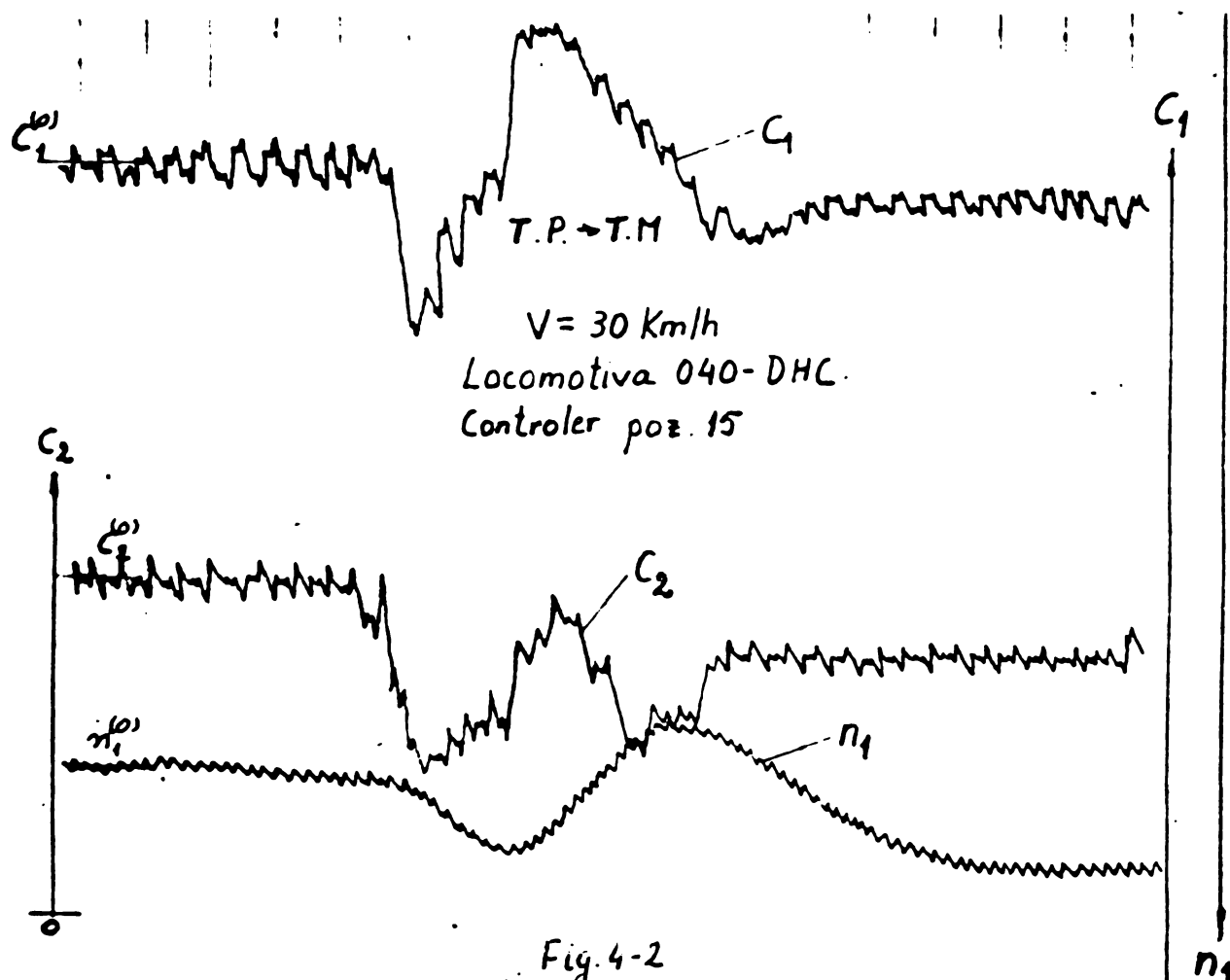


Fig. 4-2

Dacă relațiile (4.3) sunt satisfăcute, atunci și cuplul la arborele de ieșire din transmisie hidraulică, doci și forța de tractiune, sunt constante în timpul comutării, adică :

$$C_2 = C_2^{(0)} = C_{2I} + C_{2II} \quad (4.4)$$

Relațiile (4.3) și (4.4) sunt satisfăcute numai la o corelare judicioasă a golirii și umplerii celor două agregate hidraulice. Dacă acest lucru este posibil de realizat la orice regim de funcționare a motorului diesel, această variantă reprezintă cazul ideal de comutare.

In cele ce urmează se vor analiza mai amănunțit aceste variante de comutare. La baza analizei stau rezultatele experimentale pe care le-am obținut pe standul de încercat transmisiei

hidraulice al Catedrei de material rulant de la Institutul politehnic București. Acest stand a fost echipat, în timpul măsurătorilor efectuate, cu un motor diesel M 583 de 350 CP la turăția de 1350 rot/min și cu transmisia hidraulică TH1 seria 297.

Po stand s-au ridicat caracteristicile grupului motor diesel - transmisie hidraulică în următoarele variante:

1). Umplerea separat a transformatorului de pornire și separat a celui de mers.

2). Golirea separat a transformatorului hidraulic de pornire și separat a celui de mers.

3). Comutarea directă, adică trecerea de la prima treaptă de viteze pe treapta a doua.

4). Comutarea inversă, adică trecerea de pe treapta a doua de viteze pe treapta întâia.

Măsurătorile s-au făcut pentru diferite regimuri de funcționare a motorului diesel și diferite turății ale rotorului turbinii.

Pe stand, sarcina corespunzătoare procesului de comutare, s-a realizat prin frânarea arborelui de ieșire din transmisie și prin modificarea sarcinii motorului diesel.

4.1.2. Procesul de umplere a transformatoarelor hidraulice.

In figura 4-3 se dă oscilograma procesului de umplere a transformatorului hidraulic de pornire. iar în figura 4-4 oscilograma procesului de umplere a transformatorului hidraulic de mers la sarcina nominală a motorului diesel și la o turăție a arborelui de ieșire din transmisia hidraulică în momentul inițial al procesului de umplere ($t = 0$).

Rezultatele obținute prin prelucrarea oscilogramelor ridicate la umplerea transformatorului de pornire pentru diferite regimuri de încărcare a motorului diesel și diferite turății ale arborelui de ieșire din transmisia hidraulică sunt prezентate în diagramele din figurile 4-5 și 4-7 pentru transformatorul de pornire, iar în diagramele din figurile 4-6 și 4-8 pentru transformatorul de mers.

In diagramele din figurile 4-5 și 4-7 s-a reprezentat variația în funcție de timp a cuplului relativ C_p/C_{li} la arborele de intrare în transmisie la umplarea și la golirea celor două transformatoare.

- 82 -

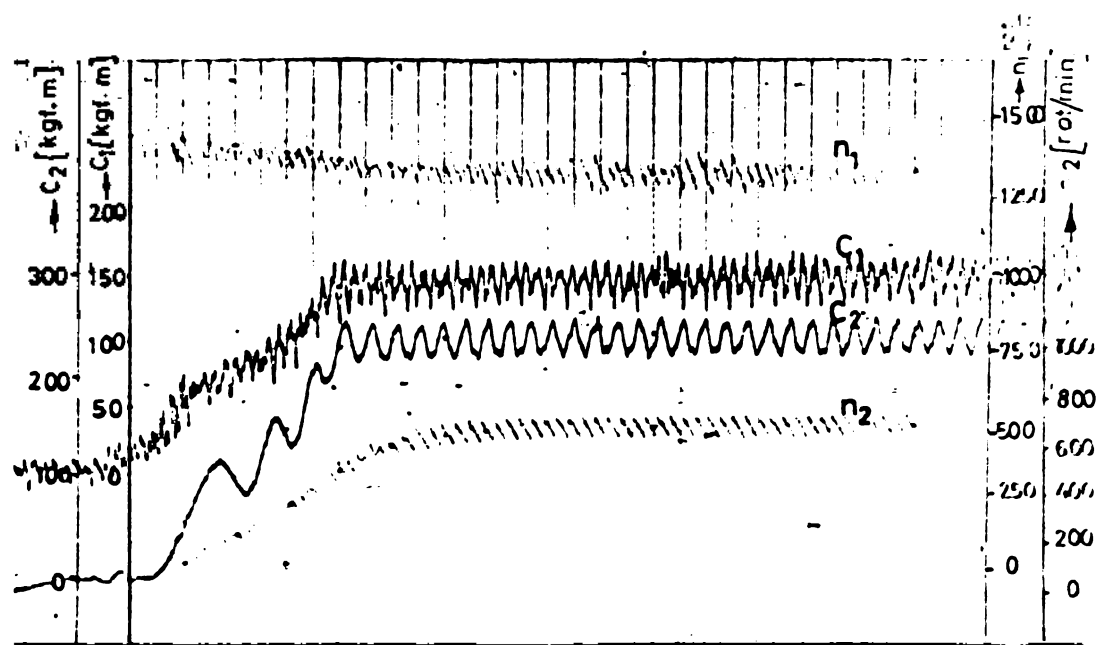


Fig. 4-3

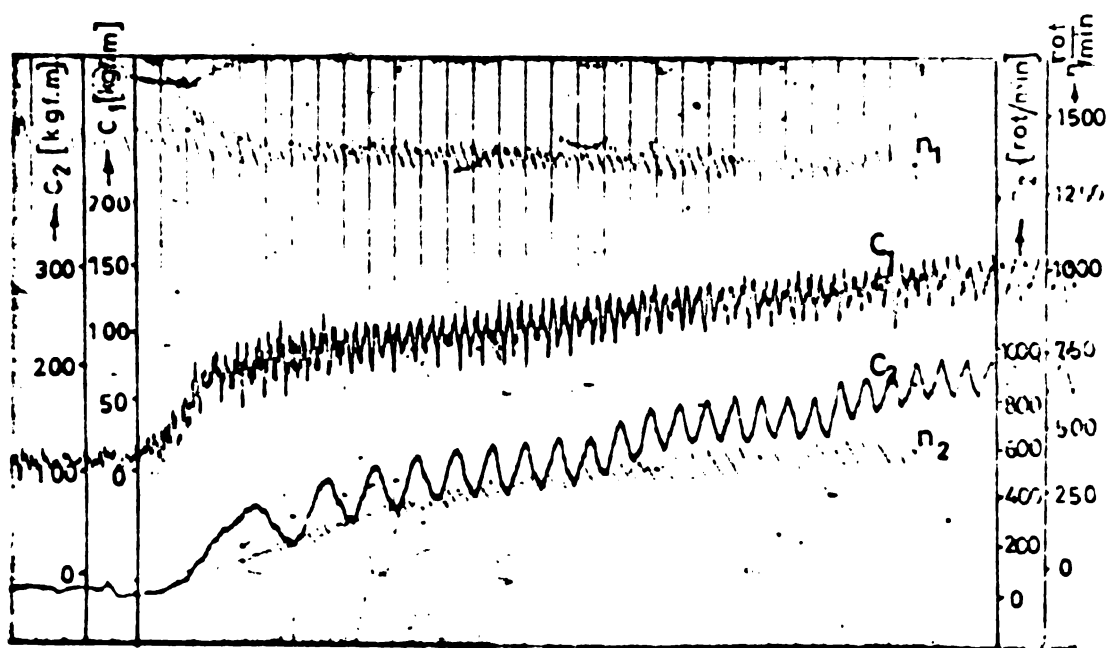
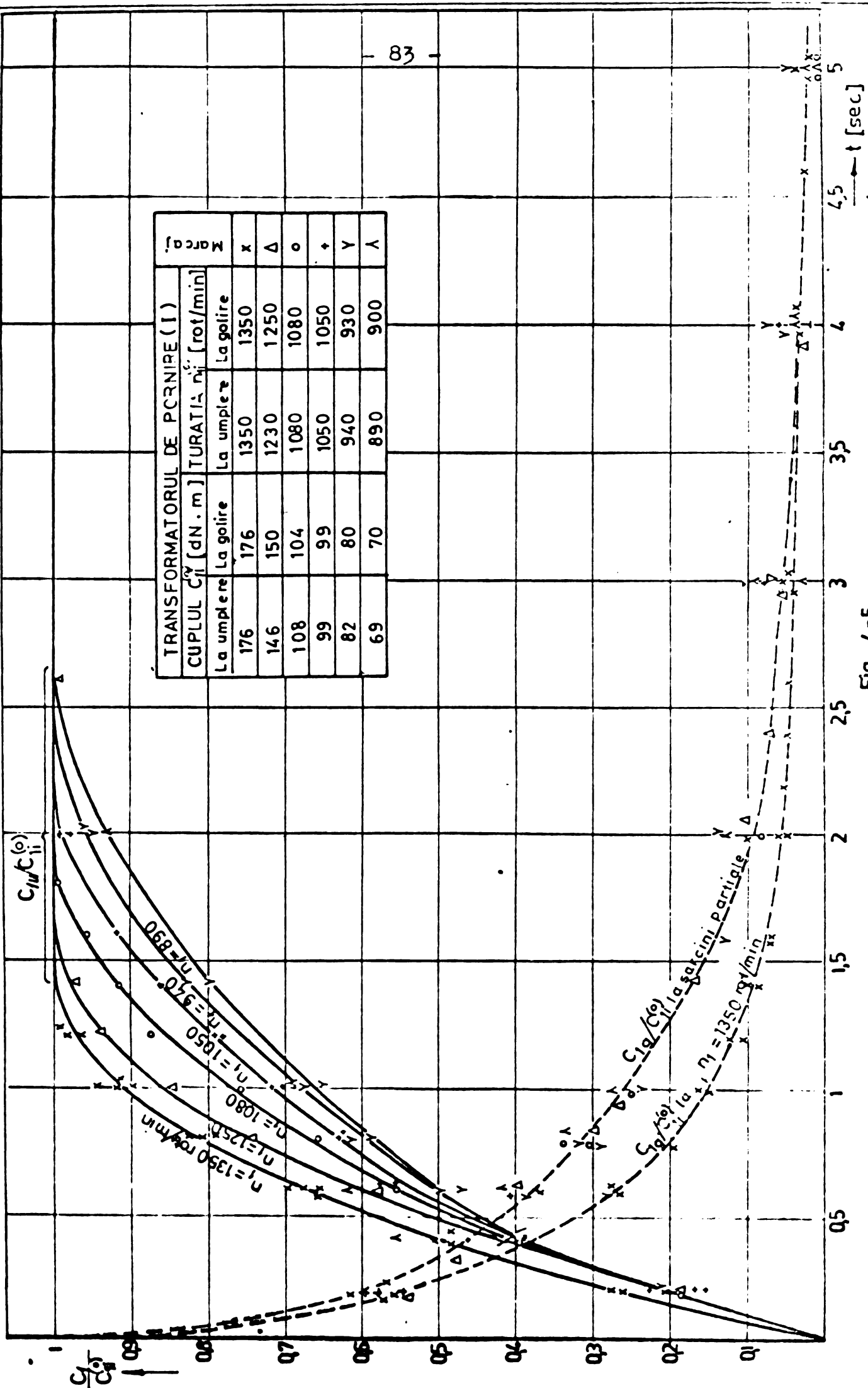
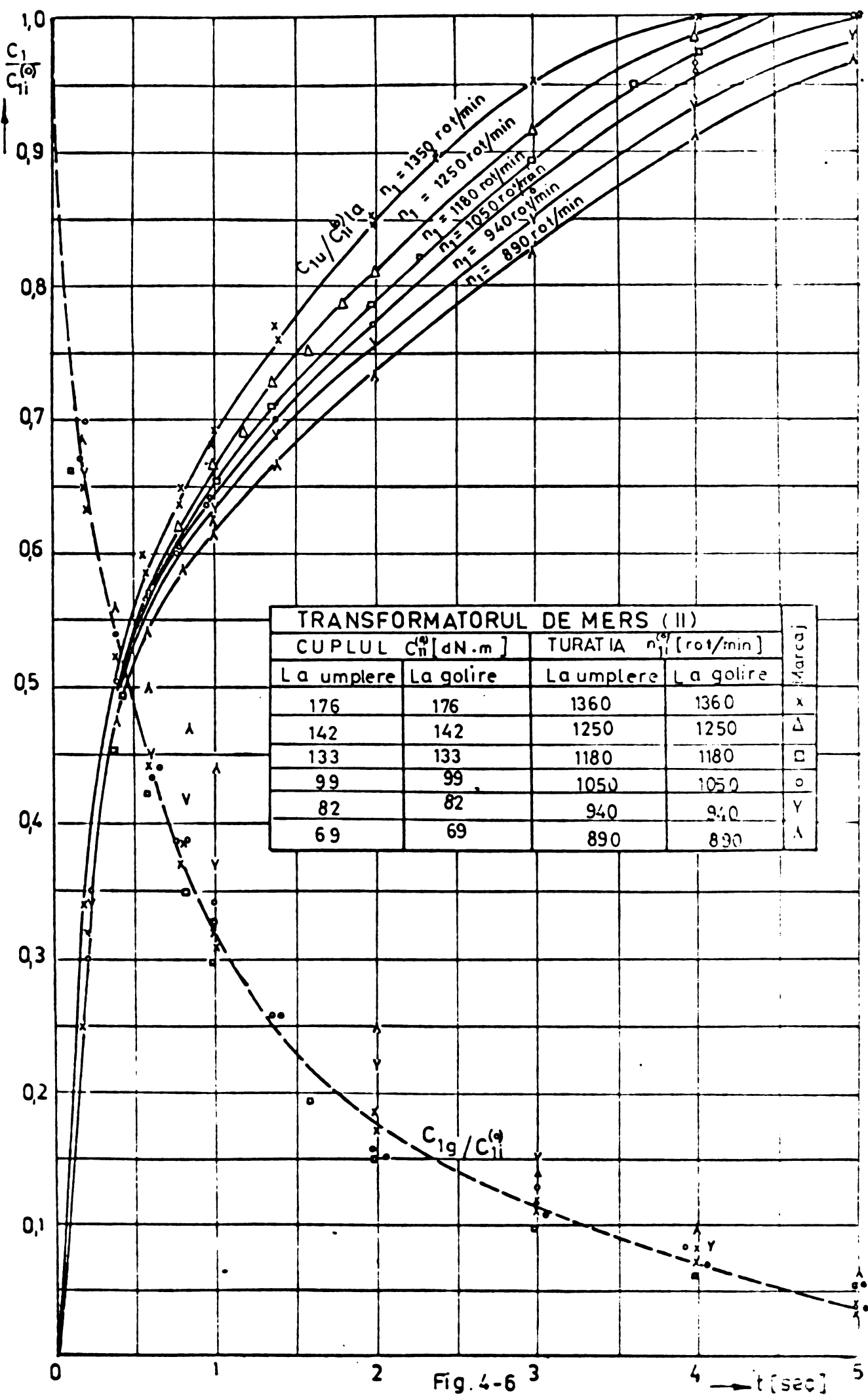


Fig. 4-4

- 83 -





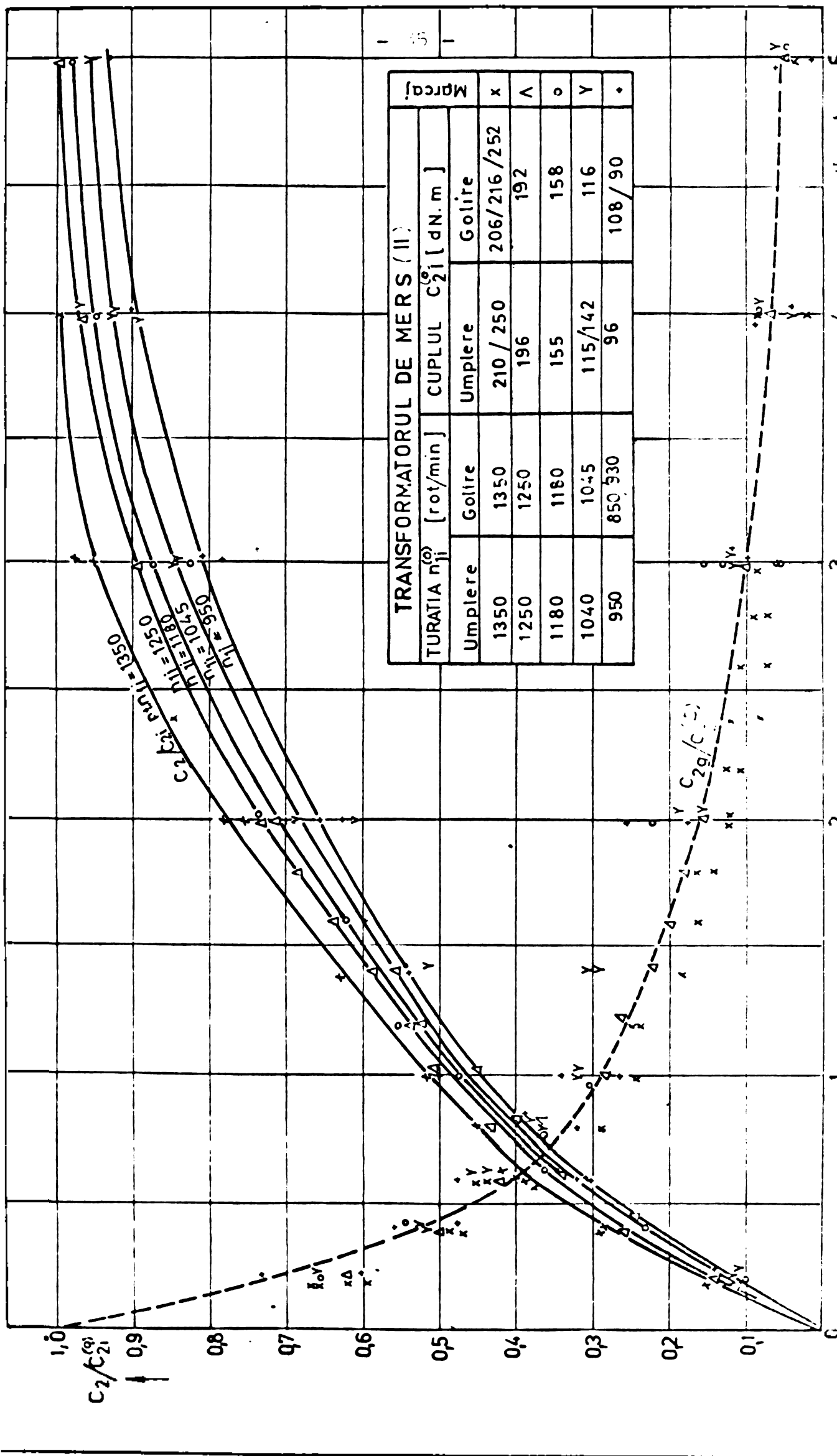


Fig. 4-7

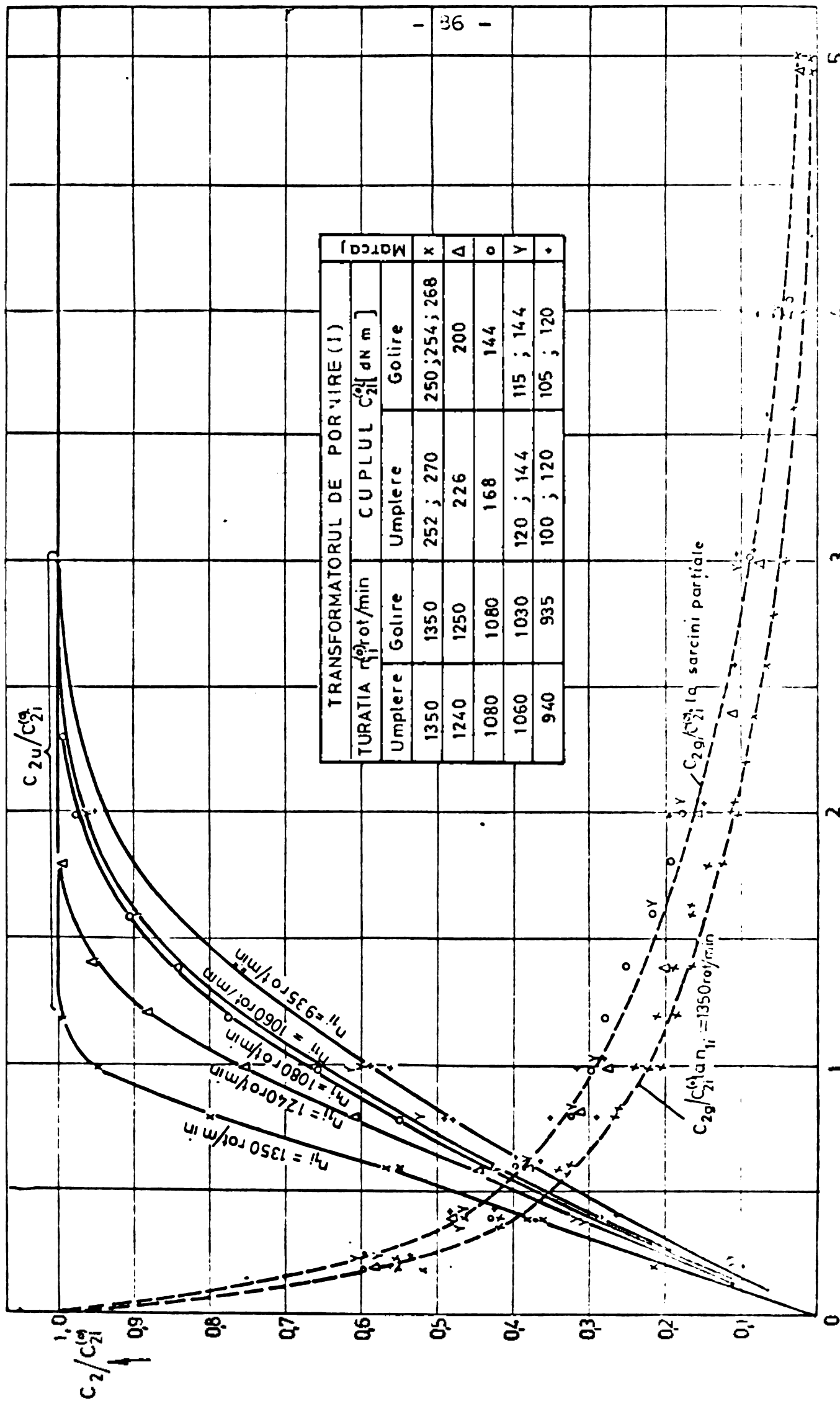


Fig. 4-8

In diagramele din figurile 4-6 și 4-8 s-a reprezentat variația cuplului relativ C_2/C_{2i} la arborele de ieșire din transmisia hidraulică, în timpul umplerii și golirii celor două transformatoare hidraulice. Pentru mărimele de referință C_{1i} , C_{2i} , n_{1i} , n_{2i} , s-au ales valorile corespunzătoare momentului inițial de umplere respectiv de golire.

Din aceste diagrame rezultă că durata de umplere depinde de turăția motorului și este diferită pentru cele două agregate hidraulice. Transformatorul de pornire se umple în 1,3 secunde la turăția motorului de 1350 rot/min. și în 3 secunde la turăția de 935 rot/min., iar transformatorul de mers în circa 4...6 secunde în funcție de turăția motorului diesel. Dacă turăția motorului diesel, în momentul inițial al umplerii, se reduce, atunci durata procesului de comutare se mărește din cauza micșorării debitului pompei de alimentare, turăția căreia este proporțională cu turăția motorului diesel.

De asemenea viteza de creștere a cuplului la arborele de ieșire (cuplul C_{2u}/C_{2i}) este diferită la cele două transformatoare la aceeași turăție n_{1i} a motorului diesel. La același transformator viteza de creștere aproape că nu este influențată de turăția motorului diesel în prima secundă a procesului de comutare, diferențe mai mari de la o turăție la alta fiind aproximativ la mijlocul intervalului de umplere.

În timpul umplerii transformatorului, sarcina motorului diesel crește iar turăție lui se micșorează în concordanță cu caracteristica de regulator pe care funcționează motorul (poziția controlerului) și cu gradul de transparentă al transformatorului.

4.1.3. Procesul de golire a transformatorelor hidraulice.

În figura 4-9 se prezintă un exemplu de oscilogramă a golirii transformatorului de pornire, iar în figura 4-10 – pentru transformatorul de mers. Astfel de oscilograme s-au ridicat pentru diferite regimuri de funcționare a motorului diesel și pentru diferite regimuri de încărcare a arborelui de ieșire din transmisia hidraulică.

Rezultatele obținute prin prelucrarea oscilogramelor sunt prezentate în diagramele din figurile 4-5...4-8. Din aceste diagrame rezultă că durata de golire a celor două transformatoare

este aproximativ aceeași. Cuplul la arborele de ieșire se micșoară la zero în circa 5 secunde de la începutul procesului de golire.

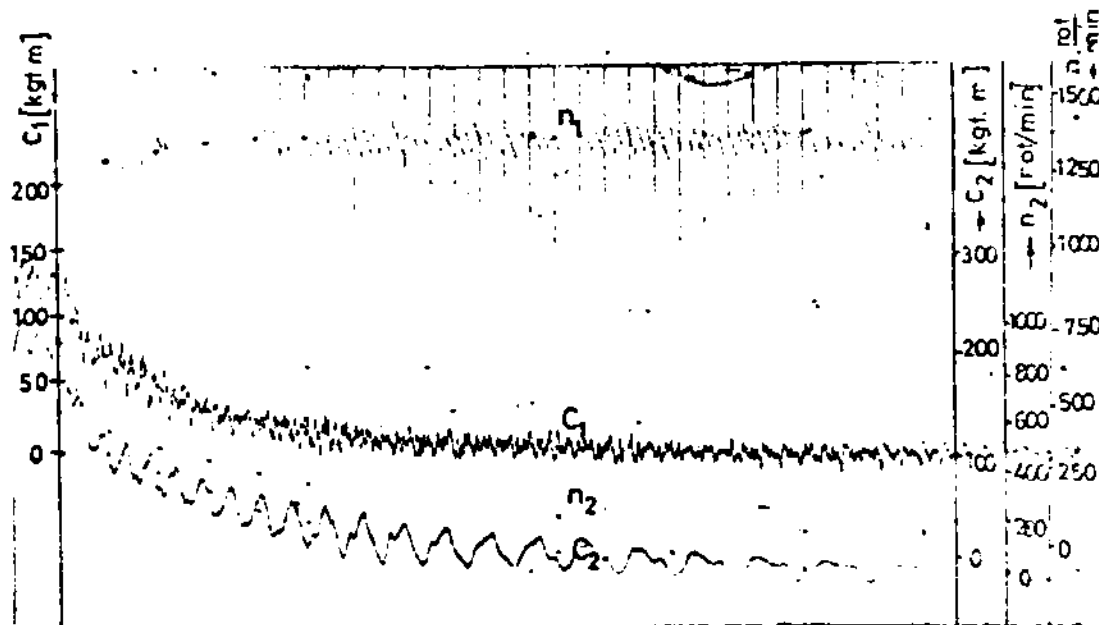


Fig. 4-9

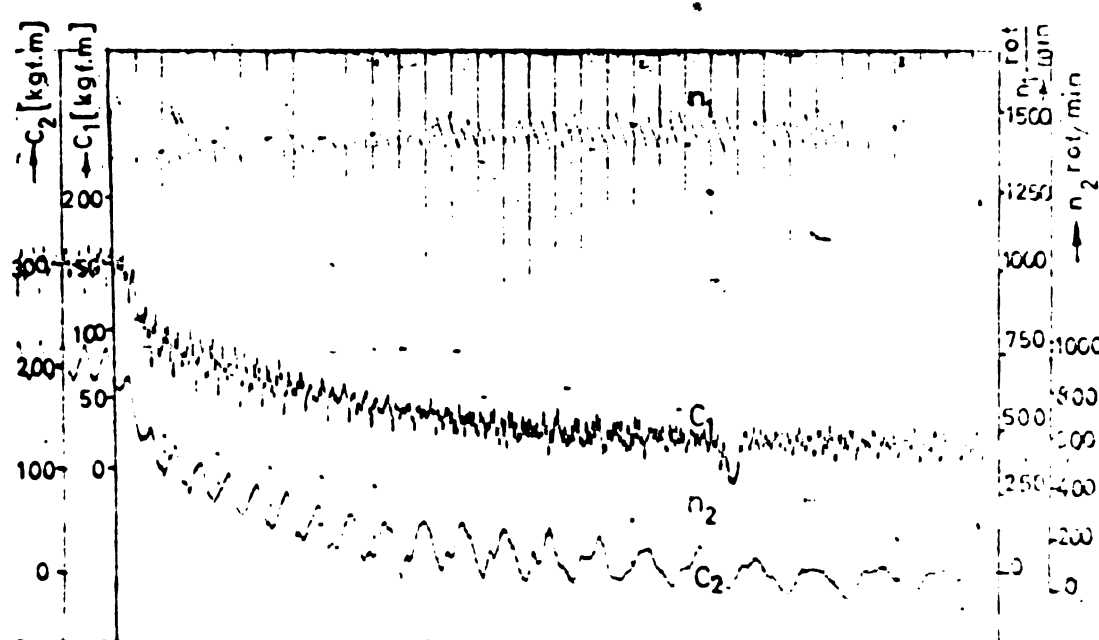


Fig. 4-10

Variatia cuplului relativ $C_{2g}/C_{2i}^{(a)}$ în timpul procesului de golire, aşa cum rezultă din analiza datelor experimentale obținute la încercarea transmisiei hidraulice TH1, nu depinde de turatarea arborelui de ieșire din transmisie hidraulică (regimul de

mișcare a locomotivei) și de regimul de funcționare a motorului diesel (fig.4-7 și 4-8). Cu toate că la sarcina nominală a motorului diesel valorile cuplului relativ sunt cu ceva mai scăzute decât la sarcini parțiale ale motorului, diferența este atât de mică că practic se poate considera că și aceste valori fac parte din zona care definește caracteristica cuplului la arborele de ieșire din transmisia hidraulică. Cu suficientă precizie cuplul transformatorului care se golește se poate aproxima prin funcția:

$$\frac{C_{2\sigma}}{C_{21}^{(0)}} = e^{-a_1 t^2 + a_2 t} \quad (4.5)$$

în care a_1 și a_2 sunt constante determinate de caracteristicile experimentale (fig.4-6 și 4-7).

4.1.4. Comutarea de la treapta I la treapta II.

Procesul de comutare a fost oscilografiat la diferite regimuri de funcționare a motorului și la diferite turări ale arborelui de ieșire din transmisie.

In figura 4-11 se arată variația cuplului la arborele de intrare C_1 și la arborele de ieșire C_2 raportat la valoarea respectivă a cuplului în momentul inițial al comutării ($C_1 = C_1^{(0)}$ și $C_2 = C_2^{(0)}$ la $t = 0$), în trecerea de pe treapta I pe treapta II. Comutarea reprezentată în figura 4-11,a s-a făcut la sarcina nominală a motorului diesel și la două turări ale arborelui de ieșire din transmisie, în momentul inițial al comutării, $n_2 = 717$ rot/min. și $n_2 = 800$ rot/min; iar în figurile 4-11,b...f la regimuri parțiale ale motorului și turării $n_2^{(c)}$ la ieșire respectiv de 180, 490 și 370 rot/min. Comutările au fost efectuate stabilindu-se un regim de funcționare al motorului, iar prin frânarea arborelui de ieșire – o anumită turărie $n_2^{(c)}$.

Analiza oscilogramelor și a graficelor arată că variația cuplului C_1 și C_2 la diferite regimuri de funcționare ale motorului diesel și la diferite turări ale arborelui de ieșire din transmisie are loc după legi destul de apropiate.

In toate regimurile cercetate de funcționare a motorului diesel, se observă la comutare o creștere a turării motorului diesel, ca urmare a micșorării cuplului C_1 , deci a densității motorului.

Pe toate oscilogramele se observă o micșorare a

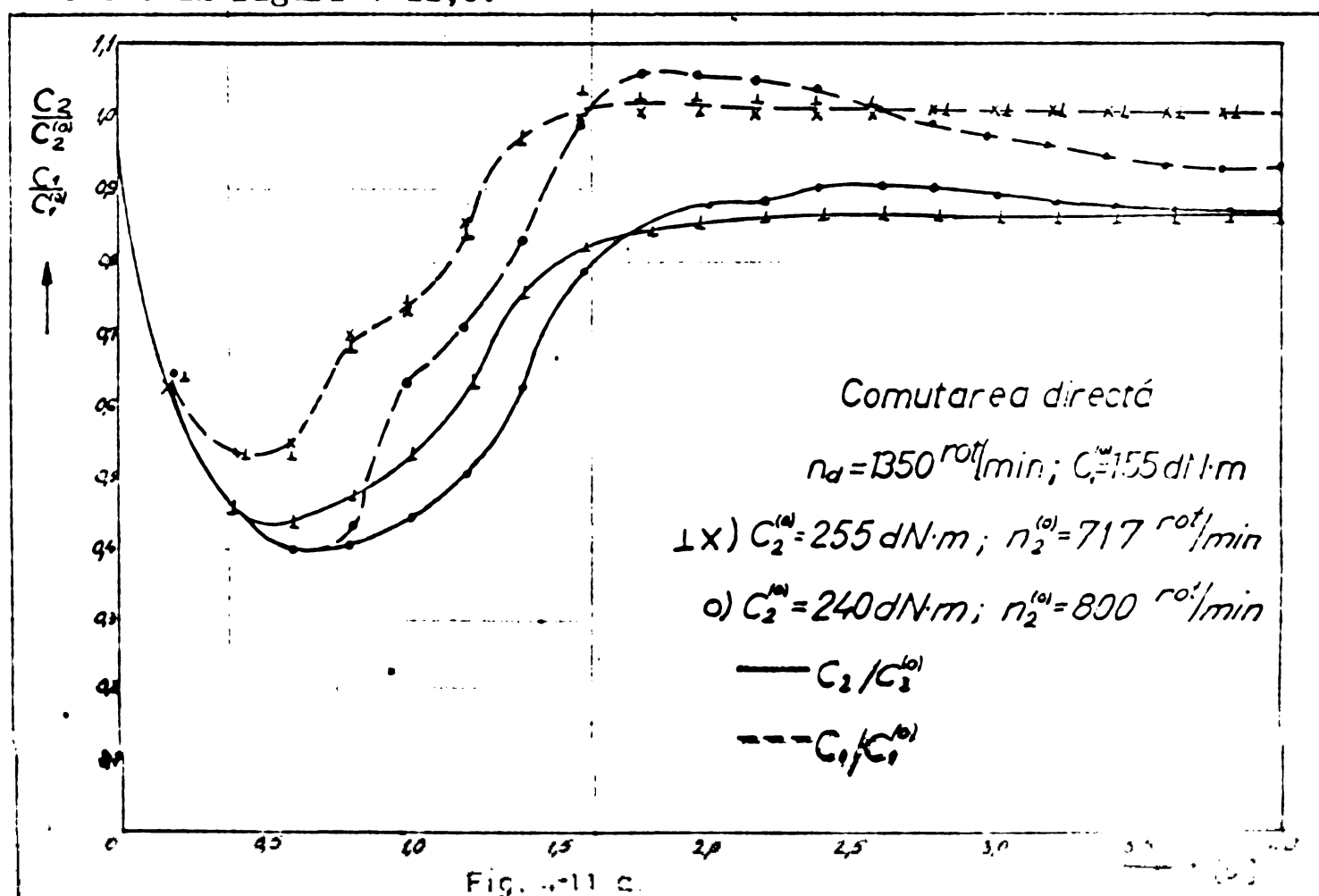
cuplului la arborele de ieșire pînă la valoarea minimă $C_{2\min}$
 $\approx 0,42 C_2^{(0)}$ la toate regimurile de funcționare ale motorului diesel și la diferite turări ale arborelui de ieșire din transmisie.

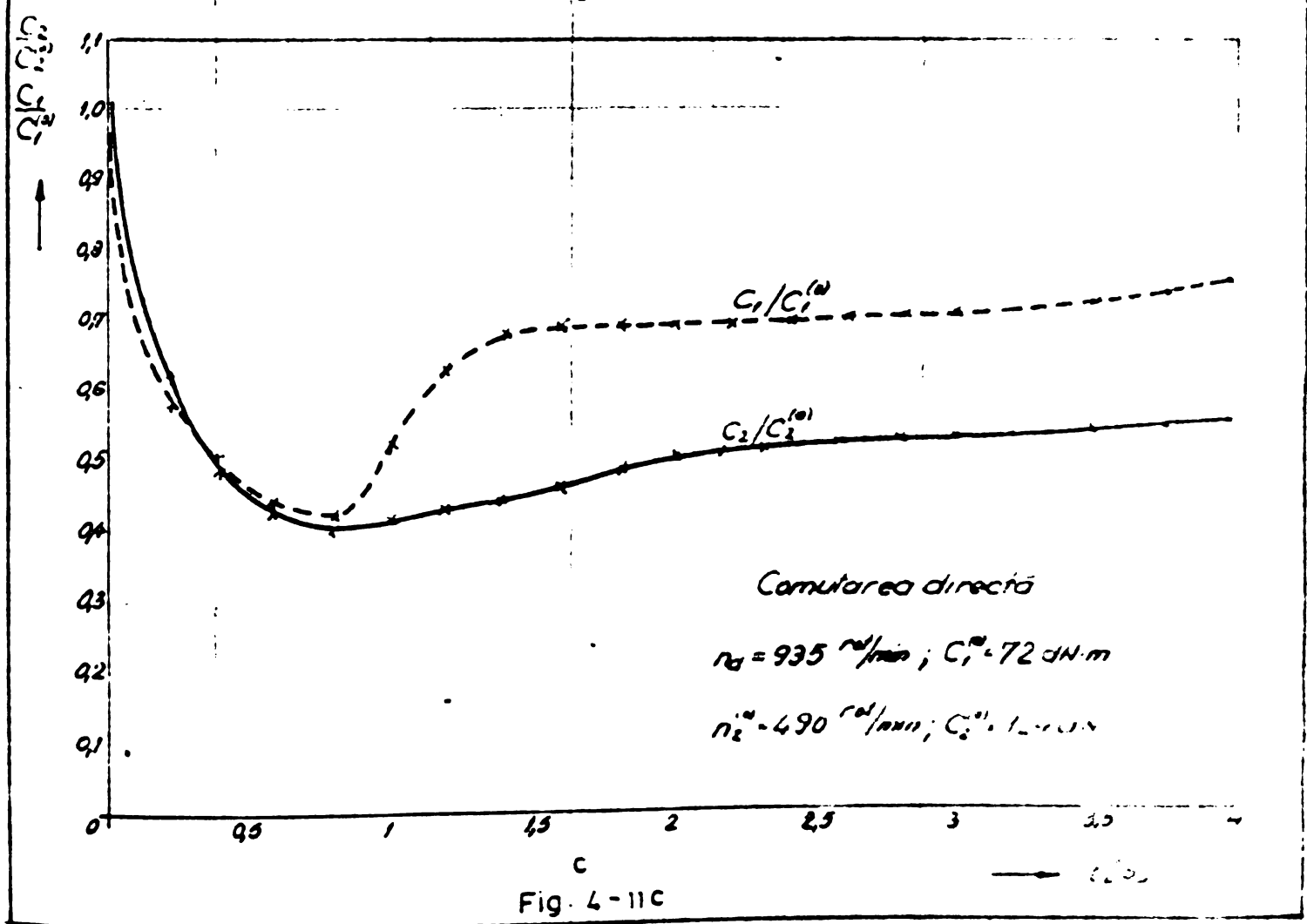
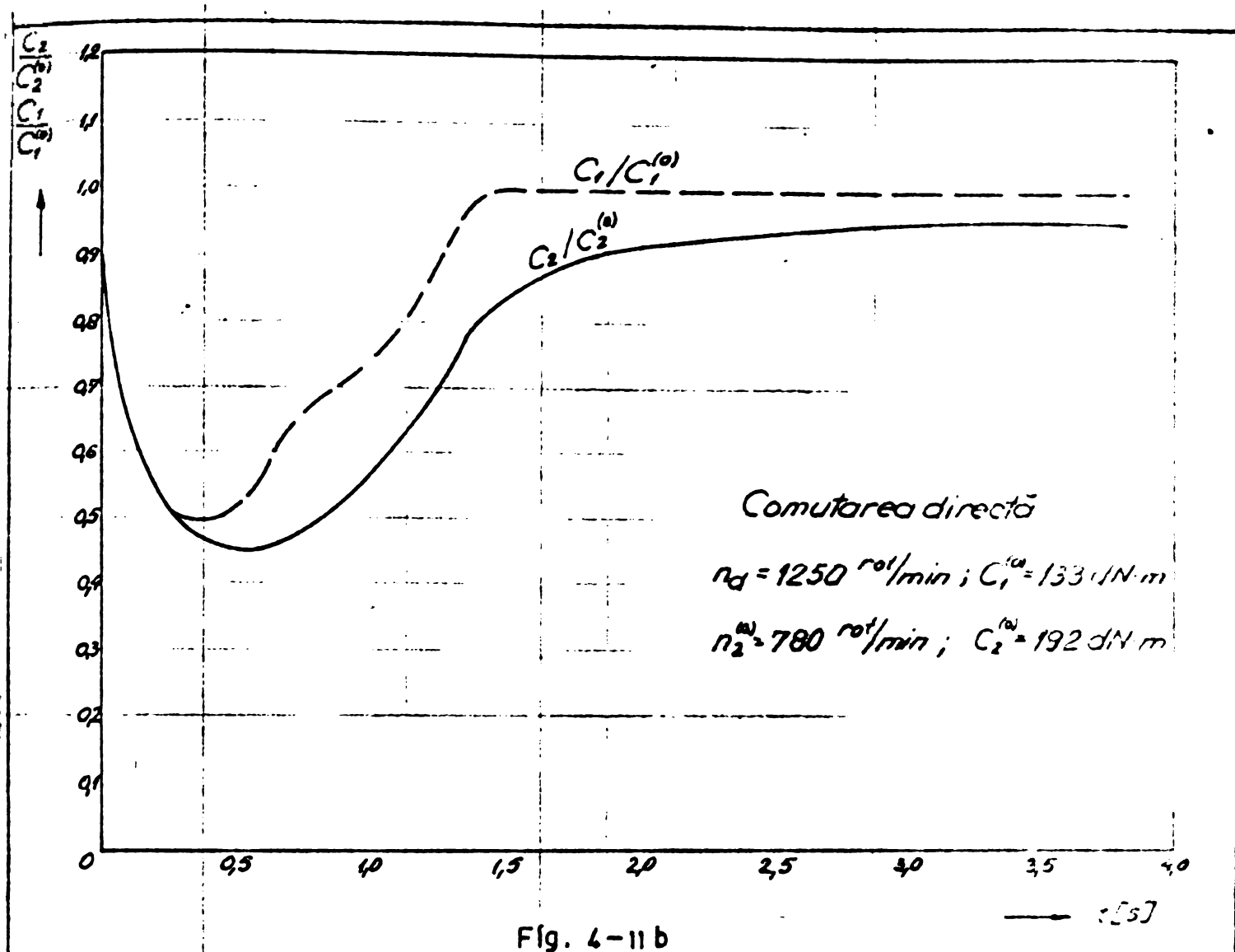
Cuplul la arborele de intrare C_1 se micșorează în timpul comutării pînă la valoarea minimă $C_{1\min} \approx 0,5 C_1^{(0)}$. Valoarea minimă a cuplului se menține aproximativ aceeași la toate regimurile de funcționare a motorului și la diferite turări ale arborelui de ieșire din transmisie.

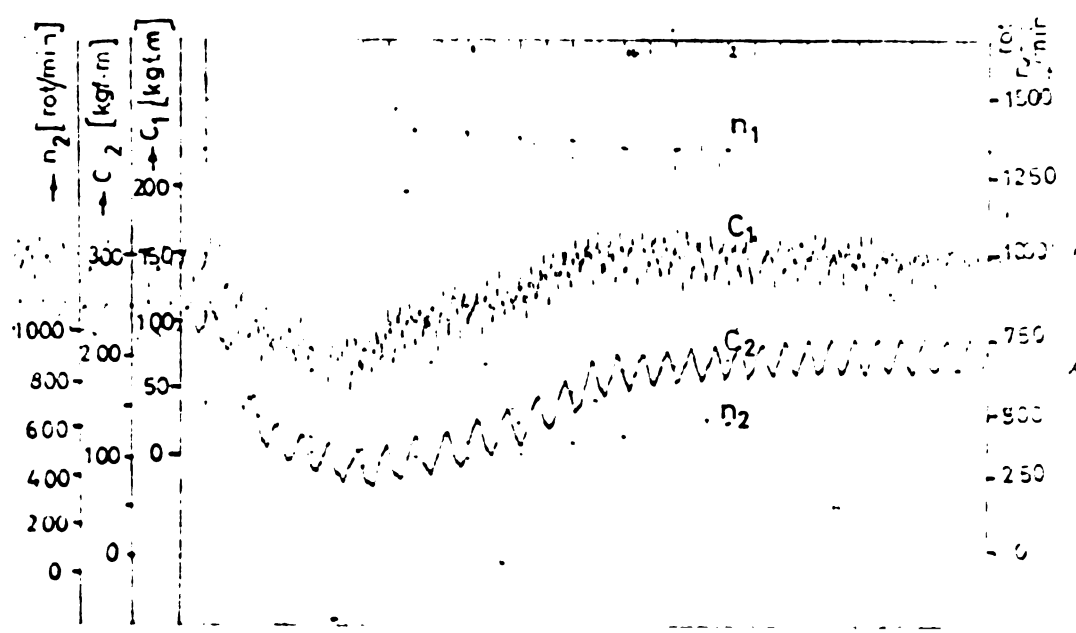
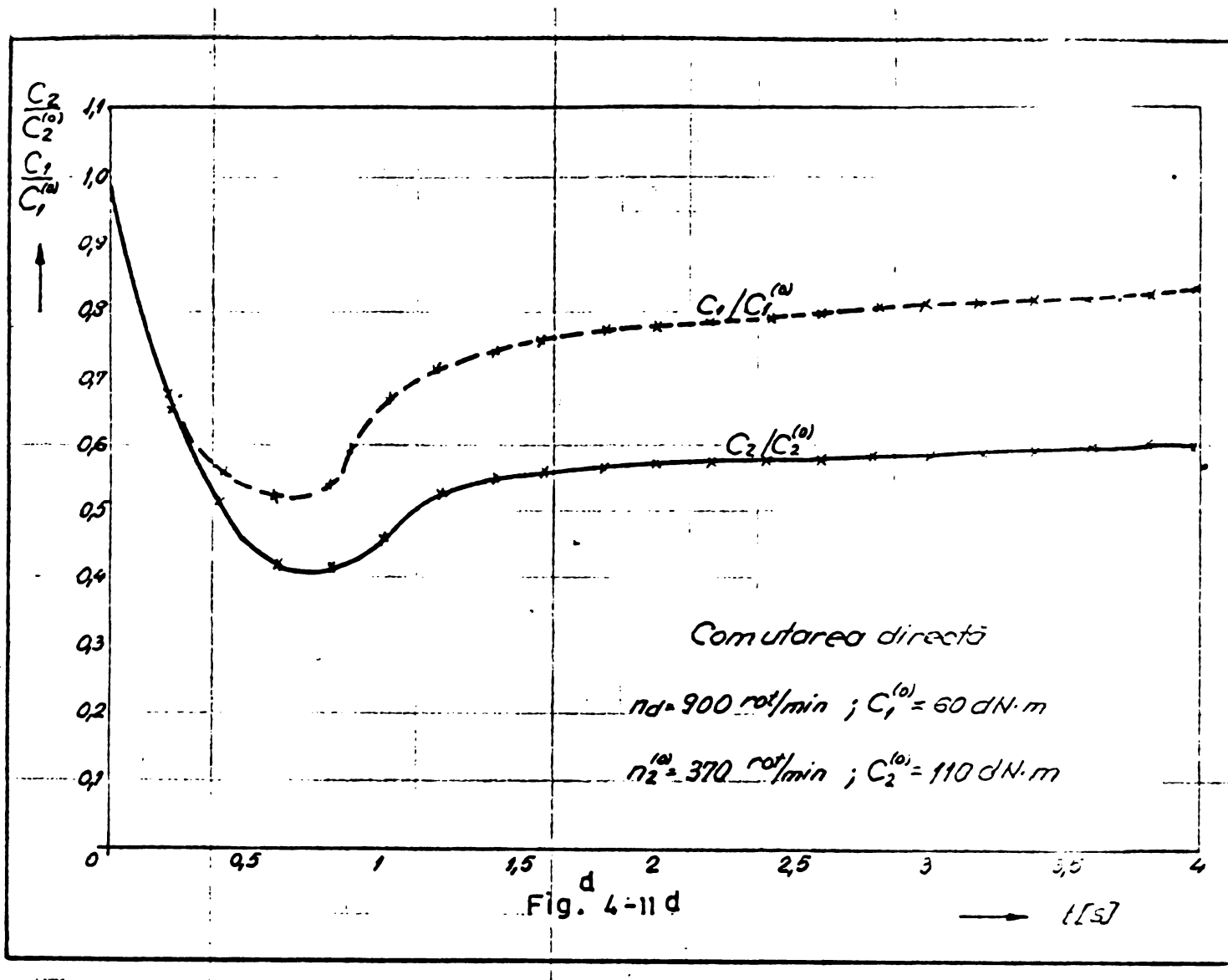
La toate regimurile cercetate valoarea minimă a celor două cupluri are loc la circa 0,7 secunde de la începutul procesului de comutare. Aceasta se explică prin variația cuplului respectiv la golire, care are o scădere bruscă la începutul procesului (fig. 4-5 și 4-6), în timp ce umplerea celuilalt transformator se desfășoară mai lent (fig. 4-7 și 4-8). Spre sfîrșitul perioadei de comutare suprapunerea umplerii și golirii celor două transformatoare este mai judicioasă, suma $(C_{2g} + C_{2n})$ și respectiv $(C_{1g} + C_{1n})$ are valoarea apropiată de valoarea staționară a cuplului C_2 și respectiv C_1 după terminarea procesului de comutare.

Valoarea staționară a cuplului C_2 , după terminarea comutării, la un anumit regim de lucru al motorului diesel, s-a stabilit prin alegerea turării corespunzătoare n_2 .

Un exemplu de oscilogramă ridicată la comutarea directă se arată în figura 4-11, e.







4.1.5. Stabilirea legii de comutare care asigură forță de tracțiune constantă în procesul de comutare.

Ecuatiile de mișcare ale sistemului motor diesel -

- transmisie hidraulică - tren, reducind întregul sistem în un sistem echivalent cu două mase (fig.4-12), sint :

$$\begin{aligned} I_1 \frac{d\omega_1}{dt} + C_1 &= C_d \\ I_2 \frac{d\omega_2}{dt} + C_r &= C_2 \end{aligned} \quad (4.6)$$

în care:

I_1 este momentul de inertie al pompei și al roților dințate de la amplificatorul de turatie redus la arborele de intrare în transmisie;

I_2 - momentul de inertie al turbinei și al maselor în mișcare legate de arborele turbinei, redus la arborele de ieșire din transmisia hidraulică;

C_r - cuplul rezistent, redus la arborele de ieșire din transmisia hidraulică.

La comutarea directă a treptelor de viteze cuplul la arborele de ieșire este dat de relația (4.2), astfel că ecuația a doua a sistemului (4.6), în acest caz se poate scrie sub formă:

$$I_2 \frac{d\omega_2}{dt} + C_r = C_{2gI} + C_{2uII} \quad (4.7)$$

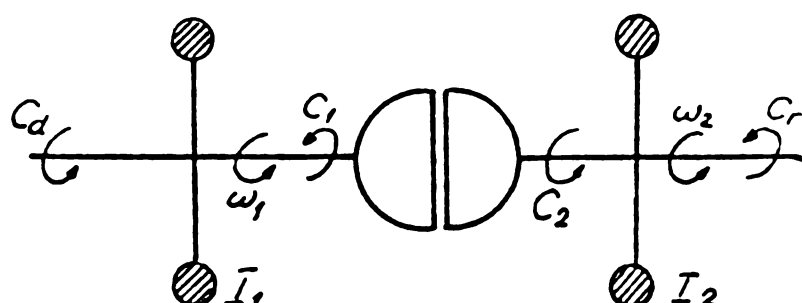


Fig. 4-12

Cuplul transformatorului care se umple (C_{2uII}) depinde de gradul relativ q de umplere cu ulei a profilului circuitului

și de viteza unghiulară a rotorului pompei și a rotorului turbinii, adică:

$$C_{2uII} = f(q, \omega_1, \omega_2)$$

Considerind că la trecerea de pe un transformator pe următorul, viteza trenului se modifică nefinsemnat, în momentul comutării viteza unghiulară ω_2 se poate lua constantă $\omega_2 = \omega_{2gI} = \text{const}$. Această condiție, în anumite regimuri de mișcare a locomotivei, este pe deplin satisfăcută, datorită inertiei mari a trenului.

Viteza de umplere și golire a celor două transformatoare depinde de timpul de deplasare a sertarului sistemului de comandă (care reglează curgerea lichidului din profilul circuitului transformatorului I și trecerea lichidului în profilul circuitului transformatorului II) și de debitul pompei de alimentare.

Un proces de comutare ideal se obține atunci când forța de tractiune rămîne constantă în timpul comutării, ca urmare a suprapunerii raționale a procesului de umplere și golire a celor două transformatoare, deci atunci când:

$$C_2 = C_{2gI} + C_{2uII} = \text{const.} \quad (4.8)$$

In acest caz trebuie ca:

$$C_d = C_1 = C_{lgI} + C_{luII} = \frac{C_{2gI}}{K_I} + \frac{C_{2uII}}{K_{II}}$$

Din sistemul de ecuații (4.6) rezultă, că aceste condiții se indeplinesc numai dacă :

$$\omega_1 = \text{const.} \quad (4.9)$$

In acest caz pentru un anumit regim de funcționare a motorului diesel :

$$C_{2uII} = f(q)$$

Gradul de umplere relativ q depinde de deplasarea x a sertarului, care reglează curgerea lichidului de lucru din profilul circuitului transformatorului I și trecerea lui în profilul circuitului transformatorului II de la pompa de alimentare a transițiiei hidraulice [12] :

$$q = 1 - e^{-\frac{x}{x_0}} \quad (4.10)$$

în care x_0 - constantă care depinde de parametrii constructivi ai sertarului.

Deoarece viteza locomotivei, în timpul procesului de comutare, s-a presupus constantă sau în orice caz se modifică puțin luând valori în vecinătatea vitezei de comutare V_k , turăția n_{2k} se menține și ea aproximativ constantă. La această turăție, cuplul C_{2u} a transformatorului care se umple, devine zero la un grad de umplere relativ q_k ($0 < q_k < 1$) (fig.4-13,a).

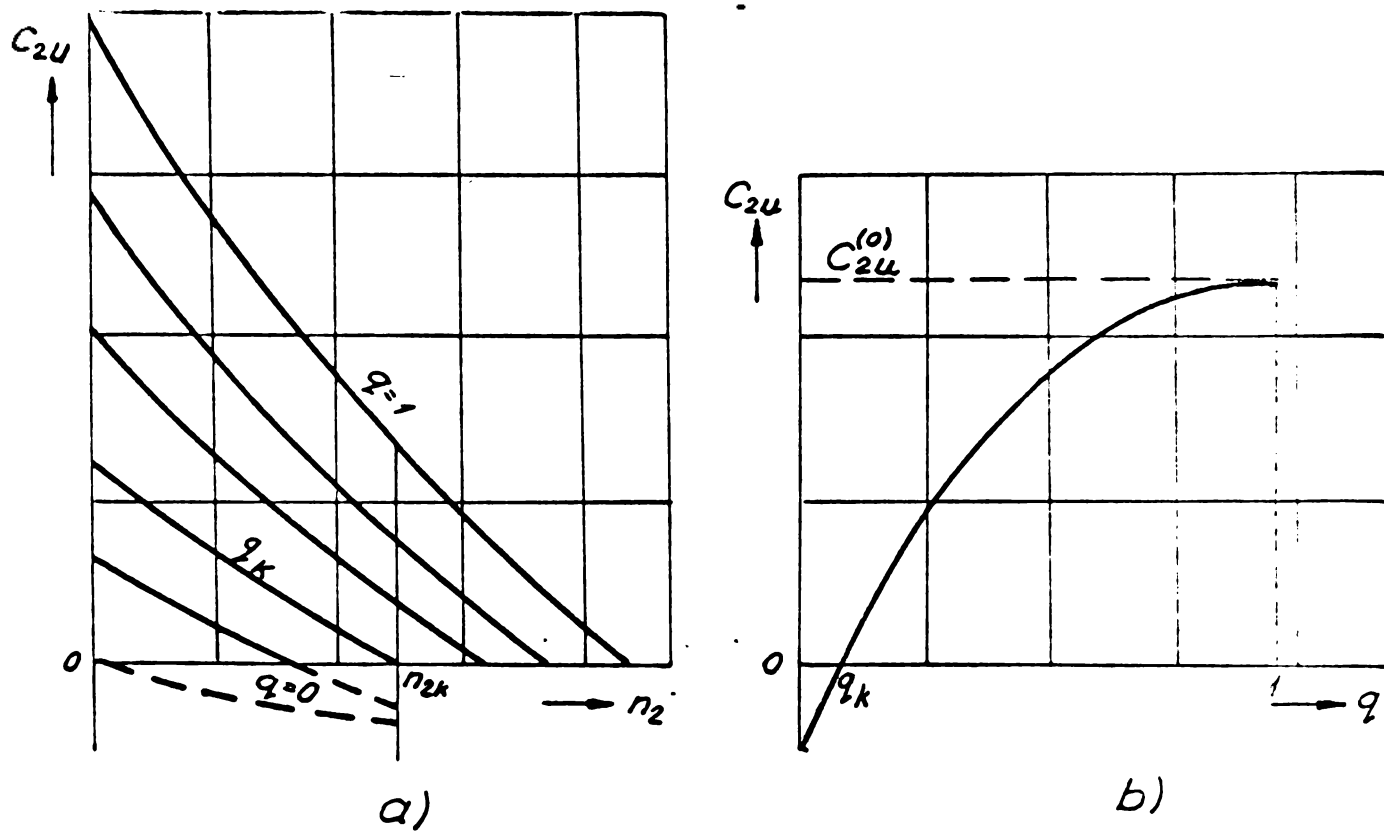


Fig. 4-13

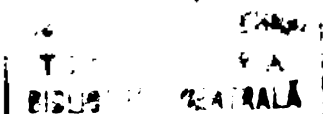
Pentru valori ale gradului relativ de umplere $q \in [0, q_k]$, cuplul C_{2u} a transformatorului care se umple la turăția n_{2k} devine negativ. Acest cuplu, se poate exprima, cu suficientă precizie, pentru scopul urmărit, prin ecuația :

$$C_{2ur} = -(C_{2ur}^{(0)} - b q) \quad (4.11)$$

în care $C_{2ur}^{(0)}$ reprezintă valoarea cuplului C_{ur} la $q = 0$ și $n_2 = n_{2k}$.

La $q = q_k$ cuplul $C_{2ur} = 0$ și $b = \frac{C_{2ur}^{(0)}}{q_k}$.

Inlocuind relațiile (4.5), (4.10) și (4.11) în ecuațiile



(4.6) și luând în considerare condiția (4.9), rezultă :

$$c_d - \frac{c_{2gI}^{(o)}}{K_I} e^{-a_1 t^2 + a_2 t} + \frac{c_{2ur}^{(o)}}{K_{II}} - \frac{b}{K_{II}} (1 - e^{-\frac{x}{x_0}}) = 0$$

Din această ecuație rezultă că la $q \in [0, q_k]$, pentru îndeplinirea condiției $n_1 = \text{const}$, sertarul care asigură golirea și umplerea transformatoarelor trebuie să se deplaceze după legea:

$$x = -x_0 \ln \left[1 - \frac{c_{2ur}^{(o)}}{b} + \frac{K_{II}}{b} \left(\frac{c_{2gI}^{(o)}}{K_I} e^{-a_1 t^2 + a_2 t} - c_d \right) \right] \quad (4.12)$$

La $q \in [q_k, 1]$ cuplul C_{2u} se modifică în funcție de gradul de umplere q , cum rezultă din analiza datelor experimentale, după o lege apropiată de o funcție exponentială [18] :

$$C_{2uII} = C_{2uIII}^{(o)} \left(1 - e^{-\frac{q_k - q}{c}} \right) \quad (4.13)$$

unde c este o constantă care se determină din caracteristicile experimentale.

Inlocuind relațiile (4.5) și (4.13) în ecuațiile (4.6) și luând în considerare condiția (4.9) se obține:

$$c_d - \frac{c_{2gI}^{(o)}}{K_I} e^{-a_1 t^2 + a_2 t} - \frac{c_{2uII}^{(o)}}{K_{II}} \left(1 - e^{-\frac{q_k - q}{c}} \right) = 0$$

de unde:

$$q = q_k - c \ln \left[\frac{K_{II}}{C_{2uIII}^{(o)}} \left(\frac{c_{2gI}^{(o)}}{K_I} e^{-a_1 t^2 + a_2 t} - c_d \right) + 1 \right] \quad (4.14)$$

Eliminând pe q din relațiile (4.10) și (4.14) rezultă legea de deplasare a sertarului de comandă pentru $q \in [q_k, 1]$ și $n_1 = \text{const.}$:

$$x = -x_0 \ln \left[1 - q_k + c \ln \left[\frac{K_{II}}{C_{2uIII}^{(o)}} \left(\frac{c_{2gI}^{(o)}}{K_I} e^{-a_1 t^2 + a_2 t} - c_d \right) + 1 \right] \right] \quad (4.15)$$

Constantele a_1, a_2, c și x_0 depind numai de parametrii constructivi ai transmisiei hidraulice și ai sistemului de comandă a comutării.

Parametrii K_I și K_{II} au valori constante la $n_{2k} = \text{const.}$ și la un anumit regim de funcționare a motorului diesel.

Cuplul la ieșirea din transmisia hidraulică C_{2u} în timpul umplerii cu ulei a transformatorului depinde, așa cum rezultă din caracteristicile ridicate experimental (fig.4-6 și 4-7), de turăriile n_1 și n_2 . De asemenea cuplul motorului diesel C_d , cuplul rezistent C_{2ur} și q_k depind de aceste turări, care se modifică și ele la schimbarea regimului de funcționare a motorului diesel. De aceea, pentru satisfacerea condiției (4.9) la fiecare regim de funcționare a motorului diesel, trebuie ca deplasarea x a sertarului de comandă să se modifice în timpul procesului de comutare după diferite legi date de ecuațiile (4.12) și (4.15). Deci, pentru realizarea unui proces de comutare în care forța de tractiune să rămînă constantă, trebuie ca fiecărui regim de funcționare a motorului diesel să-i corespundă o anumită lege de deplasare a sertarului de comandă. Realizarea practică a acestei condiții este foarte dificilă; sistemul de comandă necesar ar fi prea complicat.

Chiar și la un singur regim de funcționare a motorului satisfacerea condiției (4.9) este dificilă deoarece pentru valori ale gradului relativ de umplere $q \in [0, q_k]$ sertarul trebuie să se deplaseze cupă legea dată de ecuația (4.12) iar pentru $q \in [q_k, 1]$ după legea dată de ecuația (4.15).

Deplasarea sertarului după legile (4.12) și (4.15) reprezintă numai o condiție necesară dar nu și suficientă pentru realizarea unei comutări fără variația forței de tractiune, deoarece mai trebuie îndeplinită și condiția (3.1). În schimb dacă schimbarea treptelor de viteze nu se face la parametrii rezultați din condiția (3.1) ci la parametrii rezultați din condiția (3.33), atunci, așa cum a rezultat în cap.3, menținerea unei forțe de tractiune constante la comutare este practic imposibilă. De aceea, în cele ce urmează se va lua în considerare căderea forței de tractiune care apare ca urmare a procesului de umplere și golire și se va cerceta influența ei asupra vitezei de mers și asupra caracteristicilor de comutare.

4.2. Variatia vitezei de mers în procesul de comutare.

4.2.1. Determinarea căderii de viteză în funcție de regimul de circulație.

In paragraful 2.2.4 s-a arătat că în anumite condiții

de mișcare a locomotivei și pentru diferite valori ale parametrilor transmisiei și sistemului de comandă a transmisiei există pericolul apariției unui regim instabil de funcționare care se manifestă prin imposibilitatea trecerii pe treapta superioară de viteze.

Condițiile de mișcare ale locomotivei sunt determinate, pentru anumite valori ale parametrilor circuitului de forță, de acțiunile externe, adică de regimurile de funcționare a motorului diesel și de rezistențele de mers a trenului.

Factorii care influențează domeniul de stabilitate sunt, aşa dar, dată atât de acțiunile externe cât și de parametrii transmisiei și ai sistemului de comandă a comutării treptelor de viteze și anume:

- 1). Din partea motorului diesel:
 - regimul de funcționare.
- 2). Din partea trenului și a căii:
 - tonajul trenului $G_L + G_V = G_t$;
 - rezistența specifică de mers a locomotivei r_L ;
 - rezistența specifică de mers a vagonelor r_V ;
 - rezistența și a declivității.
- 3). Din partea transmisiei:
 - tipul transmisiei (transmisie hidraulică cu trepte mecanice de viteze, cu trapeze hidraulice, formate numai din transformatoare sau cu trepte hidraulice formate din transformatoare și cuplaje hidraulice);
 - timpul de umplere și de golire a transmisiei t_k .
- 4). Din partea sistemului de comandă a comutării:
 - structura internă a sistemului, concretizată în cazul de față, prin căderea forței de tracțiune în timpul procesului de comutare. Căderea relativă a forței de tracțiune în timpul procesului de comutare se notează cu $\Delta F_{ok} = F_{ok}/F_{oI}$.

Anumite combinații ale valorilor acestor parametri determină condițiile de mișcare care pot duce, în timpul comutării pe treapta superioară de viteze, la o cădere ΔV_k a vitezelor de mers:

$$V_k = f(r_t, i, t_k, \Delta F_{ok}) \quad (4.16)$$

Această relație rezultă din ecuația de mișcare a trenului pe profilul de cale respectiv :

$$\frac{dv}{dt} = [f_{ok} - (r_t + i)]\varphi \quad (4.17)$$

unde φ este un coeficient care ține seama de inerția maselor în mișcare ale trenului și de unitățile de măsură [68].

Forța specifică de tractiune la comutare f_{ok} este:

$$f_{ok} = \frac{F_{ok}}{G_L + G_v} = \Delta F_{ok} \frac{F_{oI}}{G_L + G_v} \quad (4.18)$$

Rezistența specifică r_t la circulația trenului în aliniament și palier este:

$$r_t = \frac{R_t}{G_L + G_v} = \frac{r_L G_L + r_v G_v}{G_L + G_v} \quad (4.19)$$

Rezistența specifică la mers în aliniament și palier a locomotivelor CFR diesel hidraulice este dată de relația [7], [35], [39]:

$$r_L = a_1 + a_2 \left(\frac{v + a_3}{10} \right)^2 \quad [\text{kgf/t}]$$

în care:

$a_1 = 3,5$; $a_2 = 0,107$ și $a_3 = 12$ pentru locomotiva CFR 0-6 DHA

$a_1 = 3$; $a_2 = 0,15$ și $a_3 = 12$ pentru locomotiva CFR 0-6 DHB

$a_1 = 3,7$; $a_2 = 0,12$ și $a_3 = 0$ pentru locomotiva CFR 0-6 DHC

Rezistența specifică la mers în aliniament și palier a vagoanelor din parc CFR este dată de relația [7], [36]:

$$r_v = 2 + \frac{v^2}{c} \quad [\text{kgf/t}]$$

în care c este un coeficient determinat experimental, și căruia valoare depinde de tipul vagoanelor care compun trenul.

In aceste relații V reprezintă viteza de mers a trenului, în km/h.

In perioada de comutare, variația vitezei de mers este relativ mică și ca atare, pe intervalul de viteze (v_2 , v_1)

din vecinătatea vitezei de comutare, rezistențele specifice r_v și r_L pot fi considerate cu suficientă exactitate ca funcții liniare de viteza de mers. Ca urmare a spațiului mic parcurs în timpul de comutare, se consideră declivitatea $i = \text{const.}$

Cu aconte precizări, rezistențele specifice a vagonelor și a locomotivei, se pot exprima printr-o funcție liniară de forma:

$$r_v = a_v + b_v V \quad \text{pentru } V \in [v_1, v_2] \quad (4.20)$$

și

$$r_L = a_L + b_L V \quad \text{pentru } V \in [v_1, v_2] \quad (4.21)$$

în care:

$$a_v = 2 - \frac{v_1 v_2}{c} \quad \text{și} \quad b_v = \frac{v_1 + v_2}{c}$$

$$a_L = a_1 - \frac{a_2^2}{100} (v_1 v_2 - a_3^2) \quad \text{și}$$

$$b_L = \frac{a_2}{100} (v_1 + v_2 + 2 a_3)$$

Cu relațiile (4.20) și (4.21), rezistența specifică r_t dată de relația (4.19) devine:

$$r_t = \frac{a_v G_v + a_L G_L}{G_v + G_L} + \frac{b_v G_v + b_L G_L}{G_v + G_L} V \quad (4.22)$$

Luând în considerare relațiile (4.18) și (4.22), ecuația (4.17) devine :

$$\frac{dV}{dt} = \frac{\varphi}{G_v + G_L} \left[\Delta F_{OI} \cdot F_{OI} - (a_v G_v + a_L G_L) - (b_v G_v + b_L G_L) V - i \varphi \right] \quad (\dots)$$

După integrare, luând în considerare condițiile limitei :

$$V = V_d ; \quad t = 0$$

$$V = V_i ; \quad t = t_k$$

rezultă :

$$v_i = v_d e^{-\frac{b_v G_v + b_L G_L}{G_v + G_L} \varphi t_k} + \left[1 - e^{-\frac{b_v G_v + b_L G_L}{G_v + G_L} \varphi t_k} \right] \left[\frac{F_{OI} \cdot \Delta F_{OK}}{b_v G_v + b_L G_L} \right]$$

$$- \frac{a_v G_v + a_L G_L + i(G_v + G_L)}{b_v G_v + b_L G_L}$$
(4.24)

Notind căderea de viteză care poate să apară în timpul comutării cu $\Delta V_k = v_d - v_i$, din relația (4.24) rezultă:

$$\Delta V_k = \left[1 - e^{-\frac{b_v G_v + b_L G_L}{G_v + G_L} \varphi t_k} \right] \left[v_d - \frac{F_{OI} \cdot \Delta F_{OK}}{b_v G_v + b_L G_L} + \right.$$

$$\left. + \frac{a_v G_v + a_L G_L + i(G_v + G_L)}{b_v G_v + b_L G_L} \right]$$
(4.25)

sau:

$$\Delta V_k = f_1(t_k, G_v) \cdot f_2(\Delta F_{OK}, G_v, i)$$

în care:

$$f_1(t_k, G_v) = 1 - e^{-\frac{b_v G_v + b_L G_L}{G_v + G_L} \varphi t_k}$$

$$f_2(\Delta F_{OK}, G_v, i) = v_d - \frac{F_{OI} \cdot \Delta F_{OK} - (a_v G_v + a_L G_L)}{b_v G_v + b_L G_L} +$$

$$+ \frac{G_v + G_L}{b_v G_v + b_L G_L}$$
(4.26)

4.2.2. Determinarea căderii de viteză în funcție de parametrii sistemului automat de comutare.

Determinarea precisă a condițiilor de stabilitate a procesului de comutare se poate face analitic luând în considerare ecuațiile de mișcare ale elementelor sistemului de comandă automată a comutării și schema bloc a lui.

Sistemele de comandă automată a comutării sunt sisteme neliniare datorită rolului lor de a comanda o transmisie hidraulică cu trepte de viteze.

Elementul care introduce neliniaritatea este releul care conectează și deconectează elementul aflat după el. În acest caz, caracteristica de releu va fi asimetrică.

Regimul de autooscilație la comutarea treptelor de viteze apare la diferite valori ale parametrilor sistemului și la anumite acțiuni exterioare. Acțiunea exterioară (perturbație) este rezistență de mers a trenului. Acțiunea de comandă a sistemului este îndreptată, în cele din urmă, asupra variației mărimilor de reglaj, funcție de viteza de mișcare a trenului, după programul dat de comutare în conformitate cu regimul de funcționare a motorului diesel și cu condițiile variabile de mișcare.

Ecuația de mișcare a trenului.

Ecuația de mișcare a trenului este:

$$\frac{dv}{dt} = \varphi \frac{F_o - R}{G_L - G_v} \quad (4.27)$$

Pentru un tren acțiunea externă (perturbație) o reprezintă forța de tracțiune a locomotivei și rezistența de mers R. Trenul intră în sistemul de comandă ca obiect de reglare, a cărui mărime de ieșire – viteza V – este mărimea de intrare principală în sistem.

Forța de tracțiune la obadă, în cazul locomotivelor cu transmisie hidraulică, este :

$$F_o = \frac{\text{const. } C_o n_o}{v} = f(C_o v) \quad (4.28)$$

unde C_o și n_o reprezintă cuplul și respectiv turatarea la obadă.

Utilizând metoda cunoscută de liniarizare (funcțiile respective fiind strict monotone) ecuația de mișcare a trenului se poate scrie sub forma:

$$(T_v p + 1) \cdot \bar{v} = k_v \bar{C}_o ; \quad (p = \frac{d}{dt}) \quad (4.29)$$

în care:

$$\bar{v} = \frac{\Delta v}{v^{(0)}} ; \quad \bar{C}_o = \frac{\Delta C_o}{C_o^{(0)}} ; \quad T_v = \frac{G_L + G_v}{(\frac{\partial R}{\partial v} - \frac{\partial F_o}{\partial v}) \varphi} ;$$

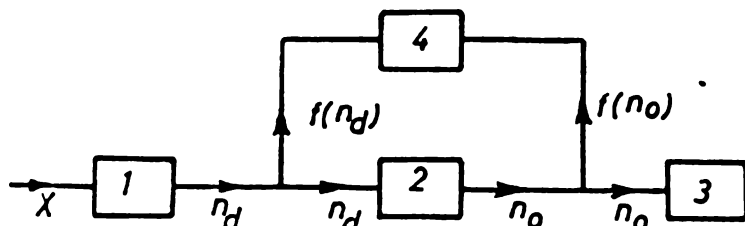
$$k_v = \frac{C_0^{(o)}}{V^{(o)}} \cdot \frac{\frac{\partial F_o}{\partial C_o}}{\frac{\partial R}{\partial V} - \frac{\partial F_o}{\partial V}}$$

Valoarea nominală a mărimilor care se stabilizează după comutare s-a notat cu indicele (o) .

Durata de restabilire a unei noi vitezze uniforme la variația acțiunii externe asupra trenului se caracterizează prin constanta de timp a trenului T_v .

Ecuția de mișcare a transmisiei hidraulice.

Pentru realizarea caracteristicilor de comutare, adică pentru obținerea programului de comutare stabilit $n_d = f(V)$ sistemul automat de comutare trebuie să fie comandat, așa cum s-a arătat, de două mărimi și anume de turăția arborelui vectorului diesel n_d și de turăția osiei n_o (sau a arborelui de ieșire din transmisie hidraulică $n_2 = \text{const. } n_o$). Turăția motorului diesel se poate transmite fie direct, fie printr-un element intermediar, sub forma unei funcții $f(n_d)$. Schema structurală a sistemului de comutare este dată în figura 4-14.



1-motor diesel; 2-transmisie hidraulică;
3-tren; 4-sistemul automat de comutare.

Fig. 4-14

Schema bloc a unei transmisii, descompusă în elementele sale componente este arătată în figura 4-15, unde s-a reprezentat un singur transformator.

Ca mărime de intrare se consideră deplasarea x a sertarului distribuitorului principal, iar ca mărime de ieșire - viteză de mișcare V a trenului. Se consideră că acțiunea motorului asupra transmisiei și acțiunea exteroară asupra trenului sint constante în timpul procesului de comutare, adică:

Transmisia hidraulică reprezintă un agregat complex care preia și transmite un număr mare de acțiuni. Ca element al sistemului de comandă, poate fi descompusă într-un număr de elemente separate legate între ele prin legături.

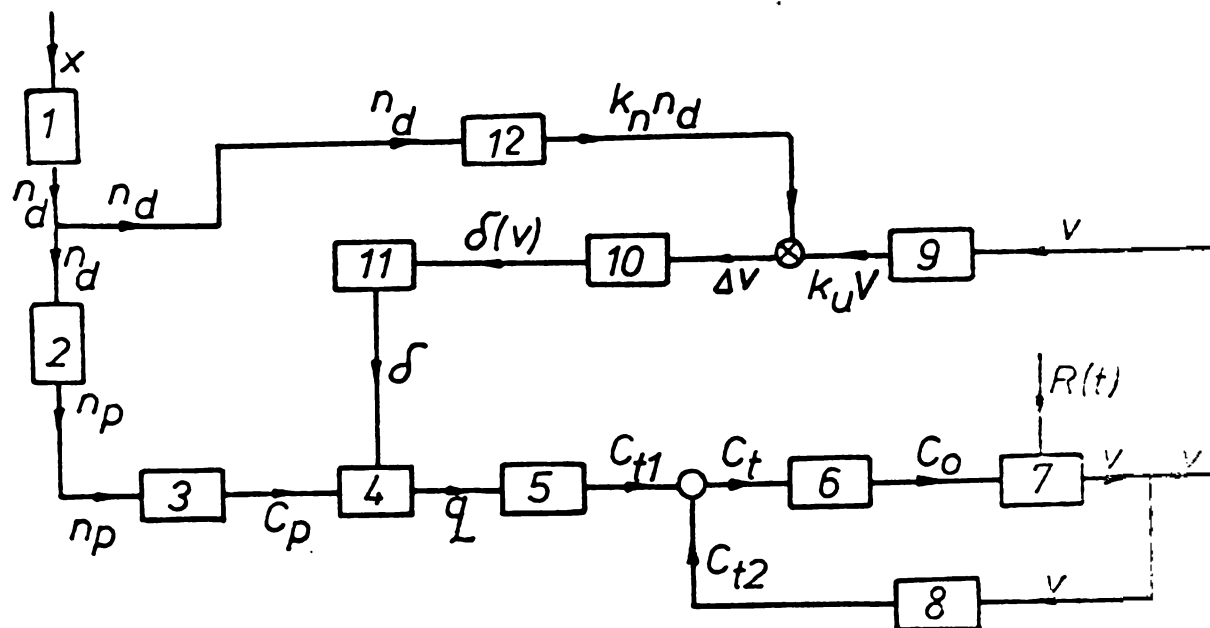


Fig. 4-15.

- 1 - motorul diesel; 2 - angrenajul multiplicator;
 3 - rotorul pompei; 4 - profilul circuitului; 5 - rotorul
 turbinei; 6 - transmisia mecanică (i_m) ; 7 - trenul;
 8 - legătura inversă; 9 - tahogeneratorul pentru măsurarea
 vitezi V ; 10 - releul; 11 - supapa electrohidraulică;
 12 - tahogeneratorul pentru măsurarea turăției n_d .

$$C_p = \text{const.} \quad \text{și} \quad f(t) = R(t) = \text{const.}$$

Profilul circuitului poate fi descris prin ecuație.

$$t_k \frac{d\bar{q}}{dt} = \bar{x} \quad (4-1)$$

în care:

t_k este constanta de timp a transformatorului hidraulic;

$\frac{d\bar{q}}{dt}$ - viteza de variație a umplerii cu lichid a profilului circuitului;

$\bar{x} = \frac{\Delta x}{x_0}$ - deplasarea relativă a pistonului distribuitorului principal.

Dacă se notează $k_p = \frac{1}{t_k}$ atunci ecuația (4.30) se poate scrie:

$$p \bar{q} = k_p \bar{x} \quad (4.31)$$

Constanta t_k caracterizează inertția transformatorului și influențează asupra alegerii parametrilor unor elemente ale sistemului și deci asupra stabilității lui.

Ecuția rotorului turbinei se stăblește în funcție de umplerea relativă \bar{q} și de cuplul relativ la arborele turbinei \bar{C}_{tl} determinat de gradul de umplere \bar{q} :

$$\bar{C}_{tl} = k_{tl} \bar{q} \quad (4.32)$$

Coeficientul k_{tl} se stăblește din caracteristicile experimentale $C_t = C_t(q)$ la $n_t = \text{const.}$

Cuplul la arborele turbinei depinde și de turăția n_t . Această dependență se ia în considerare prin introducerea căii de reacție de la tren la arborele turbinei.

Ecuția de mișcare a căii de reacție este:

$$\bar{C}_{t2} = k_{t2} \bar{V} \quad (4.33)$$

unde k_{t2} este coeficient care ia în considerare variația cuplului relativ al turbinei (\bar{C}_{t2}) în raport cu viteza \bar{V} și se determină din caracteristicile $C_t = C_t(n_t)$ la $q = \text{const.}$

Elementul de comparație este arborele turbinei a cărui ecuație este:

$$\bar{C}_t = \bar{C}_{tl} + \bar{C}_{t2} = k_{tl} \cdot \bar{q} + k_{t2} \cdot \bar{V} \quad (4.34)$$

în care $\bar{C}_t = \frac{\Delta C_t}{C_0^{(o)}}$ - cuplul relativ la arborele turbinei.

Transmisia mecanică păsată de la ieșirea din transmisie hidraulică pînă la obadă, neglijind pierderile, avem descrierea de ecuația:

$$\bar{C}_o = i_m \cdot \bar{C}_t \quad (4.35)$$

în care i_m este raportul de transmitere de la arborele transmisiiei hidraulice pînă la obadă.

Din ecuațiile (4.31), (4.34) și (4.35) rezultă ecuația de mișcare a transmisiiei hidraulice:

$$(\bar{C}_o - i_m k_{t2} \bar{V})_p = i_m k_{tl} k_p \bar{x} \quad (4.36)$$

Cuplul C_o este însă mărimea de intrare pentru tren. Substituind expresia cuplului C_o din ecuația (4.35) în ecuația de mișcare a trenului (4.29) rezultă ecuația de mișcare a obiectului reglat:

$$(T_v p + l - i_m k_v k_{t2})p \bar{V} = k_t \bar{x} \quad (4.37)$$

în care:

$$k_t = i_m k_v k_{tl} k_p$$

Ecuția de mișcare a traductorului.

În sistemul de comandă automată a comutării de pe locomotivele diesel-hidraulice ca traductoare se utilizează două tahogeneratoare a căror turăție este proporțională cu mărimea reglată (viteza V) respectiv cu turăția motorului diesel n_d .

Ecuția de mișcare a traductorului vitezei de mișcare este:

$$\bar{U}_{TG} = k_u \bar{V} \quad (4.38)$$

unde k_u este coeficientul de proporționalitate care depinde de raportul de transmitere dintre turăția osiei și a tahogeneratorului și de coeficientul de proporționalitate dintre tensiunea și turăția tahogeneratorului.

Ecuția de mișcare a elementului neliniar.

În sistemele de comandă automată a comutării, elementul neliniar este un releu. Mărimea de intrare a releeului este tensiunea tahogeneratorului \bar{U}_{TG} , la un regim constant de funcționare a motorului (în cazul variației turăției motorului diesel mărimea de intrare este raportul tensiunilor celor două tahogeneratoruri). Mărimea de ieșire, adică mărimea de execuție, este tensiunea sursei \bar{U} , care se conectează în circuitul infășurării supapei el-tropneumatice. Caracteristica releeului este arătată în figura 4-16,a.

Mărimea de intrare \bar{U}_{TG} este proporțională cu viteza \bar{V} , de aceea ca mărime de intrare se poate considera viteza \bar{V} . Iaci comutarea de la o treaptă inferioară la una superioară (comutarea directă) are loc la atingerea vitezei \bar{V}_d care corespunde mărimii de intrare \bar{U}_{1TG} , iar comutarea inversă are loc în momentul cînd mărimea de intrare reducindu-se, atinge valoarea \bar{U}_{2TG} . Aici S_k este coeficientul de revenire al releeului $0 < S_k < 1$.

De aceea caracteristica releului se poate reprezenta în funcție de viteza de mișcare \bar{V} (fig.4-16,a).

La variația continuă în timp a mărimei de intrare \bar{V} (fig.4-16,b) mărimea de ieșire $\delta(\bar{V})$ se schimbă în timp în formă de salturi de la 0 la valoarea maximă $k_u S_k$, sau de la $k_u S_k$ pînă la zero la deconectarea releului, adică la comutarea inversă (fig.4-16,c).

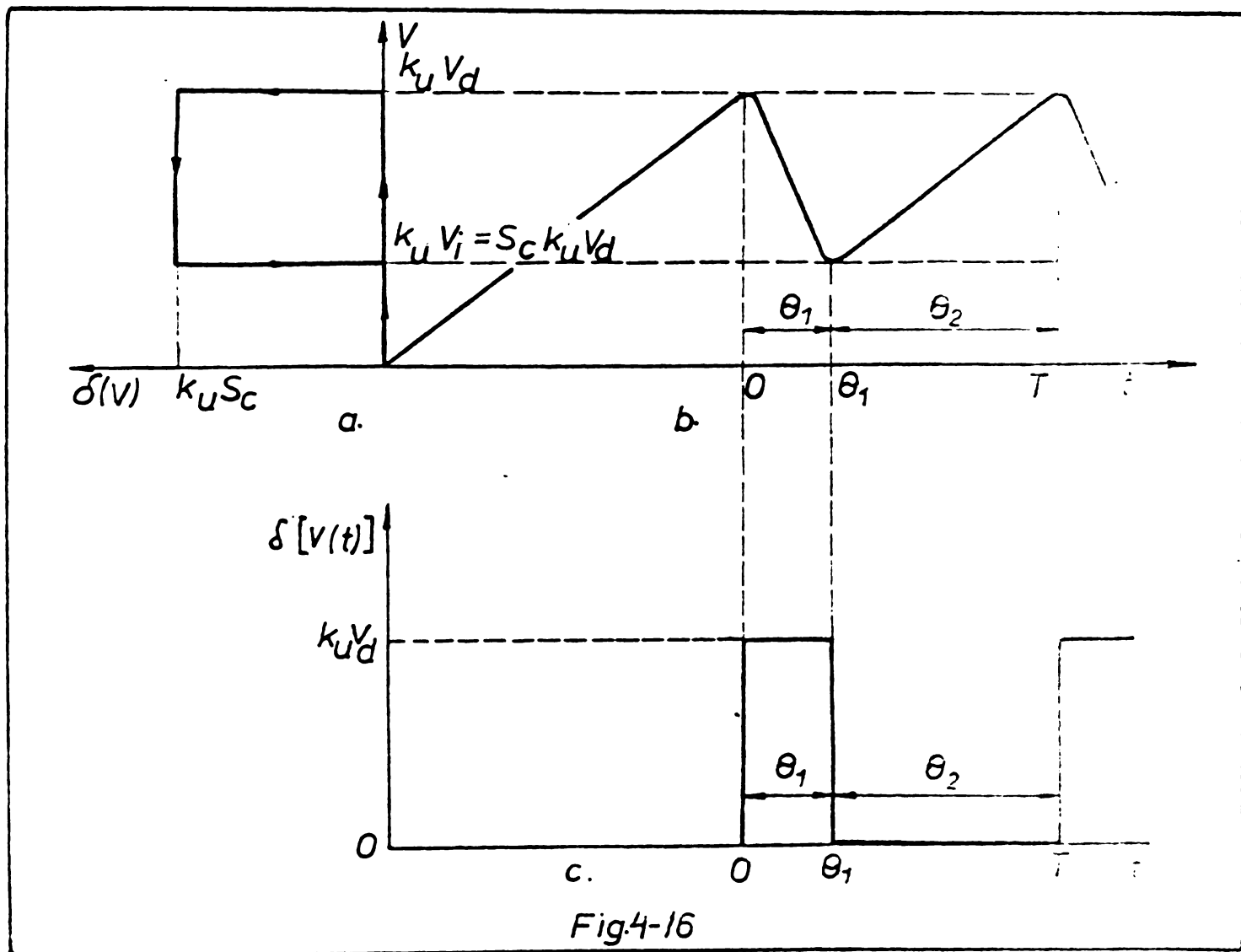


Fig.4-16

La anumite corelații între acțiunile externe ... partea căii și a motorului diesel, precum și la unele valori ale lui S_k , în sistem apare un regim de autooscilație care împiedică conectarea treptei superioare de viteze pînă cînd nu se realizează corelația între acțiunile externe.

Acest regim de autooscilație este determinat, de o anumită dependență între coeficienții ecuației sistemului ... coeficientul de comutare, dependență care se determină în cînd urmează:

Se consideră ca originea timpului $t = 0$, momentul în care începe comutarea directă, adică momentul cind mărimea de intrare $\bar{V} = \bar{V}_d$.

Regimul de autooscilație se studiază pe o perioadă $T = \theta_1 + \theta_2$ (fig. 4-16,c).

Ecuatia elementului neliniar $\delta[V(t)]$ poate fi scrisă sub forma :

$$\delta(\bar{V}) = \begin{cases} k_u s_k ; & \frac{d\bar{V}}{dt} < 0 ; \quad t \in (0, \theta_1) \\ 0 ; & \frac{d\bar{V}}{dt} > 0 ; \quad t \in (\theta_1, T) \end{cases} \quad (4.39)$$

Cunoscind elementele de amplificare montate după releu, ca elemente fără inerție, se poate considera că mișcarea acestor elemente este determinată de caracterul mișcării releului, adică surtarul distribuitorului repetă mișcările releului fără întâzire în timp. În felul acesta mișcarea sistemului de comandă automată a comutării este descrisă în întregime de ecuația părții liniare (4.37) și a elementului neliniar (4.39).

În intervalul $t \in (0, \theta_1)$ ecuația de mișcare a sistemului este:

$$T_v \frac{d^2 \bar{V}}{dt^2} + (1 - i_m k_v k_{t2}) \frac{d\bar{V}}{dt} = k_t k_u s_k \quad (4.40)$$

Dacă se notează:

$$\frac{1 - i_m k_v k_{t2}}{T_v} = \alpha ,$$

$$\frac{k_t k_u s_k}{T_v} = \beta$$

soluția ecuației (4.40) este :

$$\bar{V}_1 = C_1 + C_2 e^{-\alpha t} + \frac{\beta}{\alpha} \cdot t$$

Din condițiile limită $\bar{V}(0) = k_u \bar{V}_d$ și $\bar{V}(\theta_1) = k_u \bar{V}_d$ rezultă :

$$C_1 = \frac{k_u \bar{V}_d (s_k - e^{-\alpha \theta_1}) - \frac{\beta}{\alpha} \theta_1}{1 - e^{-\alpha \theta_1}}$$

$$c_2 = \frac{k_u \bar{v}_d (1 - s_k) + \frac{\beta}{\alpha} \theta_1}{1 - e^{-\alpha \theta_1}}$$

Soluția ecuației în intervalul $t \in (0, \theta_1)$ este :

$$\bar{v}_1 = \frac{k_u \bar{v}_d (s_k - e^{-\alpha \theta_1}) - \frac{\beta}{\alpha} \theta_1}{1 - e^{-\alpha \theta_1}} + \frac{k_u \bar{v}_d (1 - s_k) + \frac{\beta}{\alpha} \theta_1}{1 - e^{-\alpha \theta_1}} \cdot e^{-\alpha t} + \frac{\beta}{\alpha} \cdot t \quad (4.41)$$

În intervalul $t \in (\theta_1, T)$, ecuația de mișcare a sistemului este :

$$\frac{d^2 \bar{v}}{dt^2} + \alpha \frac{d \bar{v}}{dt} = 0$$

a cărei soluție este :

$$\bar{v}_2 = c'_1 + c'_2 \cdot e^{-\alpha t}$$

Constantele c'_1 și c'_2 se determină din condițiile limită :

$$\bar{v}(\theta_1) = k_u s_k \bar{v}_d \text{ și } \bar{v}(T) = k_u \bar{v}_d$$

$$c'_1 = \frac{k_u \bar{v}_d (s_k e^{-\alpha T} - e^{-\alpha \theta_1})}{e^{-\alpha T} - e^{-\alpha \theta_1}}$$

$$c'_2 = \frac{k_u \bar{v}_d (1 - s_k)}{e^{-\alpha T} - e^{-\alpha \theta_1}}$$

Cu aceste valori soluția ecuației este :

$$\bar{v}_2 = \frac{k_u \bar{v}_d (s_k e^{-\alpha T} - e^{-\alpha \theta_1})}{e^{-\alpha T} - e^{-\alpha \theta_1}} + \frac{k_u \bar{v}_d (1 - s_k)}{e^{-\alpha T} - e^{-\alpha \theta_1}} \cdot e^{-\alpha t}$$

Mărimele θ_1 și θ_2 se pot determina din salturile forței de tractiune la comutarea directă și inversă. Schimbarea în salturi a forței de tractiune determină în salturi o accelerare $d\bar{v}/dt$. Astfel în momentul comutării directe și inverse avem :

$$\left. \begin{array}{l} \lim_{\substack{t \rightarrow 0 \\ t > 0}} \frac{d\bar{V}_1}{dt} = \lim_{\substack{t \rightarrow T \\ t < T}} \frac{d\bar{V}_2}{dt} = \mu_1 \\ \lim_{\substack{t \rightarrow \theta_1 \\ t < \theta_1}} \frac{d\bar{V}_1}{dt} = \lim_{\substack{t \rightarrow \theta_1 \\ t > \theta_1}} \frac{d\bar{V}_2}{dt} = \mu_2 \end{array} \right\} \quad (4.42)$$

în care:

- μ_1 este saltul accelerării proporțional cu saltul forței de tractiune la comutarea directă,
- μ_2 - saltul accelerării proporțional cu saltul forței de tractiune la comutarea inversă.

Mărimile μ_1 și μ_2 se pot determina prin înregistrarea forței de tractiune și a vitezei la încercarea locomotivei. Dacă nu se dispune de aceste încercări accelerăția trenului poate fi determinată după valoarea minimă a forței de tractiune la comutare, care trebuie să fie indicată în condițiile tehnice de proiectare a locomotivei.

Substituind expresiile derivatelor $d\bar{V}_1/dt$ și $d\bar{V}_2/dt$ în relațiile (4.42) rezultă :

$$\frac{\beta}{\alpha} - \frac{\alpha k_u \bar{v}_d (1 - s_k) + \beta \theta_1}{-\alpha \theta_1 \cdot e} + \frac{\alpha k_u \bar{v}_d (1 - s_k)}{-\alpha T - \alpha \theta_1 \cdot e} = \mu_1$$

și

$$\frac{\beta}{\alpha} - \frac{\alpha k_u \bar{v}_d (1 - s_k) + \beta \theta_1}{-\alpha \theta_1 \cdot e} - \frac{\alpha k_u \bar{v}_d (1 - s_k)}{-\alpha T - \alpha \theta_1 \cdot e} = \mu_2$$

Din aceste relații rezultă :

$$\theta_1 = \frac{\mu_2 - \mu_1}{\beta}$$

$$\theta_2 = \frac{1}{\alpha} \ln \left[1 + \frac{\alpha k_u \bar{v}_d (1 - s_k)}{\frac{\beta}{\alpha} - \mu_1 - \frac{\alpha k_u \bar{v}_d (1 - s_k) + \beta \theta_1}{1 - e}} \right]$$

Regimul de autooscilații apare numai la acele valori ale parametrilor la care θ_1 și θ_2 sunt pozitivi, adică :

$$\frac{\mu_2 - \mu_1}{\beta} > 0$$

$$1 + \frac{\alpha k_u \bar{V}_d (1 - S_k)}{\frac{\beta}{\alpha} - \mu_1 - \frac{\alpha k_u \bar{V}_d (1 - S_k) + \beta \theta_1}{1 - e^{-\alpha \theta_1}}} > 1$$

Din ultima inecuație rezultă:

$$1 > S_k > 1 - \frac{\frac{\beta}{\alpha} - \mu_2 + (\frac{\beta}{\alpha} - \mu_1) \cdot e^{-\alpha \theta_1}}{\alpha k_u \bar{V}_d} \quad (4.44)$$

Valorile lui S_k determinate din inegalitățile (4.44) dau un regim de funcționare instabil. Evident că zona de lucru stabilă este:

$$0 < S_k < 1 - \frac{\frac{\beta}{\alpha} - \mu_2 + (\frac{\beta}{\alpha} - \mu_1) \cdot e^{-\alpha \theta_1}}{\alpha k_u \bar{V}_d} \quad (4.45)$$

Deoarece $S_k = 1 - \bar{V}_k / \bar{V}_d$, valorile căderii de viteză pentru care regimul de funcționare este stabil, sunt:

$$\bar{V}_d > \bar{V}_k > \frac{\frac{\beta}{\alpha} - \mu_2 + (\frac{\beta}{\alpha} - \mu_1) \cdot e^{-\alpha \theta_1}}{\alpha k_u} \quad (4.46)$$

Valoarea căderii de viteză determinată din condițiile de remorcare cu relația (4.25) trebuie să aparțină domeniului dat de inecuațiile (4.46). În acest caz sistemul funcționează stabil.

4.2.3. Determinarea caracteristicii de comutare inversă.

Pentru ca regimul de comutare să fie stabil trebuie, aşa cum s-a arătat în paragraful 2.2.4, ca viteză locomotivei în timpul comutării să nu se micșoreze sub viteză de comutare inversă V_i . Prin urmare, viteză de comutare inversă trebuie determinată din condiția asigurării unei funcționări stabile a locomotivei în timpul comutării. adică din condiția:

$$V_i \leq V_d - \Delta V_{kmax} \quad (4.47)$$

unde ΔV_{kmax} este căderea de viteză maximă care apare în timpul comutării directe pentru un nucleu de tonaj cu care poate atinge viteza de comutare directă pe rampa maximă a secției de remorcare.

Notând acest tonaj cu G_{vmax} , rampa maximă a secției de remorcare cu i_{max} și cunoscind timpul de comutare t_k (egal cu timpul de golire și umplere a transmisiei hidraulice), din relația (4.25) se determină căderea de viteză ΔV_{kmax} :

$$\Delta V_{kmax} = \left[1 - e^{-\frac{b_v G_{vmax} + b_L G_L}{G_{vmax} + G_L} \varphi t_k} \right] \left[v_d - \frac{F_{od} \cdot \Delta F_{ok}}{b_v G_{vmax} + b_L G_L} + \right. \\ \left. + \frac{b_v G_{vmax} + b_L G_L + i_{max}(G_{vmax} + G_L)}{b_v G_v + b_L G_L} \right] \quad (4.48)$$

Deoarece pentru $G_v < G_{vmax}$, căderea de viteză ^{care} apare pe rampa maximă i_{max} este $\Delta V_k < \Delta V_{kmax}$, viteza de comutare inversă v_i , care asigură o comutare stabilă, se poate lua egală cu viteza maximă care satisface inecuația (4.47), adică:

$$v_i = v_d - \Delta V_{kmax} \quad (4.49)$$

sau luând în considerare relația (4.48) rezultă :

$$v_i = v_d - f_1(t_k, G_{vmax}) \cdot f_2(\Delta F_{ok}, i_{max}, G_{vmax}) \quad (4.50)$$

cu

$$f_1(t_k, G_{vmax}) = 1 - e^{-\frac{b_v G_{vmax} + b_L G_L}{G_{vmax} + G_L} \varphi t_k}$$

$$f_2(\Delta F_{ok}, i_{max}, G_{vmax}) = v_d - \\ - \frac{F_{od} \cdot \Delta F_{ok} - (a_v G_{vmax} + a_L G_L) - i_{max}(G_{vmax} + G_L)}{b_v G_{vmax} + b_L G_L}$$

Inlocuind această valoare a vitezei în una din ecuațiile (2.25)...(2.28) în funcție de tipul transformatorului de pe treapta a două de viteze și de caracteristica lui de transparentă, se obține turăția motorului diesel în cazul funcționării lui la sarcina nominală.

La sarcini parțiale ale motorului diesel, turăția lui corespunzătoare vitezei v_i se determină din una din relațiile

(2.29)...(2.34) și anume din relația a cărei condiții de valabilitate satisfac tipul și caracteristica de transparență a transformatorului de pe treapta a două de viteze.

Valorile vitezei V_d și valoarea forței de tracțiune F_{oi} din relația (4.50), la diferite sarcini ale motorului diesel, se cunosc din caracteristica de comutare directă stabilită în cap. 3.

Se obține în felul acesta programul de comutare $(n_d/n_{dn})_i = f(V/V_x)$ sau $(n_d/n_{dn})_i = f(n_2/n_{2n})$ la comutarea inversă.

Caracteristica de comutare corespunzătoare acestui program de comutare este dată de relația (3.36) scrisă pentru acest caz, în care valorile turăției n_d/n_{dn} și ale vitezei V/V_x sunt date de programul de comutare $(V/V_x)_i = f(n_{di}/n_{dn})$, iar raportul $\frac{\gamma\lambda_{pII}}{\gamma\lambda_{pn}}$ se determină din relația (2.14) sau (2.15) în funcție de transparență transformatorului de pe treapta a două de viteze:

$$\left(\frac{F_o}{F_{oi}}\right)_i = 2\left(\frac{n_{di}}{n_{dn}}\right)_{II} - k_{2III}\left(\frac{V_x}{V}\right)_i k_{1III}\left(\frac{-n_{di}}{n_{dn}}\right)_{II} \cdot \frac{\gamma\lambda_{pII}}{\gamma\lambda_{pn}} \quad (4.51)$$

în care:

$$k_{1III} = \gamma_{thoII}\left(\frac{n_{do}}{n_{dn}}\right)_{II} \cdot \left(\frac{V_x}{V_{oIII}}\right)$$

$$\frac{\gamma\lambda_{pII}}{\gamma\lambda_{pn}} = (1 - T_{sIII}) \frac{\left(\frac{V_x}{V}\right)_i}{\left(\frac{V_n}{V_x}\right)_{II} \left(\frac{n_{di}}{n_{dn}}\right)_{II}} + T_s$$

pentru transformatoare cu transparență liniară, sau

$$\frac{\gamma\lambda_{pII}}{\gamma\lambda_{pn}} = b_1 \frac{\left(\frac{V_x}{V}\right)^2}{\left(\frac{V_n}{V_x}\right)_{II}^2 \left(\frac{n_{di}}{n_{dn}}\right)_{II}^2} + b_2 \frac{\left(\frac{V}{V_x}\right)_i}{\left(\frac{V_n}{V_x}\right)_{II} \left(\frac{n_{di}}{n_{dn}}\right)_{II}} + T_s$$

pentru transformatoare cu transparență parabolică.

4.3. Functiunea in comun a grupului motor. . . .
diesel - transmisie hidraulica - tren
la comutarea inversa a treptelor de viteze
pentru locomotiva diesel-hidraulica de 350 CP.

In cele ce urmeaza se determina caracteristica de comutare si programul de comutare in cazul trecerii de pe o treaptă superioară de viteze pe treapta inferioară, la functionarea in comun a motorului diesel M 583 cu transmisia hidraulica TH1, care echipaaza locomotiva de 350 CP, si tren. Se considera ca locomotiva remorca un tren cu tonajul G_{vmax} pe rampa maxima i_{max} a sectiei de remorcare pentru care, asa cum se vede din relatie (4.48), apare o cadere maxima de viteza la comutarea directă.

Daca se considera o sectie de remorcare a carrei rampa maxima este $i_{max} = 15\%$, caderea maxima de viteza in timpul comutarrii are loc pentru tonajul G_{vmax} cu care se poate atinge o viteza maxima egală cu viteza de comutare directă:

$$G_{vmax} = \frac{F_{od} - i_{max} G_L - r_L G_L}{r_v + i} \quad (4.52)$$

Pentru sarcina nominala a motorului din diagrama din figura 3-3 si tabela 3-5 rezulta $V_d = 18,55$ km/h si $F_{od} = 3378$ daN, iar din relatiile (4.20) si (4.21) se determina pentru $V = V_d$ rezistențele specifice r_v si r_L pentru un tren de marfa compus amestecat din vagoane goale si incarcate ($c = 1600$) [31], [36].

Cu aceste date, din relatie (4.52) rezulta :

$$G_{vmax} = 165 \text{ t.}$$

Caderea forței de tractiune $\Delta F_{ok} = 0,42$ pentru un timp de comutare $t_k = 5$ sec. rezulta din măsurările făcute (v.diagramale din fig.4-11).

4.3.1. Determinarea caracteristicii de comutare inversa in cazul utilizarii integrale a forței de tractiune la comutarea directă.

Caderea maxima de viteza care apare in timpul procesului de comutare directă pentru cazul analizat rezulta din relatie (4.48) :

$$\Delta V_{kmax} = 23,778 \cdot 10^{-4} [V_d - 0,1061(F_{od})_d + 729,944] \quad (4.53)$$

Forța de tractiune (F_{of})_d pentru diferite viteze de comutare (diferite sarcini ale motorului diesel) se determină din caracteristica de comutare directă (fig. 3-3 și tabelă 3-5).

Viteza de comutare inversă se determină din relația (4.49).

Deoarece, în momentul când începe comutarea inversă, transmisia funcționează pe transformatorul de mers (transformatorul al III-lea), turăția motorului diesel (n_{di}/n_{dn}) (la sarcina nominală a lui) se determină din ultima ecuație a sistemului (3.43) având în vedere că valoarea vitezei de comutare inversă aparține intervalului de valabilitate a acestui sistem:

$$\left(\frac{n_{di}}{n_{dn}} \right)^2 + \left[12,66 - 0,28 \left(\frac{V_f}{V_x} \right)_i \right] \frac{n_{di}}{n_{dn}} + \\ + 0,25 \left(\frac{V_f}{V_x} \right)_i^2 - 13,82 = 0 \quad (4.54)$$

La sarcini parțiale ale motorului diesel, turăția lui corespunzătoare vitezei de comutare se determină din ultima ecuație a sistemului (3.44) :

$$\left(\frac{n_{di}}{n_{dn}} \right)^2 + 2 \left[c'_{1xII} - 0,14 \left(\frac{V_f}{V_x} \right)_i \right] \frac{n_d}{n_{dn}} + \\ + 0,25 \left(\frac{V_f}{V_x} \right)_i^2 - c'_{2xII} = 0 \quad (4.55)$$

Caracteristica de comutare este dată de funcția (4.31).

Rezultatele calculului sunt date în tabela 4-1.

Tabelă 4-1.

$(V_f/V_x)_d$	0,53	0,515	0,454	0,42	0,384	0,353
$V_d [Km/h]$	18,55	18,025	15,89	14,7	13,44	12,355
$(F_{of}/F_{oi})_d$	1,46	1,22	0,997	0,87	0,73	0,61
$(F_{of})_d [daN]$	3378	2823	2307	2013	1689	1411
$\Delta V_k [Km/h]$	0,927	1,066	1,191	1,263	1,341	1,409
$V_i [Km/h]$	17,623	16,959	14,70	13,437	12,099	10,946
$(V_f/V_x)_i$	0,503	0,484	0,420	0,384	0,345	0,353
(n_{di}/n_{dn})	1,0025	0,936	0,8388	0,777	0,711	0,653
$(\lambda_{pII}/\lambda_{pn})_i$	0,9694	0,969	0,9694	0,9696	0,9699	0,9701
$(F_{of}/F_{xi})_i$	1,511	1,294	1,059	0,9156	0,7746	0,6577

Caracteristica de comutare inferioară $(F_{of}/F_{oi})_i = f(V/V_x)$, astfel determinată, este reprezentată în figura 4-17, curba 1. Comutarea după această caracteristică este asigurată de programul de comutare $(n_{df}/n_{dn})_i = g(n_2/n_{2x})$ reprezentat în figura 4-18, curba 1 (după datele calculate în tabela 4-1).

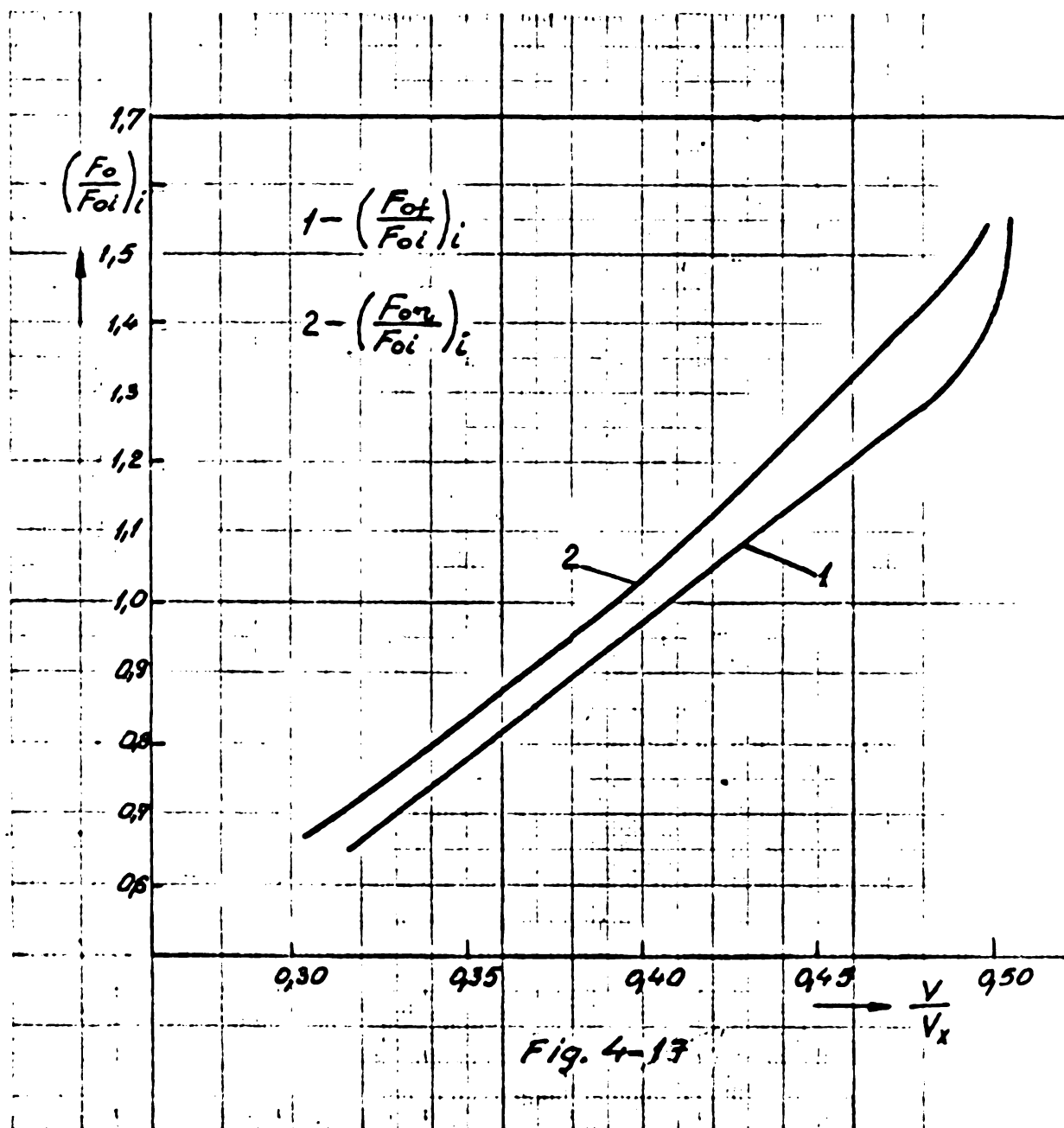
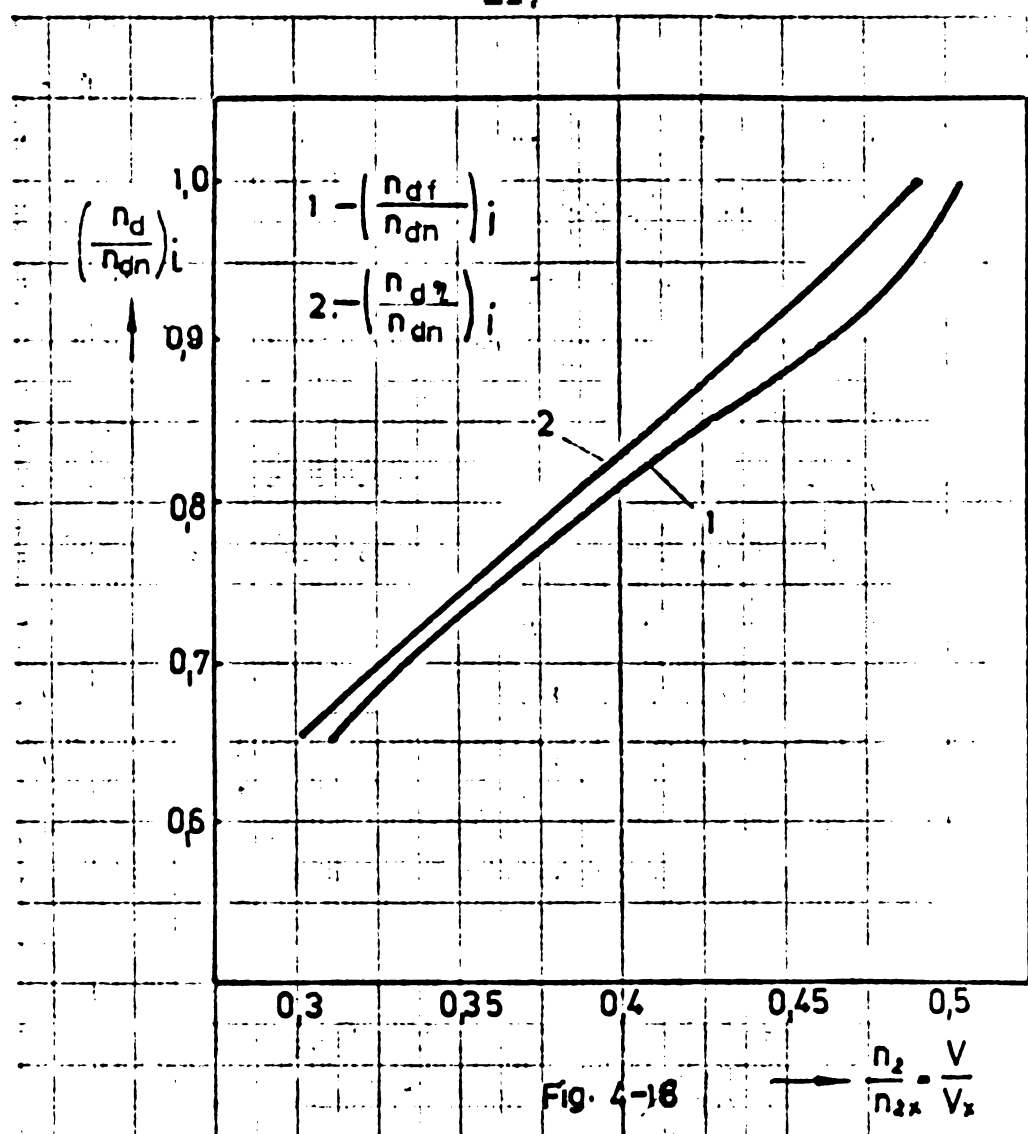


Fig. 4-17



4.3.2. Determinarea caracteristicii de comutare inversă în cazul asigurării unui randament optim la comutarea directă.

Valoarea forței de tractiune (F_{07})_d și a vitezei V_d la comutarea directă necesare pentru determinarea căderii de viteză în timpul procesului de comutare, rezultă din caracteristica de comutare directă (fig.3-3) și tabela 3-7.

Turația motorului diesel și forța de tractiune corespunzătoare vitezelor de comutare inverse, astfel calculate, se determină din relația (4.55) și respectiv (4.51).

Rezultatele calculului sunt date în tabela 4-2.

Caracteristica de comutare inversă (F_{07}/F_{01})_i = $f(V/V_x)$, este reprezentată în figura 4-17, curba 2. Pentru realizarea acestei caracteristici de comutare, sistemul automat de comutare trebuie să asigure programul de comutare $(n_{d7}/n_{dn})_i = g(n_2/n_{2x})$ reprezentat în figura 4-18 curba 2 (trasat după datele calculate în tabela 4-2).

Tabela 4-2.

$(V_d/V_x)_d$	0,522	0,49	0,439	0,407	0,372	0,342
$(v_d)_d [Km/h]$	18,27	17,17	15,356	14,245	13,02	11,97
$(F_{0d}/F_{0i})_d$	1,51	1,33	1,08	0,92	0,79	0,65
$(F_{0d})_d [da.N]$	3494	3077	2499	2129	1828	1504
$f_2(G_{vmax}, i_{max})$	377,530	420,670	480,186	518,321	549,029	582,3527
$\Delta v_k [Km/h]$	0,897	1,0	1,142	1,232	1,305	1,384
$v_i [Km/h]$	17,373	16,17	14,223	13,013	11,715	10,586
$(V_d/V_x)_i$	0,496	0,462	0,406	0,372	0,335	0,302
n_{di}/n_{dn}	1,0025	0,9362	0,8388	0,777	0,7108	0,6532
$(f_{l_{pII}}/f_{l_{pI}})_i$	0,9696	0,9697	0,9699	0,9702	0,9705	0,9709
$(F_{0d}/F_{0i})_i$	1,523	1,330	1,079	0,932	0,786	0,669

4.3.3. Determinarea caracteristicii de comutare inversă, pe baza condițiilor de exploatare a locomotivei.

Pe baza considerațiilor din cap.3.2 s-au stabilit în paragraful 3.3.5 programul de comutare (ecuația 3.52) și caracteristica de comutare directă ținând seama de destinația și condițiile concrete de exploatare a tipului dat de locomotivă.

Viteza la care trebuie să se facă comutarea inversă, pentru a asigura o funcționare stabilă a locomotivei, se determină în acest caz, la fel ca în cazul precedent, din relația (4.49), iar cădereea maximă de viteză din relația (4.53) în care viteza de comutare directă V_d și valoarea corespunzătoare a forței de tractiune $(F_{0d})_d$ se stabilesc din programul de comutare (3.52) respectiv din caracteristica de comutare (fig.3-3 și tabela 3-5 pentru sarcina nominală a motorului și tabela 3-7 pentru sarcini partiale ale motorului).

Rezultatele calculului sunt date în tabela 4-3.

Caracteristica de comutare inversă este reprezentată în diagrame din figura 4-19, iar programul de comutare care asigură obținerea acestei caracteristici, în diagrame din figura 4-20 (trasate după datele din tabela 4-2).

Tabela 4-3.

$(V/V_x)_d$	0,530	0,49	0,439	0,407	0,372	0,342
$v_d [km/h]$	18,55	17,17	15,365	14,245	13,02	11,97
$(F_o/F_{oi})_d$	1,46	1,33	1,08	0,92	0,79	0,65
$(F_o)_d [da.N]$	3378	3077	2499	2129	1828	1504
$\Delta v_k [Km/h]$	0,927	1,0	1,142	1,232	1,305	1,384
$v_i [Km/h]$	17,623	16,16	14,223	13,013	11,715	10,586
$(V/V_x)_i$	0,503	0,462	0,406	0,372	0,335	0,302
(n_{di}/n_{dn})	1,0025	0,9362	0,8388	0,777	0,7108	0,6532
$(F_o/F_{oi})_i$	1,511	1,330	1,079	0,932	0,786	0,669

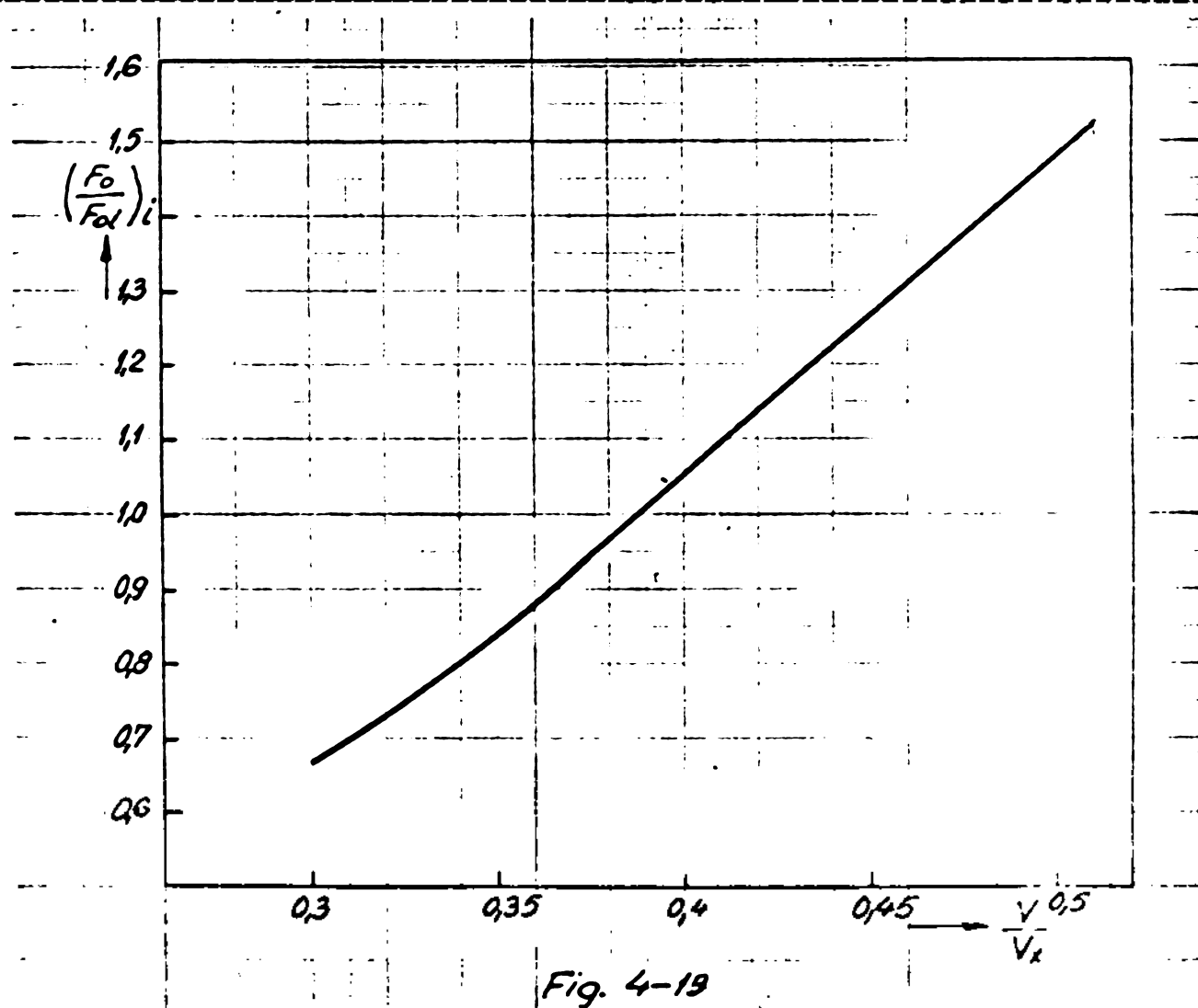
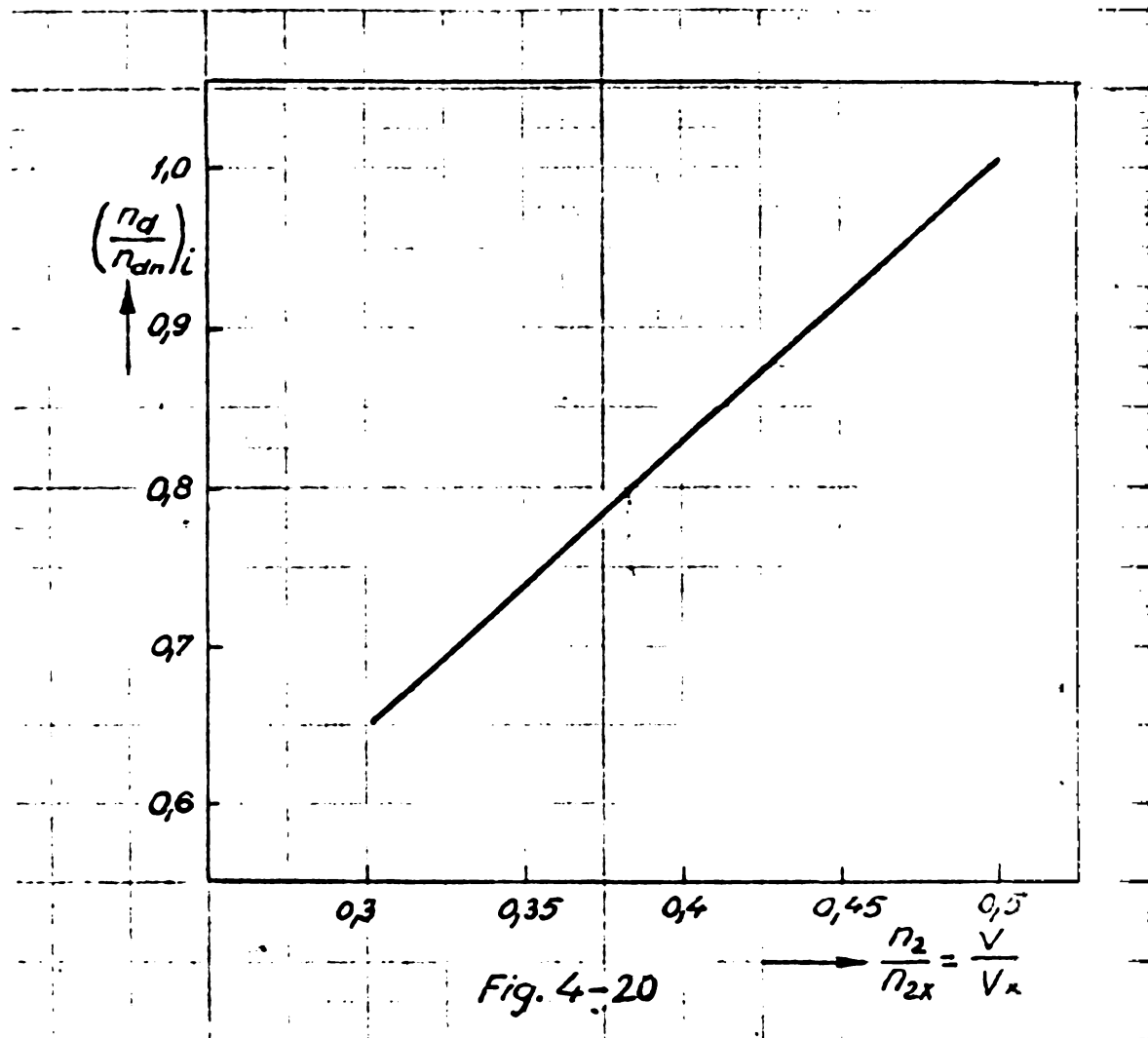


Fig. 4-19

Sistemul automat de comutare, pentru a asigura o funcționare stabilă a transmisiei, trebuie să realizeze comutarea inversă a treptelor de viteze, pentru diferite poziții ale controlerului la vitezele $V/V_x = n_2/n_{2x}$ date de programul de comutare (fig.4-20) care poate fi considerat cu suficientă precizie ca

fiind descris de dreapta :

$$98 \frac{n_d}{n_{dn}} - 190 \left(\frac{V}{V_x} \right)_i + 1 = 0 \quad (4.56)$$



La comutarea directă, sistemul automat trebuie să realizeze schimbarea treptelor la vitezele V/V_x date de ecuația (3.52).

5. STABILITATEA PROCESULUI DE COMUTARE.

La proiectarea locomotivelor diesel, trebuie determinați parametrii transmisiei, ai sistemului de comandă a comutării și ai instalației de umplere și golire care să realizeze astfel de valori ale timpului de comutare t_k și ale forței de tracțiune F_{ok} în procesul de comutare, încit puterea neutilizată la obadă în zona de comutare să fie minimă iar comutarea stabilă. Puterea neutilizată la obadă este cu atât mai mică cu cît căderea de viteză ΔV_k este mai mică. De aceea, în cele ce urmează se va analiza influența timpului de comutare t_k și a forței de tracțiune F_{ok} asupra valorii căderii de viteză ΔV_k care asigură o comutare stabilă a treptelor de viteze pentru diferite tonaje remorcate de locomotivă pe diferite profile de cale.

5.1. Domeniul de stabilitate a procesului de comutare.

Viteza de comutare inversă V_i a treptelor de viteze se realizează prin sistemul de comandă a comutării. Dacă în timpul procesului de comutare directă căderea de viteză ΔV_k are o astfel de valoare încit viteza de mers se micșorează sub viteza V_i , apare un regim instabil de funcționare a transmisiei.

Este evident că regimul instabil de funcționare a transmisiei poate să apară numai în cazurile cind rezistența de mers are valori pentru care viteza de mișcare în regim staționar este mai mare decit viteza de comutare directă V_d .

Cu creșterea valorii lui ΔV_k viteza de comutare inversă V_i trebuie micșorată pentru asigurarea unui regim stabil de funcționare a transmisiei. Însă micșorarea vitezei V_i determină creșterea valorii puterii neutilizate la obadă.

In cazul general, stabilitatea transmisiei la comutarea treptelor de viteze, depinde de alegerea potrivită a parametrilor ce intervin în relația (4.25), care nu trebuie să depășească anumite valori limită, pentru ca procesul de comutare să nu devină instabil.

Reglarea transmisiei se face întotdeauna astfel încit la o alegere potrivită a parametrilor să se obțină stabilitate. În multe cazuri, din dorința de a se realiza o funcționare stabilă a transmisiei se aleg valori exagerat de mici pentru V_i .

astfel încât mărimea reglată $\Delta V_r = V_d - V_i$ este destul de depărtată de valorile optime care să asigure și proprietăți de tractiune corespunzătoare (valori minime ale puterii neutilizate la obadă).

De aceea trebuie să se procedeze pentru fiecare tip de locomotivă, în conformitate cu condițiile de exploatare, la o analiză a condițiilor de stabilitate a transmisiei cu care este echipată locomotiva. Calculele, care se fac în continuare, referitoare la cei mai importanți parametrii, urmează să dea indicații în acest sens.

Se presupune, de fiecare dată, un anumit tip de locomotivă, a cărei caracteristici de tractiune se cunosc și o anumită transmisie, și se discută stabilitatea procesului de comutare în funcție de acțiunile externe și de parametrii sistemului de reglare ai transmisiei. O însemnatate deosebită fi revine cazului limită de stabilitate la care diferenții parametri au astfel de valori încât se atinge chiar limita între stabilitate și instabilitatea procesului de comutare a treptelor de viteze.

Relațiile valabile pentru limita de stabilitate, introduse în diagrama caracteristicilor de tractiune, prin valorile limită ale vitezei V_i , permit obținerea celor două domenii: unul care cuprinde comutarea stabilă, iar celălalt comutare instabilă. Acest procedeu se aplică considerind locomotiva diesel-hidraulică LFH 35 construcție Intreprinderea "23 August" București.

În acest scop se calculează din relația (4.25) cădereea de viteză ΔV_k care se produce în timpul procesului de comutare în funcție de parametrii t_k , i , G_v și ΔF_{ok} .

Rezultatele calculelor efectuate pentru locomotiva LDH-35, la sarcina nominală a motorului diesel, sunt trecute în tabelele 5-1 și 5-2. În aceste tabele s-au trecut numai valorile funcțiilor $f_1(t_k, G_v)$ și $f_2(\Delta F_{ok}, G_v, i)$ care definesc cădereea de viteză ΔV_k (relația 4.26).

Cu datele din tabelele 5-1 și 5-2 se trasează limita de stabilitate și se determină domeniul de funcționare stabilă și instabilă a locomotivei la comutarea treptelor de viteze și se stabilește influența parametrilor constructivi și de exploatare ai locomotivei asupra limitei de stabilitate și deci asupra domeniului de stabilitate.

- 123 -

Tabelă 5-1.

Valorile funcției $f_1(t_k, g_v) \cdot 10^{-3}$

$t_k [s]$	1	2	3	4	5	6	7	8	9	10
100	0,875	1,75	2,62	3,49	4,37	5,24	6,11	6,98	7,85	8,72
150	0,797	1,59	2,39	3,18	3,98	4,77	5,56	6,36	7,15	7,49
200	0,75	1,50	2,26	3,01	3,76	4,51	5,26	6,0	6,75	7,50
250	0,72	1,45	2,17	2,89	3,62	4,31	5,06	5,78	6,50	7,22
300	0,70	1,41	2,11	2,82	3,52	4,22	4,92	5,62	6,32	7,02
350	0,69	1,38	2,07	2,76	3,45	4,13	4,82	5,51	6,19	6,88
400	0,68	1,36	2,04	2,71	3,39	4,07	4,47	5,42	6,10	6,77
500	0,66	1,33	1,99	2,65	3,31	3,97	4,63	5,29	5,95	6,61
600	0,65	1,30	1,96	2,61	3,26	3,91	4,56	5,21	5,86	6,50
700	0,64	1,29	1,93	2,57	3,22	3,86	4,50	5,15	5,79	6,43
800	0,64	1,28	1,91	2,55	3,19	3,83	4,46	5,10	5,73	6,37
900	0,63	1,27	1,90	2,53	3,17	3,80	4,43	5,06	5,69	6,32
1000	0,62	1,26	1,89	2,52	3,15	3,78	4,40	5,03	5,66	5,28

Table 5-2.

G_V	ΔF_{ok}	1%	0	2	4	6	8	10	12	14	16	18	20
0	103,38	179,51	255,64	331,76	407,89	484,02	560,14	636,27	712,39	788,53	864,65		
0,2	-	53,37	129,49	205,62	281,75	357,87	434,0	510,13	586,26	662,38			
0,4	-	-	-	3,35	79,48	155,60	231,73	307,86	383,99	460,11			
0,6	-	-	-	-	-	-	29,46	105,59	181,72	257,84			
0,8	-	-	-	-	-	-	-	-	-	-	55,57		
0	110,54	199,08	287,63	376,18	464,73	553,27	641,82	730,36	818,91	907,47	996,0		
0,2	-	67,0	155,55	244,10	332,64	421,19	509,74	598,28	686,83	775,38	863,92		
0,4	-	-	23,47	112,02	200,56	389,11	377,66	466,20	554,75	643,29	731,84		
0,6	-	-	-	-	68,48	157,03	245,57	334,12	422,67	511,21	599,76		
0,8	-	-	-	-	-	24,95	113,49	202,04	290,58	379,13	467,68		
1,0	-	-	-	-	-	-	-	69,96	158,50	247,05	335,60		
0	114,01	208,58	303,14	397,71	492,28	586,85	681,41	775,98	870,55	965,12	1059,68		
0,2	15,95	110,52	205,09	299,66	394,22	488,79	583,36	677,93	772,49	867,06	961,63		
0,4	-	12,46	107,03	201,60	296,17	390,74	485,30	579,87	674,44	769,01	863,57		
0,6	-	-	8,98	103,54	198,11	292,68	887,25	481,81	576,38	670,95	765,52		
0,8	-	-	-	5,49	100,05	194,62	289,19	383,76	478,33	572,89	667,46		
1,0	-	-	-	-	2,0	96,57	191,14	285,70	380,27	474,84	569,40		

Valorile funcției $f_2(\Delta F_{ok}, G_V, 1)$

Tabelle 5-2 (continued)

- 125 -

Tabela 5-2 (continuare).

1	2	3	4	5	6	7	8	9	10	11	12	13
700	0	119,08	222,46	325,85	429,23	532,58	635,96	739,34	842,71	946,09	1049,46	1152,84
	0,2	70,79	174,17	277,56	380,94	484,29	587,67	691,05	794,42	897,80	1001,17	1104,55
	0,4	22,49	125,87	229,26	332,64	435,99	539,37	642,75	746,12	850,50	952,87	1056,25
	0,6	-	77,58	180,97	284,35	387,70	491,08	594,46	697,83	801,21	904,58	1007,96
	0,8	-	29,28	132,67	236,06	339,41	442,79	546,17	649,54	752,92	856,28	959,67
	1,0	-	-	84,38	187,76	291,11	394,49	497,87	601,24	704,62	807,99	911,37
800	0	119,64	223,97	328,30	432,63	536,96	641,29	745,62	849,95	954,27	1058,61	1162,93
	0,2	76,78	181,11	285,44	389,77	494,10	598,43	702,76	807,09	911,41	1015,45	1120,07
	0,4	33,93	138,26	242,59	341,92	451,25	555,58	659,91	764,24	868,56	972,90	1077,22
	0,6	-	95,40	199,73	304,06	408,39	512,72	617,05	721,38	825,70	930,04	1034,36
	0,8	-	52,55	156,87	261,21	365,54	469,87	574,20	678,53	782,85	887,19	991,51
	1,0	-	9,69	114,02	218,35	322,68	427,01	531,34	635,67	739,99	844,33	948,65
900	0	120,08	225,18	330,29	435,39	540,49	645,60	750,70	855,80	960,91	1066,01	1171,11
	0,2	81,56	186,66	291,77	396,87	501,97	606,48	712,18	817,28	922,39	1027,49	1132,59
	0,4	43,04	148,14	253,25	358,35	463,45	568,56	673,66	778,76	883,87	988,97	1094,07
	0,6	4,52	109,62	214,73	319,83	424,93	530,04	635,14	740,24	845,35	950,45	1055,55
	0,8	-	71,10	176,21	281,31	386,41	491,52	596,62	701,72	806,83	911,93	1017,03
	1,0	-	32,58	137,69	242,79	347,89	453,0	558,10	663,20	768,31	873,41	978,51

5.2. Influența timpului de comutare, a căderii forței de tractiune, a profilului liniei și a tonajului remorcăt asupra stabilității procesului de comutare.

5.2.1. Influența timpului de comutare.

Timpul de comutare t_k depinde de numărul și suprafața orificiilor de golire, de debitul pompei de alimentare cu ulei a transmisiei și de rezistența hidraulică a conductelor de umplere și golire.

Domeniul de stabilitate se poate determina în funcție de timpul de comutare, cercetând limita de stabilitate în planul coeficienților. În acest scop se trasează curba limită de stabilitate în planul coeficienților ΔV_k și t_k pentru condiții de exploatare bine determinate, adică pentru un tren compus din anumite vagoane, cu un anumit tonaj G_v care circulă pe un profil de linie cu declivitate $i = \text{const}$. În figurile 5-1 s-au traseat limitele de stabilitate la comutarea treptelor de viteze pentru locomotiva LDH 35 care remorcă un tren de marfă compus din amestecată din vagoane încărcate pe 2 și 4 osii, cu tonajul $G_v = 150$ și 500 t la o valoare relativă a forței de tractiune la comutare $\Delta F_{ok} = 0; 0,2; 0,4; 0,6$ și 0,8.

Din aceste diagrame rezultă că ΔV_k crește cu mărimea timpului de comutare t_k la o rampă $i = \text{const}$. La proiectarea transmisiei hidraulice și a sistemului de comutare se poate determina, din aceste diagrame, valoarea maximă necesară a timpului de comutare t_k care asigură, la comutarea treptelor de viteze, un regim stabil de funcționare la circulația locomotivei pe rampă maximă cunoscută cu o cădere de viteză ΔV_k . Astfel la o rampă $i = 12\%$ și $\Delta F_{ok} = 0,4$ sec. pentru $G_v = 500$ t și $\Delta V_k = 2$ km/h (fig.5-2,c), rezultă la limita de stabilitate un timp $t_k = 5$ sec. pentru $G_v = 500$ t și $\Delta F_{ok} = 0,4$. Deci, domeniul de stabilitate este limitat de axele de coordonate și ecuațiile $\Delta V_k = 2$ și $t_k = 5$.

Regimurile de funcționare caracterizate prin coordonatele punctelor situate în afara acestui domeniu vor fi instabile.

Dacă rampa maximă $i_{max} < 12\%$, timpul necesar de comutare t_k crește și corespunzător se mărește și domeniul de stabilitate (în fig.5-2,c domeniul limitat prin liniile intrerupte pentru $i_{max} = 10\%$).

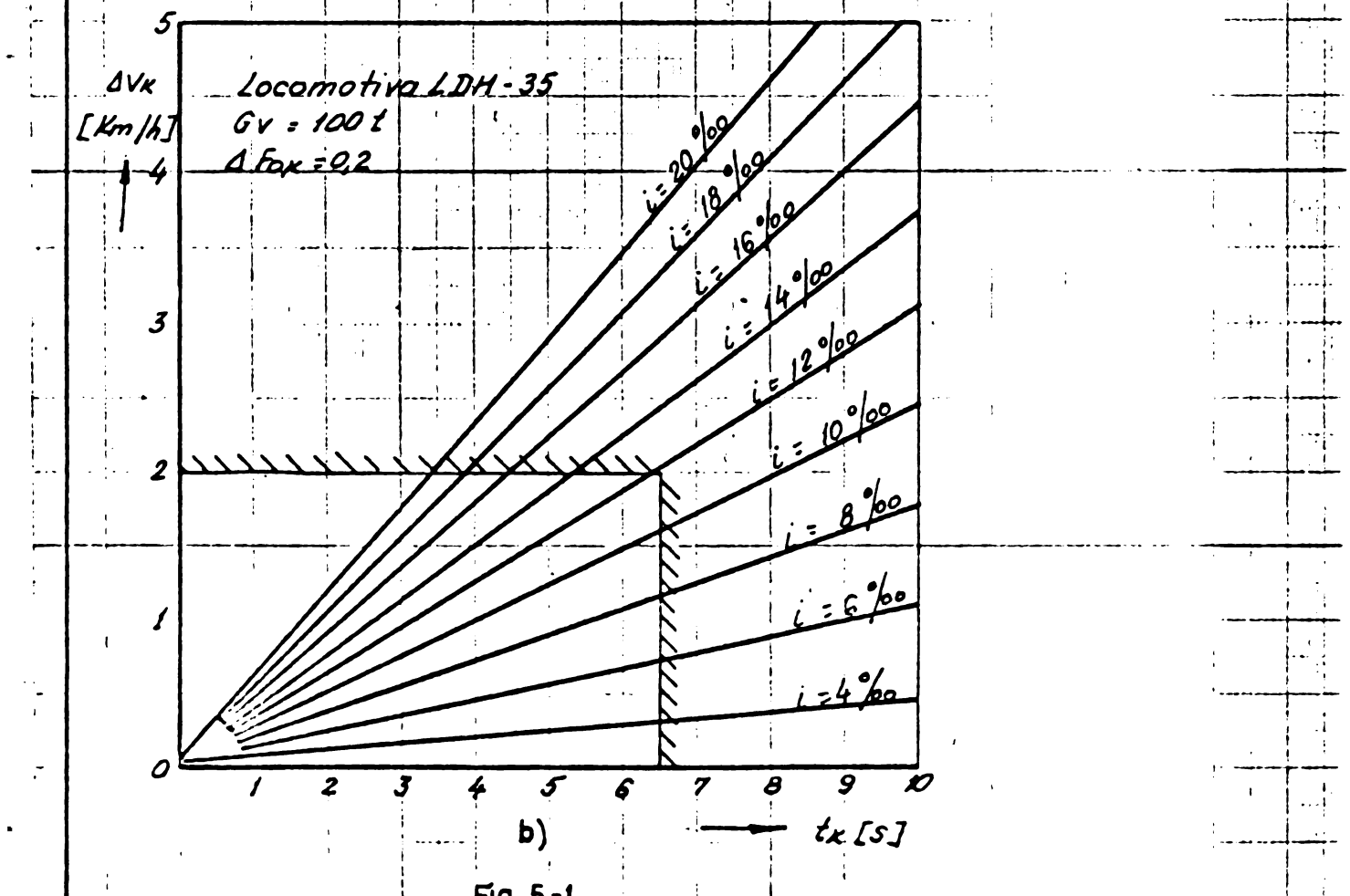
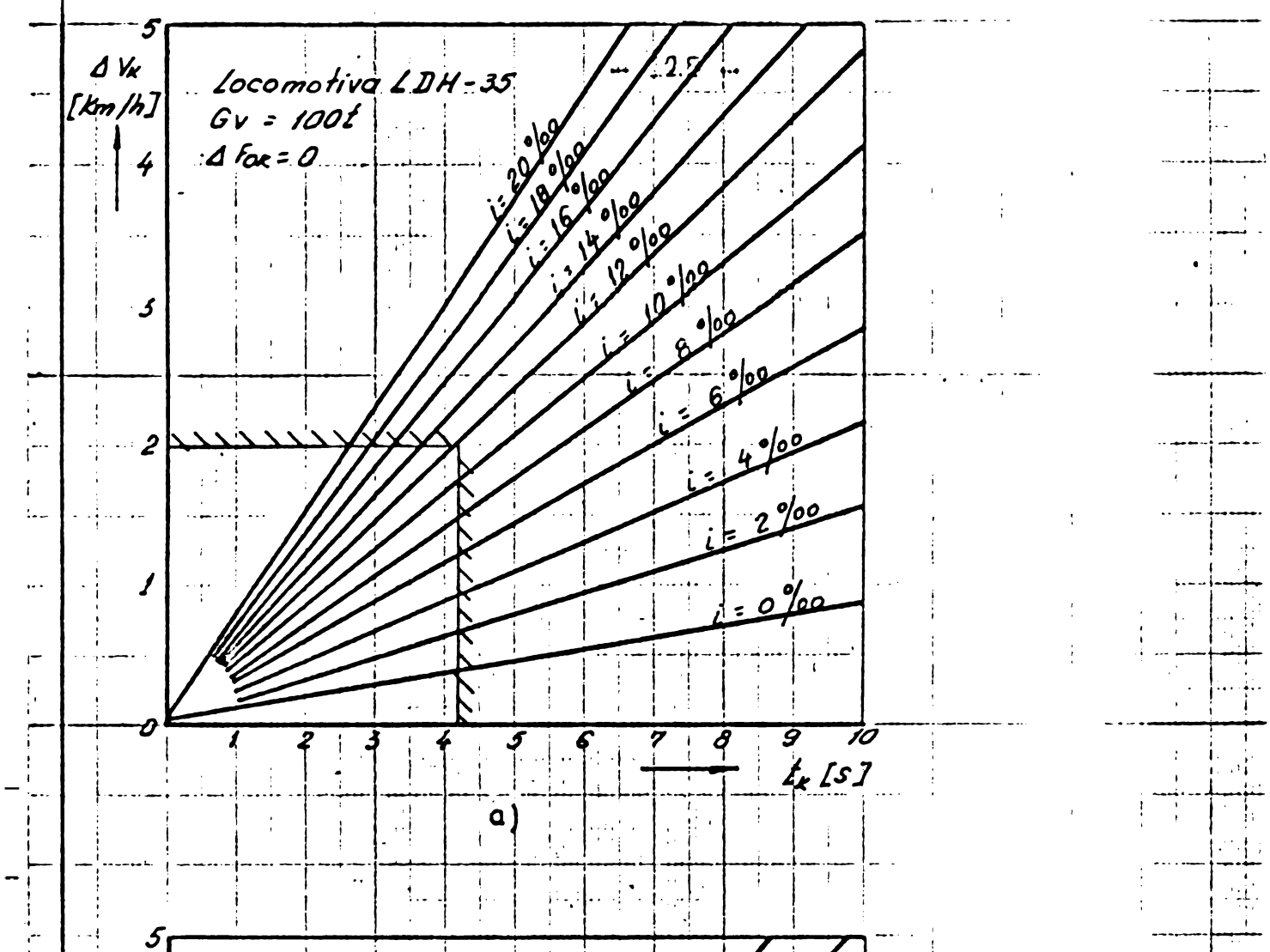


Fig. 5-1

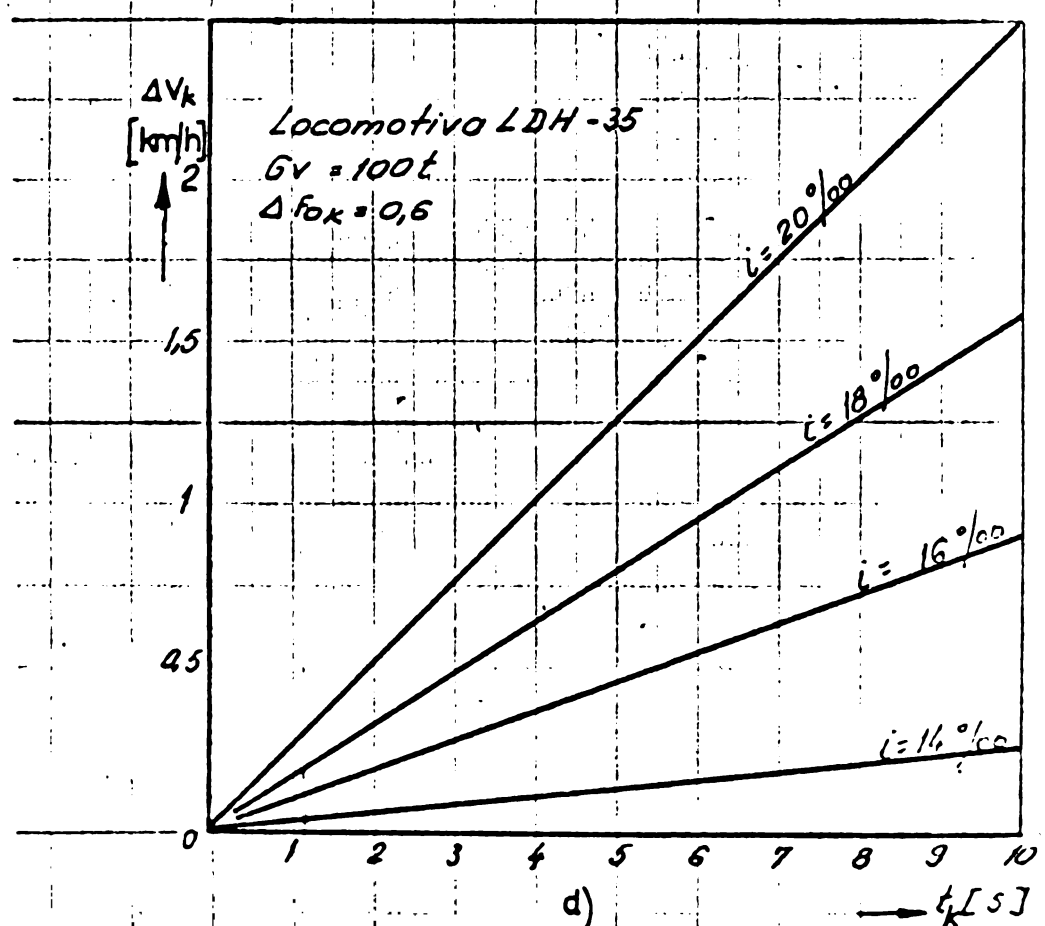
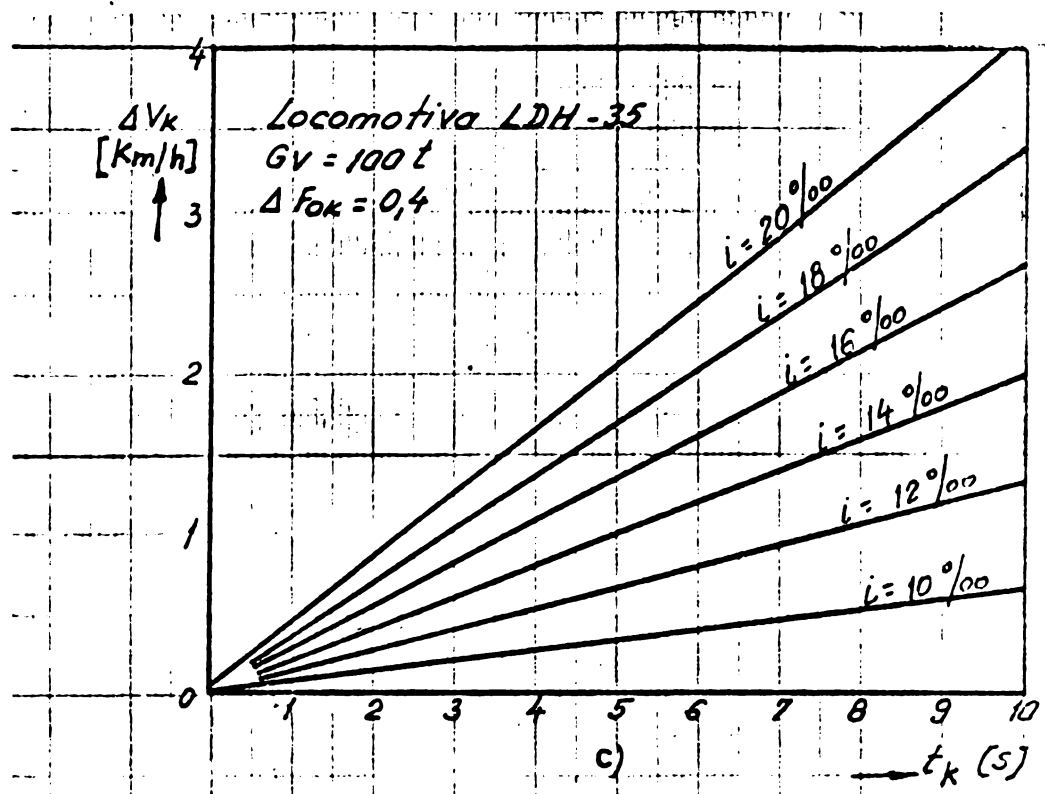


Fig. 5.1

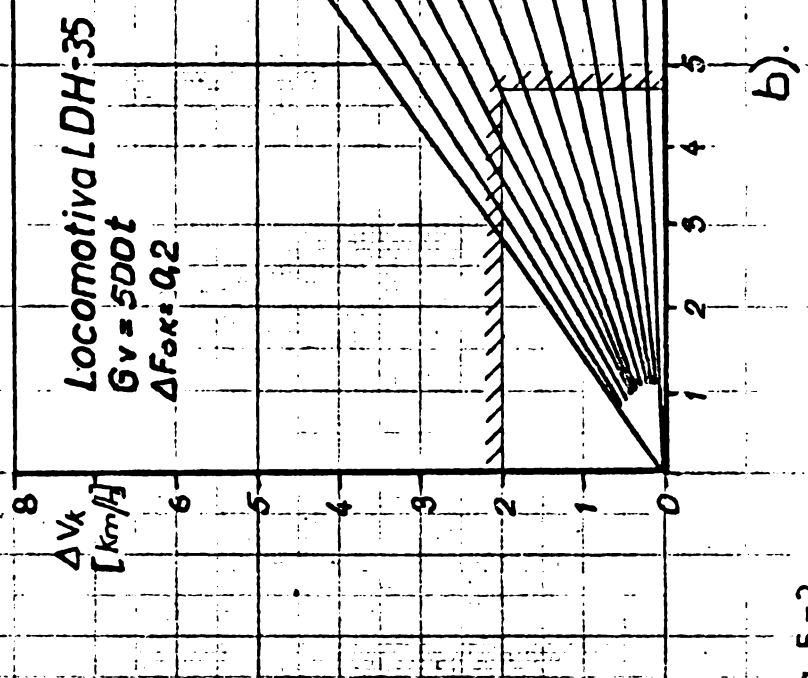
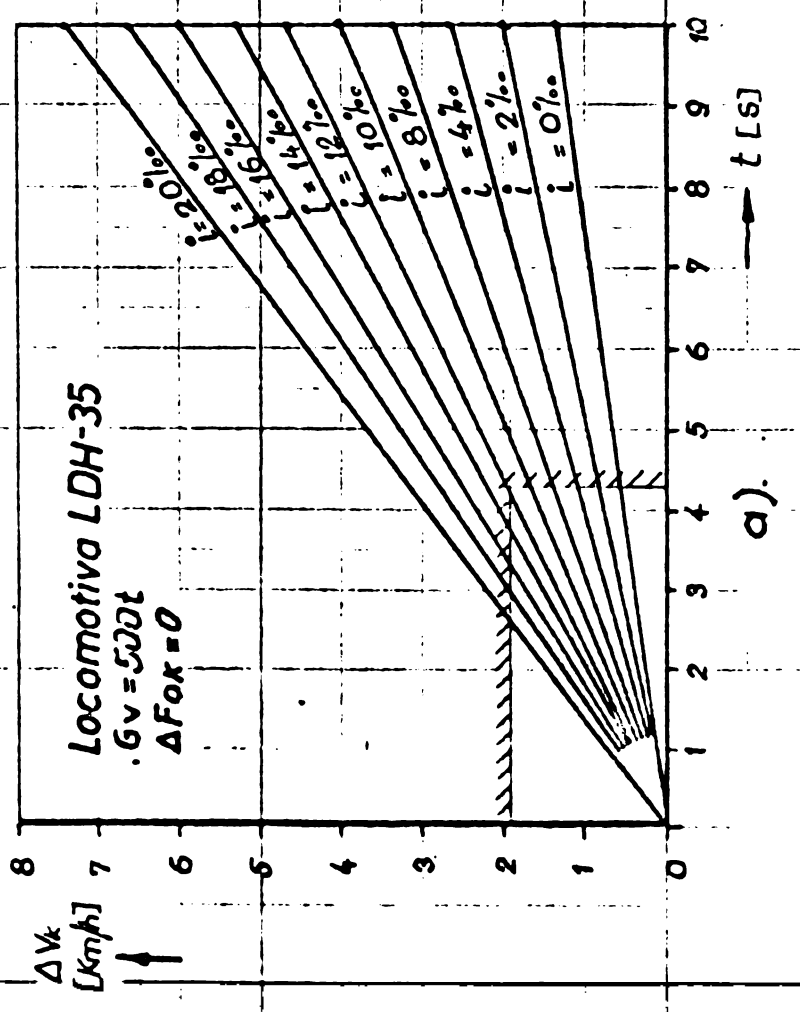
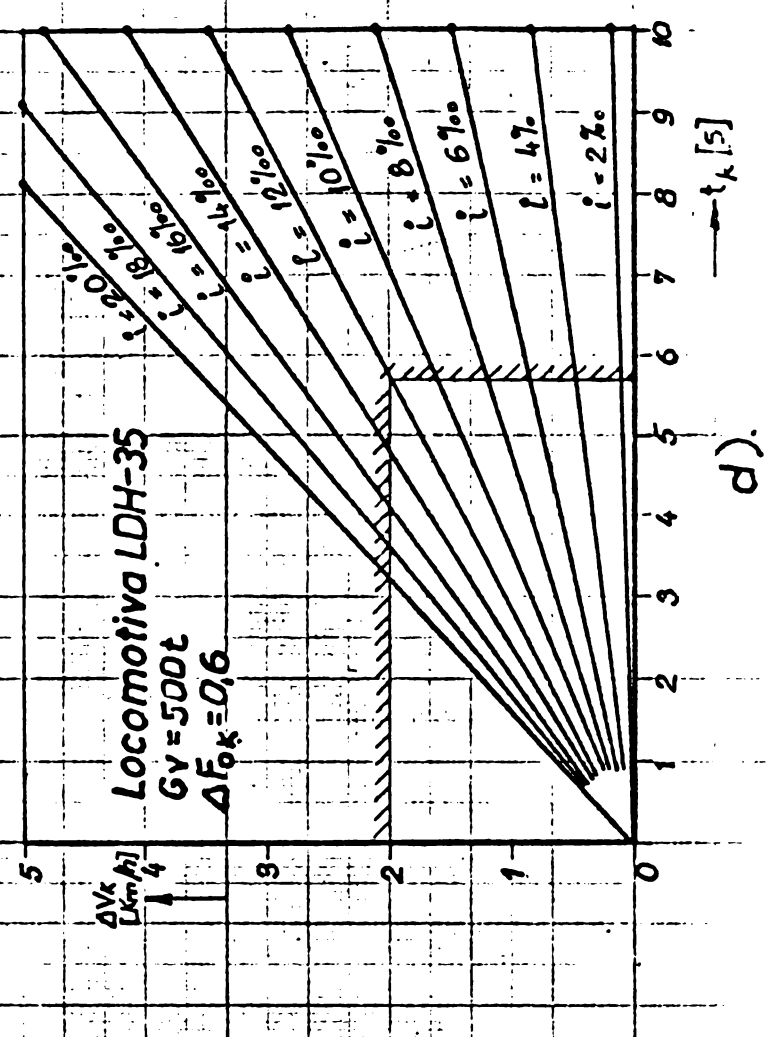
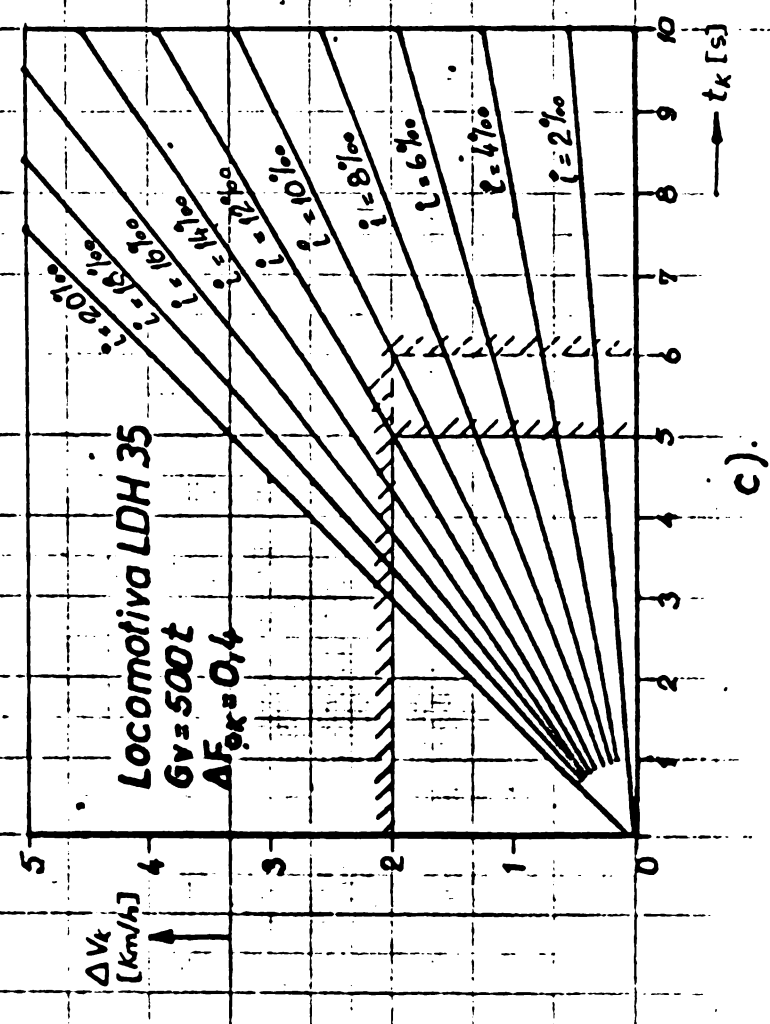


Fig. 5-2

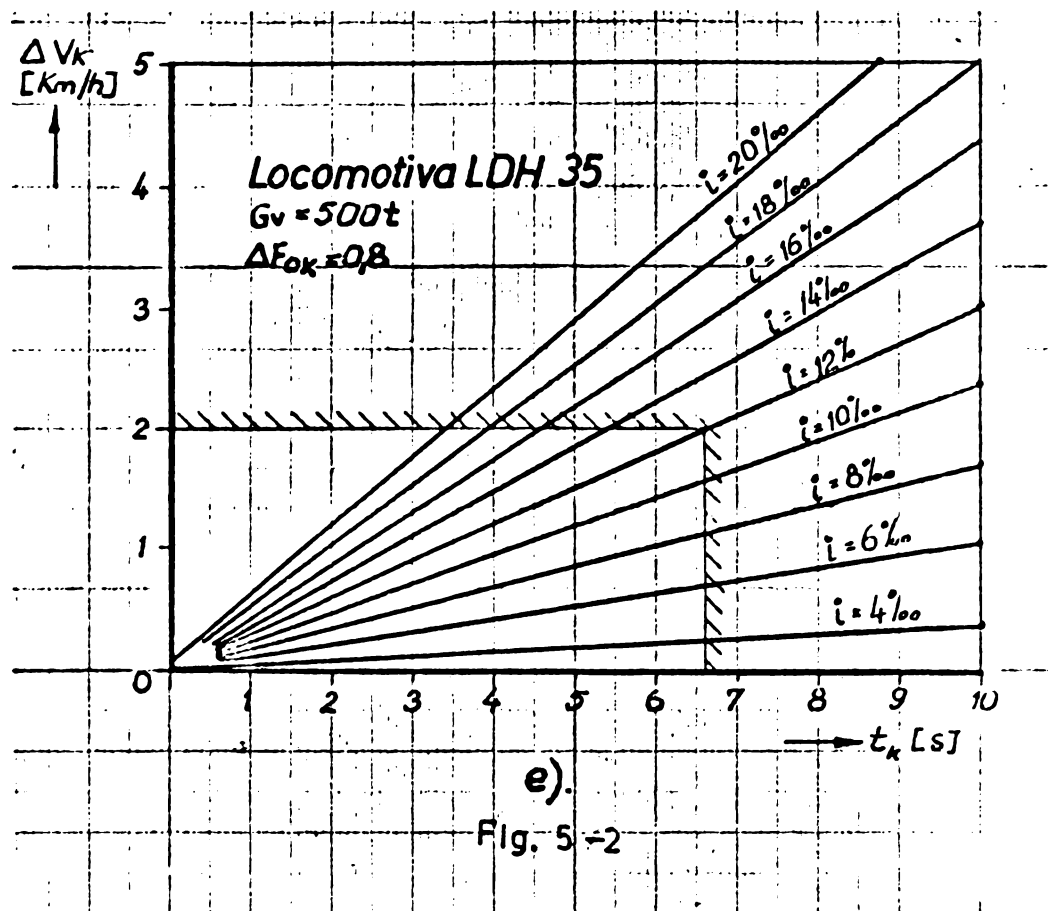


d).

Fig. 5-2



c).



5.2.2. Influența profilului liniei.

Regimul instabil de funcționare al locomotivei la comutarea treptelor de viteze poate să apară numai la unele din cazurile în care apare căderea de viteză. De aceea interesează numai condițiile de mișcare pentru care $\Delta V_k \geq 0$. Din relația (4.25) rezultă că această condiție este îndeplinită atunci cînd trenul circulă pe un profil de linie cu rampă:

$$i \geq \frac{1}{G_v + G_L} \left[F_{od} \cdot \Delta F_{ok} - (a_v G_v + a_L G_L) - V_d (b_v G_v + b_L G_L) \right] \quad (5.1)$$

Valorile rampei minime i_{min} a profilului de linie pe care căderea de viteză $\Delta V_k = 0$, determinate din (5.1) în funcție de tonajul remorcat G_v și de valoarea relativă ΔF_{ok} a forței de tractiune în procesul de comutare sunt calculate pentru locomotiva LDH de 350 CP în diagrame din figura 5-3.

Pentru determinarea influenței profilului liniei asupra stabilității comutării se aleg coeficienții ΔV_k și declivitatea profilului liniei $i \geq i_{min}$. Se obține astfel domeniul de stabilitate în planul coeficienților ΔV_k și i . În figura 5-4 și figura 5-5 s-au determinat, cu datele din tabelele 5-1 și 5-2, limitele de

stabilitate pentru aceeași locomotivă care remorcă un tren de tonajul $G_v = 400$ t și $G_v = 200$ t, în funcție de rampă i % la diferite valori ale constantei de timp $t_k = \text{const.}$ și o valoare relativă a forței de tracțiune la comutare $\Delta F_{ok} = 0; 0,2; 0,4; 0,6$ și 0,8.

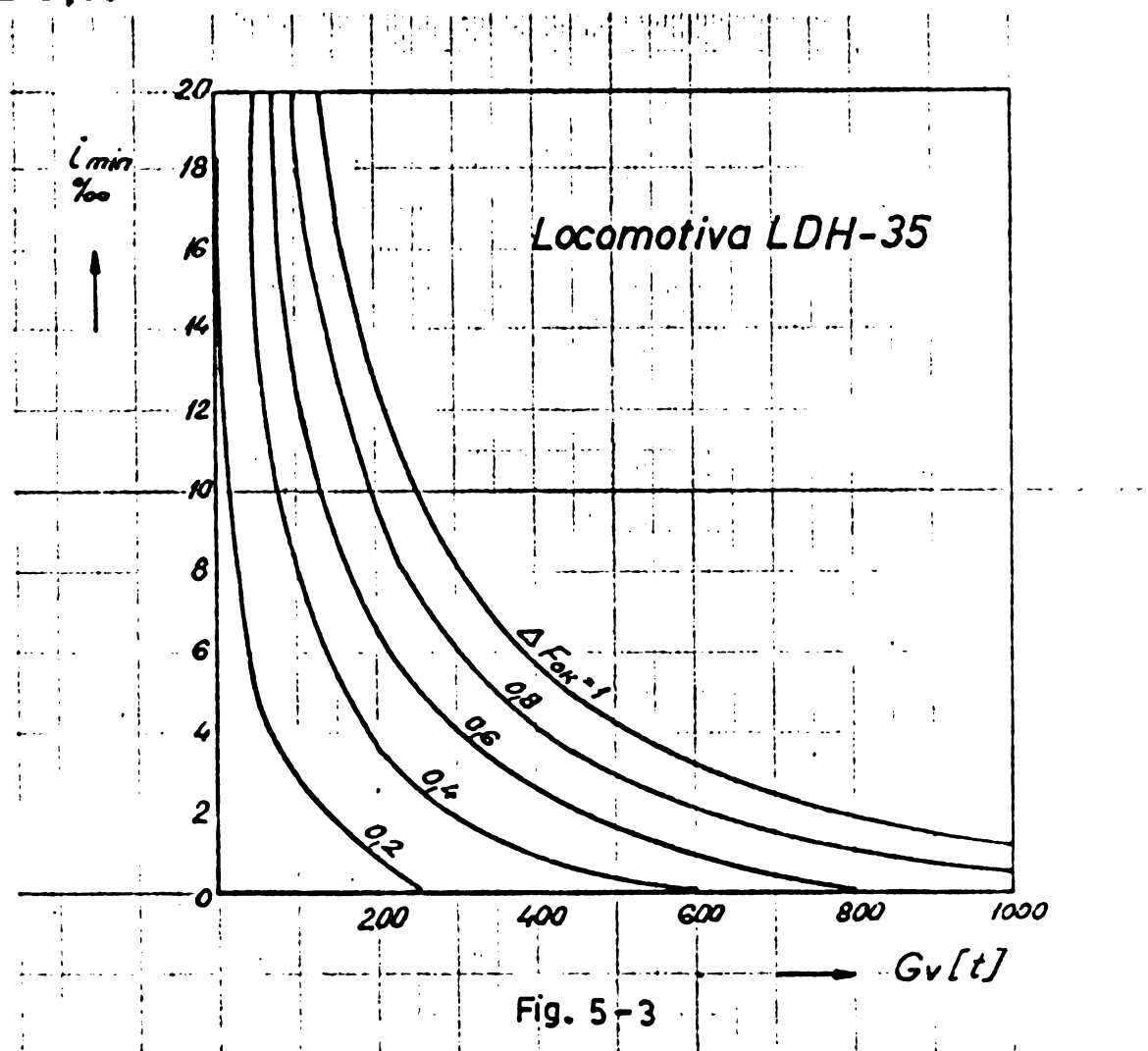


Fig. 5-3

La reglarea locomotivei, de exemplu pentru $\Delta V_k = 2$ km/h, $\Delta F_{ok} = 0,4$, un tonaj $G_v = 400$ t (fig.5-4,e) și la o constantă de timp t_k cunoscută, de exemplu $t_k = 5$ sec., funcționarea stabilă a locomotivei la comutare, are loc la circulația trenului pe toate rampele $i < 13\%$. Domeniul de stabilitate este deci, limitat de axele de coordonate și de dreptele $\Delta V_k = 2$ și $i = 13\%$.

Pentru verificarea regimului de funcționare pe un anumit profil de linie se introduc în diagramă valorile numerice efective ale coeficienților care caracterizează acest regim. Dacă punctele determinate de valorile acestor coeficienți se situează în domeniul de stabilitate, procesul de comutare în curs de desfășurare este efectiv stabil.

ΔV_k
[Km/h]

Locomotiva LDH-35
 $G_v = 400t$
 $\Delta F_{ok} = 0$

4

3

2

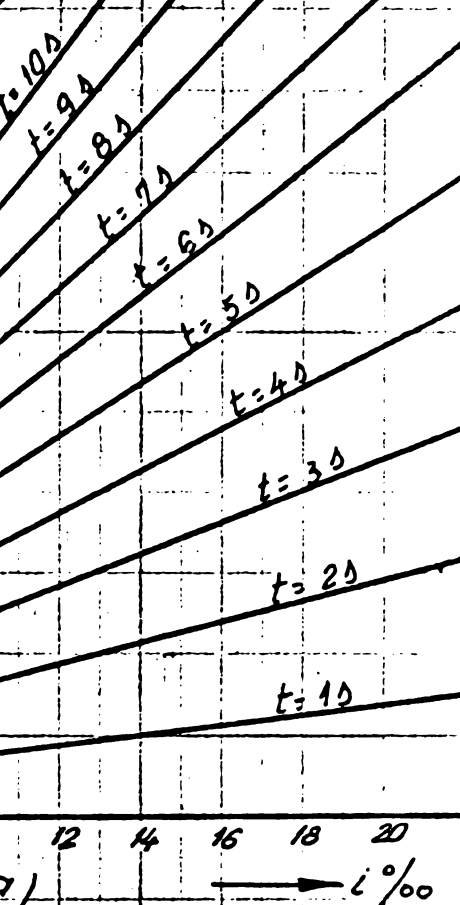
1

0

2 4 6 8 10 12 14 16 18 20

a)

→ $i \%$



ΔV_k
[Km/h]

Locomotiva LDH-35
 $G_v = 400t$
 $\Delta F_{ok} = 0,8$

4

3

2

1

0

2 4 6 8 10 12 14 16 18 20

b)

→ $i \%$

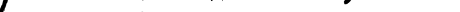
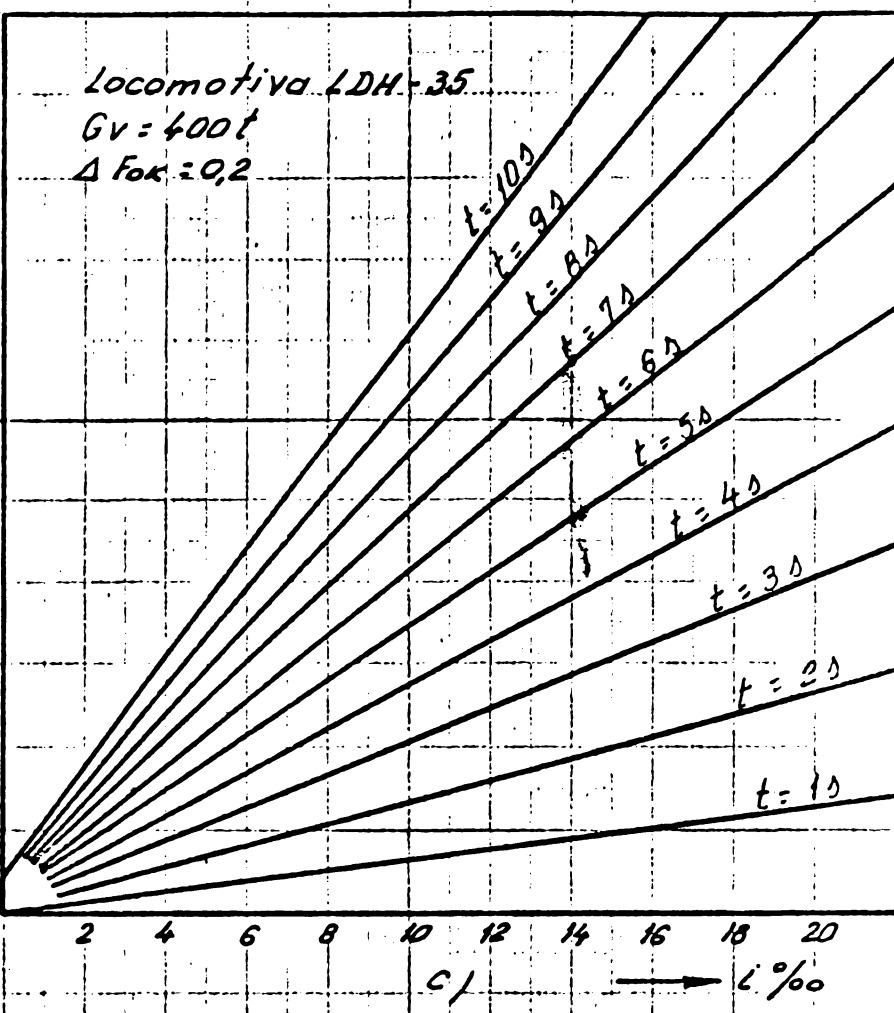


Fig. 5-4

ΔV_k
[Km/h]

Locomotiva LDH-35
 $Gv = 400t$
 $A_{For} = 0,2$



ΔV_k
[Km/h]

Locomotiva LDH-35
 $Gv = 400t$
 $A_{For} = 0,6$

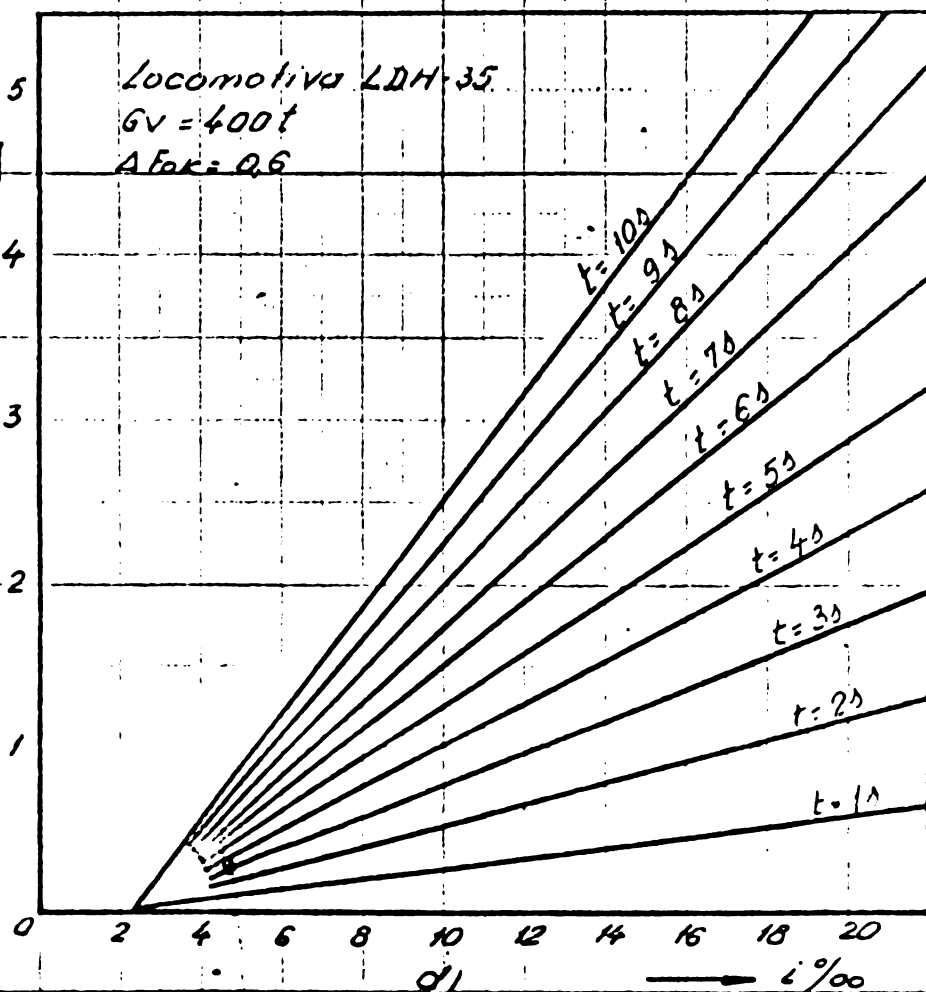


Fig. 5-4

ΔV_k
[km/h]

Locomotiva LDH-35
 $Gv = 400t$
 $\Delta F_{ok} = 0,4$

4

3

2

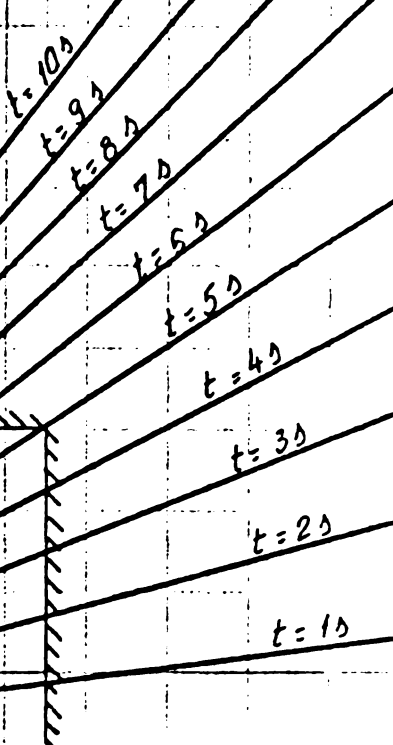
1

0

2 4 6 8 10 12 14 16 18 20

Fig. 5-4e

i %



ΔV_k
[km/h]

Locomotiva LDH-35
 $Gv = 200t$
 $\Delta F_{ok} = 0,4$

4

3

2

1

0

2 4 6 8 10 12 14 16 18 20

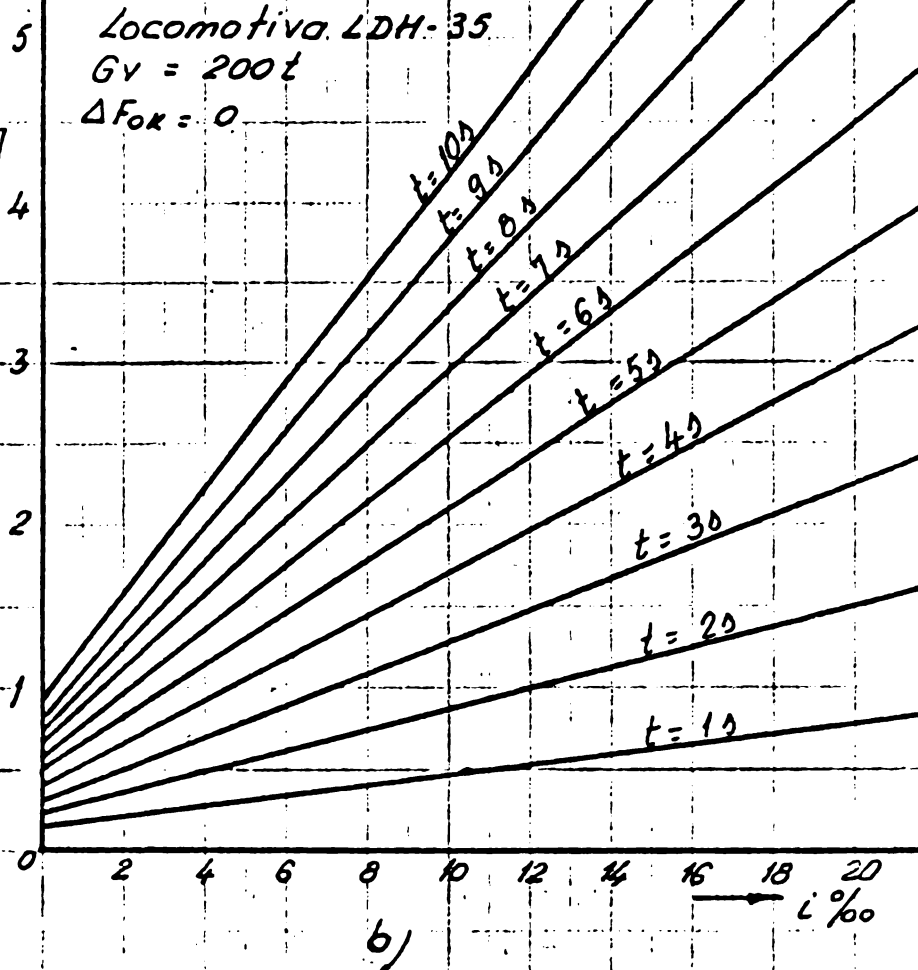
i %

Fig. 5-5

(a)

ΔV_k
[km/h]

Locomotiva LDH-35
 $G_V = 200t$
 $\Delta F_{ok} = 0$



b)

ΔV_k
[km/h]

Locomotiva LDH-35
 $G_V = 200t$
 $\Delta F_{ok} = 0,8$

0,5

1,5

2

2,5

2 4 6 8 10 12 14 16 18 20
 i %

c)

Fig. 5-5

5.2.3. Influența căderii forței de tractiune.

Pentru determinarea valorilor coeficienților ΔF_{ok} , t_k și ΔV_k care să asigure o comutare stabilă și o putere maximă la obadă, se trasează limitele de stabilitate în planul coeficienților (t_k , ΔF_{ok}).

Timpul de comutare t_k se poate determina din relația (4.25) :

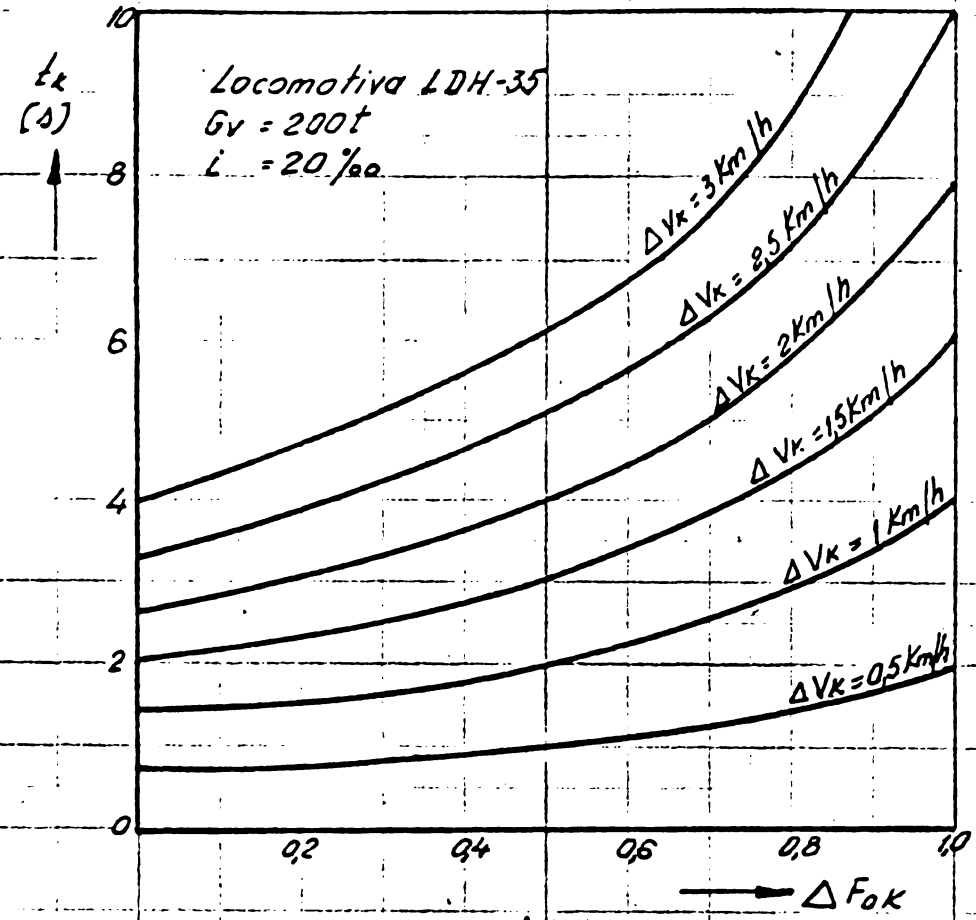
$$t_k = \frac{- (G_v + G_L)}{b_v G_v + b_L G_L} \ln \left[1 - \frac{\Delta V_k}{v_d + \frac{a_v G_v + a_L G_L}{b_v G_v + b_L G_L} + i \frac{G_v + G_L}{b_v G_v + b_L G_L} - \frac{F_{OI} \cdot \Delta F_{ok}}{b_v G_v + b_L G_L}} \right] \quad (5.2)$$

Variatia timpului de comutare t_k în funcție de ΔF_{ok} , pentru valori constante ale celorlalți parametri din relația (5.2), este arătată în figura 5-6. S-a considerat locomotiva diesel-hidraulică LDH-35, care remorcă un tonaj $G_v = 200$ t pe o rampă de $i = 12\%$ (fig.5-6,a) și $i = 20\%$ (fig.5-6,b).

La proiectarea locomotivei, folosind aceste diagrame, se poate determina sirul de perechi de valori maxime a lui ΔF_{ok} și t_k care elimină posibilitatea funcționării în regim instabil a locomotivei la rampă maximă cunoscută și la valoarea optimă adoptată a lui ΔV_k . Din aceste diagrame rezultă că la un $\Delta V_k = \text{const}$, la limita de stabilitate, odată cu mărirea timpului de comutare t_k , valoarea căderii forței de tractiune în timpul comutării trebuie să fie micșorată. Prin urmare se poate realiza o funcționare stabilă a locomotivei cu un timp de comutare mare dacă forța de tractiune în acest timp are o valoare corespunzătoare de mare.

Domeniul de stabilitate se găsește deasupra limitei de stabilitate la valorile adoptate $\Delta V_k = \text{const.}$ și $i = \text{const.}$

La valori mici ale forței de tractiune în timpul comutării (valori mici ale forței relative ΔF_{ok}), mărirea timpului de comutare a transmisiei se poate face numai printr-o creștere însemnată a forței de tractiune în timpul comutării, astfel încât căderea de viteză ΔV_k să rămână aceeași.



b)

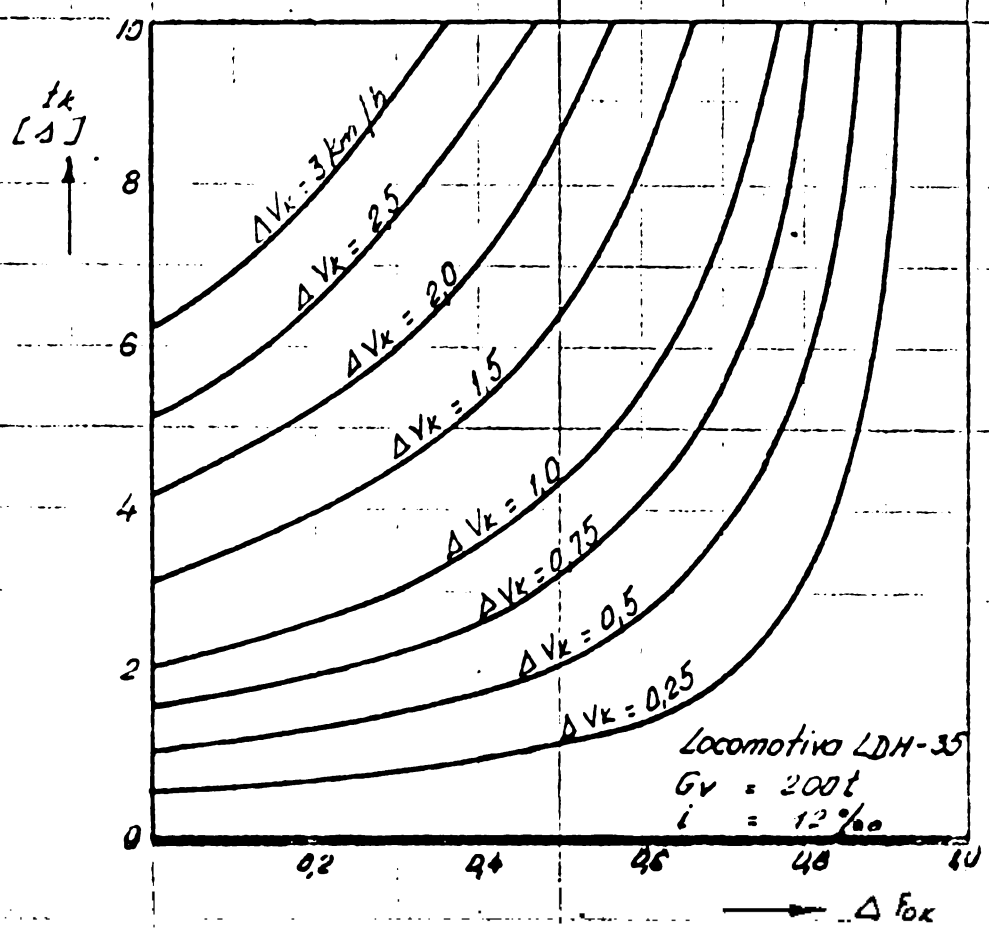


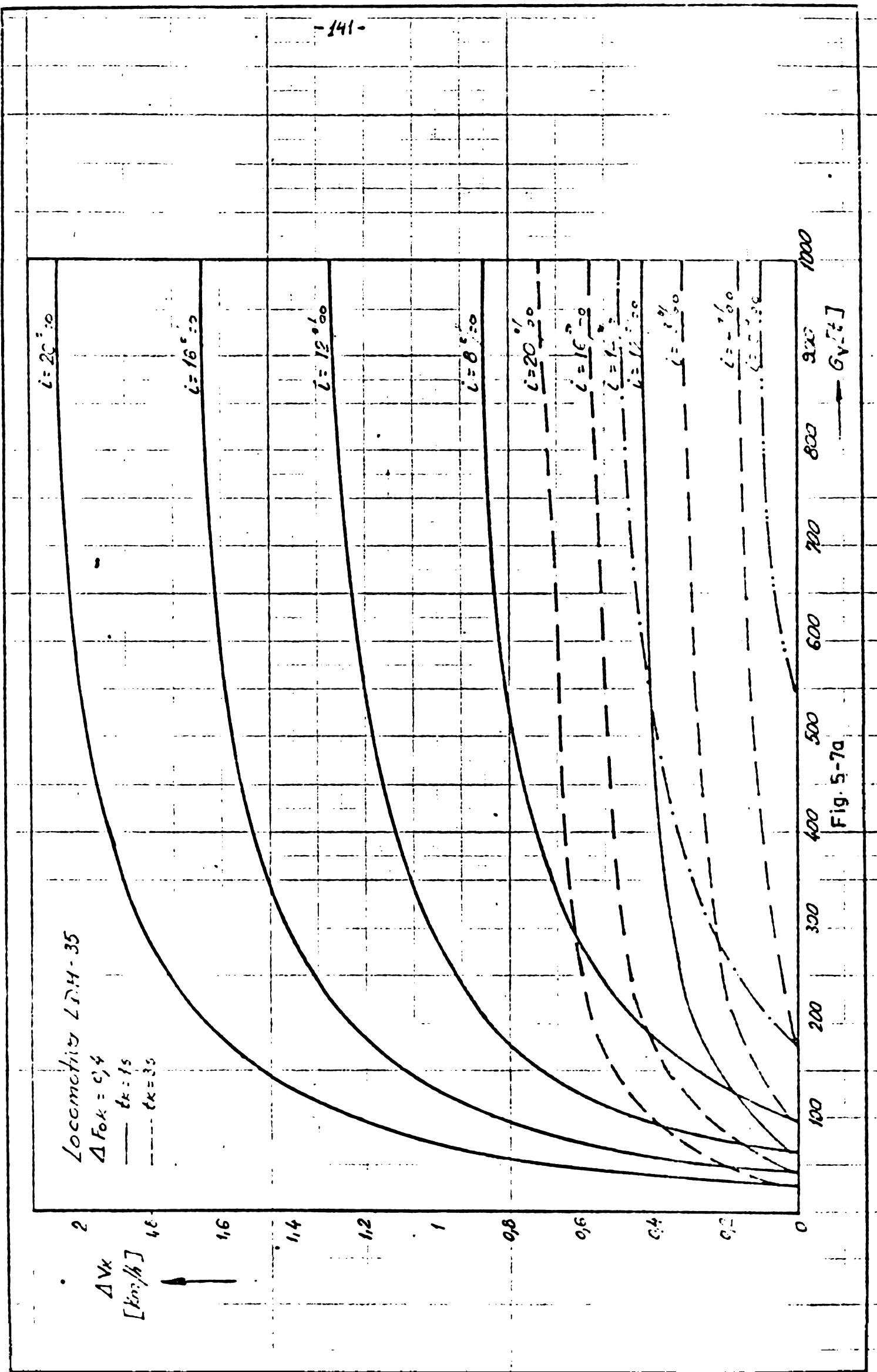
Fig. 5-6

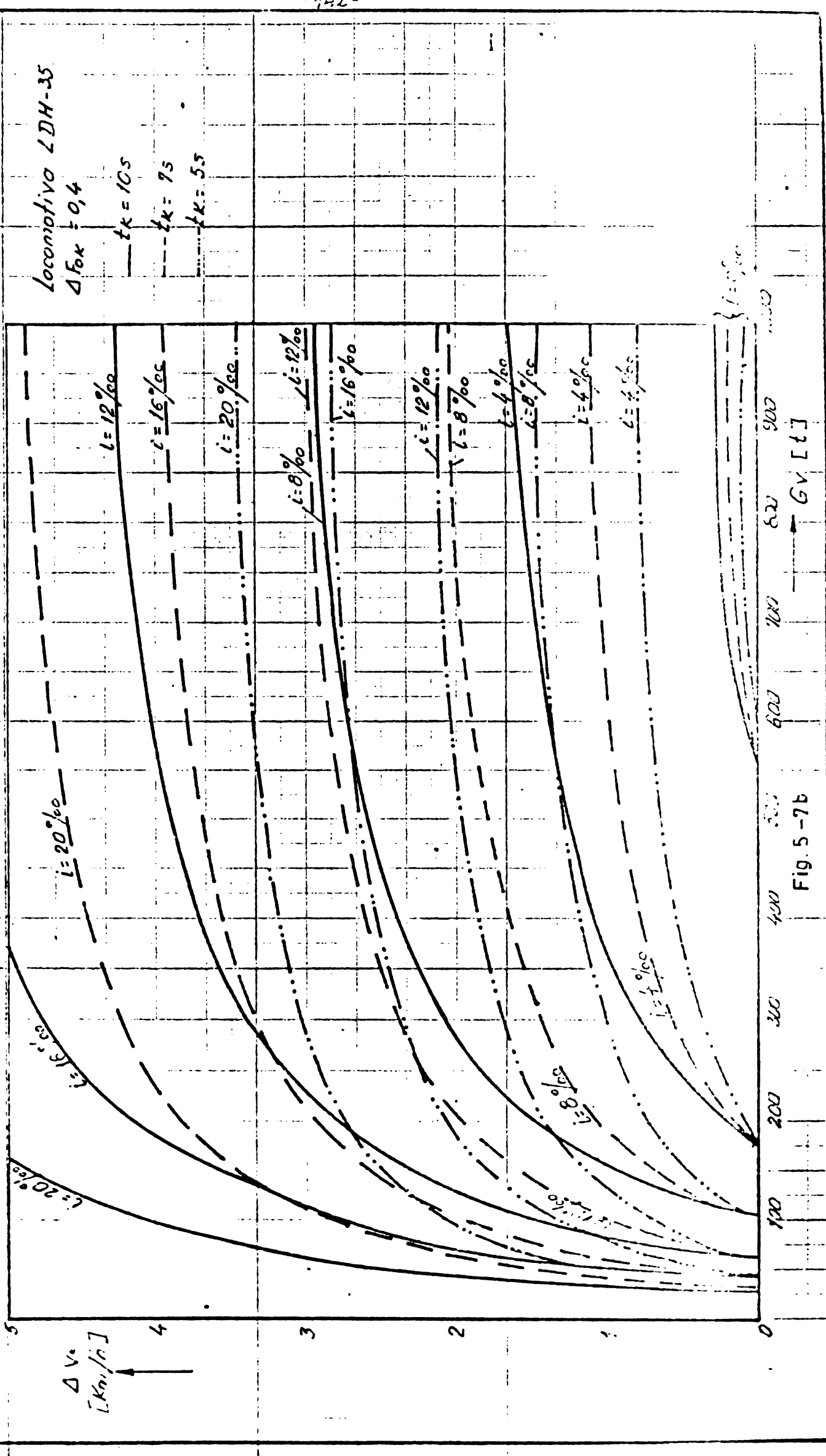
La valori mari ale forței relative ΔF_{ok} (căderi mici ale forței de tractiune în timpul comutării) o creștere a lui ΔF_{ok} permite utilizarea unui sistem de umplere și golire care poate asigura stabilitatea transmisiei și cu un timp mare de comutare.

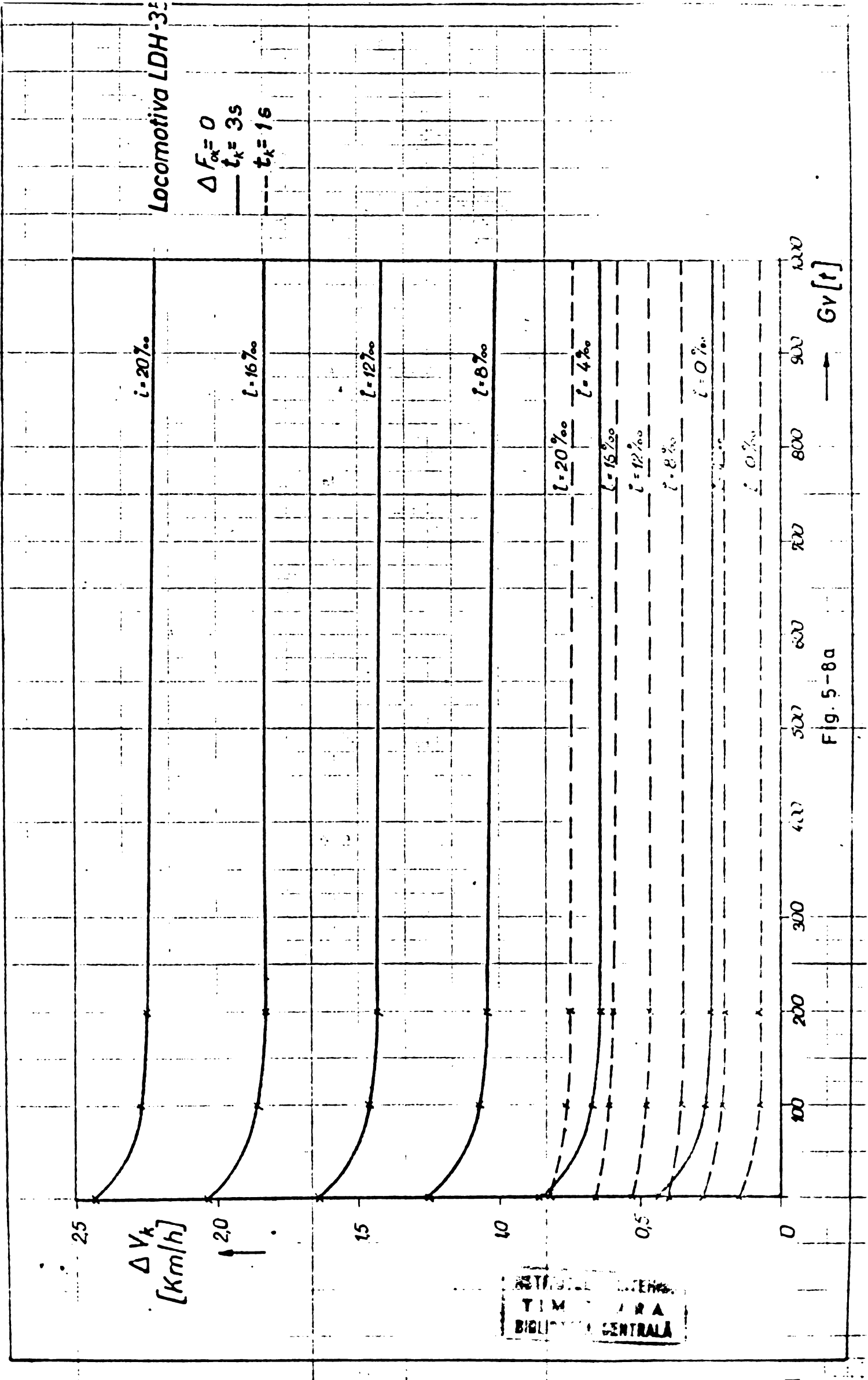
De aici rezultă că pentru a micșora puterea la obudă năutilizată în intervalul vitezelor de comutare (V_i , V_d) cu meninerea unui domeniu larg de stabilitate, este necesar în primul rînd să se acționeze în sensul micșorării forței de tractiune, adică pentru corelarea judicioasă a umplerii și golirii, și numai după ce s-a realizat acest lucru să se acționeze pentru micșorarea timpului de comutare. Aceasta cu atât mai mult cu cît, micșorarea timpului de comutare nu se poate face decât prin mărirea puterii preluată de la motorul diesel pentru sarcinile auxiliare, deci prin micșorarea puterii disponibile a motorului.

Cădereea de viteză ΔV_k și deci limita de stabilitate, este influențată de tonajul remorcat numai la valori apropiate de tonajul pentru care $\Delta V_k = 0$ (fig.5-7). La valori mari ale tonajului scădereea de viteză practic rămîne constantă cu creșterea tonajului indiferent de rampa pe care circulă trenul.

La întreruperea totală a fluxului de forță în procesul de comutare ($\Delta F_{ok} = 0$; $F_{ok} = 0$) modificarea tonajului remorcat influențează limita de stabilitate numai în cazul tonajelor foarte mici (fig.5-8). Cu creșterea valorii relative a forței de tractiune, variația căderii vitezei în procesul de comutare, se accentuează, însă pentru un timp de comutare $t_k = \text{const.}$ cădereea de viteză este cu atât mai mică cu cît ΔF_{ok} este mai mare.







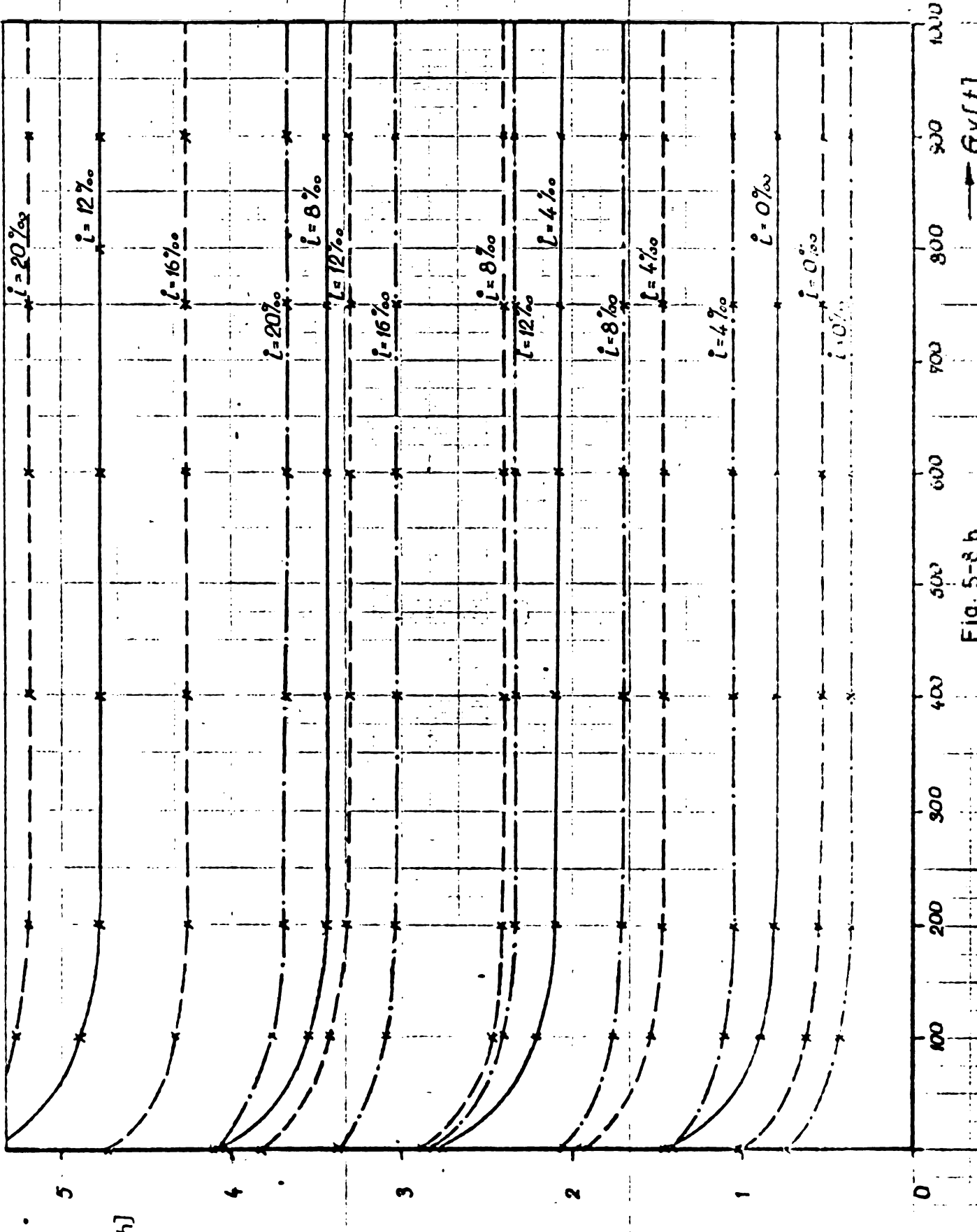
Locomotiva LDH-35 $\Delta F_{ok} = 0$ $t_K = 10s$ $t_K = 7s$ $t_K = 5s$ 

Fig. 5-8 b

6. INSTALAȚIA EXPERIMENTALĂ SI METODICA DE INCERCARE.

Cercetările experimentale privind determinarea parametrilor de comutare, a căderii forței de tracțiune și a puterii motorului diesel în timpul comutării la trecerea de pe treapta inferioară de viteză pe treapta superioară (comutarea directă) și la trecerea de pe treapta superioară pe cea inferioară (comutarea inversă) au fost executate în Laboratorul de locomotive și Catecere de material rulant de la Institutul politehnic din București.

6.1. Descrierea instalației experimentale.

Schema standului pe care au fost executate cercetările experimentale este arătată în figura 6-1. Standul se compune din motorul diesel M 538 de 350 CP la turăția de 1350 rot/min (1), transmisia hidraulică TH1 (4), care are în componență să două transformatoare hidraulice, și frâna hidraulică (6).

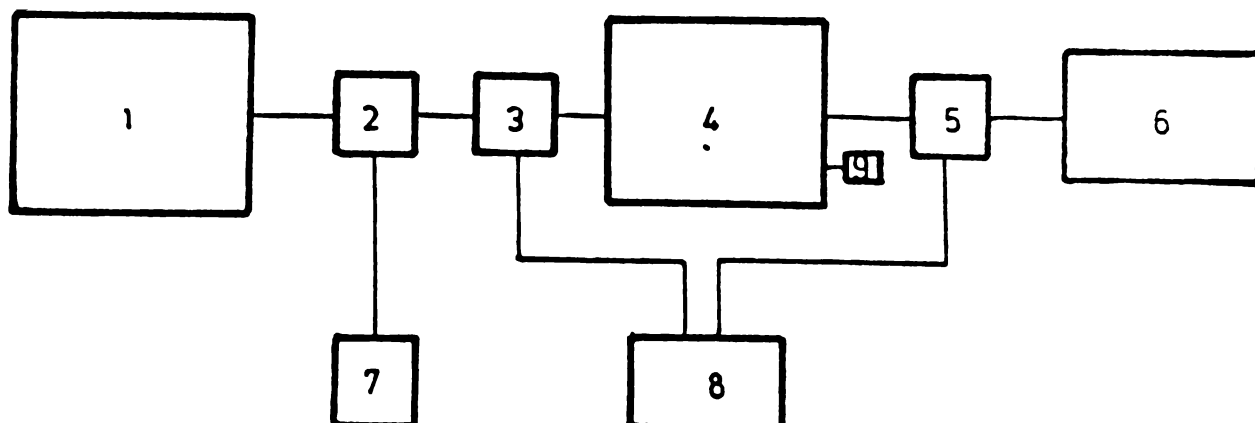


Fig.6-1

O vedere generală a standului este arătată în figurile 6-2 și 6-3.

Instalația pentru măsurările efectuate la regimurile staționare de funcționare a grupului motor diesel - transmisie hidraulică, în vederea determinării caracteristicilor de comutare directă, se compune din instalația electronică tip Maihac de măsurare a cuplului și turăției (poz.2 și 7 din figura 6-1), frâna hidraulică (6) și tahogeneratorul (9).



Fig. 6-2

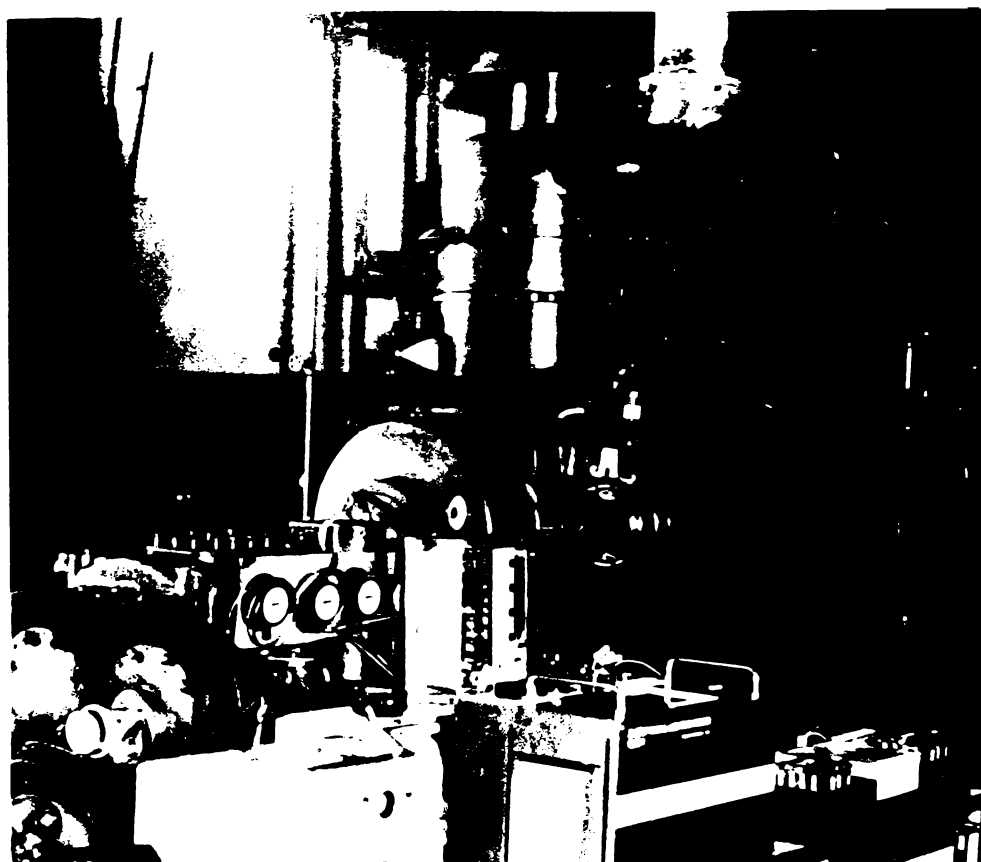


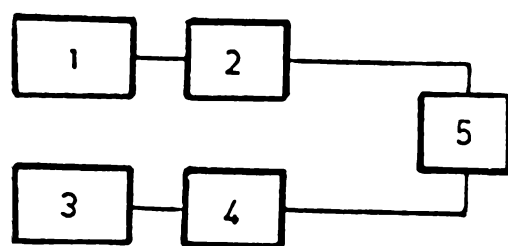
Fig. 6-3

Scheza bloc a instalatiei electronice tip Maikac pentru masurarea cuplului si turației este dată în figura 6-4.

Transductorul l montat pe arborele de intrare în transmisie hidraulică se vede în fotografie din figura 6-5.

Pentru determinarea caracteristicilor grafice a motor diesel - transmisie hidraulică în procesul de comutare s-a măsurat cuplul și turația la arborele de intrare în transmisie hidraulică (la ieșirea din motorul diesel) și la ieșirea din transmisie hidraulică. Măsurarea cuplului la arborele de intrare în transmisie

hidraulică și cel de ieșire din transmisia hidraulică s-a făcut cu ajutorul a două instalații electronice de tip Philips (pozițiile 5, 5 și 8 din figura 6-1).



1. traductor
2. oscilator
3. element de comparație
4. oscilograf
5. osciloscop

Fig. 6-4

Schema bloc a instalației electronice de măsurare a cuplului în rotație tranzistorii (fig.6-5) se compune din traductorul 1, circuitul oscilant 2, bobina de emisie 3, bobina de recepție 4, convertorul 5 și divizorul de tensiune 6 și

osciloscopul 7. Traductorul, circuitul oscilant și bobinele de emisie formează partea de măsură mobilă (oscilatorul) I care se montează pe arbore. Celelalte componente formează instalația fixă de măsură II (fig.6-6).

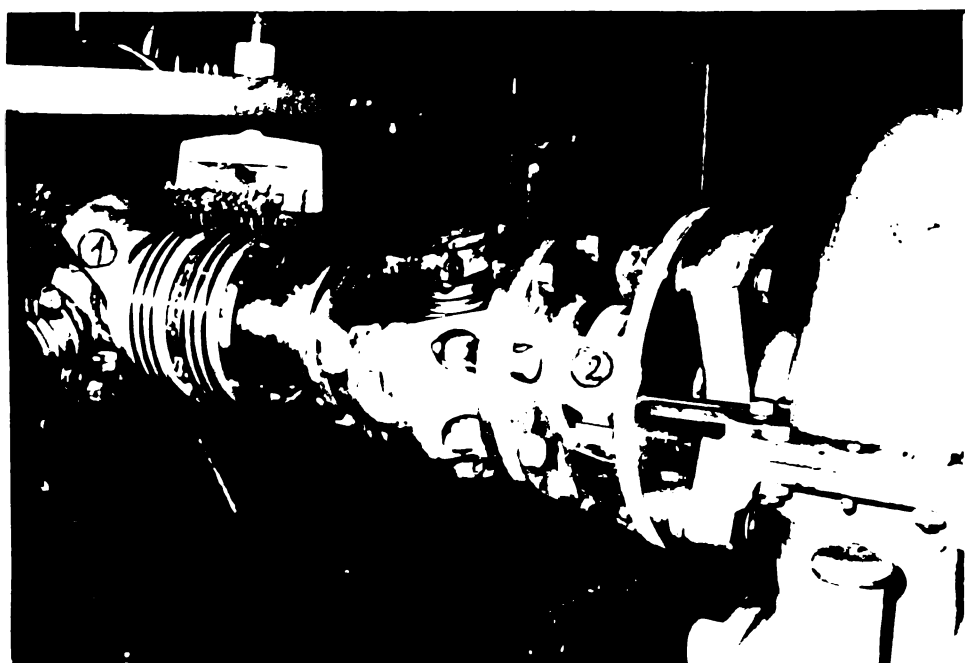


Fig. 6-5

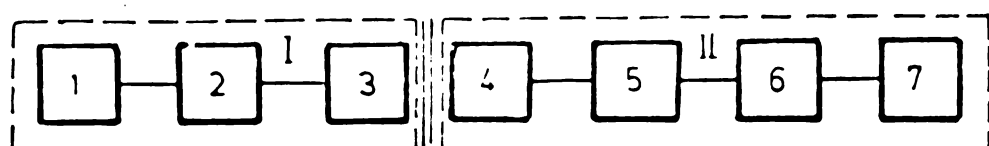


Fig. 6-6

- Arborele de intrare în transmisia hidraulică cu oscillatorul montat pe el se vede în fotografie din figura 6-5 (poziția 2), iar în fotografie din figura 6-7 se vede arborele de ieșire din transmisia hidraulică pe care se găsește montat oscillatorul celei de a doua instalații utilizate.



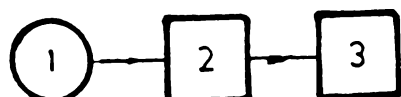
Fig. 6-7

Montajul părții fixe a instalației de măsură este redat în fotografie din figura 6-8.



Fig. 6-8

Măsurarea turării la intrarea și ieșirea din transmisia hidraulică s-a făcut cu aparatul redat în schema baza (figura 6-9).



1. tăhogenenerator de curenț continuu
2. divizor de televiziune
3. oscilograf

Fig. 6-9

Montajul general al întregii instalații de măsurare este redat în fotografie din figura 6-10.

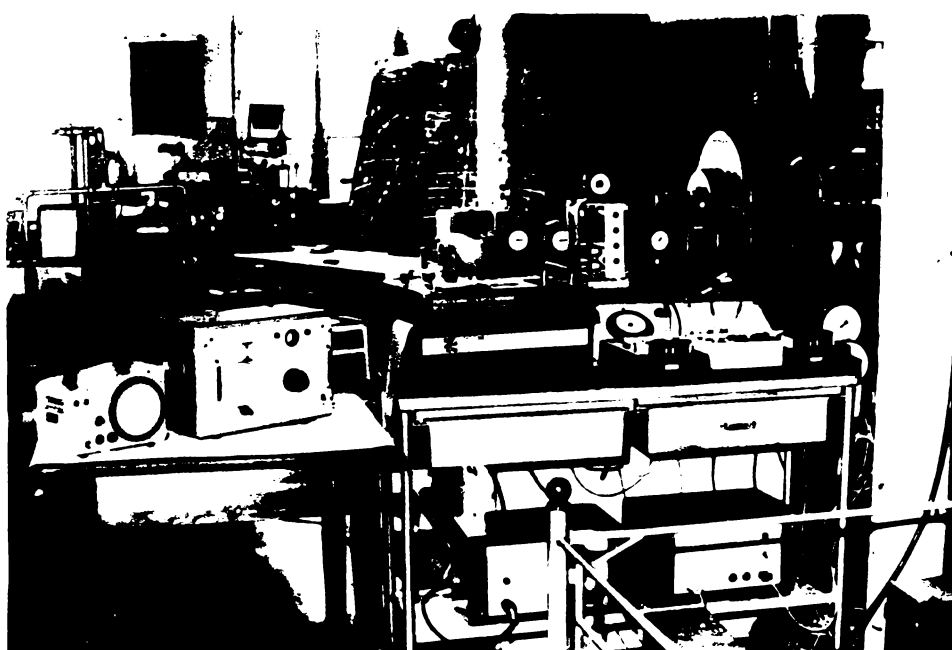


Fig. 6-10

6.2. Metodica de încercare.

6.2.1. Determinarea caracteristicii de comutare directă.

S-a măsurat cuplul și turăția la arborele de intrare și ieșire din transmisia hidraulică pentru cinci poziții ale controlerului (cinci sarcini ale motorului).

Pentru fiecare poziție a controlerului s-a determinat cuplurile la intrare C_1 și ieșire C_2 și turăția motorului diesel n_d pentru diferite turății la ieșires din transmisie (adică pentru diferite viteze ale locomotivei) atât la funcționarea transmisiiei pe transformatorul de pornire cât și pe cel de mers.

Cuplul la arborele de intrare s-a determinat cu relația:

$$C = 1,39 \cdot \Delta \ell_1 + 1,38 \Delta \ell_2 \quad [\text{daN.m}]$$

unde:

$\Delta l_1 = l_1 - l_{10}$ și $\Delta l_2 = l_2 - l_{20}$ - alungirea corzilor de măsură ale traductorului instalației Maihac;
 l_1, l_2 - lungimile corzilor de măsură în starea tensionată a arborelui;
 l_{10}, l_{20} - lungimea inițială a corzilor de măsură cînd arborele este descărcat.

Lungimile l_1, l_2, l_{10} și l_{20} s-au măsurat.

Turațiile n_d și n_2 s-au citit la turometră, iar cuplul la ieșire C_2 s-a măsurat cu frîna hidraulică.

Rezultatele măsurătorilor sunt date, în valori relative, în figurile 3-3 și 3-5.

6.2.2. Determinarea caracteristicilor grupului motor diesel - transmisie hidraulică în procesul de comutare.

Pentru determinarea programului de comutare și a caracteristicilor de comutare inversă, s-au stabilit caracteristicile grupului motor diesel - transmisie hidraulică în procesul de comutare. S-a înregistrat variația cuplului la arborele de intrare și ieșire din transmisia hidraulică la diferite sarcini ale motorului diesel și diferite turații ale arborelui de ieșire în momentul inițial (la golire) sau final (la umplere) al procesului de comutare.

In aceste condiții s-au ridicat oscilograme pentru următoarele faze ale procesului de comutare:

- umplerea transformatorului de pornire;
- golirea transformatorului de pornire;
- umplerea transformatorului de mers;
- golirea transformatorului de mers;
- comutarea de pe treapta inferioară de viteze pe treapta superioară;
- comutarea de pe treapta superioară de viteze pe treapta inferioară.

Rezultatele obținute au fost prezentate în capitolul 4 paragrafele 4.1.2 ... 4.1.4.

Pentru etalonarea instalației Philips s-a folosit metoda deschilibrului punții din mărci tensometrice cu o rezistență cunoscută montată în paralel pe unul din brațe.

La ridicarea fiecărei oscilograme s-a fixat inițial sarcina motorului diesel la valoarea aleasă, iar turăția de ieșire din transmisia hidraulică s-a fixat prin intermediul frânei hidraulice. Pentru procesul de umplere fiecare oscilogramă s-a repetat de atîtea ori pînă cînd la sfîrșitul umplerii s-a stabilizat turăția aleasă la ieșirea din transmisia hidraulică.

Pentru procesul de golire și comutare regimul de funcționare a locomotivei s-a ales pentru diferite valori ale turăției la ieșirea din transmisie și diferite sarcini ale motorului diesel în momentul inițial al procesului respectiv.

Pentru fiecare oscilogramă, cu scopul de a înălțura eventualele greșeli, s-au verificat parametrii regimului stabilit cîtiți pe oscilogramă cu valorile acestor parametrii determinați cu ajutorul instalației Maihac și a aparaturii de bord a motorului și transmisiiei.

...

...

...

-

7. CONCLUZII.

1. Din calculele făcute, care au fost verificate experimental pe stand, a rezultat că funcționarea corectă a locomotivelor diesel cu transmisie hidraulică compusă din transformatoare hidrodinamice de cuplu depinde în mare măsură și de modul de efectuare a comutării treptelor de viteze.

2. Pentru determinarea caracteristicilor optime de comutare la utilizarea cât mai completă a puterii motorului diesel s-au stabilit criteriile definite în paragraful 2.2., caracterizate prin indicii:

- coeficientul de utilizare a puterii motorului diesel

$$\varphi_k = \varphi_{dI} / \varphi_{dII} \text{ (paragraful 2.3.2);}$$

- coeficientul căderii randamentului transmisiiei

$$\delta\gamma_t = \gamma_{thI} / \gamma_{thII} \text{ (paragraful 2.3.3);}$$

- coeficientul de transmitere a puterii la obadă

$$\gamma_k = \gamma_{oI} / \gamma_{oII} \text{ (paragraful 2.3.4);}$$

- coeficientul căderii forței de tracțiune

$$\delta F_o = F_{oI} / F_{oII} \text{ (paragraful 2.3.4);}$$

- coeficientul de stabilitate la comutare

$$S_k = V_i / V_d = 1 - \Delta V_k / V_d \text{ (paragraful 4.2.1).}$$

3. Valorile optime ale coeficienților de comutare determină programele de comutare :

- din ecuația $\gamma_k - 1 = 0$ rezultă programul de comutare n_{df}/n_{dn} care asigură o schimbare a treptelor de viteze fără cădere de forță de tracțiune cauzată de caracteristicile locomotivei;

- din ecuația $\delta\gamma_t - 1 = 0$ rezultă programul de comutare n_{dt}/n_{dn} care asigură o comutare fără cădere de randament;

- din coeficientul de stabilitate la comutare rezultă programul de comutare care asigură o comutare stabilă.

4. Deoarece fiecare program de comutare determină o anumită caracteristică de comutare, iar caracteristicile de comutare F_{of}/F_{oi} și F_{ot}/F_{oi} având legi de variație diferite [relațiile (3.20), (3.35) și (3.36)], rezultă că nu se poate realiza o comutare la care să se asigure, în același timp o variație continuă atât a forței de tracțiune cât și a randamentului. Din această cauză, elevarea

caracteristicii de comutare trebuie făcută în funcție de destinația și condițiile concrete de exploatare ale tipului dat de locomotivă.

La locomotivele de mare viteză se alege, pentru toate regimurile de funcționare ale motorului diesel, caracteristica de comutare directă (F_{of}/F_{oi})_d care asigură o schimbare a treptelor de viteze fără căderea forței de tractiune cauzată de caracteristicile locomotivei.

La locomotivele de marfă, destinate liniilor principale, pentru sarcina maximă a motorului diesel și sarcini apropiate de aceasta se alege caracteristica de comutare directă (F_{of}/F_{oi})_d, iar pentru sarcini parțiale ale motorului diesel se alege caracteristica de comutare directă (F_{o_2}/F_{oi})_d care asigură o variație continuă a randamentului transmisiiei.

La locomotivele utilizate în serviciul de manevră sau pe linii secundare se alege aceeași caracteristică de comutare directă ca la locomotivele de marfă destinate liniilor principale.

5. Din caracteristicile transmisiiei hidraulice la umplere și golire, ridicate experimental (figurile 4-5...4-8) rezultă că realizarea unei comutări fără căderea forței de tractiune se poate face practic foarte greu, deoarece la schimbarea sarcinii motorului diesel trebuie modificate și legile de deplasare a sertarului de comandă a distribuitorului din sistemul de umplere și golire. Chiar și la un singur regim de funcționare a motorului diesel, realizarea acestei condiții necesită un sistem de comutare foarte complicat (relațiile 4.12 și 4.15).

6. Viteza de comutare inversă depinde în primul rînd de căderea vitezei în timpul comutării, iar pentru o anumită valoare a căderii vitezei depinde de tipul de comutare și de rezistențele de mers (relațiile 4.25 și 4.47). Influența acestor factori este calculată și arătată în diagramele din figurile 5-1...5-3.

7. Cu ajutorul relațiilor (4.25) și (4.46) se determină căderea de viteză ΔV_k care satisfac condițiile funcționării stabile a sistemului de comutare automată la anumite condiții externe cunoscute. Posibilitatea reglării pe stand a sistemului pentru valorile stabilite de viteza de comutare inversă, permite reducerea considerabilă a volumului lucrărilor de ajustare, în timpul curselor de probă ale locomotivei.

8. La proiectarea locomotivei se pot determina, prin metoda stabilită, timpul de comutare și căderea forței de tractiune

care să asigure o funcționare stabilă a locomotivei la comutare și în condițiile utilizării maxime a puterii la obadă.

9. Rezultatele experimentale obținute la încercarea grupului motor diesel M 583 - transmisie hidraulică TH1, au confirmat valabilitatea metodei teoretice stabilită pentru determinarea programului de comutare și a caracteristicilor de comutare.

Principalele contribuții ale autorului la rezolvarea problemei comutării treptelor de viteze sunt:

1. S-au determinat cinci criterii pentru aprecierea procesului de comutare a treptelor de viteze, caracterizate prin:

- coeficientul de utilizare a puterii motorului diesel, în zona de comutare (relațiile 2.2; 2.38...2.41);

- coeficientul căderii randamentului transmisiei la comutare (relațiile 2.7; 2.50...2.52);

- coeficientul de transmitere a puterii la obadă la comutare (relațiile 2.12; 2.53...2.58);

- coeficientul căderii forței de tracțiune la comutare (relația 2.10);

- coeficientul stabilității la comutare (relațiile 2.1 și 4.25).

2. Pentru valorile optime ale coeficienților de comutare s-au stabilit programele de comutare (relațiile 3.2...3.18; 3.22; 3.34; 3.37) pentru obținerea caracteristicilor de comutare care realizează separat fie o variație continuă a forței de tracțiune (relațiile 3.20; 3.27; 3.32; 4.51), fie o variație continuă a randamentului transmisiei (relațiile 3.35; 3.36; 4.51).

3. Pe baza experiențelor efectuate s-au stabilit caracteristicile grupului motor diesel - transmisie hidraulică la umplerea și golirea transformatoarelor hidrodinamice și la comutarea treptelor de viteze (figurile 4-5...4-8 și 4.11).

4. Din programele de comutare, determinate pe baza coeficienților de la punctul 1, s-a stabilit programul optim la comutarea directă și inversă în funcție de condițiile concrete de exploatare ale tipului dat de locomotivă (relațiile 3.52 și 4.56).

5. S-a analizat influența timpului de comutare, a căderii forței de tracțiune și a rezistenței de mers asupra mărimi zonei de stabilitate a procesului de comutare (fig.5-1...5.8). Cu aceste stabilite, se pot determina, la proiectarea locomotivei, timpul de comutare și căderea forței de tracțiune care asigură o funcționare stabilă a locomotivei la comutare, în condițiile utilizării maxime a puterii la obadă.

B I B L I O G R A F I E

1. Aleksapoliskii D.Ea. - Gidrodinamiceskie peredaci. Masgiz, 1963.
2. Başkuli E.V. - Ob uciete coefitienta ispolzovaniich mognosti locomotivov v tehnico-ekonomiceskih rascetah. Vestnik Vsesoiuzn.naucino-issled.in-ta j-d transporta, 1974, nr.5.
3. Bärgläzan A, Dobindă V. - Turbotransmisiile hidraulice. Ed. tehnică Bucureşti, 1957.
4. Bezicovici I.S. - Calcule aproximative. Ed.Tehnică, 1952.
5. Bîkov E.M. - Optimalinsea prozracinosti gidrotransformatorov pri ih sovmestnoi работе s dvigateleami vnutrennego sgoraniesa. Trudi MIIT Vip.184, Moskva 1964.
6. Bîkov E.M. - K voprosu sravnitelnoi otenki-gidravliceskih silovih ustavovok. Trudi MIIT Vip.184, Moskva 1964.
7. x x x - Calcule de tractiune (indrumpător). MTPc, Bucureşti, 1971.
8. David I. - Influența parametrilor grupului motor diesel - transmisie hidraulică - tren asupra procesului de comutare a treptelor de viteze a locomotivelor diesel.CFR 040-DHC. Buletinul ICPTT vol.II - 1975.
9. David I. - Determinarea caracteristicilor de comutare a treptelor de viteze la locomotivele diesel cu transmisie hidraulică. Buletinul ICPTT vol.II - 1975.
10. Falco F, Corazza G. - Tecnica di misura delle oscillazioni torsionali di una sala montata. Ingegneria Ferroviaria nr.10, 1971.
11. Gaebler G.A. - Die hydrodynamische Kraftübertragung in Dieseltriebfahrzeugen der D.B. ETR, nr.3 - 1966.
12. Golovanov S.S. ș.a. - Voprosi povišenieia nadejnosti hidravlicheskih peredaci promišlennih teplovozov. Trudi MIIT, vip.363, Moskva 1971.
13. Golovanov S.S., Skuev V.B. - Osobennosti tècnica rabociei jidkosti v položti gidrotransformatora, Trudi MIIT, vip.363, Moskva 1971.
14. Gordeev A.S. - Voprosi analiza i sinteza gidrodinamiceskih peredaci dieselnih locomotivov. Trudi MIIT vip.175, Moskva 1963.

15. Grünwald B. - Teoria, construcția și calculul motoarelor pentru autovehicule rutiere. Ed. didactică și pedagogică, București, 1969.
16. Gurski P.A., Popov G.V. - Rezultatî tiagovo-teplotehniceskikh ispitanii teplovoza serii MG-1, Vestnik VNIIJT 1953 nr.2.
17. Iusko V.I. - K postroieniu sistem avtomaticeskogo upravleniya odnocirleştionnih gidrodinamiceskikh peredaci teplovozov. Trudî MIIT vîp.149, Moskva 1962.
18. Iusko V.I. - Despre procesele tranzitorii în transmisiile hidrodinamice cu mai multe circuite de pe locomotive. Trudî MIIT vîp.243 Moskva 1967.
19. Jucikov M.G., Puškarev I.F. - Elektriceskie sistemi avtomaticeskogo upravleniya gidromehaniceskimi peredacemi otechestvennih teplovozov. Biulleteni tehniko-ekonomiceskoi informații nr.8 (50), Moskva 1960.
20. Kadar I. - Hidrodinamicus erőátvitel körfalyam are meretezese. Budapest 1962.
21. Kollar R. - Nouester Stand in der Entwicklung von Liquididraulischen Lokomotiven. Eisenbahningenieur 15(1960) nr.11.
22. Kickbusch E. - Föttinger-Kupplungen und Föttinger-Getriebe. Springer Verlag, Berlin/Göttingen/Heidelberg 1965.
23. Kirilov I.S. - Usoversenstvovanie metodov issledovaniâ karakteristik teplovozov s gridravliceskoi peredace. Vestnik VNIIJT 1968 nr.8.
24. Kulicov N.K. - Issledovanie dinamichi i economicchi avtomobila. Trudî NAMI, vîp.69, 1953.
25. Kulikov N.K. - Opredelenie optimalinîh rejimov dvigatelya vnutrennego sgoranija s hidrotransformatorom. Avtomobila i tractornaea promišlenosti, 1952 nr.2.
26. Kulikov N.K. - Raschet hidrodinamiceskikh transformatorov. Sbornik NATI vîp.115, Maggiz 1960.
27. Kurzeli I.A. - Rasciot razgona sistemî s hidrodinamicheskim transformatorom. Vestnik mašinostroenie 1968 nr.5.
28. Kuzmin G.L. - K voprosî o dinamike hidrotransformatora. Trudî MIIT vîp.256, Moskva 1968.
29. Kuzmin G.L. și Gordeev A.S. - Analiticeskii rascet neprerezincogo hidrotransformatora. Trudî MIIT vîp.123. Transjeldorizdat 1960.

30. Lapidus V.I., Petrov V.A. - Gidromekaniceskie peredaci avtomobilei. Maşgiz Moskva, 1961.
31. Laptev I.N. - Avtotractornie adnostupenciatnje gidrodinamiceskie transformatorî. Maşgiz, Moskva 1965.
32. Lippl E. - Die Entwicklung der hidraulischen Getriebe bei Dieseltriebfahrzeugen. Eisenbahningenieur, 17(1960), nr.2.
33. Lippl E. - Rangiermotorlokomotiven. ETR nr.5, 1967.
34. Messerschmidt W. - Dieselelektrische und dieselhydraulische Streckenlokomotiven in Italien. ETR nr.1/2, 1967.
35. Muntean G. - Calculul tractiunii trenurilor și frâne automate. Ed. didactică și pedagogică București 1964.
36. Muntean G. - Tractiunea trenurilor și exploatarea materialului rulant. Litografia IPT, Timișoara, 1973.
37. Narbut A.N. - Gidrotransformatorî. Maşinostroienie Moskva 1966
38. Nichita Gh. - Contribuții la studiul funcționării în comun a grupului motor diesel - cuplaj hidraulic - cutie de viteză și vehicul de cale ferată. Teză de doctorat. I.R.T. București, 1972.
39. Popa Al, Chimu B, Neagul Al. - Tractiunea trenurilor. Ed. didactică și pedagogică București, 1965.
40. Popa Al. - Comanda și reglarea automată a vehiculelor de tractiune feroviară. Centrul de documentare și publicații tehnice - MTTc, 1974.
41. Popov G.V. - O rascete ustroistv avtomatiki perekliuchenia teplovozih gidroperedaci. "Vestnik Vsesoiuznogo nauchno-issledovateliskogo instituta j.d.transporta", 1961 nr.8.
42. Popov G.V. - Traits caractéristiques du fonctionnement conjugué du moteur diesel et de la transmission hydraulique. Rail International, Juin 1972.
43. Popov G.V. - Issledovanie kontrobojnogo peredachi sistemî avtomaticheskogo upravleniya strel'yaniami reorosti gidravlicheskih peredaci. Trudi VNIIT vîp.254, Moskva 1963.
44. Puškarev I.F. - Uravnenia dvijenija sistemi avtomaticheskogo upravlenija gidromechaniceskoj peredacei teplovoza. Trudi LILJT vîp.176, Leningrad 1961.
45. Prokofiev V.N. - O harakteristicieskih stvoistvakh gidrodinamiceskih transformatorov. Trudi MVTU 18. Maşgiz, 1953.

46. Pušcarev I.F. - Eksperimentalinoe issledovanie elektriceskoi sistemi avtomaticheskogo upravleniya gidroperedacei teplovoza. Trudi LIIJT vyp.179, 1960.
47. Puškarev I.F. - Graficeskoe opredelenie ustoicivosti sistemi avtomaticheskogo upravleniya gidromehanicheskoi peredaci teplovoza. Trudi LIIJT vyp.184, 1962.
48. Saburov F.P. - Osnovnie upravleniya dinamiki perecliucenia stupenei scorosti v mongotirculeacionnykh gidroperedaceah teplovozov. Trudi LIIJT vyp.232, Leningrad 1964.
49. Sauer K.H. - Eine neue Baureihe dieselhydraulischer Henschel-Lokomotiven. Glasers Annalen, nr.11 - 1966..
50. Segal L. - Contribuții la studiul dinamicii sistemelor de comandă și reglare automată a locomotivelor diesel-electrice, la funcționarea cu economicitate optimă a motorului diesel. Teză de doctorat. I.P.București, 1970.
51. Semciastnov I.P. - Gidrauliceskie peredaci teplovozov. M. Mașgiz, 1961.
- 52.. Semciastnov I.P., Golovanov S.S. - Vibor gidrotransformatorov i gidromuft dlea gidroperedaci teplovoz. Iz. Mașinostrojenie, Moskva 1965.
53. Stepanov A.D. - Avtomaticheskoe regulirovanie mașinosti v teplovozah i gazoturbovozah. Moskva. Mașinostrojenie, 1964.
54. Taran T. - Influența comutării transmisiei asupra caracteristicilor de tractiune ale locomotivei diesel-hidraulice. Revista Căilor Ferate nr.11/1967.
55. Taran T. - Contribuții la studiul influenței temperaturii lichidului de lucru al transmisiei cu transformator hidraulic de cuplu asupra caracteristicilor de tractiune ale locomotivei diesel-hidraulice. Teză de doctorat. I.P.București, 1974.
56. Tolkacev A.V. - O cialennom metode rešeniesi uravneniesa dvijenia poezda. Vestnik VNIIJT, 1972 nr.7.
57. Uzmenov X.G.. - Structuri sintez sistemi avtomatiki perekliučenija teplovoznoi gidromehanicheskoi peredaci. Trudi MIIT vyp.257, Moskva 1968.
58. Uzmenov X.G. - C rascietu tenterobejnogo šarikovogo perecliucitelia. Izvesties vuzov MVO. Mașinostroenie 1968, nr.9.
59. Uzmenov X.G. - Avtomatika perekliučeniesa teplovoza na struinih elementah. Izvesties vuzov MVO. Mașinostroenie 1968, nr.2.

60. Varga I. - Vasuti Diesel-vontatójárművek mechanikus és hidrodinamikus hajtása. Budapest, Tankönyvkiadó, 1964.
61. Volodin A.I, Fofanov G.A. - Rejimí stendových ispítanii teplovozních dizelei. Vestnik VII JT nr.8/1960.
62. Volodin A.I. - Ob ekonomicnosti teplovozních dizelei v ekspluatačii. Vestnik VNIIJT nr.3/1959.
63. Vanseidt V.A. - Motoare diesel. Ed.Tehnică Bucureşti 1959.
64. Völker H. - Relative Fahrkennlinien für Schienenfahrzeuge mit hidrodynamischer Kraftübertragung. Glasers Annalen 91(1967) nr.11.
65. Vonogradov O.G. - Rascet perehodníh rejimov rabotí teplovoza s gidroperedacei. Vestnik Vsesciuzn.naucin.-issled. in-ta j-d transporta nr.6/1966.
66. Zăgănescu I. - Locomotive și automotoare cu motoare termice. Ed.didactică și pedagogică, Bucureşti 1972.
67. Zăgănescu I, Popa Al, Taran T. - Transmisii hidraulice utilizate pe locomotivele diesel. Ministerul Transporturilor Bucureşti 1970.
68. Zăgănescu I. - Stand de încercat locomotive diesel de cale îngustă. Revista Căilor Ferate nr.9/1959.
69. Zăgănescu I, David I. ş.a. - Stabilirea legii de variație a curentului de excitație independentă a generatorului locomotivei diesel-electrice la funcționarea motorului diesel după o caracteristică de consum optim de combustibil. Buletinul științific și tehnic I.P.T. Tom 14(28), 1969.
70. Zăgănescu I, David I. - Studiul variației caracteristicilor de tractiune ale locomotivelor diesel-hidraulice la comutarea treptelor de viteze. Comunicare la Sesiunea științifică a I.P.Iași, 1966.
71. Zeilke G. - Über den Begriff der mittleren Auslastung der Dieselmotoren bei der Zugförderung. KTR nr.1-2, 1966.
72. Webs A. - Reglajul admisiei și turăției la motoarele diesel în funcție de sistemul transmisiiei vehiculului. Der Eisenbahnen 12/1952 nr.2.
73. Wolf M. - Strömungskupplungen und Strömungswandler. Springer Verlag. Berlin/Göttingen/Heidelberg, 1962.
74. Worthing A.G. ş.a. - Prelucrarea datelor experimentale. Ed. tehnică, Bucureşti - 1959.

75. x x x . - Instructia de exploatare a locomotivelor diesel-hidraulice de 350 CP. Uzinele "23 August" Bucuresti.

C U P R I N S

Introducere.	I
Notătii utilizate.	1
1. Comutarea treptelor de viteze la locomotivele diesel-hidraulice.	3
1.1. Treptele de viteze la locomotivele diesel-hidraulice.	3
1.2. Comutarea treptelor de viteze.	4
1.3. Comanda comutării treptelor de viteze.	5
1.3.1. Caracteristicile de comutare.	5
1.3.2. Programul de comutare.	9
2. Criterii pentru determinarea caracteristicilor de comutare.	10
2.1. Importanța stabilirii criteriilor de comutare. ...	10
2.2. Stabilirea criteriilor de comutare.	13
2.2.1. Coeficientul de utilizare a puterii motorului diesel.	13
2.2.2. Coeficientul căderii randamentului transmisiei.	14
2.2.3. Coeficientul de transmitere a puterii la obadă roții motoare.	17
2.2.4. Coeficientul de comutare.	21
2.3. Determinarea criteriilor de comutare.	24
2.3.1. Determinarea transparentei transformatoarelor hidraulice.	24
2.3.2. Calculul coeficientului de utilizare a puterii motorului diesol.	27
2.3.3. Calculul coeficientului căderii randamentului transmisiei la comutare.	36
2.3.4. Calculul coeficientului de transmitere a puterii la obadă.	39
3. Determinarea caracteristicilor de comutare.	41
3.1. Funcționarea transmisiei la comutare în condiții de utilizare maximă a forței de tractiune.	41

3.1.1. Transmisia hidraulică compusă din transformatoare transparente.	41
3.1.2. Transmisia hidraulică compusă din transformatoare netransparente.	48
3.2. Funcționarea transmisiei la comutare în condiții de economicitate optimă.	52
3.2.1. Transmisia hidraulică compusă din transformatoare transparente.	52
3.2.2. Transmisia hidraulică compusă din transformatoare netransparente.	55
3.3. Funcționarea în comun a motorului diesel cu transmisia hidraulică la comutarea treptelor de viteze...	57
3.3.1. Caracteristicile motorului diesel și ale transmisiei hidraulice.	57
3.3.2. Funcționarea în comun a motorului diesel cu transmisia hidraulică.	61
3.3.3. Determinarea caracteristicilor de comutare la utilizarea integrală a forței de tracțiune...	62
3.3.4. Determinarea caracteristicilor de comutare la randament optim.	68
3.3.5. Alegerea caracteristicii de comutare la creșterea vitezei locomotivei.	74
4. Comutarea inversă.	76
4.1. Variația forței de tracțiune în procesul de comutare.	76
4.1.1. Analiza procesului de comutare.	76
4.1.2. Procesul de umplere a transformatoarelor hidraulice.	81
4.1.3. Procesul de golire a transformatoarelor hidraulice.	87
4.1.4. Comutarea de la treapta I la treapta II.	89
4.1.5. Stabilirea legii de comutare care asigură forță de tracțiune constantă în procesul de comutare.	93
4.2. Variația vitezei de mers în procesul de comutare. ..	97
4.2.1. Determinarea căderii de viteză în funcție de regimul de circulație.	97

4.2.2. Determinarea căderii de viteză în funcție dă parametrii sistemului automat de comu- tare.	111
4.2.3. Determinarea caracteristicii de comutare inversă.	111
4.3. Funcționarea în comun a grupului motor diesel - transmisie hidraulică - tren la comutarea inver- să a treptelor de viteze pentru locomotiva diesel-hidraulică de 350 CP.	114
4.3.1. Determinarea caracteristicii de comutare inversă în cazul utilizării integrale a forței de tracțiune la comutarea directă... .	114
4.3.2. Determinarea caracteristicii de comutare inversă în cazul asigurării unui randa- ment optim la comutarea directă.	117
4.3.3. Determinarea caracteristicii de comutare inversă, pe baza condițiilor de exploatare a locomotivei.	118
5. Stabilitatea procesului de comutare.	121
5.1. Domeniul de stabilitate a procesului de comutare..	121
5.2. Influența timpului de comutare, a căderii forței de tracțiune, a profilului liniei și a tonajului remorcat asupra stabilității procesului de comu- tare.	127
5.2.1. Influența timpului de comutare.	127
5.2.2. Influența profilului liniei.	132
5.2.3. Influența căderii forței de tracțiune.	138
6. Instalația experimentală și metodica de încercare.	145
6.1. Descrierea instalației experimentale.	145
6.2. Metodica de încercare.	149
6.2.1. Determinarea caracteristicii de comutare directă.	149
6.2.2. Determinarea caracteristicilor grupului motor diesel - transmisie hidraulică în procesul de comutare.	150
7. Concluzii.	152
Bibliografie.	155